

**Proof copy.**

# **Jan Pająk i Adam Wróbel**

## **"Naukowe interpretacje autentycznych zdjęć UFO w świetle Teorii Magnokraftu"**

Traktat, Timaru, New Zealand, 2002, ISBN 0-9583380-5-1

Copyright © 2002 by Jan Pająk i Adam Wróbel.

Wszystkie prawa zastrzeżone. Całość ani też żadna z części niniejszego traktatu nie może zostać skopiowana, zreprodukowana, przesłana, lub upowszechniona w jakikolwiek sposób (np. komputerowy, elektroniczny, mechaniczny, fotograficzny, nagrania telewizyjnego, itp.) bez uprzedniego otrzymania wyrażonej na piśmie zgody jednego z autorów lub zgody osoby legalnie upoważnionej do działania w imieniu któregoś z autorów. Od uzyskiwania takiej pisemnej zgody na kopiowanie tego traktatu zwolnieni są tylko ci którzy zechcą wykonać jedną jego kopię wyłącznie dla użytku własnego nastawionego na podnoszenie wiedzy i dotrzymają warunków że wykonanej kopii nie użyją dla jakiegokolwiek działalności zawodowej czy przynoszącej dochód, a także że skopiowaniu poddadzą cały traktat - włącznie ze stroną tytułową, streszczeniem, spisem treści i rysunków, wszystkimi rozdziałami, tablicami, rysunkami i załącznikami.

Zdjęcia interpretowane w tym naukowym opracowaniu przenoszą i zachowują swoje copyrights zadeklarowane w źródłach z których się wywodzą a które są dla nich podane.

Data ostatniej aktualizacji niniejszego egzemplarza: 23 listopada 2002 roku. W czerwcu 2009 roku traktat ten został przeformatowany na PDF, oraz udostępniony w internecie owym formacie PDF po włączeniu do niego ilustracji. Data upowszechnienia (wydruku) niniejszego przeformatowanego egzemplarza: 12 lipca 2009 roku. (W przypadku dostępu do kilku egzemplarzy (wersji) tego traktatu, rekomendowane jest zapoznanie się z egzemplarzem o najnowszej dacie aktualizacji lub wydruku!)

Niniejszy traktat stanowi raport naukowy z przebiegu badań jego autorów. Z powodu jego interpretującego charakteru prezentacja wszelkich zawartych w nim materiałów dowodowych posiadających wartość dowodową lub dokumentacyjną dokonana została według standardów przyjętych dla publikacji (raportów) naukowych. Szczególna uwaga skupiona była na wymogu odtwarzalności i możliwie najpełniejszego udokumentowania źródeł, t.j. aby na bazie tego traktatu każdy naukowiec czy hobbysta pragnący zweryfikować, powtórzyć, lub pogłębić badania autorów był w stanie dotrzeć do ich źródeł (jeśli nie noszą one poufnego charakteru), powtórzyć ich przebieg, oraz dojść do tych samych lub podobnych wyników.

Treść niniejszej publikacji [4c] poszerza specjalistyczne interpretacje zdjęć UFO upowszechnione poprzednio w następującej monografii [1/3]:

Pająk J., "Zaawansowane urządzenia magnetyczne", Monografia, Dunedin, Nowa Zelandia, 1998 rok, ISBN 0-9583727-5-6, około 1400 stron - w tym około 120 ilustracji i 7 tablic, w 9 woluminach.

Wszelką korespondencję adresowaną do autorów tego traktatu należy kierować do:

Dr Jan Pająk

P.O. Box 33250, Petone 5046, New Zealand

Tel. (2009): +64 (4) 5694820; E-mails: janpajak@gmail.com lub jpajak@poczta.wp.pl

lub do:

Mgr Adam Wróbel

ul. Chwarznieńska 53/5, 81-602 Gdynia, Poland

Tel.: +48 (58) 624-43-22; E-mail: ufo-album@totalizm.com.

## **STRESZCZENIE** traktatu [4c] "Interpretacje zdjęć UFO w świetle Teorii Magnokraftu", ISBN 0-9583380-5-1

Jak nas zapewniają lekarze, dzieci zaraz po urodzeniu widzą cały świat w pozycji zupełnie odwrotnej do tej w jakiej świat ten widzą dorośli ludzie. Podobno ten dziecięcy sposób widzenia świata pokazuje prawdę, ponieważ wynika on bezpośrednio z praw wszechświata - w tym wypadku z faktu, że pojedyncza soczewka w ludzkim oku powoduje tylko jednorazowe odwrócenie obrazu, t.j. obraz po przeniknięciu przez tą soczewkę jest "postawiony na głowie" w stosunku do rzeczywistego stanu rzeczy. Z upływem jednak czasu, dzieci stopniowo uczą swój umysł aby wypaczał to co naprawdę widzimy i pokazywał świat w pozycji stojącej. Czyli z biegiem czasu obraz jaki widzimy naszymi oczami przestaje być zgodny z prawami wszechświata i zaczyna być obrazem fałszywym. Oczywiście my, ludzie dorośli lubimy tą jego fałszywość, bowiem to co ona nam pokazuje jest dla nas wygodniejsze niż ów "postawiony na głowie" świat widziany przez niemowlęta. W sposobie więc widzenia świata dookoła nas z upływem czasu dokonujemy rodzaju judaszowego aktu - poświęcamy bowiem prawdę dla wygody!

Aczkolwiek większość ludzi zwykle zbytnio jest zajęta wpatrywaniem się w telewizor i opychaniem swoich żołądków kanapkami aby odnotować co wokół ich naprawdę się dzieje, ci co ciągle zdawali wygospodarować sobie trochę czasu na refleksje i na uważne rozejrzenie się dookoła, na jakimś etapie życia zapewne odkrywają, że ów judaszowy akt wcale nie rozciąga się tylko na widzenie otaczających ich obiektów, ale faktycznie na wszystkie aspekty otaczającej ich rzeczywistości. Jak to bowiem daje się z szokiem odnotować, niemal we wszystkich sprawach, **prawda i rzeczywistość najczęściej jest dokładną odwrotnością tego w co powszechnie się wierzy**. Czas więc aby zacząć sobie zdawać z tego sprawę i włożyć wysiłek, jeśli nie w powrót do prawdy, to chociaż w uświadomienie sobie, że to w co powszechnie się wierzy wcale nie jest prawdą.

Jednym z obszarów na którym powyższe staje się boleśnie oczywiste jest nasza wiedza o UFO. Powszechnie panujące i zupełnie fałszywe wierzenia na temat UFO stwierdzają przykładowo, że (1) UFO i UFOanci faktycznie to nie istnieją w naszej rzeczywistości, a jedynie ludzie sobie je wytworzyli w wyobraźni, że (2) nie ma dowodów materialnych na istnienie UFO, że (3) nawet gdyby takie coś jak UFO istniało, zapewne pojawiałoby się niezwykle rzadko i to gdzieś w dalekich, egzotycznych krajach, itp. Tymczasem rzeczywistość jest dokładnie odwrotna do owych wyobrażeń.

Zdjęcia UFO są najlepszym z dowodów na fakt że rzeczywistość jest dokładną odwrotnością powszechnie panujących wyobrażeń i poglądów. Wszakże zdjęcia te nie są w stanie utwalić czegoś co istnieje jedynie w wyobraźni i co nie ma materialnego kształtu ani fizycznego wymiaru. Dlatego też ludzie powszechnie wierzą, że wszystkie tzw. zdjęcia UFO to zwykłe wady filmu, psikusy odbitego światła, pomyłki fotografujących, itp., zaś jako takie że nie posiadają one racjonalnego i konsystentnego wytłumaczenia (t.j. że nie można ich zawsze zinterpretować jako te same latające wehikuły działające na wysoce zaawansowanych zasadach). Ponadto ludzie wierzą, że tak w ogóle to zdjęć tych jest niewiele, że nigdy nie pokazują one wyraźnych kształtów UFO, że jeśli się je ogląda wówczas nie daje się ani połapać co dokładnie one pokazują, ani znaleźć sensownych wytłumaczeń dla tego co na nich zostało uchwycone, itp. Tymczasem stan faktyczny jest dokładnie odwrotny do owych mylnych wyobrażeń. Wszakże w rzeczywistości istnieje całe zatrzęsienie zdjęć UFO, na niektórych z tych zdjęć UFO daje się zobaczyć w sposób bardzo wyraźny i jednoznaczny, zaś to co zdjęcia te przedstawiają ma sens i logikę - jeśli oczywiście ktoś dysponuje wymaganą wiedzą i wie na co ma zwracać uwagę.

Niniejszy traktat ma właśnie na celu pokazanie jak bogata i konsystentna jest dokumentacja fotograficzna UFO, jak wyraźnie na istniejących zdjęciach daje się odnotować wszelkie aspekty wyglądu, budowy i zasady działania UFO, jak łatwo jest zinterpretować co zdjęcia UFO przedstawiają, itp.

Wszystkie autentyczne zdjęcia UFO zaprezentowane w tym traktacie poddane zostały naukowym analizom i interpretacjom, bazującym na teorii naukowej nazywanej "Teoria Magnokraftu". Na teorię ową składają się teoretyczne informacje opisujące zasadę działania, konstrukcję, zjawiska, oraz technologie wykonania, wykorzystywane dla praktycznego zrealizowania czterech odmiennych urządzeń napędowych, mianowicie wehikułów nazywanych "magnokraftem", "wehikułem czteropędnikowym" oraz "magnetycznym napędem osobistym", a także napędu do owych wehikułów przyjmującego formę urządzenia zwanego "komora oscylacyjna". Treść owej "Teorii Magnokraftu" zaprezentowana została w rozdziałach C do F monografii naukowych które w spisie publikacji z rozdziału G przy końcu niniejszego traktatu oznaczone są symbolami [1/5] i [1/4]. Celem tych naukowych analiz i interpretacji jest wyjaśnienie co owe autentyczne zdjęcia UFO naprawdę sobą przedstawiają. Oczywiście, naukowe analizy i interpretacje tych autentycznych zdjęć UFO byłyby niemożliwe, gdyby nie odwaga i przytomność umysłu osób, które je wykonały i upowszechniły dla dobra całej naszej cywilizacji. Niniejszy traktat jest więc rodzajem naukowego podziękowani za ich wkład, oraz wyrazem moralnego zadośćuczynienia dla ich wysiłków podnoszenia naszej wiedzy i promowania prawdy dla dobra całej ludzkości. Dobra robota fotografujący - proszę tak trzymać dalej!

Esencja naukowych interpretacji autentycznych zdjęć UFO zawartych w niniejszym traktacie została streszczona na totaliztycznej stronie internetowej o nazwie "explain\_pl.htm".

Niniejszy traktat naukowo interpretuje autentyczne zdjęcia UFO bez dogłębnego deliberowania skąd owe wehikuły UFO biorą się na Ziemi. Wszakże wyjaśnienie pochodzenia UFO zaprezentowane zostało na całym szeregu innych publikacji autora, przykładowo w tomie 6 monografii [8/2], czy na stronie internetowej o nazwie "evil\_pl.htm".

Traktat ten jest opracowaniem źródłowym jakie powinno być poznane przez wszystkie osoby chcące wyrobić sobie lepsze i bardziej poprawne spojrzenie na otaczający nas świat.

**SPIS TREŚCI** traktatu [4c] "Interpretacje zdjęć UFO w świetle Teorii Magnokraftu",  
ISBN 0-9583380-5-1

| <u>Str.</u> | <u>Rozdział</u>   |
|-------------|---|
| A-1         | A. WPROWADZENIE   |
| A-4         | A1. Cele tego traktatu  |
| A-5         | A2. Najważniejsze osiągnięcia tego traktatu                                       |
| A-13        | A3. Konwencje stosowane podczas pisania tego traktatu                             |
| B-15        | B. PODSTAWY TEORETYCZNE DLA INTERPRETACJI ZDJĘĆ UFO                               |
| B-22        | B1. Pojedyncze dyskoidalne UFO pierwszej generacji (wehikuły magnetyczne)         |
| B-24        | B1.1. Tryb bijący   |
| B-27        | B1.2. Tryb soczewki magnetycznej  |
| B-30        | B1.2.1. Soczewka magnetyczna we wznoszących się UFO                               |
| B-32        | B1.3. Tryb wiru magnetycznego   |
| B-35        | B2. Pojedyncze dyskoidalne UFO drugiej generacji (wehikuły telekinetyczne)        |
| B-44        | B3. Pojedyncze dyskoidalne UFO trzeciej generacji (wehikuły czasu)                |
| B-47        | B4. Osiem typów dyskoidalnych UFO   |
| B-54        | B4.1. Typ K3  |
| B-54        | B4.2. Typ K4  |
| B-56        | B4.3. Typ K5  |
| B-57        | B4.4. Typ K6  |
| B-58        | B4.5. Typ K7  |
| B-59        | B4.6. Typ K8  |
| B-60        | B4.7. Typ K9  |
| B-62        | B4.8. Typ K10   |
| B-63        | B5. Latające konfiguracje sprzęgnięte z dyskoidalnych UFO                         |
| B-64        | B5.1. Fizyczne kompleksy latające   |
| B-64        | B5.1.1. Kulisty kompleks latający   |
| B-67        | B5.1.2. Cygaro  |
| B-68        | B5.1.3. Jodełka   |
| B-69        | B5.2. Zestawy semizespalone   |
| B-71        | B5.3. Zestawy niezespalone  |
| B-72        | B5.4. Układy podwieszane  |
| B-73        | B5.5. Latające systemy UFO  |
| B-73        | B5.6. Latające klustery UFO   |
| B-78        | B6. Sfory niezależnych od siebie wehikułów UFO                                    |
| B-79        | B7. Czynniki zmieniające wygląd dyskoidalnych UFO                                 |
| B-80        | B7.1. Pozycja stojąca i wisząca   |
| B-80        | B7.2. Widzialność pędników UFO  |
| B-82        | B7.3. "Czarne belki"  |
| B-84        | B7.4. Widzialność teleskopowych nóg UFO   |
| B-85        | B7.5. Widzialność systemu SUB u UFO   |
| B-86        | B7.6. Smugi światła rzucane przez pędniki UFO                                     |
| B-87        | B7.7. Wysterowanie pędników na dominację strumienia wewnętrznego lub zewnętrznego |
| B-89        | B7.8. Dyskoidalne chmury jakimi wehikuły UFO celowo się przystaniają              |
| B-90        | B8. Pojedyncze czteropędnikowe UFO  |
| B-91        | B9. Latające konfiguracje sprzęgnięte z czteropędnikowych UFO                     |
| B-91        | B10. Na zakończenie rozdziału B   |

- B-93 Rysunek Z\_1\_B5.6 (6 fotografii z serii pstrykniętej przez Paul'a Villa)
- C-94 C. ALBUM ZDJĘĆ UFO WRAZ Z ICH INTERPRETACJAMI
- C-96 C1. Pojedyncze dyskoidalne UFO w trybie bijącym sfotografowane w świetle dziennym
- C-98 C2. Pojedyncze dyskoidalne UFO w trybie bijącym sfotografowane nocą
- C-98 C3. Pojedyncze UFO w trybie wiru magnetycznego sfotografowane w świetle dziennym
- C-98 C4. Pojedyncze UFO w trybie wiru magnetycznego sfotografowane nocą
- C-100 C5. Konfiguracje posprzęganych magnetycznie UFO sfotografowane w świetle dziennym
- C-102 C5.1. Konfiguracje UFO sfotografowane w świetle dziennym ale w trybie działania lub konwencji lotu które czynią UFO niewidzialne dla ludzkich oczu
- C-102 C6. Konfiguracje posprzęganych magnetycznie UFO sfotografowane nocą
- C-103 C7. Sfory niezależnych od siebie wehikułów UFO
- C-103 C8. Telekinetyczne wehikuly UFO
- C-106 C9. Wehikuly czasu
- C-108 C10. Na zakończenie rozdziału C
- D-109 D. PRAWIDŁOWOŚCI RZUCAJĄCE SIĘ W OCZY
- E-111 E. KOMENTARZ DLA DOTYCHCZASOWYCH USTALEŃ
- F-114 F. NA ZAKOŃCZENIE
- G-115 G. WYKAZ PUBLIKACJI UZUPEŁNIAJĄCYCH I POSZERZAJĄCYCH TREŚĆ TEGO TRAKTATU
- H-118 H. O AUTORACH
- H-118 Jan Pajak
- H-119 Adam Wróbel
- Z-121 Z. ZAŁĄCZNIKI.

### Uwagi:

(1) Zanim w 2009 roku niniejsza wersja tego traktatu [4c] w formacie PDF została wystawiona w internecie, spora liczba omawianych w niej tematów była już wcześniej prezentowana w internecie na totalizacyjnych stronach - po ich przykłady patrz strony o nazwach "explain\_pl.htm", "ufo\_proof\_pl.htm", "evidence\_pl.htm", "evolution\_pl.htm", "evil\_pl.htm", czy "soul\_proof\_pl.htm". Tamte totalizacyjne strony ciągle powinny być dostępne i do dzisiaj. Dlatego podczas omawiania tematów które są również dyskutowane na totalizacyjnych stronach internetowych, przy niektórych z owych tematów podane również zostały nazwy stron internetowych na jakich dany temat jest także omawiany. Jeśli więc czytelnik zechce, może z owym tematem dodatkowo zapoznać się z internetu. Aby znaleźć internetowe adresy wybranych stron, wystarczy w jakiejś wyszukiwarce, np. w [www.google.com](http://www.google.com), wpisać za słowo kluczowe nazwę strony której się szuka. Przykładowo, aby znaleźć stronę o nazwie "dipolar\_gravity\_pl.htm", wystarczy w wyszukiwarce [www.google.com](http://www.google.com) wpisać słowo kluczowe "dipolar\_gravity\_pl.htm" (tyle że bez cudzysłówów).

(2) Niniejszy traktat [4c] oryginalnie opublikowany był w 2002 roku - jak to wyjaśnia jego strona copyright. Od 2002 roku jest on upowszechniany gratisowo w internecie -

początkowo w formatach DOC i WP5 oferujących oddzielnie tekst i oddzielnie ilustracje. Dopiero w lipcu 2009 roku traktat ten przetłumaczony został na bezpieczny format PDF (do którego jak wiadomo wirusy się NIE doczepiają), zaś wszystkie ilustracje zostały włączone do jego tekstu. W takiej też formie jest on obecnie upowszechniany gratisowo za pośrednictwem totalizycznej strony internetowej o nazwie "tekst\_4c.htm".

(3) Niniejszy traktat był jedną z totalizycznych publikacji autora których przetłumaczenie na bezpieczny i wygodny format PDF odczekiwało najdłużej w kolejce (format PDF może być czytany i drukowany przez oprogramowanie "Adobe Acrobat"). Dlatego jeśli czytelnik zechce, wówczas może już znaleźć w Internecie praktycznie wszystkie inne publikacje autora które przetłumaczone zostały na PDF znacznie wcześniej, a których darmowe egzemplarze są od dawna udostępnione na tych kilku totalizycznych witrynach które pozwalają na wystawianie plików o dużych objętościach.

(4) Zdjęcia i rysunki składające się na niektóre ilustracje włączone w tekst niniejszego traktatu czasami musiały zostać wydatnie pomniejszone aby dały się potem wydrukować na pojedynczych kartkach papieru formatu A4. Dlatego niektóre szczegóły na owych zdjęciach lub rysunkach mogą NIE być zbyt wyraźnie widoczne. Na szczęście zdjęcia te i rysunki można także sobie pooglądać w internecie, gdzie daje się je nawet powiększać do dowolnego rozmiaru - ujawniając tak każdy ich szczegół. Internetowe kopie wszystkich zdjęć i rysunków użytych w niniejszym traktacie [4c] można sobie oglądać w powiększeniu za pośrednictwem totalizycznej strony internetowej o nazwie "tekst\_4c.htm".

(5) Proszę odnotować, że aby zmniejszyć objętość niniejszej publikacji, sporo mniej istotnych powiększeń wehikułów UFO ze zdjęć oznaczanych "P\_", NIE zostało włączone do tekstu tej wersji [4c]. Powodem jest, że powiększenia te czytelnik jest w stanie sam sobie wykonać w swoim komputerze, a ponadto pokazane są one na stronach internetowych o nazwie "tekst\_4c.htm" zawierających elektroniczne wersje ilustracji do niniejszego traktatu [4c].

# WPROWADZENIE

Motto tego rozdziału: "Rzeczywistość wcale nie jest taka jak ją widzimy naszymi oczami".

W czasach kiedy na Ziemi istnieli prawdziwi rycerze, zrodziło się przekonanie, że jeśli już posiadamy jakiegoś wroga, na przekór że jest to nasz wróg, ciągle przestrzegać on musi określonych "reguł gry". Przykładowo nie będzie on uśmiercał niewinnych i bezbronych, nie będzie się znęcał nad pokonanymi, nie będzie nas zwodził, nie będzie nas zwalczał po zbójceku z ukrycia i to cudzymi rękami, a po rycersku osobiście i otwarcie stawi nam czoła, stosował będzie w walce jedynie "dozwolone chwyt" jakie opisane są uzgodnioną wcześniej etykietą, wyznaje moralność co najmniej tak wysoką jak nasza, itp. Niestety, życie bez przerwy nas przekonuje że wróg taki jest utopią, a że faktycznie to każdy z wrogów jest mniej lub bardziej "szatański", t.j. łamie niemal wszystkie reguły jakie chcielibyśmy aby wypełniał.

Zastanówmy się więc jak wyglądałby "szatański wróg", który osiągnął najgłębszy poziom szatańskości, jaki tylko jest możliwy do osiągnięcia. Ano, wróg taki z całą pewnością nie przestrzegałby żadnych reguł gry - poza prawami wszechświata których złamanie groziłoby mu poważniejszymi konsekwencjami niż zwykłe oberwanie od tych których właśnie prześladowa. Nie miałby on najmniejszych skrupułów w zabijaniu i torturowaniu każdego kto stanąłby mu na drodze. Posiadałby on tylko jeden cel, jakim byłoby utrzymywanie nas w poddaństwie wszelkimi dostępnymi mu środkami i na wszelkie możliwe sposoby, włączając w to nieustanne ukrywanie się przed nami, najróżniejsze oszustwa, zwodzenie, wyprowadzanie nas w pole, łapanie nas w pułapki, i czynienie nam wszystkiego co tylko zdołałoby przyjść mu do jego szatańskiej głowy. Bez przerwy ukrywałby on przed nami swoją obecność, postępowanie, i prawdziwe zamiary. Zawsze też twierdziłby przeciwieństwo swoich rzeczywistych intencji, np. gdyby przybył aby nas obrabować i pognać - twierdziłby że przybywa aby nam pomagać i od czegoś nas ratować, gdyby celowo zatruwał i niszczył nasze naturalne środowisko - twierdziłby że środowisko to umiera z naszej własnej winy, gdyby wywoływał jakiś sztuczny kataklizm - twierdziłby że kataklizm ten powstał z naturalnej albo naszej przyczyny, itp. Najczęściej też unikałby zostania poznanym poprzez dawanie nam łupnia nie swoimi własnymi rękami, a rękami tych ludzi jacy mają nad nami władzę i jakich sobie bezwzględnie podporządkował. Na dodatek do powyższego, taki szatański wróg w ogóle nie odznaczałby się moralnością, a ściślej jego moralność byłaby na poziomie najgłębszego dna.

Badania jakie ja skompletowałem podczas formułowania wysoce moralnej filozofii zwanej "totalizm" (pisanej przez "z"), a także podczas analiz jej przeciwieństwa, czyli drastycznie niemoralnej filozofii zwanej "pasożytnictwo", ujawniły że jeśli my ludzie kiedykolwiek założymy w odległym kosmosie swoją kolonię, wówczas my sami przekształcimy się właśnie w takiego "szatańskiego wroga" wobec naszych własnych krewniaków. Opisy procesu takiej transformacji relatywnie moralnie zachowującej się ludzkości, w owe zezwierzęcone istoty, opisałem dokładniej na całym szeregu publikacji, przykładowo w podrozdziale A3 monografii [1/4], a także na totaliztycznej stronie internetowej o nazwie "evil\_pl.htm". W obliczu więc zagrożenia że ludzkość ślepo obecnie zmierza w kierunku stania się rodzajem takiego "szatańskiego wroga" w stosunku do swoich własnych krewniaków, nie powinno nas dziwić że ktoś daje nam osobiście poznać jak to się czuje kiedy ma się właśnie takiego "szatańskiego wroga". Zapewne to właśnie dlatego jakaś wyższa moc "symuluje" na Ziemi istnienie takiego "szatańskiego wroga" ludzkości. Owe manifestacje symulowanego dla nas wroga, popularnie nazywane są UFO.

Jak to też udowodniono w rozdziałach O do W monografii [1/4] oraz wyjaśniono w tomie 6 monografii [8/2], istnieje znaczący materiał dowodowy sugerujący że technicznie wysoko zaawansowani chociaż moralnie podupadli pobratymcy ludzkości, popularnie nazywani UFOonautami, faktycznie od samego początku zaludnienia Ziemi jakieś 40 000 lat temu, bez przerwy skrycie okupują naszą planetę i niemiłosiernie eksploatują ludzkość. Zamiast też pracować i samemu zarabiać na swoje utrzymanie, owi UFOnauci są tak symulowani jakby wykształtowali oni cywilizację kosmicznych pasożytów która żyje wyłącznie z rabunku i eksploatacji technicznie niżej od siebie zaawansowanych istot. Planeta Ziemia jest zaś jednym z podstawowych dostawców potrzebnych im do życia surowców biologicznych. Na dodatek do cech wyszczególnionych powyżej, wróg ten jest tak symulowany aby odznaczał się dwoma dalszymi niezbyt przyjemnymi dla nas atrybutami. Mianowicie, jest on symulowany jako około 20 razy bardziej inteligentny od ludzi, zaś poziom jego nauki i techniki jako liczący sobie już około 500 milionów lat - czyli jest około 1 000 000 razy bardziej wiekowy od obecnego poziomu nauki i techniki na Ziemi. Właśnie z powodu swojego wieku, w trakcie upływu tysiącleci wróg ten zupełnie oduczył się pracować. Zamiast więc wypracowywać dla siebie samemu dobra potrzebne mu do życia, woli on zaganiać do pracy niewolników jakich uprowadza z planet na których pasożytuje. Zaś dla pozbycia się kaca moralnego, niewolników tych nazywa "biorobotami". Planeta Ziemia jest podstawowym dostawcą spermy i owule niezbędnych do hodowania owych biorobotów. Surowce te rabuje on od ludzi poprzez systematyczne uprowadzanie hipnotycznie otumanionych mieszkańców Ziemi na pokłady swoich statków. Ludzie którzy dostarczają mu spermy lub owule są rozpoznawalni po niewielkiej bliznie na boku nogi (położonej około 27.5 cm od podłogi), jaka to blizna opisana została dokładniej w podrozdziale U3.1 monografii [1/4] zaś pokazana na totaliztycznej stronie internetowej o nazwie "ufo\_pl.htm". Owe "bioroboty" jakich z takim zachwytem opisują książki raportujące o wspaniałościach cywilizacji UFOonautów, faktycznie to są zaharowywane na śmierć dzieci owych ludzi uprowadzanych do UFO, od których rabowana jest sperma i owule.

Niefortunnie dla owego szatańskiego wroga, ludzie obecnie osiągnęli poziom rozwoju, przy jakim dotychczasowe metody pasożytowania tego wroga pomału stają się zawodne. Przykładowo taka sprawa jak nieustanne ukrywanie się przed ludźmi, przychodzi mu z coraz większą trudnością. Wszakże ludzie kupowali sobie aparaty fotograficzne i kamery wideo, bez względu więc jak doskonale wróg ten by się przed nami nie ukrywał, zawsze ktoś go zdoła sfotografować. Część z owych autentycznych zdjęć UFO pokazana została i zinterpretowana w treści tego traktatu.

Aby możliwym było zarówno poprawne zinterpretowanie fotografii UFO, jak i zrozumienie tych interpretacji, konieczne jest zgromadzenie dosyć szerokiej i skomplikowanej wiedzy. Wiedza ta, między innymi, obejmuje znajomość czym właściwie są UFO w sensie technicznym, jakie są ich typy i kształty, jaka jest ich konstrukcja i działanie, jakimi właściwościami się one cechują, jak mogą się one magnetycznie sprzęgać ze sobą w bardziej złożone konfiguracje latające, jakie zjawiska one indukują, jakie wyglądy mogą one przyjmować, itp. Wszakże UFO są technicznie ogromnie zaawansowanymi wehikułami, do których nasze dzisiejsze promy kosmiczne mają się tak jak pierwsze pociągi parowe miały się do obecnych odrzutowych samolotów pasażerskich. Nie wystarczy więc mieć jedynie dobre chęci aby być w stanie poprawnie zinterpretować zdjęcia UFO, a koniecznym jest rozpoczęcie rzeczowej nauki i edukacji na temat tych wehikułów. Z uwagi na dramatyczną sytuację naszej cywilizacji, pilnie też należy wszystkim zarekomendować, aby naukę tą rozpoczęli tak szybko jak tylko są w stanie. Niniejszy traktat dostarcza ku temu jednej z rzadkich okazji.

Bardzo systematyczna wiedza na temat wehikułów UFO została już zgromadzona, i jest uformowana na kształt relatywnie nowej dyscypliny naukowej i technicznej zaproponowanej przez jednego z współautorów tego traktatu. Nosi ona nazwę "Teorii Magnokraftu". Stąd pod często używaną w tym traktacie nazwą "Teoria Magnokraftu" kryje się cała nowa dyscyplina naukowa i techniczna, jaka obejmuje sobą rozległy zasób wiedzy



wymaganej dla zdefiniowania wszelkich zasad, i szczegółów technicznych nieznanymi wcześniej ludziom rodzajów wehikułów latających nazywanych "magnokraftami". Oczywiście należy tutaj wyraźnie sobie uświadomić, że nazwa "magnokrafty" wcale nie jest odmienną nazwą dla "UFO". "Magnokrafty" są to bowiem czysto ziemskie wehikuly o napędzie magnetycznym, jakie zostały wynalezione i całkowicie rozpracowane na Ziemi - właśnie przez piszącego niniejszy traktat. Każdy szczegół tych statków jest nam dokładnie znany, wszakże wypracowany on został na bazie dzisiejszej nauki i techniki ziemskiej. Pochodzenie magnokraftów nie ma więc nic wspólnego z UFO, a wywodzi się z naturalnych praw rządzących rozwojem nauki i techniki na Ziemi, oraz z trudu i wiedzy piszącego ten traktat. Wszakże to właśnie piszący ten traktat, z dużym mozołem i w efekcie wieloletnich wysiłków, osobiście dopracował i poskładał razem każdy szczegół owej Teorii Magnokraftu. Natomiast "UFO" są nazwą przyporządkowaną wehikułom symulowanej na Ziemi pasożytniczej cywilizacji jaka zachowuje się tak jakby skrycie okupowała ona ludzkość. UFO mają więc pochodzenie pozaziemskie. Ponieważ jednak prawa rozwoju nauki i techniki na Ziemi są dokładnie takie same jak prawa rozwoju które rządzą cywilizacją jaka jakoby buduje wehikuly UFO, nie powinno nikogo dziwić, że końcowy produkt prac rozwojowych nad magnokraftami jest identyczny do UFO. (Identyczność magnokraftów i UFO zostanie dokładniej wyjaśniona w następnym paragrafie omawiającym tzw. "postulat zamienności UFO i magnokraftów".) Wszakże gdyby jakaś cywilizacja odmienna od ludzkiej budowała samoloty lub samochody, także w swojej końcowej formie byłyby one identyczne do ludzkich samolotów lub samochodów. Opublikowany już nawet został formalny dowód naukowy, że **"UFO to już zbudowane magnokrafty jakie zostały urzeczywistnione przez kogoś technicznie wyżej zaawansowanego od ludzi"** (patrz prezentacja tego dowodu zawarta w podrozdziale P2 z tomu 13 monografii [1/4]). Ponieważ, pomimo wielokrotnych prób i nieustannych usiłowań, dowodu tego nikt nie był w stanie ani obalić ani choćby tylko podważyć, dlatego też posiada on moc obowiązującą i wszyscy powinni respektować jego stwierdzenia. Nazwa "magno-kraft" oznacza "magnetyczny (magno) statek (kraft)" i wynika ona z faktu, że statki te napędzane są polem magnetycznym. Oczywiście traktat ten nie ma na celu omówienie samych magnokraftów, a zilustrowanie i wyjaśnienie jak Teoria Magnokraftów spożytkowana może zostać do zinterpretowania autentycznych zdjęć UFO. Wszakże sama Teoria Magnokraftu jest znacznie rozleglejsza niż rozmiary tego traktatu. Razem też z dowodem iż "UFO to już zbudowane magnokrafty" teoria ta została już opublikowana w całym szeregu opracowań wyszczególnionych w rozdziale G tego traktatu, w tym najbardziej szczegółowo w monografii jaka oznaczona tam została symbolem [1/4]. Monografia [1/4] od sporego już czasu jest relatywnie szeroko dostępna w Polsce. Przykładowo jej egzemplarze wysłano do Biblioteki Narodowej i do niemal wszystkich innych bibliotek kluczowych naszego kraju. Ponadto monografia [1/4] wraz z ilustracjami, podobnie jak większość pozostałych opracowań zestawionych w rozdziale G, jest już gratisowo udostępniana w Internecie w wygodnym i bezpiecznym formacie PDF (tj. podobnie jak niniejszy traktat, zawiera ona już ilustracje wprowadzone do jej tekstu). Proszę też odnotować, że monografia [1/4] posiada nawet jeszcze bardziej nową wersję w rozdziale G oznaczoną symbolem [1/5] - od której różni się głównie filozoficznym spojrzeniem na pochodzenie manifestacji UFO. (Tj. monografia [1/4] została napisana kiedy ciągle wierzyłem że wehikuly UFO są budowane przez kosmicznych krewniaków ludzi, natomiast monografię [1/5] zacząłem pisać kiedy odkryłem że wehikuly UFO są tymczasowo "symulowane" wyłącznie w celu i tylko na czas ich skonfrontowania z ludzmi.)

Jednym z najważniejszych następstw formalnego dowodu że "UFO to magnokrafty które już zostały zbudowane przez kogoś technicznie bardziej od ludzi zaawansowanego", jest tzw. "postulat zamienności UFO i magnokraftów". Postulat ten stwierdza, że: każdy poprawny wzór matematyczny, reguła i fakt opracowany dla magnokraftów, musi równie poprawnie odnosić się też i do UFO, a także każdy fakt zaobserwowany na UFO musi również sprawdzać się dla magnokraftów. Praktyczne wykorzystanie tego postulatu z jednej strony zezwala na szybsze zbudowanie ziemskich magnokraftów przez wykorzystanie w

nich gotowych rozwiązań technicznych zaobserwowanych u UFO, z drugiej zaś strony umożliwi szybsze rozwikłanie tajemnic UFO przez zastosowanie do nich Teorii Magnokraftu opracowanej dla naszych ziemskich statków magnetycznych. Jednym więc z istotniejszych następstw tego postulatu dla treści niniejszego traktatu jest to, iż wspomniana powyżej "Teoria Magnokraftu" z równą dokładnością opisuje magnokraft co UFO, a także że opisy z rozdziału B jakie sformułowane zostały w celu wyjaśnienia jak należy naukowo interpretować autentyczne zdjęcia UFO, faktycznie to z taką samą dokładnością odzwierciedlają UFO jak i reprezentują przysze ziemskie magnokrafty ciągle czekające swego zbudowania. Jeśli więc zechcemy poznać więcej szczegółów technicznych na temat cech naszych ziemskich magnokraftów, wystarczy abyśmy dokładniej zapoznali się z odpowiadającymi tym magnokraftom wehikułami UFO. Ponadto wszystkie wzory matematyczne, wywody logiczne, oraz opisy zestawione w monografii [1/4] dla magnokraftów, muszą się spełniać również i w odniesieniu do wehikułów UFO.

Wobec faktycznego działania "postulatu zamienności UFO i magnokraftów" interpretacja zdjęć UFO staje się ogromnie łatwa. Wszystko bowiem co jest komuś potrzebne aby poprawnie zinterpretować autentyczne zdjęcia UFO, to znajomość Teorii Magnokraftu. Kiedy zaś ktoś dokładnie już pozna tą teorię, wówczas każde zdjęcie UFO powinien traktować po prostu jakby to było zdjęcie magnokraftu, i następnie wyjaśniać co zgodnie z Teorią Magnokraftu zdjęcie to przedstawia. Niniejszy traktat dokładnie demonstruje jak tego należy dokonywać, oraz wskazuje które fragmenty Teorii Magnokraftu są najbardziej użyteczne do interpretowania danej grupy zdjęć UFO.

#### A1. Cele tego traktatu

Pomimo że niniejszy traktat celowo napisany został w lekkim tonie i używa popularnych pojęć językowych, tak aby byli w stanie go zrozumieć zwykli zjadacze chleba, faktycznie jest on publikacją zdecydowanie naukową. Wszakże prezentuje on nieznaną ogółowi teorie naukowe i odkrycia, ujawnia on czytającemu niezgłębione uprzednio obszary wiedzy jakie znajdują się w forpoczcie postępu naukowego, a ponadto pogłębia on znajomość najbardziej tajemniczych i ciągle zupełnie nieznaną oficjalnej nauce wehikułów jakie popularnie nazywane są UFO.

Jako naukowa publikacja traktat ten ma nałożone na siebie określone cele, zadania, standarty i notacje naukowe. Ma więc on swoją naukową misję do wypełnienia, stara się osiągnąć określony zbiór celów naukowych, a ponadto w miarę postępu rozważań stopniowo udowadnia on prawdziwość swojej naukowej tezy. Niniejszy krótki podrozdział uświadamia więc czytelnikowi jakie są owe cele, teza, i misja naukowa niniejszego traktatu.

Najważniejszym z celów niniejszego traktatu jest pokazanie ogromnego bogactwa obiektywnych dowodów fotograficznych, na jakich zostały utrwalone wehikuły UFO, a o jakiego istnieniu zazwyczaj ludzie nie mają pojęcia. Ponieważ wehikuły UFO starannie unikają zostania sfotografowanymi - i jak tylko mogą tak przed ludzmi się ukrywają, owe fotografie UFO jakie przez przypadek udało nam się wykonać, dla niezorientowanych ludzi nie zawsze mają sens. Dlatego też drugim zasadniczym celem tego traktatu jest wyjaśnienie co fotografie owe przedstawiają, czyli dostarczenie interpretacji owego bogatego materiału dowodowego na istnienie naszego "szatańskiego wroga". Osiągnięcie owego drugiego celu umożliwi przy okazji wypełnienie jeszcze jednego celu dodatkowego tego traktatu. Jest nim wykazanie, że na przekór iż niemal każda fotografia UFO pokazuje sobą coś innego, faktycznie to wszystkie one pokazują ten sam rodzaj wehikułów latających popularnie zwanych UFO, tyle tylko że ujętych w odmiennych trybach pracy, podczas indukowania odmiennych zjawisk, z odmiennych stron lub w odmiennych konfiguracjach, w różniących się warunkach otoczeniowych i świetle, itp. Kolejnym celem tego traktatu jest udokumentowanie na przykładzie interpretowanych w nim fotografii UFO, że zasób wiedzy objętych tzw. "Teorią Magnokraftu" już obecnie dostarcza nam potężnego narzędzia

poznawczego jakie na dzisiejszym etapie badań umożliwi efektywne interpretowanie praktycznie wszystkich istniejących fotografii UFO.

Traktat ten posiada też swoją misję naukową. Misją tą jest wykazanie, że wszelkie materiały dowodowe jakie na temat UFO znajdują się już obecnie w naszej dyspozycji, włączając w to fotografie UFO, jednoznacznie dowodzą szokującego faktu że "wehikuly UFO istnieją obiektywnie zaś fotografie UFO konsystentnie dokumentują i ukazują najróżniejsze zjawiska uwalniane zasadami działania tego samego rodzaju wehikulów latających".

W sformułowanie niniejszego traktatu wpleciona też została jego główna teza. Teza ta stwierdza, że "na Ziemi zgromadzona została już wystarczająca liczba fotografii UFO, aby ilustracyjnie udokumentować nimi pełną zgodność wszelkich dotychczas nieznaną nauce atrybutów wehikulów popularnie nazywanych wehikulami UFO, z atrybutami opisywanymi Teorią Magnokraftu". Fakt, że prawdę tej tezy należy uważać za udowodnioną i że można na niej już obecnie budować dalsze badania poznawcze wehikulów UFO, stanie się oczywiste po zapoznaniu się z materiałem ilustracyjnym włączonym w treść niniejszego traktatu.

## A2. Najważniejsze osiągnięcia tego traktatu

Jak to zapewne czytelnik będzie miał możliwość stwierdzić po przeczytaniu tego traktatu, niezależnie od wypełniania przez niego wyszczególnionych w uprzednim podrozdziale celów, misji i tezy, traktat ten może też pochwalić się całym szeregiem dodatkowych osiągnięć. Osiągnięcia te to wymowny materiał ilustracyjny jaki obrazowo dokumentuje niektóre co bardziej sekretne zasady postępowania UFOautów, jakie składają się na strategię ich sekretnego działania na Ziemi. Najważniejsze z nich wymienione i opisane zostaną w niniejszym podrozdziale, tak aby zapoznając się z tym traktatem, czytelnik miał okazję zwrócić też i na nie uwagę. Oto one:

1. Ustalenie, że na Ziemi trwa eliminowanie z obiegu fotografii wehikulów UFO. Eliminowanie to wykorzystuje zdolność tzw. "wehikulów czasu" (opisanych w podrozdziałach B3 i C9 tego traktatu) do cofania czasu do tyłu i do uniemożliwiania zajścia określonych zdarzeń jakie miały już miejsce w przeszłości. Innymi słowy, pierwszym istotnym osiągnięciem dodatkowym tego traktatu jest ustalenie szokującego faktu, że ktoś używa wehikuly czasu aby eliminować z obiegu fotografie wehikulów UFO. W rezultacie tego eliminowania ludzie nie mają możliwości dokładnego poznania jak wehikuly UFO naprawdę wyglądają. Aby dokładniej ujawnić na czym owa eliminacja polega i jakie są jej objawy, poniżej wyjaśnię pochodzenie i genezę materiału fotograficznego ilustrującego ten traktat.

Zdjęcia UFO jakie zinterpretowane są treścią tego traktatu wcale nie wykonane zostały przez samych autorów. Faktycznie są to zdjęcia zaczerpnięte ze wszelkich możliwych źródeł jakie tylko autorom były dostępne (t.j. Internet, książki, czasopisma, gazety, itp.). Oczywiście zamiarem autorów jest naukowe zinterpretowanie tych zdjęć oraz upowszechnianie rzetelnej wiedzy na ich temat, a nie przypadkiem unikanie wyrażenia naszego uznania dla ich wykonawców, czy ujmowanie zasług tym wszystkim którzy przyczynili się do ich upowszechnienia. Dlatego też ambicją autorów jest aby wraz z każdym zdjęciem przytoczone też w tym traktacie zostały możliwie najszersze dane historyczne jakie na temat jego powstania udało się autorom dotychczas zgromadzić. Niestety, wobec obecnego klimatu potępiania jaki otacza tych co demaskują obecność UFO na Ziemi, a także z powodów opisanych w podrozdziale VB4.1.1 monografii [1/4], bardzo trudno jest zdobyć jakiegokolwiek informacje na temat istniejących zdjęć UFO. Dlatego w wielu przypadkach jedyną informacją jaką na temat danego zdjęcia autorzy ustalili jest źródło w jakim zdjęcie to oryginalnie się pojawiło i z jakiego autorzy je zaczerpnęli. Jak też się okazuje, brak informacji na temat "kto, gdzie, i kiedy" jest powodem dla którego dane

zdjęcie NIE zostało zniszczone. Wszelkie zdjęcia co do których opublikowana została informacja "kto, gdzie, kiedy" faktycznie szybko eliminowane są z obiegu albo ogłaszane "fabrykacjami".

Innymi słowy, w świetle moich dotychczasowych badań UFO, trzech istotnych aspektów historii dowolnego zdjęcia UFO, t.j. dokładnych odpowiedzi na pytania kto, gdzie, i kiedy, nie powinno się nigdy publikować, ponieważ wiąże to się z najróżniejszymi niebezpieczeństwami. Przykładowo, z badań jakie opisane zostały w podrozdziale VB4.1.3 monografii [1/4] jednoznacznie wynika, że nie wolno jest publikować danych jakie umożliwiają odnalezienie wykonawców danego zdjęcia UFO, lub odnalezienie dokładnego miejsca z którego dane zdjęcie zostało pstryknięte i czasu w którym zdjęcie to wykonano. Powodem jest, że na Ziemi działają jakieś siły represyjne, często znane pod nazwą "men in black" (lub "MIB"), zaś w podrozdziale VB4.6.1 monografii [1/4] i w podrozdziale B3 traktatu [7/2] opisane jako "kosmiczni sabotażyści" lub "sprzedawczycy". Siły te z jednej strony mszczą się na autorach zdjęć UFO, sprowadzając na ich głowy najróżniejsze nieszczęścia i kłopoty (tylko autorzy zdjęć UFO którzy pozostali anonimowi unikają tej zemsty). Z drugiej zaś strony jeśli owe represyjne siły zdołają dokładnie ustalić kto, gdzie, i kiedy wykonał dane zdjęcie UFO, wówczas cofają one czas do tyłu i w nowym przebiegu czasu uniemożliwiają już wykonanie danego zdjęcia. Oczywiście, po uniemożliwieniu jego wykonania, w ponownym przebiegu czasu na Ziemi zdjęcie to już nie istnieje, a stąd nie daje się już opublikować. W ten sposób do wiadomości publicznej przedostają się jedynie zdjęcia które wykonane zostały przez anonimowych wykonawców, lub przez wykonawców których nie udaje się odnaleźć bo np. zmienili oni adres, nazwisko, kraj, lub zwyczajnie umarli, a stąd nie daje się już cofnąć ich w czasie do tyłu i uniemożliwić im wykonanie danego zdjęcia.

Oczywiście fakt, że ktoś systematycznie cofa czas do tyłu i uniemożliwia wykonanie zdjęcia co do którego jest wiadomym kto, gdzie, i dokładnie kiedy je wykonał, posiada szereg następstw jakie warte są tutaj podkreślenia bo zwykle umykają one uwadze tzw. "badaczy". Jednym z tych następstw jest, że praktycznie w przypadku żadnego ze zdjęć UFO jakie szeroko dostępne są w dzisiejszych publikacjach nie jest możliwym ustalenie precyzyjnej odpowiedzi na powyższe trzy pytania (t.j. "kto", "gdzie", i dokładnie "kiedy") - gdyby bowiem było ono możliwe, wówczas zdjęcie to byłoby już wycofane z obiegu poprzez uniemożliwienie jego wykonania w powtórny przebiegu czasu. Drugim z następstw jest, że jeżeli ktoś na własnej skórze doświadczył że próbował wykonać fotografię UFO, jednak fotografia ta przez jakiś zdumiewający zbieg okoliczności nie wyszła, wówczas to oznacza że ten ktoś faktycznie w oryginalnym przebiegu czasu już wykonał owo zdjęcie UFO i następnie było ono opublikowane, jednak potem ktoś cofnął jego czas do tyłu i uniemożliwił mu powtórne wykonanie tego zdjęcia (Najczęstszymi wybiegami uniemożliwiającymi powtórne wykonanie danego zdjęcia UFO są: (1) poruszenie aparatem w chwili naciśnięcia migawki - tak że zdjęcie wychodzi zupełnie nieostre, (2) zwolnienie upływu czasu - tak że w przedziale czasu naświetlania filmu nie wpada do aparatu wystarczająco dużo światła i stąd zdjęcie wychodzi niedoświetlone, (3) zajarzenie powietrza tuż przed obiektywem aparatu - tak że zdjęcie wychodzi prześwietlone, lub (4) spowodowanie zacięcia się aparatu - tak że zdjęcie w ogóle nie zostaje wykonane.)

Powyższe należy uzupełnić informacją, że z dotychczasowych badań UFO wyłania się pewność, że istnieje jednak wyjątek od powyższej reguły kasowania wszystkich zdjęć UFO co do których UFO-nauci zdołają ustalić "kto", "gdzie" i dokładnie "kiedy". Jak bowiem dotychczas udało się ustalić, w kilku szczególnych przypadkach UFO-nauci nie kasują danego zdjęcia nawet jeśli dokładnie znają powyższe dane. Dotychczas zidentyfikowane takie przypadki to: (1) kiedy dane zdjęcie zdoła uchwycić obraz wehikułu UFO jaki jest ogromnie mylący dla ludzi, i stąd jaki upowszechnia na Ziemi całkowicie mylący pogląd jak naprawdę UFO wyglądają, oraz (2) kiedy jakiś fotografujący po przypadkowym wykonaniu jednego autentycznego i czytelnego zdjęcia UFO zaczyna następnie "przedłużać swoją sławę" poprzez dalsze fabrykowanie fałszywych zdjęć UFO na jakim to fałszowaniu daje się

w końcu złapać, tak że świat posądza, że wszystkie wykonane przez niego zdjęcia są fałszerstwami - włączając w to i owo autentyczne zdjęcie jakie pokazuje poprawne kształty UFO.

2. Dowodowe zilustrowanie faktu nieustannego ukrywania się przed ludźmi zarówno wehikułów UFO, jak i załogantów tychże wehikułów (tj. samych UFOonautów). Kolejnym istotnym osiągnięciem tego traktatu, jest zilustrowanie na licznych przykładach że UFO jak tylko mogą tak przed ludźmi się ukrywają. Z kolei nawet przedszkolacy już wiedzą że "jeśli ktoś przed nami się ukrywa, ktoś ten nie ma wobec nas czystych zamiarów i powinniśmy się przed nim pilnować".

Jeśli chodzi o metody za pośrednictwem których UFO przed nami się ukrywają, to jak dotychczas udało się nam zidentyfikować ich cały szereg. Do metod jakie zilustrowane zostały fotograficznie w treści niniejszego traktatu należą:

(a) Ukrywanie się UFOonautów poprzez włączenie tzw. "stanu telekinetycznego migotania". Stan ten dokładniej został opisany w podrozdziale L2 monografii [1/4], zaś krótko wspomniany w podrozdziale B2 niniejszego traktatu i na totaliztycznej stronie internetowej o nazwie "dipolar\_gravity\_pl.htm". Polega on na bardzo szybkim migotaniu wehikułów UFO drugiej generacji (używających telekinezę do swego napędu), oraz samych UFOonautów, pomiędzy formą fizyczną (jaka jest widoczna dla oczu) a formą energetyczną (jaka wcale nie jest widoczna dla ludzkich oczu). Z powodu owego migotania, na przekór że UFOnauci, lub nawet całe wehikuly UFO, znajdują się w naszym mieszkaniu, ciągle wzrokowo nie będziemy w stanie odnotować ich obecności. (Być może z małym wyjątkiem - mianowicie w całkowitej ciemności taki niewidzialny wehikuł UFO może niekiedy spowodować przez przypadek jeden krótki błysk tzw. "jarzenia pochłaniania" jaki jest nieco silniejszy niż zwykle, a stąd jaki może już leżeć na pograniczu wzrokowego odnotowywania. Stąd dla tych co wiedzą czego wypatrywać, ów bardzo krótki i ledwo zauważalny wzrokowo błysk powietrza w ciemności może być wskaźnikiem że niewidzialne UFO właśnie jest już w ich mieszkaniu.)

Fakt nieustannego ukrywania się przed nami UFO właśnie poprzez włączenie owego stanu telekinetycznego migotania, zilustrowany został w tym traktacie na całym szeregu fotografii. Jedna z grup tych fotografii, zaprezentowana w podrozdziałach B2 i C8, pokazuje że faktycznie to otoczeni jesteśmy całym mnóstwem niewidzialnych wehikułów UFO i indywidualnych UFOonautów, osłoniętych przez naszym wzrokiem stanem migotania telekinetycznego. Wehikuly te niekiedy znajdują się tuż przy nas, lub w pełnym świetle dnia wlatują do naszych mieszkań, a mimo to zupełnie ich nie odnotowujemy. Najbardziej reprezentacyjne fotografie niewidzialnych UFO z tej grupy to zdjęcia Z\_2\_B2 oraz Z\_2\_C8. Natomiast niewidzialni dla ludzkich oczu UFOnauci ukrywający się w stanie migotania telekinetycznego pokazani zostali na zdjęciach Z\_4\_B2 i Z\_3\_C8.

(b) Ukrywanie się UFOonautów poprzez włączenie trybu soczewki magnetycznej. Tryb soczewki magnetycznej polega na otaczaniu wehikułów UFO specjalnie uformowaną konfiguracją ogromnie skoncentrowanego pola magnetycznego, jakie działa jak potężna soczewka, która jest całkowicie niewidzialna dla ludzkich oczu. Kolejna więc grupa fotografii z niniejszego traktatu, jaka ilustruje że UFO faktycznie celowo ukrywają się przed naszym wzrokiem poza ową soczewką magnetyczną, to przykładowo fotografie Z\_1\_B1.2 oraz Z\_1e\_B7.3.

(c) Ukrywanie się UFOonautów przed ludźmi poprzez otoczenie swych wehikułów sztucznie wytworzoną chmurą. Opisano je dokładniej w podrozdziale B7.8. Natomiast przykład wysoce charakterystycznych chmur, jakie w swoim wnętrzu właśnie ukrywają wehikuly UFO, pokazano na zdjęciu Z\_1\_B7.8, a także na odrębnej totaliztycznej stronie internetowej o nazwie "cloud\_ufo\_pl.htm".

Na dodatek do opisanych powyżej metod ukrywania się przed ludźmi, jakie zilustrowane zostały w obrębie niniejszego traktatu, już nam wiadomo że UFO stosują aż kilka dalszych metod ukrywania się jakie opisane zostały w odrębnych opracowaniach. Przytoczmy tutaj przykłady choćby najważniejszych z nich:

(d) Ukrywanie się UFOonautów przed ludźmi poprzez parkowanie swoich wehikułów w podziemnych jaskiniach. Opisano je dokładniej w odrębnym traktacie [4b]. Jest ono bardzo popularną metodą ukrywania UFO. Praktycznie niemal każda stojąca w odosobnieniu góra, posiada w swoim wnętrzu jaskinię w jakiej ukrywają się wehikuly UFO. Z wnętrza takich gór, parkujące w nich wehikuly UFO, uprowadzają ludzi z miejscowości otaczających daną górę, zupełnie bez potrzeby ruszania się z miejsca. Używają w tym celu "promienia podnoszącego". Przykładowo w Nowej Zelandii w dawnych czasach miejscowi Maorysi mieli nakazane przez swoich "duchowych opiekunów", że muszą tak budować swoje osiedla aby znajdowały się one w zasięgu wzroku z jednej z takich "świętych gór". Oszczędzało to owym "duchowym opiekunom" wysiłku dolatywania do miejscowości z jakiej zechcieli kogoś uprowadzić. Również w Polsce istnieją takie samotne góry, co do których już obecnie wiadomo że znajdują się w nich jaskinie ukrywające UFO. Przykładowo należą do nich: Babia Góra, Góra Śnieżka, oraz Łysa Góra. Oczywiście jaskinie w których parkowane są wehikuly UFO istnieją również na płaskich terenach. Jeśli zaś ponad nimi znajduje się pole zbożowe, wówczas wehikuly UFO podczas wlatywania do, lub z, owych jaskiń formują w zbożu unikalne wzory, typowo nazywane "kręgami zbożowymi" albo "piktogramami". W Polsce takie jaskinie do parkowania UFO znajdują się pod wsią "Wylatowo" - skąd pochodzą zdjęcia podobne do Z\_2\_B2. Znaczna liczba takich jaskiń istnieje też pod polami Anglii - skąd wywodzą się zdjęcia podobne do Z\_1\_B4 i Z\_1\_B5.6.

(e) Ukrywanie się UFOonautów przed ludźmi poprzez budowanie baz na planetach bliskich Ziemi. Aczkolwiek badania nad tymi bazami właśnie są dopiero w trakcie kompletowania, zaś jak dotychczas nie zostały one niemal nigdzie opublikowane, piszącemu ten traktat już obecnie wiadomo, że ogromne bazy mieszkalne i wypoczynkowe UFO znajdują się również na sąsiadujących z Ziemią planetach, mianowicie na Marsie i na Wenus. Do baz tych zresztą zabierane są relatywnie często osoby eksploatowane seksualnie przez UFOonautów - co zresztą raportowane jest wielokrotnie w literaturze UFOlogicznej. Oczywiście ludzie nienawykli do myślenia w kategoriach technologii wyższej niż dzisiejsza ziemska, odrzucają owe twierdzenia jako fantazję, argumentując że na planetach tych nie jest możliwym prowadzenie normalnego życia. Niestety, tacy krytykanci nie zadają sobie trudu aby poczytać "Teorię Magnokraftu", bowiem wyczytaliby z niej, że wehikuly UFO są w stanie zawisać bez żadnej szkody dla siebie, nawet we wnętrzu rozpalonych gwiazd, bowiem przed niszczyielskim otoczeniem osłania je tzw. "wir plazmowy" i "soczewka magnetyczna". Stąd ogromne wehikuly UFO mogą formować bazy mieszkalne praktycznie w każdym środowisku, włączając te środowiska jakie zdaniem dzisiejszych naukowców wogóle nie nadają się do zamieszkania ani do życia.

3. Dodatkowe potwierdzenie faktu nieustannego "pogrywania w kulki" UFOonautów z ludźmi. Następnym istotnym osiągnięciem tego traktatu, jest zilustrowanie na kilku przykładach, że załoganci wehikułów UFO nieustannie "pogrywają z ludźmi w kulki", celowo "wpuszczając nas w maliny" na każdym możliwym polu, zwodząc nas niemiłosiernie, szerząc konfuzję i zdezorientowanie, podpuszczając, mącąc za pośrednictwem oddanych sobie sprzedawczyków i kolaborantów, itp.

Najlepszą ilustracją owego nieustannego "wpuszczania nas w maliny", jest sprawa tzw. "kręgów zbożowych" z Anglii, skrótowo opisywana w podrozdziale B5.6 niniejszego traktatu, zaś bardziej wyczerpująco wyjaśniona w podrozdziale VB4.3.1 monografii [1/4]. Z uwagi na konieczność ukrywania wehikułów UFO w jaskiniach położonych pod polami zbożowymi Anglii, UFO zmuszane są do powtarzalnego "lądowania" w owych zbożach (tj. wolnego przenikania przez powierzchnię ziemi pokrytą owymi zbożami aby móc skrycie "parkować" wehikuly UFO w jaskiniach kryjących się tam pod powierzchnią ziemi). Nie są przy tym w stanie uniknąć formowania charakterystycznych "lądowisk UFO w zbożu" pokazanych np. na zdjęciach Z\_1\_B5.6 i Z\_4\_B5.6. Kiedy więc lądowiska te stały się przedmiotem uwagi i zainteresowania społeczeństwa, podjęte zostały przez UFOonautów iście szatańskie kroki dla zniszczenia ich wartości dowodowej. Do chwili obecnej wyraźnie wyróżnić się daje aż trzy różne fazy w tej "wojnie o zdemaskowanie prawdziwego

pochodzenia kręgów zbożowych". Faza pierwsza, rozciągająca się od czasu zwrócenia uwagi społeczeństwa na te "kręgi zbożowe", aż do około 1988 roku, polegała na inspirowaniu różnych alternatywnych (naturalnych) wyjaśnień dla ich powstawania. Z tego okresu wywodzi się kilkadziesiąt różnych sposobów wyjaśnienia ich pochodzenia (wyszczególnionych i częściowo omówionych w podrozdziale G2.2 monografii [5/3], oraz w podrozdziale O5.1 monografii [1/4]), z których żadne nie wspomina UFO. Kiedy jednak wyjaśnienia te jedno po drugim upadały pod naporem faktów obserwacyjnych, a stąd kiedy uwaga społeczeństwa znowu zaczęła się kierować na UFO, metoda "wpuszczania nas w maliny" używana przez UFOautów uległa zmienieniu. W rozpoczętej wówczas drugiej fazie omawianej tutaj wojny, do neutralizowania wartości dowodowej angielskich kręgów zbożowych wykorzystany został dezorganizujący impakt fałszowania kręgów zbożowych rękami sprzedawczyków. Liczne indywidualia zostały wówczas telepatycznie lub hipnotycznie zaprogramowane na pokładach UFO aby nocami wyszły na pola zbożowe Anglii, wykonały własnymi rękami podobnych kręgów, a potem przekazały w jakiś sposób społeczeństwu wiedzę o swym fałszerstwie (np. poprzez publiczne zadeklarowanie w TV iż to oni są twórcami wszystkich kręgów zbożowych, czy poprzez pozostawianie na kręgach swoich narzędzi lub symboli). Metoda ta okazała się skuteczna przez kilka lat, jednak około 1992 pod naporem faktów obserwacyjnych, uwaga społeczeństwa znów wróciła do UFO. Wtedy owa wojna o zacieranie śladów weszła w trzecią, realizowaną do dzisiaj fazę sabotażu. W tej trzeciej fazie, niezależnie od zwyczajnych lądowisk powstałych podczas rutynowego lądowania w zbożu, UFO formują też dodatkowe ślady maskujące, o ogromnej kompleksowości i niezwykłym wyglądzie. Z uwagi na ogromne możliwości sterownicze pędników UFO, te ślady maskujące wykonywane są w bardzo przemyślny sposób, tak że przypominają spektakularne dzieła sztuki namalowane w zbożu, nie zaś "miejsca lądowań wehikułów UFO". Doskonałe pojęcie o złożoności tych śladów maskujących daje "krąg zbożowy" w tym traktacie pokazany na rysunku Z\_1\_B4, a także kręgi sfotografowane w Anglii w 2000 roku - jakich zdjęcia publikowane są na stronie internetowej która w listopadzie 2000 roku posiadała adres <http://www.cropcircleconnector.com>, a także w artykule "UK Crop Circles of 1999", który ukazał się na stronach 49 do 54 dwumiesięcznika Nexus, Vol. 6, No. 6, October-November 1999. Ich znalazcy i badacze, którzy z powodu nieznamości Teorii Magnokraftu nie są zaznajomieni z możliwościami sterowniczymi wehikułów UFO, znowu więc zaczęli mieć wątpliwości. Wszakże według popularnej opinii tak złożone i kunsztowne "obrazy" nie mają prawa zostać uformowane w efekcie czegoś tak prozaicznego jak lądowanie wehikułów UFO. Aby na dodatek ugruntować wśród ludzi konfuzję, ostatnio zaczęła być intensywnie szerzona propaganda, że rzekomo kręgi zbożowe to "piktogramy" jakie formowane są w zbożu przez "pole morfogenetyczne kosmicznej siły twórczej" ("kosmiczna siła twórcza" to po prostu jedna z wielu nazw jaka w celu propagandowego upowszechniania na Ziemi "wyrafinowanego ateizmu" opisanego w podrozdziałach B4 i B5 traktatu [7/2], szerzona jest wśród ludzi jako alternatywna nazwa dla Boga). Równocześnie udało się też wyłumić rzeczowe badania kręgów zbożowych poprzez rozbicie i zneutralizowanie organizacji badającej te kręgi, skłócenie, rozproszenie i zniechęcenie przywódców inspirujących rzeczowe badania, przytłumienie zainteresowania społeczeństwa, oraz poprzez zrealizowanie szeregu innych działań zaradczych zgodnych z używaną przez na Ziemi sprawdzoną metodą eliminowania i neutralizowania śladów. Jednym z przykładów tej zwodniczej działalności jest nakładanie praw copyright i ścisłych wymagań płatniczych na najnowsze zdjęcia kręgów zbożowych, tak aby zdjęcia te nie mogły się swobodnie upowszechniać w społeczeństwie, a stąd aby ludzie nie mogli łatwo poznać ich wyglądu i poprawnej interpretacji. Ciekawe na jak długo ta obecna faza/metoda zacierania wartości dowodowej kręgów zbożowych z Anglii okaże się skuteczna, oraz jaki następny wybieg wymyślą ci szatańsko przebiegłi (i bardziej od ludzi inteligentni) dysponenci UFO aby w nieskończoność zwodzić w tej sprawie co bardziej przygłupawych ludzi.

Kolejnym przykładem celowego "wpuszczania nas w maliny", jaki relatywnie dobrze zilustrowany został w tym traktacie, jest sprawa prawdziwego kształtu UFO. Jak bowiem jednoznacznie wskazują na to fakty, ktoś za wszelką cenę stara się zwodzić ludzi co do prawdziwego wyglądu owych statków. Oczywiście, zwodzenie to ma ogromnie ważne cele na oku. Przykładowo, jak to wynika z Teorii Magnokraftu, kształt wehikułów UFO bezpośrednio wynika z zasady działania ich napędu. Poprzez więc zwodzenie nas w zakresie tego kształtu, ktoś skutecznie eliminuje niebezpieczeństwo że oficjalna nauka ziemską pozna zasadę działania tych wehikułów (oczywiście nieoficjalnymi kanałami zasada ta upowszechniana jest już od dawna przez Teorię Magnokraftu, niestety naukowcy uparcie odmawiają oficjalnego odnotowania istnienia Teorii Magnokraftu). Z kolei bez oficjalnej znajomości tej zasady żadne państwo nie będzie w stanie podjąć decyzji o zbudowanie takich wehikułów. Ponadto bez niej ludzie nie potrafią zbudować urządzeń jakie by im ukazywały UFO - tak więc wehikuły te nadal będą mogły ukrywać się przed ludzkim wzrokiem, jak również ludzie NIE będą mogli zbudować urządzeń jakie pozwoliłyby im zobaczyć te wehikuły. Przykładami przedsięwzięć jakie nieustannie są podejmowane, a jakie mają wyraźnie na celu ukrycie prawdziwych kształtów UFO, jest zezwalanie na upowszechnianie jedynie tych zdjęć UFO jakie oglądającym dają nieprawdziwe pojęcie co do kształtu tych wehikułów - jako przykład patrz zdjęcia Z\_1a\_B7.3 do Z\_1f\_B.3, promowanie publikowania sfałszowanych zdjęć UFO jakie ukazują nieprawdziwe kształty tych wehikułów (od zdjęć takich roją się najróżniejsze publikacje UFOlogiczne, aczkolwiek niniejszy traktat celowo ich nie prezentuje), oraz latanie nad ziemią niemal wyłącznie w trybach działania jakie albo ukrywają albo też wypaczają prawdziwe kształty UFO (np. w trybie soczewki magnetycznej, w trybie wiru magnetycznego, czy w trybie migotania telekinetycznego). W celu zmylenia ludzi co do prawdziwych kształtów UFO, od czasu do czasu przeprowadzane są też najróżniejsze kampanie propagandy zasiewającej konfuzję. Przykładowo ostatnio, za pośrednictwem najróżnorodniejszych środków propagandowych ktoś stara się nam wmówić, że UFO mają kształt trójkątny, aczkolwiek Teoria Magnokraftu wyraźnie wyjaśnia że trójkątne UFO nie istnieją chociaż niektóre typy UFO, które posiadają liczbę pędników bocznych podzielną przez 3 (np. UFO typów K4, K7 i K10 - patrz ich opisy w podrozdziałach B4.2, B4.5. i B4.8 niniejszego traktatu), są w stanie uformować najróżniejsze efekty optyczne jakie nadają im wygląd trójkątów - jako przykład patrz zdjęcie Z\_2\_B5.4.

Oczywiście, kręgi zbożowe i prawdziwe kształty UFO reprezentują tylko takie przykłady mylących działań, jakie albo dają się zilustrować, albo też dają się łatwiej objaśnić na podstawie ilustracji. Oprócz nich, na Ziemi zasiewane jest dosłownie ogromne morze konfuzji i celowego "wpuszczania ludzi w maliny". Cały szereg dalszych przykładów w tym zakresie omówiono w podrozdziale VB5.2 z tomu 17 monografii [1/4]. Jednym z bardziej interesujących przykładów takiego zasiewania konfuzji na Ziemi, jaki również zdemaskowany został dopiero podczas pisania niniejszego traktatu, jest odkrycie które szczegółowiej opisane zostało w rozdziale D. Ujawnia ono, że ktoś całkiem już otwarcie ingeruje we wszystkie strony internetowe i we wszystkie internetowe fora dyskusyjne, jakich treść wybiega przeciwko interesom UFO. Ingerencje te powodują, że owe strony i fora nie tylko iż czasami odmawiają działania - jeśli odwiedzane są przez postronne osoby, ale dla większej konfuzji i dla lepszego wyprowadzenia w pole osób jakie je wykonują, strony te wydają się całkowicie działające, oraz dają poprawne wyniki testowania, jeśli odwiedzane są przez swoich założycieli. Dlatego dzięki owemu celowemu wyprowadzaniu ludzi w pole, aby wykryć że dana strona została popsuta, koniecznym jest odwiedzenie jej z innego komputera oraz z użyciem odmiennego "login/username" niż komputer i "login/username" osoby która założyła daną stronę. Przyznajmy się tutaj jak wielu z nas wpadłoby na pomysł aby testować swoją stronę z nie swojego komputera i to pod nie swoim "login"? Tylko iście sztańskie umysły potrafią wpaść na pomysł takiego zwodzenia.

4. Zdemaskowanie "zasady extrapolacji metod działania" stosowanej w odniesieniu do ludzi. Następnym istotnym osiągnięciem jakie skryształizowane zostało dopiero podczas



pisania tego traktatu (choć dowody jakiegoś znane były piszącemu już wcześniej), jest odkrycie że w swoich niecznościach popełnianych na Ziemi UFO-nauci stosują interesującą regułę jaką możnaby nazwać "zasadą ekstrapolacji metod działania". Regułę tą warto poznać, bowiem otwiera ona nasze oczy na dotychczas nieuświadomiane formy szkodenia ludzkości. Generalnie rzecz biorąc stwierdza ona, że jeśli odkryta zostanie jakaś metoda postępowania z ludźmi która okazuje się wysoce efektywna w jednej dziedzinie, dając w owej dziedzinie wymierne korzyści, wówczas metoda ta jest ekstrapolowana również i do innych dziedzin aby także i tam być użyta na ludziach. W rezultacie, jeśli przeanalizować metody szkodenia ludzkości w wielu odmiennych dziedzinach, wówczas okazuje się że używane jest w nich zaledwie kilka wypróbowanych w działaniu metod, jakie potem tylko odpowiednio są adaptowane do danej dziedziny. Przykładowo, metodę wprowadzania nas w błąd w zakresie prawdziwego pochodzenia "kręgów zbożowych", jaka polega na "eskalowaniu kolejnych wyjaśnień", powtarzana jest w niemal identycznej formie w odniesieniu do wyjaśnienia pochodzenia ujmowanych przypadkowo na naszych fotografiach jarzących się białe ośmiobocznych wylotów z pędników niewidzialnych UFO. (Więcej na temat owych wylotów z pędników niewidzialnych UFO wyjaśnione zostało w podrozdziale D2 traktatu [4b], oraz w podrozdziale S6 monografii [1/4].) I tak początkowo podsuwane było ludziom wyjaśnienie, że owe białe ośmioboczne formy przypadkowo ujmowane na naszych zdjęciach, to "naturalne odbicia" migawek aparatów fotograficznych. Potem ktoś wprowadził ideę że ktoś fabrykuje owe kształty aby celowo nabierać maluczkich. Ostatnio więc celowo są "malowane" na zdjęciach wybranych ludzi całe obrazy ze światła - tylko patrzeć jak ktoś wyjdzie z rewelacyjnym wyjaśnieniem, że owe "obrazy ze światła" przypadkowo ujmowane na naszych fotografiach, to naturalne "piktogramy" formowane przez "pole morfogenetyczne kosmicznej siły twórczej"!

Omawiana tutaj "zasada ekstrapolacji metod zwodzenia ludzi" posiada jedno bardzo istotne praktyczne zastosowanie jakie warto jest w tym miejscu wyjaśnienia. Mianowicie zgodnie z tym zastosowaniem, jeśli na Ziemi istnieje jakiś ciągle niewyjaśniony rodzaj szkodliwej działalności, jakiego sprawcy pozostają nieznani, jednak w sensie użytej metody postępowania jeśli działalność ta jest wyraźnie zbieżna z jakimś już zidentyfikowanym obszarem szkodliwego działania, wówczas wykrycie takiego podobieństwa metod świadczy o fakcie że za ową niewyjaśnioną szkodliwą działalnością także kryją się te same metody i ci sami sprawcy. Wyrażając to innymi słowami, jeśli znane są dwie nieczności, z których o jednej już wiadomo że popełniana ona jest np. przez UFO-nauców, zaś o drugiej wiadomo że jest bardzo podobna do tej popełnianej przez UFO-nauców, wówczas powinno się przyjmować że także i owa druga popełniana jest przez UFO-nauców.

Oczywiście wiedząc o owej "zasadzie ekstrapolacji" można teraz wskazać dosłownie dziesiątki przykładów najróżniejszych nieczności, o popełnianie jakich posądzaliśmy dotychczas naszych bliźnich, jednak jakie zgodnie z wskazaniem tej zasady faktycznie popełniane są przez UFO-nauców - tyle że winę za nie umiejętnie zrzucają oni na ludzi. Nie będę jednak narazie odbierał snu czytelnikowi, stąd omówienia tych nieczności dokonam w jakimś innym opracowaniu. W tym miejscu chciałbym jednak przytoczyć jeden wymowny ich przykład, mianowicie "wirusy komputerowe". O pisanie wirusów komputerowych zawsze posądzaliśmy naszych bliźnich, zachodząc w głowę, jakież to "świnie" z nich muszą być że nie wahają się przed popełnianiem takich nieczności. Tymczasem jeśli przeanalizować metodę według której rozwija się sprawa wirusów na Ziemi, okazuje się że metoda ta jest bezpośrednim zaadoptowaniem do komputerów metody zgodnie z którą rozwija się omówiona wcześniej sprawa angielskich kręgów zbożowych. A więc początkowo dawało się w niej wyodrębnić fazę "naturalną", potem była faza "fabrykantów" jacy dawali się złapać, obecnie zaś wchodzimy w fazę "piktogramów" malowanych w naszej "cyberspace". Otóż jeśli ktoś weźmie poważnie omawianą tutaj "zasadę ekstrapolacji", wówczas się okazuje że zasada ta m.in. wskazuje że za upowszechnianiem się wirusów komputerowych na Ziemi kryją się te same moce które powodują tzw. "manifestacje UFO". Oczywiście już

widzę owych zachniętych czytelników, którzy z niedowierzaniem potrząsną głowami i stwierdzą "komputery ... niemożliwe, przecież to nasze a nie ICH urządzenia". Takim niedowiarkom chciałbym jednak polecić uwadze to co w rozdziale D wyjaśniłem na temat ingerencji w działanie stron internetowych szkodliwych dla interesów UFO. Jeśli zaś UFO-nauci są wystarczająco inteligentni i obeznani w naszych komputerach aby wyprowadzać nas w pole manipulując naszymi stronami internetowymi, są także i wystarczająco inteligentni aby upowszechniać wirusy komputerowe i potem zrzucać winę za te wirusy na kilku półgłówków jacy po hipnotycznym zaprogramowaniu usiłują ich w tym naśladować. A jeśli chodzi o dostęp do naszych komputerów, to poprzez wprowadzenie do swojego komputera niewielkiego programiku jaki rejestrował dla mnie daty, dni tygodnia, i godziny kiedy ktoś niepowołany włączał działanie mojego komputera, odkryłem że komputer ten często włączany jest w środku nocy kiedy wszyscy śpią i praktycznie nikt do komputera tego nie ma dostępu, a także że raz włączony on nawet został w środku dnia kiedy tylko na chwilę zamknąłem go kluczem i wyszedłem na spacer do parku. Proponuję aby niedowierzający mi czytelnicy którzy podejmują jakieś działania nastawione na dobro całej ludzkości, też poinstalowali w swoich komputerach takie programiki raportujące, a wówczas być może dokonają oni dosyć szokujących ich odkryć!

5. Ponowne potwierdzenie, że ktoś wszelkimi sposobami uniemożliwia pisanie i publikowanie rzetelnej informacji na temat UFO. Kolejnym istotnym faktem, jaki jeszcze raz potwierdzony został podczas pisania tego traktatu (choć piszący ten traktat doświadczył go już wielokrotnie poprzednio), to czyjeś bezpardonowe działania aby powstrzymać napisanie i opublikowanie demaskujących opracowań na temat UFO, takich jak niniejszy traktat. Jak bowiem zostało to już podkreślone we wstępie do traktatu [7/2], każdego kto upowszechnia rzetelną wiedzę na temat UFO, zawsze dotyczą najróżniejsze przypadki jakich należy się spodziewać że muszą one dotknąć wszystkich tych którzy walczą z wszechmocnym, aczkolwiek niewidzialnym i szatańsko przebiegłym wrogiem i pasożytem ludzkości. Faktycznie też z chwilą gdy tylko niniejsze opracowanie zostało rozpoczęte, natychmiast jego autorom zaczęły przydarzać się owe dziwne przypadki, jakich tylko opisanie zajęłoby więcej miejsca niż objętość niniejszego traktatu. Aczkolwiek bardzo trudno ustalić kto ponosi odpowiedzialność za powodowanie wszystkich tych przypadków, jednak ów dziwny ciąg zbiegów okoliczności, że wszystkie one mają dokładnie taki przebieg i charakter aby powstrzymywały pisanie i publikowanie niniejszego traktatu, wymownie demaskuje kto się za tym wszystkim kryje, i mówi sam za siebie.

Jeśli chodzi o Pana Wróbla to w zakresie tego co go dotyka zawsze zachowuje on wyjątkową dyskresję. Niemniej ze skąpych wzmianek jakie niekiedy i jemu się wymykają, wnoszę że również i pod nim piekło się dosłownie otworzyło, zaś przypadki jakie go dotknęły już zdołały objąć niemal cały "diabelski arsenał", zaczynając od systematycznego sabotażowania wszelkich jego działań prowadzonych w celu opracowania i upowszechnienia tego traktatu, poprzez ataki na źródło jego utrzymania, a skończywszy nawet na próbie zamachu na jego życie (który on zresztą uważa za najzwyczajniejszy wypadek i przypadkowy zbieg okoliczności).

\* \* \*

Jeśli ktoś przeanalizuje znaczenie zestawionych powyżej najważniejszych osiągnięć tego traktatu, wówczas okazuje się że każde z tych osiągnięć reprezentuje sobą zestawienie materiału dowodowego. Gdyby spróbować przyporządkowania rangi do tego materiału, to zgodnie np. z ziemskim sądownictwem uważany on byłby za najbardziej obiektywny ze wszystkich możliwych materiałów dowodowych - wszakże przyjmuje on formę dowodów fotograficznych. Z kolei jeśli ktoś przeanalizuje czego każde z tych zdjęć dowodzi, wówczas okazuje się że cały przeogromny materiał dowodowy zgromadzony w tym traktacie dowodzi tego samego faktu, mianowicie że na przekór iż UFO celowo jest ukrywane przed ludzmi, na Ziemi potarzalnie mają miejsce manifestacje obiektywnie istniejących i konsystentnie fotografowalnych wehikułów popularnie zwanych UFO.

### A3. Konwencje stosowane podczas pisania tego traktatu

Traktat ten składa się z kilku odrębnych części zaprezentowanych w oddzielnych rozdziałach. Materiał zdjęciowy prezentowany jest głównie w dwóch jego rozdziałach, mianowicie w rozdziale B - który ma za zadanie wyjaśnienie i zilustrowanie podstaw teoretycznych wynikających z Teorii Magnokraftu jakich znajomość jest niezbędna dla efektywnej interpretacji zdjęć UFO, oraz w rozdziale C - który zawiera album najbardziej reprezentacyjnych zdjęć UFO wraz z ich naukowymi interpretacjami.

W obrębie niniejszego traktatu pokazane zostały trzy kategorie materiału ilustracyjnego. Pierwsza z tych kategorii to oryginalne zdjęcia UFO jakie wyszukane zostały (przez Pana Adama Wróbla) w najróżniejszych źródłach, i następnie przytoczone tutaj dla celów interpretacyjnych. W tekście tego traktatu zdjęcia te oznaczane są słowem "zdjęcie" (Z\_) i symbolem oznaczającym numer kolejny tego zdjęcia (symbol ten składa się z liczby jaka jest numerem kolejnym danego zdjęcia w określonym podrozdziale, oraz z oznaczenia podrozdziału do jakiego zdjęcie to przynależy; z kolei oznaczenie podrozdziału składa się z litery i numeru). Natomiast w zbiorach/plikach komputerowych w jakich dane zdjęcie jest dostępne w Internecie, jego nazwa zawsze zaczyna się od symbolu 4c oznaczający numer kolejny niniejszego traktatu [4c] na wykazie z rozdziału G, w środku zawiera numer podrozdziału tego traktatu w jakim zdjęcie to jest omawiane i numer kolejny zdjęcia w danym podrozdziale, zaś kończy się na literze z (od słowa "zdjęcie"). Druga kategoria pokazywanego tutaj materiału ilustracyjnego to powiększenia owych oryginalnych zdjęć UFO. Mają one na celu dokładne pokazanie szczegółów wehikułu UFO uchwyconego na danym zdjęciu. Powiększenia te w tekście traktatu oznaczane są słowem "powiększenie" (P\_) po jakim następuje symbol oznaczający numer kolejny oryginalnego zdjęcia UFO z jakiego dokonano dane powiększenie (t.j. numer kolejny danego zdjęcia i numer kolejny jego powiększenia zawsze są takie same). Natomiast w zbiorach/plikach komputerowych oznaczenia powiększeń kończą się na literce "p" poza którą wszystkie inne dane są w nich identyczne jak dane zdjęcia z którego powiększenia te pochodzą. Powiększenia niemal w każdym przypadku wykonane zostały osobiście przez Pana Adama Wróbla. W końcu trzecia z kategorii materiału ilustracyjnego użytego w tym traktacie, to "rysunek" (R\_). W zbiorach/plikach komputerowych ich symbolem jest pierwsza litera "r". Rysunek pokazuje co dane zdjęcie sobą przedstawia. Interpretuje on więc obraz UFO jaki na zdjęciu tym został uchwycony. Wszystkie pokazane w tym traktacie rysunki wykonane zostały osobiście przeze mnie (dra Jana Pająka), zaś ich oryginalne opublikowanie i omówienie zawarte jest w monografii [1/4].

Aczkolwiek każdy szczegół tego traktatu powstał ze wzajemną zgodą i współpracą obu jego współautorów, ciągle podczas jego realizacji istniał ścisły podział ról, obowiązków, i specjalizacji. I tak Pan Mgr Adam Wróbel przejął na siebie zadania wypracowania strony graficznej tego traktatu, oraz realizacji jego upowszechniania. To on wyszukiwał więc niemal wszystkie użyte w tym traktacie zdjęcia UFO, przygotowywał ich powiększenia, wkomponowywał ilustracje w tekst opisowy, itp. Niemal wszystko więc co w traktacie tym kryje się za podpisem/symbolem "zdjęcie" lub "powiększenie" (lub "z", lub "p") jest jego wkładem. Ponadto jego wkład obejmuje też zgromadzenie i przekazanie mi do dalszego opracowania wszelkich dostępnych mu danych o historii, źródle, i parametrach każdego z użytych tutaj zdjęć UFO (które to dane mogłem następnie wkomponować w tekst opisów), zweryfikowanie i dogłębienie mojej nieco już zardzewiałej przez dwudziestoletnie nie używanie polszczyzny, oraz dokonywanie wszelkich pracochłonnych i wymagających komputerowej ekspertyzy działań związanych z udostępnianiem tego traktatu w Internecie. Z kolei ja (dr Jan Pająk) przejąłem na siebie wszelkie działania związane z napisaniem tego traktatu oraz z badaniami kryjącymi się za zawartymi w nim interpretacjami zdjęć UFO. Tak więc ja przygotowałem układ treści, koncept opisów, tekst narracji, badania pokazanych tutaj zdjęć UFO i ich interpretacje, oraz podbudowę teoretyczną dla interpretacji. Moim

wkładem do tego traktatu jest więc większość zawartego w nim tekstu pisanego (aczkolwiek nad poprawnością polszczyzny tego tekstu czuwał Pan Adam Wróbel). Także ja wziąłem na siebie przygotowanie rysunków objaśniających co dane zdjęcie sobą przedstawia - rysunki tym różnią się od zdjęć i powiększeń że oznakowane zostały symbolem "rysunek" (i symbolem "R\_"). Oczywiście, jak mogłem tak też pomagałem Panu Magistrowi Adamowi Wróblowi w niezwykle czasochłonnym, pracochłonnym, i odpowiedzialnym zadaniu wyszukiwania zdjęć UFO, przetrząsając dla tych zdjęć biblioteki z okolic Timaru oraz wizytując biblioteki we wszystkich miejscowościach jakie odwiedzałem - owe procentowo nieliczne zdjęcia jakie zdołałem w ten sposób znaleźć można rozpoznać po tym że pochodzą one z wydanych poza Polską książek o angielskojęzycznych tytułach.

## Rozdział B:

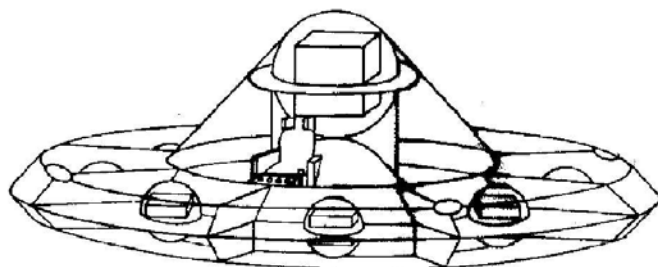
**PODSTAWY TEORETYCZNE DLA INTERPRETACJI ZDJĘĆ UFO**

Motto tego rozdziału: "Aby coś zauważyć najpierw trzeba o tym wiedzieć."

Poprzedni rozdział wyjaśnił nam że interpretacji zdjęć UFO należy dokonywać w oparciu o tzw. **"postulat zamienności UFO i magnokraftów"**. Postulat ten wynika z formalnego dowodu opublikowanego w podrozdziale P2 monografii [1/4], a stwierdzającego że "UFO to już zbudowane magnokrafty". Aby więc zinterpretować co właściwie przedstawia dane zdjęcie UFO, zgodnie z owym "postulatem zamienności UFO i magnokraftów" wystarczy założyć że zdjęcie to przedstawia sobą magnokraft, a następnie wyjaśnić co zgodnie z Teorią Magnokraftu takie właśnie zdjęcie tego statku sobą reprezentuje. Oczywiście, jeśli komuś dobrze jest znana Teoria Magnokraftu, wówczas takie zinterpretowanie zdjęcia UFO staje się zadaniem bardzo łatwym. Jeśli jednak ktoś nie jest obznajomiony z Teorią Magnokraftu, w takim przypadku będzie miał poważne trudności ze zrozumieniem co dane zdjęcie przedstawia. Wszakże aby to zrozumieć najpierw musi poznać co właściwie stwierdza Teoria Magnokraftu.

Dokładne opisy tej części Teorii Magnokraftu jaka odnosi się do samego statku zwanego "dyskoidalnym magnokraftem", zawarte są głównie w rozdziałach F tomów 3 z dwóch bardzo do siebie podobnych monografiach naukowych które w rozdziale G tego traktatu oznaczone są symbolami [1/4] i [1/5]. W przypadku pozostałych urządzeń wchodzących w skład tej teorii, ich opisy zawarte są w odrębnych rozdziałach owych monografiach [1/4] lub [1/5], np. komory oscylacyjne opisane są tam w rozdziałach C, wehikuł czteropędnikowy opisany jest tam w rozdziałach D, magnetyczny napęd osobisty opisany jest tam w rozdziałach E, itp. (niemal każdy z owych rozdziałów posiada objętość przekraczającą objętość niniejszego traktatu). Na wypadek gdyby czytelnik nie miał możliwości zapoznania się z opisami owej rozległej monografii [1/4] lub jej nowszej wersji monografii [1/5], w niniejszej części tego traktatu podsumowane teraz zostaną w ogromnym skrócie najbardziej podstawowe informacje na temat budowy, działania, i wyglądu magnokraftów. Czytając te opisy warto pamiętać, że chociaż sformułowane one zostały dla ziemskich magnokraftów, z uwagi na istnienie "postulatu zamienności UFO i magnokraftów" faktycznie to objaśniają one również i budowę oraz działanie UFO.

Zapoznanie się z magnokraftem warto rozpocząć od poznania ogólnego wyglądu tego dyskoidalnego statku kosmicznego. (Wszakże poznając wygląd magnokraftu poznajemy równocześnie prawdziwy wygląd UFO.) Ponieważ w traktacie tym wygląd magnokraftu wykorzystywany jest do ilustrowania wyglądu UFO, faktycznie więc każdy z rysunków oznaczonych symbolem zaczynającym się od litery "R\_" pokazuje jak magnokraft wygląda. Oczywiście poszczególne rysunki pokazują magnokraft z odmiennych stron, w odmiennych położeniach, konfiguracjach, warunkach, w odmiennych typach konstrukcyjnych, itp. Na tym wstępnym etapie najlepiej więc przyglądnąć się magnokraftowi typu K3 pokazanemu z boku - t.j. oglądnąć sobie rysunek **R\_1\_B1.1**, oraz magnokraftowi pokazanemu lekko od dołu - np. patrz rysunki R\_1\_B4 i R\_1\_B7.2.

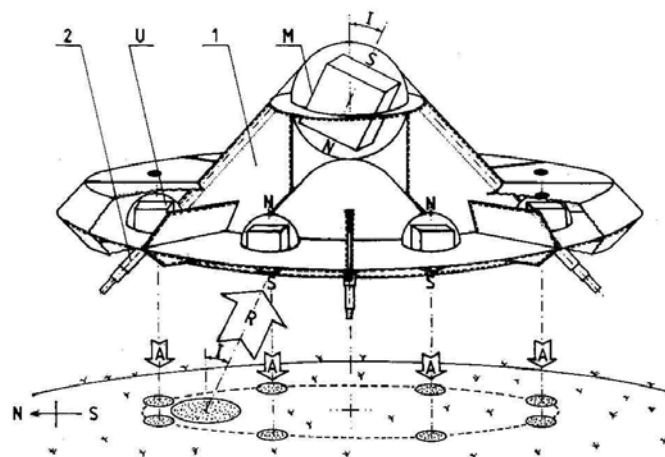


Rys. R-1-B1.1. Wygląd boczny najmniejszego magnokraftu typu K3. (Pochodzenie: "Rys. F1a" w [1/4]).

Po poznaniu jak magnokraft wygląda, czas teraz aby dowiedzieć się jak statek ten jest zbudowany, z jakich podzespołów się składa, itp. Ogólną budowę i najważniejsze podzespoły najmniejszego z dyskooidalnych magnokraftów, tzw. "typu K3", pokazano w widoku bocznym na rysunku R\_1\_B. Dla ukazania konstrukcji wewnętrznej tego statku, rysunek R\_1\_B posiada celowo wprowadzone wyrwanie (wykroj) w przedniej części jego powłoki zewnętrznej. Dzięki temu wyrwaniu możliwe jest pokazanie co poza powłoką tą się kryje. Kształt zewnętrzny tego wehikułu przypomina dysk lub spodek odwrócony do góry dnem. Napęd magnokraftu formowany jest przez układ specjalnych urządzeń napędowych nazywanych "pędnikami". Na rysunku R\_1\_B pędniki te pokazano jako kuliste obudowy (oznaczone tam symbolami "M" i "U") jakie zawierają w swoim wnętrzu przezroczyste kostki sześciennie. (Kostki te to tzw. "komory oscylacyjne" jakie omówione zostaną kilka paragrafów dalej.) W sensie zasady działania, każdy pędnik magnokraftu wyobrażać sobie należy jako rodzaj silnego magnesu wytwarzającego pole magnetyczne o tak ogromnej mocy, że pole to jest w stanie odepchnąć się od pola magnetycznego Ziemi wynosząc w ten sposób w przestrzeń masę całego magnokraftu i jego załogi.

Magnokraft posiada dwa rodzaje pędników: główny (M) i boczne (U) - patrz rysunek R\_1\_B. Pojedynczy pędnik główny (M) zawieszony jest w centrum tego wehikułu. Bieguny magnetyczne tego pędnika typowo są tak zorientowane, że odpychają go one od pola magnetycznego otoczenia (którym może być pole Ziemi, Słońca, lub Galaktyki). W ten więc sposób pędnik (M) wytwarza siłę unoszącą cały wehikuł w górę - na rysunku R\_1\_B oznaczoną jako (R) (od angielskiego "repulsion"). Owa siła nośna wydzwiga i utrzymuje magnokraft w przestrzeni. Oś magnetyczna pędnika (M) jest prawie zawsze utrzymywana w położeniu stycznym do linii sił pola magnetycznego otoczenia istniejącego w obszarze działania tego statku. Ponieważ linie sił pola magnetycznego Ziemi niemal wszędzie są nachylone pod kątem, stąd oś pędnika (M) większość czasu jest ustawiona ukośnie do powierzchni ziemi. Najbardziej zaś efektywne zorientowanie magnokraftu w locie jest kiedy jego podstawa ustawiona zostaje prostopadle do lokalnego kierunku ziemskiego pola magnetycznego. To dlatego wehikuł UFO uchwycony na rysunku Z\_1\_B2 zawisa pod kątem do powierzchni ziemi. Czasami jednakże owo zorientowanie musi zostać nieco zmienione aby wehikuł ten mógł manewrować lub lądować (jak to pokazano na rysunku R\_1\_B).

Każdy magnokraft (i UFO) posiada także określoną liczbę "n" pędników bocznych (U) - np. magnokraft i UFO typu K3 posiada  $n=8$  pędników bocznych. Pędniki te zamontowane są w równych odstępach od siebie na obwodzie okręgu przebiegającego przez wnętrze specjalnie skonstruowanego kołnierza bocznego tego statku. Bieguny magnetyczne tych pędników są zorientowane tak aby przyciągały one pole magnetyczne otoczenia. W ten sposób pędniki boczne wytwarzają siły przyciągające - na rysunku R\_1\_B oznaczone jako (A) od angielskiego "attraction", które stabilizują ten wehikuł i utrwalają jego orientację w przestrzeni. Dla zwiększenia stabilności tego statku, pędniki boczne są zamontowane nieco poniżej pędnika głównego, tworząc razem z nim rodzaj "konfiguracji dzwonowej" jaka w fizyce znana jest ze swojej wysokiej stabilności. Wszystkie pędniki boczne zamontowane są w poziomym kołnierzu jaki obiega podstawę magnokraftu wyglądając jak obrzeże talerza. Kołnierz ten, wraz z zawartymi w nim pędnikami, osłonięty



Rys. R-1-B: Budowa i główne podzespoły najmniejszego magnokraftu typu K3, ujawnione dzięki wykrojowi w jego powłoce. (Pochodzenie rysunku: "rys. A1a" w [1/4].)

jest specjalną soczewko-kształtną owiewką aerodynamiczną wykonaną z materiału przenikalnego przez pole magnetyczne (ścianki wykonane z materiału nieprzenikalnego dla pola magnetycznego na rysunku R\_1\_B obwiedziono przerywaną linią).

Każdy pędnik magnokraftu wytwarza pole magnetyczne o ogromnej tzw. "długości efektywnej". Owa długość efektywna to po prostu obszar przestrzeni w które pole magnetyczne wytwarzane z danego pędnika dominuje swą wartością nad polem magnetycznym otoczenia, w rezultacie tej dominacji formując składową siłę wyporu magnetycznego. Piszący ten traktat dokonał odpowiednich obliczeń (opublikowanych w podrozdziale F5.3 monografii [1/4]) i wyznaczył, że przykładowo pędnik o fizycznej długości tylko 1 metra wytworzy pole magnetyczne które przyjmie długość efektywną jaka w nawet najniekorzystniejszych warunkach przekroczy rozpiętość 1000 kilometrów (t.j. jednometrowy pędnik w swoim działaniu faktycznie zachowywał się będzie jak olbrzymi hipotetyczny magnes o długości ponad 1000 kilometrów). Stąd pole z tego pędnika pokona jednorodność ziemskiego pola magnetycznego i wytworzy liczącą się siłę magnetyczną netto. Siła ta z kolei spowoduje napędzanie magnokraftu w zdefiniowanym przez jego komputer sterujący kierunku.

Liczba "n" pędników bocznych w danym magnokrafcie charakteryzuje typ tego statku. Liczba ta zależy od współczynnika konstrukcyjnego zwanego "Krotność" i oznaczanego przez literę "K". Wzajemny związek pomiędzy tą liczbą "n" i współczynnikiem "K" wyraża się następującym wzorem **(1B)**:  $n=4(K-1)$ . Nazwa "Krotność" dla współczynnika "K" wynika z faktu, że wyraża on stosunek gabarytowej średnicy wehikułu "D" do jego wysokości "H", t.j. **(2B)**:  $K=D/H$ . Z uwagi na różnorodne współzależności siłowe i konstrukcyjne występujące w magnokraftach, a opisane w artykule [1B] z "Horyzontów Techniki" nr 5/1985, strony 10-11, a także wyprowadzone i opisane w podrozdziale F4 z tomu 3 obu monografii [1/4] i [1/5], w poszczególnych typach tych statków współczynnik "K" może przyjąć tylko jedną z ośmiu wartości całkowitych leżących w przedziale od  $K=3$  do  $K=10$ . Dlatego też wartość przyjęta przez ten współczynnik w indywidualnym magnokrafcie kwalifikuje dany wehikuł do jednego z ośmiu głównych typów, nazywanych typami K3, K4, K5, K6, K7, K8, K9, lub K10. I tak w typie magnokraftów oznaczonym jako K3 (którego wygląd pokazany został na rysunku R\_1\_B) współczynnik "K" przyjmuje wartość  $K=3$  (stąd, zgodnie ze wzorem (1B), liczba pędników bocznych jest w nim równa  $n=4(3-1)=8$ ). Typ K4 posiada odpowiednio  $K=4$  i  $n=12$ . Typ K6 - odpowiednio  $K=6$  i  $n=20$ . Zaś typ K10 - odpowiednio  $K=10$  i  $n=36$ .

Współczynnik "K" jest niezwykle istotny dla konstrukcji magnokraftu. Definiuje on bowiem wszystkie parametry konstrukcyjne tego statku, włączając w to jego kształt i wymiary. Dla przykładu średnica gabarytowa "D" magnokraftu również zależy od "K" i wyraża się wzorem **(3B)**:  $D=0.5486 \times 2^K$  [metrów] (słownie: średnica D magnokraftów i UFO wyrażona w metrach jest równa współczynnikowi 0.5486 pomnożonemu przez dwa do potęgi K). (Jednostka długości użyta w powyższym wzorze a równa  $c_c = 0.5486$  metra stanowi uniwersalną jednostkę długości nazywaną "Kubitem Kosmicznym"; jednostka ta musi być używana do wymiarowania wszystkich wehikułów magnokrafto-podobnych (np. UFO) przez wszystkie cywilizacje budujące te wehikuły - patrz monografia [1/4].) Ponieważ współczynnik "K" jest stosunkowo łatwym do wyznaczenia (nawet za pomocą radaru i programu komputerowego), stanowi on istotny parametr identyfikujący jaki umożliwia załogom innych statków, a także obserwatorom naziemnym, szybkie i niezawodne ustalenie wszystkich szczegółów obserwowanego statku. Wyznaczenie "K" ze zdjęcia, obrazu, lub obserwacji danego magnokraftu sprowadza się wszakże do wyznaczenia ze wzoru (2B) ile razy wysokość "H" tego wehikułu mieści się w jego średnicy "D".

Pomiędzy pędnikiem głównym (M) i pędnikami bocznymi (U) magnokraftu zawarta jest jego kabina załogi - patrz (1) na rysunku R\_1\_B. Przyjmuje ona kształt stożkowatego pierścienia i wygląda jak ścianki boczne spodka odwróconego do góry dnem. Poszycie (powłoka) tej kabiny wykonane jest z materiału nieprzenikalnego dla pola magnetycznego (t.j. wykazującego właściwość zwaną "magnetorefleksyjnością" - czyli odbijaniem pola magnetycznego w sposób podobny jak lustro odbija światło). Wzdłuż wewnętrznych

(nachylonych) ścianek kabiny załogi zamontowane są teleskopowe nogi (2) wehikułu. Nogi te wysuwane są jedynie na czas lądowania.

Powłoka magnokraftu jest to mechanicznie wytrzymała skorupa ochronna z materiału magnetorefleksyjnego, jaka utrzymuje wszystkie urządzenia statku w wymaganych położeniach oraz oddziela wnętrze statku od otaczającej go przestrzeni. Wykonana jest ona z przezroczystego materiału, który ma płynnie sterowalny stopień refleksyjności dla światła. Jednym więc razem (np. podczas przelotów statku w pobliżu słońca) załoga magnokraftu może zmienić tą powłokę w srebrzyście lśniące lustro odbijające całkowicie wszelkie padające na nią światło, innym zaś razem (np. podczas lotów nocnych lub w obszarach o przyziemnym świetle) może uczynić ją nawet całkowicie przezroczystą. W przypadku gdy powłoka ta uczyniona zostaje przezroczystą, postronny obserwator może zobaczyć wewnętrzne podzespoły statku (np. pędniki, fotele załogi, itp.) - jak pokazano to na rysunku R\_1\_B.

Końcowa konstrukcja magnokraftu obejmuje jego powłokę, system napędowy (pędniki), kabinę załogi, komputer pokładowy, oraz inne podzespoły i urządzenia. Wygląd boczny tej końcowej konstrukcji pokazano na rysunku R\_1\_B1.1.

W konstrukcji magnokraftu dodatkowego objaśnienia wymaga budowa pędników. Pędniki te zawierają bowiem ogromnie ważne urządzenia magnokraftu zwane "komorami oscylacyjnymi". Każdy pędnik zawiera w sobie dwie takie komory oscylacyjne zestawione razem w tandemy jakie zwane są "kapsułami dwukomorowymi". Stąd pędniki to po prostu indywidualne moduły napędowe magnokraftu, jakie oprócz kapsuły dwukomorowej, i utrzymującej tą kapsułę kulistej obudowy, zawierają w sobie również urządzenia manipulujące kierunkiem wydatku magnetycznego, oraz urządzenia sterujące mocą, wydatkiem, i charakterystyką wytwarzanego ciągu magnetycznego.

"Komora oscylacyjna" jest to urządzenie (wynalazku piszącego ten traktat) do produkcji niezwykle silnych pól magnetycznych. Jej działanie oparte zostało na całkowicie nowej zasadzie, nieznaną dotychczas na Ziemi, szczegółowo opisanej w rozdziałach C monografii [1/5] i [1/4]. Komory takie budować można aż w trzech generacjach, różniących się od siebie kształtem przekroju poprzecznego. Komora tzw. "**pierwszej generacji**" posiada przekrój kwadratowy. Stąd najczęściej przyjmuje ona kształt przezroczystej kostki sześcienniej, pustej w środku. Niemniej może też być budowana w kształcie kolumny o przekroju kwadratowym. Wewnątrz ścianek bocznych tej komory mają miejsce zsynchronizowane ze sobą wyładowania elektryczne, które zmuszają snopy iskier do rotowania po obwodzie kwadratu. W komorach oscylacyjnych pierwszej generacji kwadratowy obieg tych iskier elektrycznych wytwarza silne pole magnetyczne. Pojedyncza komora oscylacyjna pierwszej generacji stanowi więc rodzaj niezwykle silnego magnesu, którego pole jest w stanie wznieść tą komorę (wraz z dołączoną do niej konstrukcją statku kosmicznego) wyłącznie wskutek jej odpychającego oddziaływania z polem magnetycznym Ziemi, Słońca, lub Galaktyki. Aby takie wyniesienie było możliwe, jej wydatek musi przekraczać wartość stałej magnetycznej zwanej "strumień startu". Strumień ten zdefiniowany jest jako "najmniejsza wydajność dowolnego źródła pola magnetycznego odniesiona do jednostki jego masy, która przy odpychającym zorientowaniu względem ziemskiego pola magnetycznego spowoduje pokonanie przyciągania grawitacyjnego i wyniesienie tego źródła w przestrzeń kosmiczną". Wartość strumienia startu wyznaczono w podrozdziałach F5.4 monografii [1/5] i [1/4]. Dla obszaru Polski wynosi ona  $F_s=3.45$  [wb/kg].

Bardziej zaawansowane od komór pierwszej generacji są komory oscylacyjne tzw. "**drugiej generacji**" o ośmiobocznym przekroju poprzecznym, jakie zamiast pola magnetycznego wytwarzają pole telekinetyczne. Używane one są wyłącznie do napędu magnokraftów drugiej generacji, opisywanych w podrozdziale B2. Najbardziej jednak zaawansowane są komory oscylacyjne tzw. "**trzeciej generacji**", jakie są zdolne do formowania zmian pola czasowego i stąd jakie używane są do napędu wehikułów czasu opisanych w podrozdziale B3. Ich przekrój poprzeczny jest szesnastoboczny. Opisy komór oscylacyjnych drugiej i trzeciej generacji zawarte są w monografii [1/4] lub [1/5].

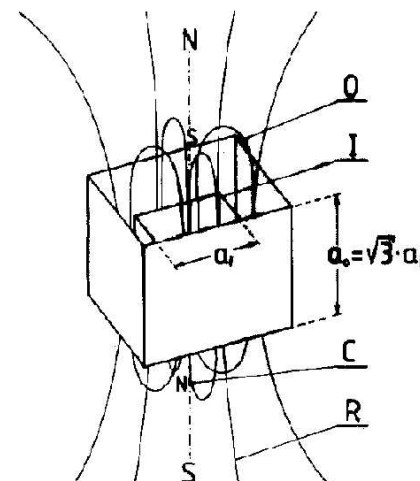


Wydatek z pojedynczej komory oscylacyjnej byłby niezwykle trudny do sterowania. Stąd w napędzie magnokraftów używane są tandemy złożone z dwóch komór oscylacyjnych zestawionych w konfigurację zwaną "kapsuła dwukomorowa" (kapsuła dwukomorowa pokazana została obok na rysunku R\_2\_B jako oryginalnie opublikowany był jako rysunek C5 monografii [1/4]). Kapsuła taka składa się z większej zewnętrznej komory oscylacyjnej (O) w kształcie sześcianu, w wnętrzu której zawieszona jest bezdotykowo mniejsza też sześcienna komora wewnętrzna (I). Bieguny magnetyczne N/S komory wewnętrznej (I) zostały odwrócone w stosunku do biegunów komory zewnętrznej (O), tak że wydatki obu komór nawzajem się odejmują. W rezultacie część wydatku magnetycznego (C) z komory o większej wydajności jest zakrzywiana z powrotem i cyrkuluje bezpośrednio do komory o mniejszej wydajności, formując tzw. "strumień krążący" (C) jaki NIE wydostaje się na zewnątrz kapsuły. Jedynie nadwyżka wydatku wydajniejszej z komór nie związana strumieniem krążącym odprowadzana jest do otoczenia, formując tzw. "strumień wynikowy" (R) jaki stanowi użyteczny wydatek kapsuły. Podział energii magnetycznej zawartej w kapsule na "strumień wynikowy" (R) i "strumień krążący" (C) umożliwia niezwykle szybkie i łatwe przesterowywanie wydatku kapsuły, bez konieczności zmiany ilości energii w niej zawartej. Przesterowywanie to polega na zwykłej zmianie wzajemnych proporcji pomiędzy wydatkiem (C) cyrkulowanym wewnątrz kapsuły i wydatkiem (R) wydostającym się z niej na zewnątrz. Istnieje więc możliwość takiego pokierowania pracą kapsuły, że na jej zewnątrz nie odprowadzany jest żaden wydatek (nastąpi to gdy całe pole kapsuły uwięzione zostanie w strumieniu krążącym), lub też odprowadzane jest prawie całe zawarte w niej pole. Łatwe sterowanie kapsułą dwukomorową zapewnia efektywną kontrolę lotu wehikułu napędzanego wydatkiem magnetycznym (R) odprowadzanym do otoczenia przez to urządzenie.

Kapsuły dwukomorowe drugiej i trzeciej generacji budowane są w identyczny sposób jak kapsuły pierwszej generacji, tyle tylko że przekrój poprzeczny ich komór składowych jest inny (t.j. ośmioboczny lub szesnastoboczny zamiast kwadratowego).

W tym miejscu należy dodać, że zakrzywione linie sił potężnego pola magnetycznego formującego "strumień krążący" każdej kapsuły dwukomorowej pochłaniają światło, a stąd oglądane z boku wyglądają jak rodzaj "czarnych dziur" albo "czarnych belek". Zależnie też od tego wydatek z której komory (zewnętrznej czy wewnętrznej) jest zakrzywiany w ów czarny "strumień krążący", wylot takiej kapsuły może przyjmować jeden z dwóch możliwych wyglądków zilustrowanych na rysunku R\_2\_B1.2.1. Owe "czarne dziury" czy "czarne belki" z kapsuł dwukomorowych pędnika głównego UFO często też uchwycone mogą być na fotografiach - np. patrz rysunek Z\_2b\_B1.2.1 z tego traktatu. Pole magnetyczne o mocy aż tak potężnej jak to wytwarzane przez komory oscylacyjne, przepuszcza światło tylko jeśli fotony poruszają się wzdłuż linii sił tego pola, zaś pochłania światło jeśli fotony poruszają się w kierunku niemal prostopadłym do linii sił tego pola.

Podstawowa konstrukcja dyskoidalnego magnokraftu opisanego powyżej może następnie zostać zmodyfikowana w celu uzyskania najróżniejszych napędów i wehikułów pochodnych. Dwie najużyteczniejsze takie pochodne od dyskoidalnego magnokraftu to "napęd osobisty" oraz "magnokraft czteropędnikowy". Szczegółowy opis ich konstrukcji, zasad działania, oraz atrybutów, wraz z odpowiednimi ilustracjami, zawarty został w monografiach [1/5] i [1/4] (a także w ich poprzedniczkach, tj. monografiach [1/3] i [1/2], [3/2], [3], oraz [2]). **Napęd osobisty** jest to magnokraft budowany w formie kombinezonu przywdziewanego przez użytkownika, w którym dwa zminiaturyzowane pędniki główne



Rys. R-2-B. Wygląd i podzespoły tzw. "kapsuły dwukomorowej" formowanej poprzez zestawienie razem dwóch komór oscylacyjnych pierwszej generacji. Źródło: "rys. A1c" w [1/4].

zamontowane są w podszewkach butów, natomiast pędniki boczne w specjalnym pasie ośmiosegmentowym. Otrzymany w ten sposób napęd pozwala użytkownikowi na loty w powietrzu, chodzenie po suficie lub wodzie, czy skoki na olbrzymie odległości bez użycia widocznego wehikułu. Z kolei **magnokraft czteropędnikowy** uzyskiwany jest poprzez doczepienie do czterech rogów przenośnego pomieszczenia (np. podobnego do barakowozu) odpowiednio sporządzonych pędników w kształcie tzw. konfiguracji krzyżowych. Konfiguracje krzyżowe są bardzo prostymi zestawami komór oscylacyjnych, jakich funkcje i przeznaczenie są podobne do kapsuł dwukomorowych. W konfiguracjach krzyżowych pierwszej generacji pojedyncza komora centralna otoczona jest czterema komorami bocznymi. Stąd z wyglądu przypominają one beczkę, zaś ich działanie stanowi jakby miniaturowy magnokraft pozbawiony kabiny załogi. Gdy cztery takie konfiguracje krzyżowe napędzają osadzone pomiędzy nimi pomieszczenie transportowe, efekt przypomina nieco domek kempingowy unoszony na rogach przez cztery miniaturowe magnokrafty. Głośne niegdyś w Polsce uprowadzenie Ś.P. Jana Wolskiego z Emilcina odbyło się właśnie na pokład statku UFO rodzaju magnokraft czteropędnikowy pierwszej generacji.

Jak to staje się oczywiste po poznaniu Teorii Magnokraftu, wehikuły UFO mogą przyjmować ogromną rozpiętość wyglądu. Wszakże istnieć musi aż 8 zasadniczych typów UFO (np. dyskoidalnych UFO oznaczanych jako typ K3, K4, ... do K10). Już każdy z tych typów wygląda nieco inaczej. Ponadto wehikuły UFO posiadać mogą napęd należący do jednej z trzech różnych generacji, jaki z kolei może pracować w trzech odmiennych **konwencjach lotu**. Przykładowo pierwsza generacja UFO to wehikuły czysto magnetyczne, druga generacja to wehikuły telekinetyczne (które jednak - jeśli zechcą, mogą latać albo w konwencji telekinetycznej, albo też w konwencji czysto magnetycznej), zaś trzecia generacja to wehikuły czasu (które jednak - jeśli zechcą, mogą latać albo w konwencji czasu, albo w konwencji telekinetycznej, albo też w konwencji czysto magnetycznej). Każda z tych generacji i konwencji lotu wzbudza odmienne efekty wizualne. Wehikuły UFO mogą też latać w kilku odmiennych trybach pracy. Przykładowo tylko w konwencji magnetycznej lotu istnieją aż trzy tryby pracy, t.j. tryb bijący, tryb soczewki magnetycznej, oraz tryb wiru magnetycznego. W locie UFO mogą pojawiać się jako pojedyncze wehikuły, lub być formowane w 6 zasadniczych konfiguracji latających które z kolei mogą dzielić się jeszcze na cały szereg odmiennych realizacji i wzorców. Na dodatek do tego istnieją dwie zasadnicze odmiany wehikułów UFO, mianowicie dyskoidalne UFO oraz czteropędnikowe UFO. W sumie więc to co nazywamy jednym słowem "UFO", faktycznie jest całym oceanem najróżniejszych kombinacji: generacji, konwencji, odmian, typów, trybów działania, konfiguracji, realizacji, wzorców, itp. Aby wszystko uczynić jeszcze bardziej pogmatwane, poszczególne zdjęcia UFO ujmowały będą te wehikuły z najróżniejszych kątów widzenia, pokazywały najróżniejsze ich fragmenty, zawierały też najróżniejsze inne urządzenia, przeszkody, itp. Nic dziwnego, że nie tylko normalny zjadacz chleba, ale większość tzw. badaczy UFO, nie posiada wymaganej wiedzy aby się połapać w całej tej gmatwaninie. Dlatego też zanim w rozdziale C traktat ten przystąpi do systematycznego interpretowania zdjęć UFO, najpierw w niniejszym rozdziale B dostarczy on podstawowej wiedzy wynikającej bezpośrednio z Teorii Magnokraftu, oraz wskaże przykłady zasadniczych odmian wyglądu UFO. Wiedza ta i przykłady umożliwiły później będą aby w owej gmatwaninie czynników wymagających interpretacji na zdjęciach UFO móc się jakoś połapać.

Jak to nam ujawnia Teoria Magnokraftu, istnieje cały szereg czynników jakie wywierają zasadniczy wpływ na wygląd wehikułu UFO ujętego na danym zdjęciu. Na upartego czynnikom tym możnaby przyporządkować jakąś naukową nazwę, np. "czynniki zakłócające wizję". Zależnie od sposobu na jaki czynniki te współwystępują ze sobą, wygląd danego UFO może być całkowicie odmienny. Najważniejsze z tych czynników są jak następuje:

1. Generacja wehikułu: t.j. czy jest to UFO pierwszej generacji (t.j. wehikuł czysto magnetyczny z komorami oscylacyjnymi o przekroju kwadratowym), drugiej generacji (t.j.

wehikuł telekinetyczny z komorami oscylacyjnymi o przekroju ośmiobocznym), czy trzeciej generacji (t.j. wehikuł czasu z komorami oscylacyjnymi o przekroju szesnastobocznym).

2. Konwencja lotu wehikułu: t.j. czy dane UFO właśnie leci w konwencji magnetycznej, w konwencji telekinetycznej, czy też w konwencji czasu. Konwencja ta posiada bezpośredni związek z generacją danego wehikułu. Wszakże **konwencja lotu** to "zasada na jakiej UFO danej generacji leci w danym momencie czasu". Istnieją aż trzy konwencje lotu, mianowicie (1) magnetyczna, (2) telekinetyczna, oraz (3) czasu. Przykładowo UFO najwyższej, trzeciej generacji, nie w każdej chwili swego lotu musi wykorzystywać swoją zdolność do zmiany upływu czasu, a zależnie od życzeń załogi, jest w stanie latać we wszystkich trzech konwencjach lotu. Natomiast UFO drugiej generacji jest w stanie latać w konwencji telekinetycznej i w konwencji magnetycznej. Jedynie UFO pierwszej generacji nie są w stanie latać w konwencji innej niż magnetyczna.

3. Odmiana wehikułu: t.j. czy jest to dyskoidalne UFO czy też czteropędnikowe UFO.

4. Typ wehikułu: t.j. czy na zdjęciu ujęte zostało UFO typu K3, K4, K5, ... czy też K10, a może konfiguracja sprzęgnięta z kilku wehikułów odmiennych typów.

5. Konfiguracja: t.j. czy jest to pojedyncze UFO, czy magnetyczne sprzężenie wielu pojedynczych wehikułów w którąś z całego szeregu możliwych konfiguracji latających (np. w któryś z licznych kompleksów fizycznych, kompleksów semizespołonych, kompleksów niezespołonych, platform nośnych, latających systemów, czy latających klasterów), a może sfera odrębnych wehikułów lecących razem w pobliżu siebie.

6. Pozycja: t.j. czy dany wehikuł leci w pozycji wiszącej, w pozycji stojącej, czy też nachylony pod jakimś kątem do poziomu.

7. Tryb pracy, t.j. czy np. w przypadku lotu w konwencji magnetycznej, dany wehikuł leci w trybie bijącym, w trybie wiru magnetycznego, czy też w trybie soczewki magnetycznej.

8. Stan powłoki: t.j. czy powłoka jest przezroczysta czy też odbijająca światło.

9. Widoczne wyposażenie: t.j. czy przykładowo dany wehikuł UFO pokazuje też jakieś wystające z niego urządzenia typu nogi, płozy, drabinki, pomosty, itp.

10. Konfiguracja pędników wehikułu: t.j. czy komory oscylacyjne wykorzystywane w pędnikach tego wehikułu są dla przykładu zestawione w kapsuły dwukomorowe, czy też w konfiguracje krzyżowe, jeśli zaś w konfiguracje krzyżowe to jakiego typu (prototypowe, optymalne, itp.).

11. Wysterowanie pędników wehikułu: t.j. czy np. kapsuły dwukomorowe użyte w pędnikach tego wehikułu pracują w trybie dominacji strumienia wewnętrznego czy też w trybie dominacji strumienia zewnętrznego.

12. Emisja światła: t.j. czy dany wehikuł UFO emituje światło jakie jest silniejsze od światła padającego na niego z zewnątrz (np. od światła słonecznego), czy też przychodzące od niego światło jest światłem odbitym z zewnątrz. Co jest źródłem tej emisji (np. pędniki wehikułu, ). Ponadto czy wehikuł ten posiada jakieś ujęte na zdjęciu urządzenia które emitują światło.

13. Animacja: t.j. czy w momencie gdy dane UFO było fotografowane stało ono w jednym punkcie (t.j. gdy w przedziale "czasu naświetlenia" danego zdjęcia, UFO nie wykonało żadnego ruchu), czy też utrwalone ono zostało w trakcie wykonywania ruchu falowego, lotu, lub manewrowania.

14. Parametry fotografowania lub obserwowania UFO: t.j. cały zestaw danych opisujących sposób na jaki dana fotografia została wykonana, a tym samym opisujących co właściwie, i jak, na fotografii tej mogło zostać ujęte. Do parametrów tych należą m.in.:

(a) Kąt patrzenia: t.j. czy dane UFO sfotografowane zostało w widoku z boku, w widoku od spodu, w widoku z góry, czy też w widoku kątowym (jeśli kątowno - to z jakiej strony i pod jakim kątem). Widok dla dyskoidalnych wehikułów najlepiej jest definiować jako odchylenie kąta patrzenia zdjęcia od osi centralnej wehikułu.

(b) Warunki oświetleniowe: t.j. czy dane UFO sfotografowane zostało w świetle dziennym, czy też jest to fotografia nocna, a może jest to zdjęcie w półmroku lub we mgle.

(c) Wykadrowanie: t.j. czy na zdjęciu uwidoczniony jest cały wehikuł, czy też jedynie jego fragment (np. tylko wylot jego centralnej komory oscylacyjnej).

(d) Czas naświetlania: t.j. czy w przedziale czasu w jakim dane zdjęcie ulegało naświetlaniu wehikuł UFO zdołał się przemieścić w swej drodze, czy też trwał w jednym punkcie, czy np. wir plazmowy lub obwody magnetyczne tego wehikułu uchwycone zostały jakby zamrożone w jednym punkcie, czy też zdołały się przemieścić, itp.

(e) Przeszkody: t.j. czy podczas fotografowania całe UFO było dobrze widoczne, czy też istniały jakieś przeszkody typu mgła, chmury, liście, przewody elektryczne, itd., które przesłaniały lub rozmywały widoczność jakichś fragmentów UFO; czy dostępna reprodukcja zdjęcia jest dobrej jakości i nie posiada na sobie odnotowywalnych uszkodzeń, plam, lub oznaczeń jakie utrudniałyby widoczność lub pomniejszały wiarygodność autentyczności oryginalnego zdjęcia, itp.

Oczywiście takich czynników zasadniczo wpływających na wygląd sfotografowanego UFO jest znacznie więcej. Powyżej wymienione zostały jedynie najważniejsze z nich. Wyczerpująca prezentacja zarówno czynników wymienionych powyżej, jak i tych które tutaj nie są omawiane, zawarta jest w rozdziale F i w podrozdziale P2.1.1 monografii [1/4].

Niniejszy rozdział ma na celu rozplątanie całej tej gmatwaniny i odrębne pokazanie poszczególnych elementów składowych z jakich nieopisana mnogość zdjęć i wyglądów UFO może się składać. Dlatego też elementy te prezentowane tutaj będą systematycznie, krok po kroku, każdy z nich w odrębnym podrozdziale.

## B1. Pojedyncze dyskoidalne UFO pierwszej generacji (wehikuły magnetyczne)

Jak to wspominałem już wcześniej, istnieją dwie zasadnicze odmiany UFO, jedna z których nazywana jest tutaj "dyskoidalne wehikuły", druga zaś "czteropędnikowe wehikuły". Pojedyncze dyskoidalne wehikuły z grubsza przyjmują kształt "dysku" lub "latającego spodka". Z kolei pojedyncze czteropędnikowe wehikuły z grubsza przyjmują kształt jakby domku kempingowego z piramidkowym dachem. Niniejszy podrozdział, a także trzy podrozdziały po nim następujące, zajmował się będzie głównie omówieniem dyskoidalnych wehikułów. Natomiast wehikuły czteropędnikowe zaprezentowane zostaną w podrozdziałach B7 i B9.

Do licznie ogromnej grupy dyskoidalnych UFO zaliczane są wehikuły przynależne aż do trzech odmiennych generacji. Ich pierwsza i najbardziej "prymitywna" generacja używa wyłącznie napędu czysto magnetycznego, t.j. takiego jaki działa na zasadzie czystego magnetycznego przyciągania się i czystego magnetycznego odpychania się pola wytwarzanego w pędnikach tych wehikułów z polem magnetycznym Ziemi, Słońca, lub Galaktyki. Najbardziej istotnym szczegółem konstrukcyjnym jaki odróżnia UFO pierwszej generacji od UFO drugiej i trzeciej generacji, jest przekrój poziomy ich komór oscylacyjnych, a więc także i kształt wylotu z pędników tych wehikułów (jakie to pędniki niekiedy zostają uchwycone na fotografiach UFO). W przypadku UFO pierwszej generacji ich komory oscylacyjne mają przekrój kwadratowy, podczas gdy np. UFO drugiej generacji ma komory o przekroju ośmiobocznym, zaś UFO trzeciej generacji ma komory o przekroju szesnastobocznym.

Dyskoidalne magnokrafty i UFO pierwszej generacji (tj. te latające w tzw. "konwencji magnetycznej") mogą latać w trzech zasadniczych **trybach pracy** jakie nazywane są (1) "trybem bijącym", (2) "trybem soczewki magnetycznej", oraz (3) "trybem wiru magnetycznego". W każdym z tych trybów pole magnetyczne wytwarzane przez pędniki danego wehikułu odznacza się odmiennymi parametrami. I tak w (1) "trybie bijącym" pole magnetyczne UFO "bije" jak ludzkie serce, t.j. niewidzialne dla ludzkich oczu linie sił tego pola rytmicznie kurczą się a potem rozprężają. W (2) "trybie soczewki magnetycznej" pole magnetyczne UFO jest stacjonarne/stałe, t.j. jego wartość wcale nie podlega zmianom w czasie - zachowując się niemal tak jak pole magnetyczne wytwarzane przez magnesy stałe. W końcu w (3) "trybie wiru magnetycznego" linie sił pola magnetycznego UFO wirują wokół

tego statku w podobny sposób jak w tzw. elektrycznych silnikach asynchronicznych pole magnetyczne wiruje wokół ich stojanów porywając za sobą klatkowy wirnik. Analizując zdjęcia UFO należy jednak pamiętać, że także magnokrafty i UFO drugiej oraz trzeciej generacji także mogą latać w "konwencji magnetycznej, a więc i również w owych trzech trybach poracy.

Oczywiście w rzeczywistości, oprócz owych trzech zasadniczych trybów pracy UFO pierwszej generacji, istniało też będzie aż 6 dodatkowych trybów pośrednich jakie wynikają z prostego faktu, że pędniki UFO posiadają płynne sterowanie swojego pola magnetycznego. Stąd, przykładowo, przełączając płynnie swoje pole magnetyczne z trybu "bijącego" na powiedzmy tryb "soczewki magnetycznej", w ich locie nastąpi taki przedział czasu kiedy wehikuł UFO będzie wykazywał częściowe cechy obu tych trybów pracy, t.j. będzie wykazywał niektóre cechy trybu bijącego, jak również i niektóre cechy trybu soczewki magnetycznej. Dlatego też oprócz zasadniczego trybu (1) "bijącego" w którym pole magnetyczne UFO zdecydowanie pulsuje, wehikuły te mogą też przejściowo latać albo w trybie (1-2) "bijąco-soczewkowym", albo też w trybie (1-3) "bijąco-wirowym". W trybie (1-2) "bijąco-soczewkowym" ich pole magnetyczne jest w trakcie przełączania się z trybu "bijącego" na tryb "soczewki magnetycznej", i stąd osiągnęło ono stan leżący gdzieś w środku pomiędzy "biciem" a "stacjonarnością". Z kolei w trybie (1-3) "bijąco-wirowym" ich pole magnetyczne jest w trakcie przełączania się z trybu "bijącego" na tryb "wiru magnetycznego", i stąd osiągnęło ono stan leżący pośrednio pomiędzy "biciem" a "wirowaniem". W podobny sposób podczas przechodzenia z zasadniczego trybu (2) "soczewki magnetycznej" w którym pole magnetyczne UFO jest stałe/stacjonarne, wehikuły te mogą też przejściowo latać albo w trybie (2-3) "soczewkowo-wirującym", albo też w trybie (2-1) "soczewkowo-bijącym". Również podczas przechodzenia z zasadniczego trybu (3) "wiru magnetycznego" w którym pole magnetyczne UFO wiruje, wehikuły te mogą też przejściowo latać albo w trybie (3-1) "wirująco-bijącym". albo też w trybie (3-2) "wirująco-soczewkowym". Oczywiście z punktu widzenia zakwalifikowania UFO uchwyconego na określonym zdjęciu do jednego z trzech zasadniczych trybów pracy, powyższe wprowadza dodatkowy galimatias, jaki wymaga choćby krótkiego omówienia i zilustrowania w podrozdziałach jakie nastąpią.

W tym miejscu zapewne niektórzy czytelnicy zaczną protestować, twierdząc że parametry pola magnetycznego UFO będą takie same, niezależnie czy statek ten przechodzi, powiedzmy, z trybu (1) "bijącego" w tryb (3) "wiru magnetycznego", czy też z trybu (3) "wiru magnetycznego" w tryb (1) "bijący". Skoro zaś parametry pola UFO będą takie same, również wygląd wehikułu UFO powinien być identyczny. Zamiast więc 6 dodatkowych trybów pośrednich, UFO powinno mieć jedynie 3 takie tryby pośrednie. Okazuje się jednak, że ci którzy wysuną takie twierdzenie, będą w głębokim błędzie. Aby lepiej wytłumaczyć dlaczego, użyję tutaj analogii "niepalącego się lasu", "całkowicie płonącego lasu", oraz "zupelnego braku lasu". Przyjmijmy przez chwilę, że są to trzy podstawowe tryby w jakich las może występować. Stąd pomiędzy powiedzmy trybem "niepalącego się lasu", a trybem "całkowicie płonącego lasu" będą istniały aż dwa tryby pośrednie, mianowicie "las w połowie rozpalony" oraz "las w połowie wygasły". Aczkolwiek w obu tych trybach pośrednich parametry płomieni jakimi las może się palić będą takie same, jednak wygląd lasu jaki uchwycimy na zdjęciu dla każdego z tych dwóch trybów pośrednich będzie odmienny (np. "las w połowie rozpalony" będzie ciągle posiadał zielone korony oraz nie będzie cały pokryty popiołem, natomiast "las w połowie wygaszony" nie będzie już posiadał ani kawałka zieleni, zaś wszystko w nim będzie zwęglone i pokryte popiołem). Dokładnie w taki sam sposób np. w trybie pośrednim (1-3) "bijąco-wirującym" wehikuł UFO będzie wyglądał zupełnie odmiennie, niż ten sam wehikuł sfotografowany w trybie (3-1) "wirująco-bijącym". Faktycznie więc z punktu widzenia wyglądu, wehikuły UFO pierwszej generacji fotografowane mogą być aż w 3 trybach zasadniczych oraz w 6 dodatkowych trybach pośrednich.

W trzech odrębnych podrozdziałach jakie teraz nastąpią, omówiony i zilustrowany zostanie wygląd dyskoidalnych wehikułów UFO pierwszej generacji, jaki jest typowy dla

każdego z poprzednio opisanych trzech zasadniczych trybów pracy. Natomiast tryby pośrednie objaśnione zostaną podczas prezentacji fotografii UFO z rozdziału C.

### B1.1. Tryb bijący

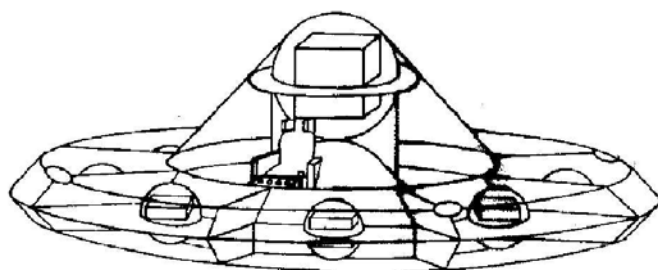
W trybie bijącym pole magnetyczne wytwarzane przez pędniki danego statku nieustannie pulsuje (a ściślej "bije" jak ludzkie serce, czyli na przemian kurczy się i rozpręża). Dlatego magnokrafty i wehikuly UFO latające dniami właśnie w "trybie bijącym" ujawniają wygląd całej swojej powierzchni. Są one wówczas doskonale widoczne dla postronnych obserwatorów, zaś odbite od nich światło wyraźnie i wiernie ujawnia każdy szczegół ich powłoki. Ponieważ pojedyncze wehikuly UFO mają kształt z grubsza przypominający latający talerz, zależnie z której strony zostają one sfotografowane, ich kształt na zdjęciu przypominał będzie właśnie kształt metalicznego talerza. W przypadku kiedy np. wehikuly UFO typu K3 sfotografowane zostaną z boku, ich wygląd będzie podobny do magnokraftu typu K3 pokazanego na rysunku **R\_1\_B1.1**.

Zdjęcie **Z\_1\_B1.1** pokazuje właśnie wygląd boczny pojedynczego UFO typu K3 sfotografowane we dnie i lecącego w trybie bijącym. Zdjęcie to zaczerpnięte zostało z Internetu, gdzie we wrześniu 2000 roku wystawione ono było pod adresem <<http://free.eroskop.pl/accounts/freeero47/ufo.htm>>. To samo zdjęcie w październiku 2000 roku było też dostępne pod adresem internetowym [http://www.marcinex.kimip.pl/xfiles/z\\_ufo.htm](http://www.marcinex.kimip.pl/xfiles/z_ufo.htm) i

<http://www.ids.net.pl/~nole/pictures.htm>

. Niestety do tej pory autorom tego traktatu nie udało się znaleźć żadnych innych danych na jego temat. Powiększenie samego wehikulu UFO ujętego na zdjęciu **Z\_1\_B1.1** pokazane zostało na powiększeniu **P\_1\_B1.1**.

Zarówno pokazany tutaj przykład dziennego zdjęcia UFO w trybie bijącym, jak i jego powiększenie, zawierają i ujawniają kilka szczegółów jakie wymagają zinterpretowania i wyjaśnienia. Pierwszym z tych szczegółów jest metaliczny (srebrzysty) kolor powierzchni UFO. Kolor ten wynika z materiału i własności powłoki UFO. Wehikuly UFO pokryte są bowiem mechanicznie bardzo silną powłoką aerodynamiczną, jakiej jedną z cech



**Rys. R-1-B1.1. Wygląd boczny najmniejszego magnokraftu typu K3.** (Pochodzenie: "Rys. F1a" w [1/4].)



**Fot. Z-1-B1.1. Pojedyncze UFO typu K3 sfotografowane z boku.** (Z: <http://free.eroskop.pl/accounts/freeero47/ufo.htm>.)



**Fot. P-1-B1.1. Powiększenie UFO typu K3 z "fot. Z-1-B1.1. Wyraźnie widać jego podobieństwo do magnokraftu.**

jest zdolność do płynnego regulowania stopnia odbicia i przepuszczania światła. Jednym więc razem powłoka ta może być nasterowana tak aby działała jak srebrzyste lustro, odbijając od siebie wszelkie padające na nią światło. W takim przypadku załoga tego statku osłaniana jest przed palącymi promieniami słonecznymi i pracuje w przyjemnym cieniu nawet kiedy wehikuł właśnie leci w pobliżu palącego słońca. Innym zaś razem, np. nocami, ta sama powłoka może zostać przesterowana tak aby była zupełnie przezroczysta. W takim przypadku załoga UFO może przyglądać się otoczeniu patrząc bezpośrednio przez tą powłokę, jednocześnie zaś każdy zewnętrzny obserwator może odnotować wszystkie szczegóły wnętrza tego wehikułu. Na zdjęciu Z\_1\_B1.1 powłoka ta uchwycona została właśnie w momencie kiedy przesterowana była na niemal całkowite odbijanie światła. Dlatego wygląda ona jakby wehikuł wykonany został z lustra, lub ze świeżo odlanej cyny.

Kolejnym szczegółem wymagającym tutaj omówienia są jakby podwójne zarysy wehikułu, szczególnie dobrze widoczne na powiększeniu P\_1\_B1.1. Owe podwójne zarysy wynikają z faktu, że wehikuł UFO pierwszej generacji, nawet kiedy zdaje się stać całkowicie nieruchomo, faktycznie to wykonuje niewielkie ruchy falujące. Ruchy te spowodowane są bowiem zasadą działania jego napędu, a ściślej sposobem na jaki pole magnetyczne użyte w tym napędzie jest sterowane, a także faktem że stabilizacja i orientacja przestrzenna UFO uzyskiwana jest dzięki dwóm układom nawzajem przeciwstawnych do siebie sił, jakie nieustannie jakby ze sobą się zmagają. Podwójne zarysy UFO uchwycone na zdjęciu Z\_1\_B1.1 są następstwem tego niewielkiego ruchu falowego jaki zaistniał w przedziale czasu potrzebnym aparatowi jako "czas naświetlania" tego zdjęcia. W obrębie czasu naświetlania owego zdjęcia, UFO nie tylko wykonywało fragment przemieszczenia w swoim ruchu falowym, ale także właśnie zmieniało kierunek tego ruchu (t.j. jakby nawracało). Z tego powodu jego zarysy nie tylko że są jakby rozmazane, ale dodatkowo przestrzenne rozłożenie tego rozmazania ulega zmianie.

Oczywiście, zgodnie z cechami zestawionymi na początku rozdziału B, pojedyncze UFO z wykonanego we dniu zdjęcia Z\_1\_B1.1 charakteryzowane jest całym szeregiem dalszych atrybutów, a nie jedynie dyskoidalnym kształtem i trybem bijącym w magnetycznej konwencji lotu. Przykładowo UFO to: jest typu K3, leci ono w pozycji stojącej, zostało sfotografowane w widoku z boku, zdjęcie pokazuje cały wehikuł, jego powłoka jest przestawiona na odbijanie światła, nie ukazuje ono żadnego wystającego wyposażenia, zostało ono sfotografowane w świetle dziennym, wykonuje niewielki ruch falowy, oraz nie jest przesłonięte żadnymi przeszkodami. Jednak co dokładnie atrybuty te oznaczają, zostanie to dopiero wyjaśnione w następnych podrozdziałach tego traktatu.

Dalsze szczegółowe informacje na temat wyglądu magnokraftów i UFO latających w trybie bijącym zawarte zostały w podrozdziale F10.2 monografii [1/4], natomiast więcej dziennych zdjęć UFO w tym trybie pokazano na rysunkach P1 do P6 i S1 monografii [1/4].

Zupełnie odmienny wygląd przyjmują pojedyncze wehikuły UFO sfotografowane w nocy w tym samym trybie bijącym. W warunkach panującej ciemności sama powłoka tych wehikułów znika z widoku, jednocześnie zaś znaczenia nabierają zaczynają wszelkie źródła światła zawarte w obrębie tych statków, a także jarzenie się powierzchni powłoki UFO. Źródła te, a często także jarzenie się powierzchni powłoki UFO, zaczynają być zasadniczymi obrazami uchwytywanymi na nocnych zdjęciach. Ich wpływ jeszcze się zwielokrotnia jeśli załoga danego UFO przełączy ścianki swego statku z odbijania światła na całkowite przepuszczenie światła. W takim bowiem przypadku całe UFO staje się kryształowo przezroczyste, przez jego powłokę widoczne więc zostają nawet źródła światła położone po przeciwstawnej stronie statku. W typowym UFO lecącym nocą w trybie bijącym zawartych jest relatywnie dużo źródeł światła. Najważniejszymi z nich są jarzące się wyloty z pędników statku. Następne co do jasności jarzące się punkty UFO to jego system świateł pozycyjnych nazywanych systemem SUB (patrz opisy systemu SUB zawarte w podrozdziale F8.2 monografii [1/4]). W końcu przez przezroczystą powłokę kabiny załogi często widoczne są też światła kontrolne na pulpicie sterującym pilota. Niestety, jeśli załoga UFO przełączy ścianki swego wehikułu na całkowite odbijanie światła, wówczas żadne z tych źródeł nie jest widoczne dla postronnego obserwatora czy fotografującego.

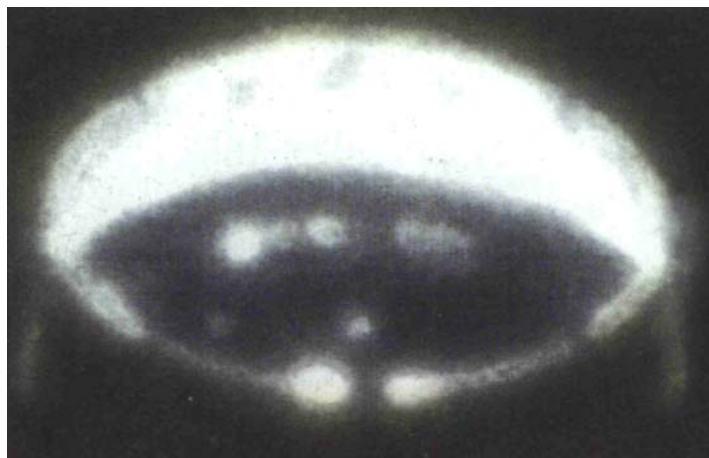


W szczególnych jednak przypadkach, nawet powłoki UFO przesterowane na całkowite odbijanie światła też wydzielają wyraźne jarzenie. Przypadki te mają miejsce jeśli powłoka danego wehikułu UFO lecącego w trybie bijącym jest brudna, a ściślej kiedy pokryta ona zostaje tzw. "węglem warstwowym" opisanym w podrozdziale O5.4 monografii [1/4]. Węgiel ten ma bowiem to do siebie, że w przypadku zostania omiecionym silnym polem magnetycznym zaczyna on wytwarzać jarzenie. Dlatego też w takim zabrudzonym węglem warstwowym UFO, jarzyć się zaczynają wszystkie te obszary jakie omiatane są silnym polem magnetycznym - a więc wyloty poszczególnych pędników, oraz powierzchnia kołnierza bocznego często omiatana tzw. "bocznymi obwodami magnetycznymi".

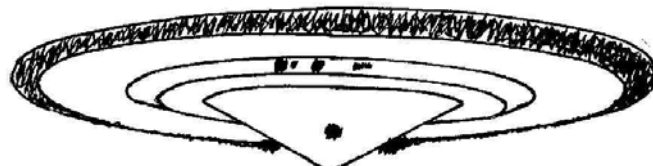
Zdjęcie **Z\_2\_B1.1** pokazuje wygląd oddolny (ujęty z ukosa) pojedynczego UFO typu K4 sfotografowanego w nocy i lecącego w trybie bijącym w pozycji wiszącej, jakie właśnie zabrudzone było węglem warstwowym. Dlatego wszystkie obszary na powłoce tego wehikułu jakie omiatane są silnym polem magnetycznym wydzielają dosyć wyraźne jarzenie. Zdjęcie to zaczerpnięte zostało z książki **[1B1.1]** pióra Rene Coudris, "Przesłanie z Roswell - pierwsze kontakty z hiper cywilizacją", Wydawnictwo Prokop, Warszawa 1997, ISBN 83-86096-35-7, zdjęcie nr 83. Niestety podana książka nie zawiera żadnych dodatkowych informacji na temat pochodzenia tego zdjęcia.

Wehikuł pokazany na zdjęciu **Z\_2\_B1.1** leci w pozycji wiszącej. Cechą tej pozycji jest, że w dół ku fotografującemu skierowana jest jego kopuła, zaś ku górze skierowana jest płaska podłoga talerzo-podobnego statku. Rysunek który ilustruje zorientowanie tego statku w locie, a także który wskazuje obszary na owym statku zabrudzone węglem warstwowym stał wydzielające

światło, pokazany został jako rysunek **R\_2\_B1.1**. Warto jednak zwrócić uwagę, że na rysunku **R\_2\_B1.1** pokazano wehikuł typu K6 (a nie jak na zdjęciu **Z\_2\_B1.1** wehikuł typu K4), a ponadto że wehikuł z rysunku **R\_2\_B1.1** ujęty jest pod nieco większym kątem niż UFO ze zdjęcia **Z\_2\_B1.1**. Zabrudzone węglem warstwowym obszary, jakie po omiecieniu silnym polem magnetycznym jarzą się intensywnie, na rysunku **R\_2\_B1.1** wskazane zostały poprzez ich zaczerpnienie. Najsilniejszym źródłem światła w tym UFO jest zabrudzona węglem warstwowym powierzchnia kołnierza bocznego silnie zjonizowana przez pole magnetyczne. Kołnierz ten w UFO typu K4 ma kształt jakby soczewki, i obiega on naokoło górnego obwodu statku lecącego w pozycji wiszącej. Na zdjęciu uchwyciono jego jarzenie się niemal wzdłuż całego obwodu UFO. Jedynie w najniższym punkcie zasłonięte jest ono kopułą kabiny załogi (odbicie światła od której pozornie intensyfikuje końcowe dwa punkty jarzenia się kołnierza). Kolejnym źródłem światła jest jarząca się plama powłoki na wylocie z pędnika głównego położonego w pobliżu środka kopuły statku. W końcu omiatane trzema kolumnami silnego pola magnetycznego z pędników bocznych załamanie kołnierza uzupełniającego w przedniej części statku kieruje ku fotografującemu rząd trzech



**Fot. Z-2-B1.1. Pojedyncze UFO typu K4 sfotografowane z ukosa i od dołu.** (Źródło: książka [1B1.1].)



**Rys. R-2-B1.1. Odtworzenie wyglądu UFO typu K6 w pozycji wiszącej oglądane od dołu.** (Źródło: książka [1B1.1].)



rozmytych plam świetlnych (załamanie to znajduje się pomiędzy kołnierzem bocznym a podstawą kabiny załogi).

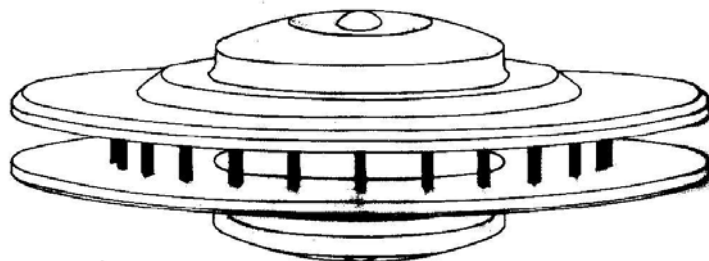
Dalsze spektakularne nocne zdjęcia dwóch UFO lecących w trybie bijącym pokazano na rysunku P24 monografii [1/4]. Ukazują one wehikuły typu K3 i K5 z wyglądu bardzo podobne do wehikułu pokazanego na zdjęciu Z\_2\_B1.1.

### B1.2. Tryb soczewki magnetycznej

W trybie "soczewki magnetycznej" pole magnetyczne wytwarzane przez pędniki danego wehikułu jest polem stałym, t.j. dokładnie takim samym jak pole wytwarzane przez tzw. magnesy stałe. To powoduje że linie sił owego potężnego stałego pola magnetycznego formują wokół UFO rodzaj jakby ekranu ochronnego zwanego właśnie "soczewką magnetyczną", jaka zakrzywia przebieg światła i jaka uniemożliwia dostrzeżenie kryjącego się w jej wnętrzu wehikułu UFO. Dlatego magnokrafty i wehikuły UFO jakie lecą dniami właśnie w trybie "soczewki magnetycznej" przestają być widoczne dla postronnego obserwatora. W trybie tym nie dają się też sfotografować. To zaś oznacza, że w normalnym przypadku nie jest możliwym wykonanie zdjęcia UFO lecącego w trybie soczewki magnetycznej. Bez zaś możliwości wykonania takiego zdjęcia, nie jest też możliwym jego pokazanie w niniejszym podrozdziale.

Oczywiście sama teoria "soczewki magnetycznej" jest znacznie bardziej złożona niż to zostało opisane w powyższym krótkim paragrafie. Niniejszy traktat nie będzie się jednak rozwodził nad stroną teoretyczną tego zjawiska, a jedynie zilustruje czytelnikowi jego następstwa praktyczne. Te zaś osoby które zechcą poznać dogłębniej raczej złożoną teorię stojącą za soczewką magnetyczną, powinni zapoznać się z podrozdziałami F10.3 i S1.3 monografii [1/4], gdzie została ona dokładnie opisana.

Własności UFO lecącego w trybie "soczewki magnetycznej" drastycznie się różnią od własności UFO lecącego w trybie "bijącym". Soczewka magnetyczna powoduje bowiem, że załoga wehikułu UFO jaki się ukrywa przed wzrokiem ludzkim za taką soczewką, jednocześnie nie jest też w stanie obserwować wzrokowo swego otoczenia. Załoga taka musi więc używać przyrządów



Rys. R-1-B1.2. Zestaw niezespólny magnokraftów typu K7. (Źródło: monografia [1/4]: rys. S1a; rys. F10.)

pokładowych aby widzieć dokąd leci i co ją właśnie otacza. Jest to ogromna niedogodność w stosunku do lotów UFO w trybie bijącym, kiedy to załoga doskonale widziała wzrokowo swoje otoczenie, tyle tylko że płaciła za to widzenie ryzykiem że ludzie również mogli wzrokowo zobaczyć ich wehikuł. UFO-nauci wpadli więc na doskonałe rozwiązanie tego problemu. Łączą oni mianowicie dwa wehikuły UFO w konfigurację latającą zwaną "zestawem niezespólnym". (Wygląd dwóch magnokraftów typu K7 sprzężonych magnetycznie razem w taki właśnie zestaw niezespólny pokazany został na rysunku R\_1\_B1.2. Natomiast wyczerpujące opisy, oraz dalsze ilustracje tego zestawu, zaprezentowane są w podrozdziale F3.1.3 monografii [1/4]. W tym traktacie zestaw niezespólny wehikułów UFO omówiony zostanie szerzej w podrozdziale B5.3.) W zestawie tym dolny z dwóch wehikułów UFO przedstawia swoje pędniki na pracę w trybie soczewki magnetycznej, zaś górny na pracę w trybie bijącym. W ten sposób, kiedy zestaw taki przelatuje na dużej wysokości, soczewka magnetyczna dolnego wehikułu szczelnie zasłania cały zestaw (t.j. oba wehikuły) przed oczami obserwatorów na Ziemi, jednocześnie jednak załoga górnego wehikułu lecącego w trybie bijącym może wzrokowo obserwować swoje otoczenie.

Na nasze szczęście (a pechowo dla okupujących Ziemię UFOonautów), istnieje jednak poważna wada zestawów niezespoleonych złożonych z dwóch wehikułów UFO z których dolny leci w trybie soczewki magnetycznej w górny w trybie bijącym. Wadą tą jest, że w przypadku obniżenia się na wysokość na tyle niewielką, że wehikuły te oglądane mogą być z boku, a nie spod spodu, owe UFO mogą zostać zaobserwowane wzrokowo oraz uchwycone na fotografiach. Ku naszemu też zadowoleniu, wykonanych zostało już sporo fotografii takich zestawów. Przykład jednej z nich opublikowany jest w monografii [1/4] jako rysunek S1c, zaś w tym traktacie pokazany na rysunku Z\_1\_B7.3.

Jeden z przypadków takiego właśnie zestawu niezespoleonego UFO sprzęgniętego z dwóch wehikułów typu K7, z których dolny leci w trybie soczewki magnetycznej zaś górny w trybie bijącym, uchwycony został na zdjęciu **Z\_1\_B1.2**. Ponieważ jest ono jednym z nielicznych zdjęć pokazujących jak właściwie wygląda UFO osłonięte szczelnie soczewką magnetyczną, omówimy więc je tutaj bardziej szczegółowo.

Zdjęcie Z\_1\_B1.2 pokazuje wygląd boczny zestawu niezespoleonego dwóch UFO typu K7 sfotografowanego we dzień. Dolny z obu statków leci w trybie soczewki magnetycznej, natomiast górny w trybie bijącym. Zdjęcie to zaczerpnięte zostało z Internetu, gdzie w październiku 2000 roku wystawione było pod adresem <<http://www.anomalous-images.com/images/ufos4.html>>. Niestety do tej pory autorom tego traktatu nie udało się znaleźć żadnych dalszych danych na jego temat. Powiększenie samego wehikułu UFO ujętego na zdjęciu Z\_1\_B1.2 pokazane zostało na powiększeniu P\_1\_B1.2.

Pokazany na zdjęciu Z\_1\_B1.2 i powiększeniu P\_1\_B1.2 przykład dziennego zdjęcia UFO w trybie soczewki magnetycznej, ujawnia kilka szczegółów jakie wymagają zinterpretowania i dokładniejszego wyjaśnienia. Pierwszym z tych szczegółów jest wygląd samego dolnego wehikułu UFO szczelnie osłoniętego soczewką magnetyczną i stąd normalnie niewidocznego dla ludzkich oczu. Jeśli dobrze się przyglądać obu ilustracjom Z\_1\_B1.2 i P\_1\_B1.2, to z jednej strony wehikułu tego wcale nie daje się zobaczyć, aczkolwiek powinien on być widoczny z równą wyrazistością i z podobnymi szczegółami jak wehikuł górny (dla porównania patrz na dolny wehikuł z rysunku R\_1\_B1.2). Z drugiej jednak strony po uważnym oglądnięciu zdjęcia Z\_1\_B1.2 lub powiększenia P\_1\_B1.2 wyraźnie widać, że pod wehikułem górnym podwieszona jest coś jeszcze, co ma kształt w przybliżeniu soczewkowaty, co jednak nie pozwala odnotować wyraźnych zarysów. To coś to właśnie dolne UFO typu K7 szczelnie osłonięte soczewką magnetyczną.

Kolejnym szczegółem wymagającym tutaj omówienia jest zdeformowanie górnego wehikułu UFO soczewką magnetyczną wytwarzaną przez dolny wehikuł. Górne UFO należy do typu K7, posiada bowiem wszelkie szczegóły charakterystyczne dla wehikułów typu K7 -



Fot. Z-1-B1.2: UFO K7 dniem z boku z soczewką. (Źródło: <http://www.anomalous-images.com/images/ufos4.html> .)



Fot. P-1-B1.2: Powiększenie UFO typu K7 z rysunku Z-1-B1.2.

w celu zweryfikowania tego typu patrz podrozdział F4.7 oraz rysunki F19 i F39 w monografii [1/4]. Jak to wyjaśnione zostanie w podrozdziale B4, u wehikułów typu K7 stosunek ich gabarytowej (t.j. największej) średnicy "D" do wysokości w najwyższym ich punkcie wynosi  $K=D/H=7$  (stosunek ten został dosyć dokładnie odzwierciedlony w proporcjach wehikułów pokazanych na rysunku R\_1\_B1.2). Tymczasem na zdjęciu Z\_1\_B1.2 stosunek ten wynosi zaledwie około  $K=3$ . To zaś oznacza, że soczewka magnetyczna uformowana przez pędniki dolnego UFO, niezależnie od przesłonięcia wehikułu jaki ją wytworzył, spowodowała także pozorne zdeformowanie kształtów górnego UFO. Zdeformowanie to objawia się m.in. i tym, że na zdjęciu pozorna szerokość górnego UFO w stosunku do wysokości tego wehikułu jest o ponad połowę mniejsza niż szerokość ta wynosi w rzeczywistości.

Oczywiście, zgodnie z cechami zestawionymi na początku rozdziału B, dwa wehikuły UFO z dziennego zdjęcia Z\_1\_B1.2 charakteryzowane są całym szeregiem dalszych atrybutów, a nie jedynie dyskoidalnym kształtem i trybem soczewki magnetycznej w magnetycznej konwencji lotu. Przykładowo wehikuły te: są typu K7, lecą w zestawie niezespoleonym, zostały sfotografowane w widoku z boku, zdjęcie pokazuje oba wehikuły, powłoka wehikułu górnego przestawiona jest na odbijanie światła, żaden z wehikułów nie ukazuje swego wyposażenia, wehikuły zostały sfotografowane w świetle dziennym, oraz nie są one przesłonięte żadnymi przeszkodami. Co dokładnie niektóre z tych atrybutów oznaczają, zostanie to wyjaśnione w następnych podrozdziałach tego traktatu.

Inny zestaw niezespoleony dwóch UFO typu K7, w którym górny wehikuł również leci w trybie bijącym zaś dolny w trybie soczewki magnetycznej, pokazany został na ogromnie słynnej w świecie serii kolorowych zdjęć oznaczonych w tym traktacie od Z\_1a\_B7.3 do Z\_1f\_B7.3. Seria owa wykonana została przez niejakiego Paula Villa i omówiona jest dokładniej w podrozdziale B7.3 tego traktatu. Zestaw ze zdjęć Z\_1a\_B7.3 do Z\_1f\_B7.3 składa się z dwóch UFO identycznego typu K7 jak wehikuły z zestawu pokazanego na zdjęciu Z\_1\_B1.2 omówionym powyżej, tyle tylko że odległość pomiędzy oboma wehikułami jest mniejsza na zdjęciu Z\_1\_B1.2, a także soczewka magnetyczna dolnego wehikułu na zdjęciu Z\_1\_B1.2 jest bardziej spłaszczona (co czyni ukryty w niej wehikuł znacznie mniej widocznym). Soczewka wehikułu z fotografii Paula Villa była tak silna, że na jednym z ujęć pokazanych w tym traktacie jako zdjęcie Z\_1e\_B7.3, wehikuł ten powoduje dosłowne zniknięcie gałęzi drzewa jakie wnikają w obręb pola magnetycznego składającą się na soczewkę owego UFO. Oczywiście tzw. "sceptycy" natychmiast wykorzystali owo zniknięcie gałęzi drzewa aby okrzyknąć zdjęcia Paula Villi fabrykacją i fotomontażem. Zalecałbym też aby czytelnik w tym miejscu szybko przeniósł się do podrozdziału B7.3 i przeglądnięt co tam napisano na temat zdjęć Paula Villa.

Dalsze szczegółowe informacje na temat wyglądu magnokraftów i UFO latających w trybie soczewki magnetycznej zawarte zostały w podrozdziałach P2.9, P2.10, P2.14.1, F10.3, i F10.3.1 monografii [1/4]. Z kolei kilka zdjęć zestawu niezespoleonego UFO typu K7 (tyle że zaczerpniętych z innych źródeł) pokazano tam na rysunku S1 monografii [1/4].

Zupełnie odmienny wygląd przyjmują wehikuły UFO sfotografowane w nocy w tym samym trybie soczewki magnetycznej. Oczywiście w warunkach panującej ciemności, oraz z uwagi na osłaniające własności soczewki magnetycznej, taki nocny wehikuł UFO całkowicie znika z widoku. Nie może być więc sfotografowany. Jednak sama soczewka magnetyczna UFO powoduje dynamiczne odchylenie się i rozbieganie światła znajdujących się poza tym wehikułem UFO, a więc światła gwiazd (t.j. w przypadku kiedy ktoś patrzy na takie UFO od spodu i widzi je na tle gwiazd), lub światła miasta (t.j. w przypadku kiedy ktoś patrzy na takie UFO od góry i widzi je na tle światła miasta). Z kolei owe rozbiegające się światła mogą już zostać sfotografowane i zaobserwowane. Niestety na razie autorzy tego traktatu nie znaleźli odpowiedniej fotografii jaka ilustrowałaby owo działanie soczewki magnetycznej UFO na światła widoczne poza wehikułem. Jeśli zaś kiedyś spotka taką fotografię, wówczas natychmiast zilustruje ją w niniejszym podrozdziale.

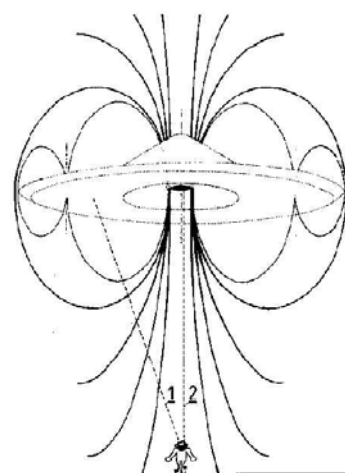
Jeden z kilku dalszych typów nocnego zdjęcia UFO lecącego w trybie soczewki magnetycznej pokazano na rysunku S5 monografii [1/4].

### B1.2.1. Soczewka magnetyczna we wznoszących się UFO

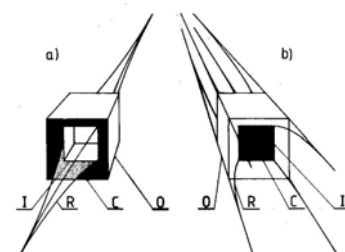
Najciekawsze są zdjęcia wehikułów UFO wykonane w chwili kiedy wehikuły te wznoszą się w górę w trybie soczewki magnetycznej. Podczas takiego wznoszenia praktycznie niemal cały wehikuł pozostaje zakryty soczewką magnetyczną, ponieważ światło NIE jest w stanie penetrować ich potężnego pola magnetycznego w poprzek linii sił tego pola. Jednak strumień magnetyczny wytwarzany przez komorę oscylacyjną z pędnika głównego formuje rodzaj kanału wzrokowego przez który zobaczyć można (i sfotografować) wylot z komory oscylacyjnej pędnika głównego takiego UFO. Jeśli więc obserwator, lub fotografujący, znajduje się dokładnie pod takim wznoszącym się UFO, wówczas widzi on, lub sfotografuje, wygląd wylotu z kapsuły dwukomorowej pędnika głównego tego wehikułu. Sytuacja taka, wraz z ilustracją zjawisk mających miejsce w takim przypadku, zilustrowana została na rysunku **R\_1\_B1.2.1.** Z kolei jej dokładne wyjaśnienie zawarte jest w podrozdziale F10.3.1 z monografii [1/4] lub [1/5]. Dla niektórych obserwatorów UFO, którzy patrzą na UFO jakie wznosi się z samej powierzchni ziemi, zjawisko to wygląda dosyć szokująco. Na samym początku widzą oni bowiem cały wehikuł UFO. Jednak w pewnej chwili wehikuł ten znika, zaś na jego miejscu pojawia się mały czarny kwadrat (lub romb) wylotu z kapsuły dwukomorowej pędnika głównego tego UFO. Dla wielu z nich wygląda to jakby UFO zmieniło swój kształt.

Kapsuła dwukomorowa UFO pokazana jest na rysunku **R\_2\_B.** Jak też łatwo wydedukować z jej działania, zależnie od tego czy jej tzw. "strumień krążący" wytwarzany jest w niej przez komorę zewnętrzną (O) czy też przez komorę wewnętrzną (I), wylot z takiej kapsuły może przyjmować jeden z dwóch drastycznie odmiennych wyglądków. Oba te wyglądy zilustrowane zostały obok na rysunku **R\_2\_B1.2.1** (który jest powtórzeniem rysunku C6 z monografii [1/4] i [1/5]). Charakterystycznym w obu tych wyglądkach jest owa "czarna dziura" czy też "czarna belka" jaka jest formowana przez zakrzywione linie sił potężnego pola magnetycznego które NIE przepuszczają światła padającego na NIE pod kątem innym niż bliskim zera. Jak też się okazuje, owe "czarne dziury" czy też "czarne belki" faktycznie widziane są i fotografowane we wznoszących się UFO.

Przykład wyglądu komory oscylacyjnej pędnika głównego wznoszącego się wehikułu UFO, sfotografowanego dniem w trybie soczewki magnetycznej, uchwycony został na zdjęciu **Z\_2a\_B1.2.1** w powiększeniu pokazanym na **P\_2a\_B1.2.1**. Zdjęcie to zostało wykonane dnia 25 kwietnia 1974 roku, przez niejakiego Tsutomu Nakayama, na Hawajach. Oryginalnie opublikowane ono było na stronie 116 książki **[1B1.2.1]** pióra Peter'a



**Rys. R-1-B1.2.1. Wznoszący się magnokraft w trybie soczewki magnetycznej.** (Źródło: monografia [1/4], rys. F32.)



**Rys. R-2-B1.2.1: Dwa zasadnicze wyglądy wylotu z kapsuły dwukomorowej pędnika głównego magnokraftów i UFO.** (Źródło: "rys. C6" z [1/4].)



**Fot. P-2a-B1.2.1: Kapsuła dwukomorowa z dominacją strumienia zewnętrznego.** (Źródło: książka [1B1.2.1].)

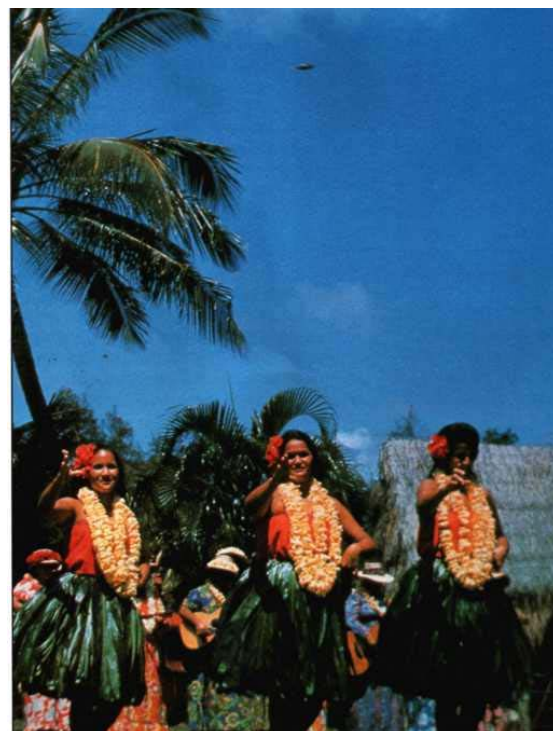


Brookesmith, "UFO", Blandford (Wellington House, 125 Strand, London WC2R 0BB), London 1995, ISBN 1-7137-2583-4.

Ciekawostką zdjęcia **Z\_2a\_B1.2.1** jest, że właśnie uchwyciło ono sobą kształt, jakie podczas dokładniejszych analizy przypomina wylot z ciemnego kwadratu oglądany z boku (czyli kształt tzw. rombu) otoczony jakby jaśniejszą obwódką wylotu większego kwadratu wydzielającego światło. Dokładniej kształt ten można zobaczyć na powiększeniu obiektu ze zdjęcia **Z\_2a\_B1.2.1**, pokazanym na powiększeniu **P\_2a\_B1.2.1**. Jak to wyjaśniono w podrozdziale C7.1 monografii [1/4] i zilustrowano tam na rysunku C6, taki właśnie wygląd czarnego kwadratu zawartego we wnętrzu jaśniejszego kwadratu przyjmuje komora oscylacyjna UFO pierwszej generacji pracująca w trybie dominacji strumienia zewnętrznego.

Oczywiście wehikuły UFO fotografowane są również podczas wznoszenia się w trybie dominacji strumienia wewnętrznego. Przykład wylotu kapsuły dwukomorowej z pędnika głównego wznoszącego się UFO pierwszej generacji, jaki właśnie znajduje się w trybie dominacji strumienia wewnętrznego, pokazany został na zdjęciu **Z\_2b\_B1.2.1**. Zdjęcie **Z\_2b\_B1.2.1** pokazuje jedno z najlepszych kolorowych fotografii kapsuły dwukomorowej UFO działającej w trybie "dominacji strumienia wewnętrznego" utrwalonej w świetle dziennym. Zostało ono opublikowane w książce **[2B1.2.1]** "Into the Unknown", Reader's Digest, Sydney, Australia, 1982, ISBN 0-909486-92-1, strona 315. Zgodnie z podanym pod nim podpisem, wykonane ono zostało przez anonimowego nauczyciela na Hawajach - patrz dokładniejszy opis tego zdjęcia przytoczony pod lewą częścią rysunku S5 monografii [1/4].

Na wyższej jakości odbitkach tego zdjęcia, a także na przytoczonym tutaj jego powiększeniu **P\_2b\_B1.2.1**, stożek pola magnetycznego wyrzucanego do otoczenia spod wewnętrznej komory uchwyconej na zdjęciu kapsuły dwukomorowej jest dobrze widoczny. Stożek ten przesłania zarysy dwóch tylnich krawędzi kapsuły. Pole przechwycone w strumień krążący działa jak "czarna dziura" opisywana w podręcznikach optyki, wytwarzając widoczną na zdjęciu czarną przestrzeń. Z uwagi na działanie soczewki magnetycznej, oprócz kapsuły dwukomorowej z pędnika głównego, cała reszta UFO pozostaje niewidoczna. Ponadto jest on jedynym statkiem o soczewkowsko kształtnym kołnierzu bocznym jakiego konstrukcja i sterowanie umożliwiają formowanie konfiguracji o kształcie trójkąta równobocznego (przykładowo formowanie lądowisk w zbożu o precyzyjnym kształcie trójkąta równobocznego).



Fot. **Z-2a-B1.2.1**: Kapsuła dwukomorowa pierwszej generacji z dominacją strumienia zewnętrznego. (Zródło: książka[1B1.2.1].)



Fot. **P-2b-B1.2.1**: Kapsuła dwukomorowa pierwszej generacji z dominacją strumienia wewnętrznego. (Z: monografia [1/4], rys. S5.)

### B1.3. Tryb wiru magnetycznego

W trybie "wiru magnetycznego" linie sił pola magnetycznego wytwarzanego przez pędniki danego wehikułu wirują dookoła osi centralnej dyskoidalnego statku, t.j. formują zjawisko bardzo podobne do tego jakie pojawia się w stojanach trójfazowych asynchronicznych silników elektrycznych. Z kolei szybkie wirowanie wokół powłoki UFO linii sił ogromnie silnego pola magnetycznego wywołuje cały łańcuch najróżniejszych zjawisk pochodnych. Najważniejszym z tych zjawisk pochodnych jest jonizowanie ośrodka otaczającego powłokę statku i formowanie z tego ośrodka tzw. "wiru plazmowego" jaki podąża w ślad za "wirem magnetycznym". Dlatego magnokrafty i wehikuły UFO jakie lecą w trybie "wiru magnetycznego" przesłaniają swoją powłokę chmurą wirującej i intensywnie świecącej się plazmy. W czasie dnia chmura ta nie jest wprawdzie w stanie przewyższyć swoją jasnością światła słonecznego, dlatego dniami owa wirująca chmura plazmowa wygląda jak rodzaj czarnej chmury zasłaniający zawarty w jej wnętrzu statek UFO. Jednak w nocy, z powodu panujących ciemności, owa chmura plazmowa zaczyna intensywnie świecić i na zdjęciach zostaje uchwycona jako rodzaj intensywnie jarzącego się kolorowego kształtu.

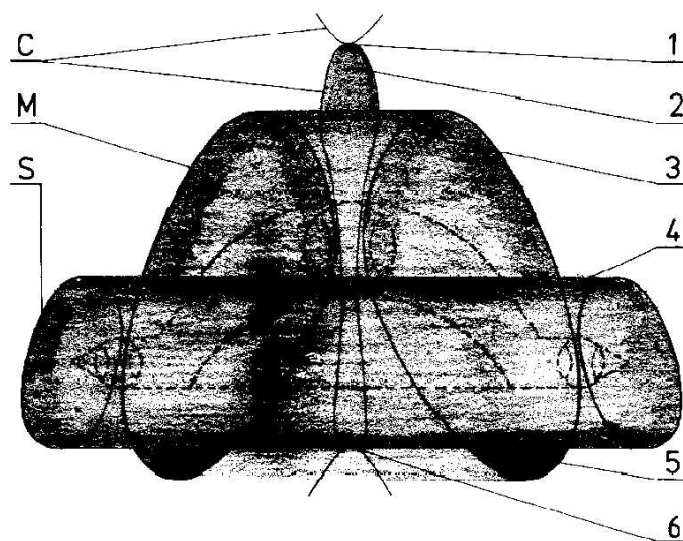
Teoria "wiru magnetycznego" jest równie złożona jak teoria "soczewki magnetycznej". Jako taka nie będzie ona omawiana w niniejszym traktacie, zaś zainteresowani czytelnicy odsyłani są w celu jej zgłębienia do podrozdziałów F7 i F10.1 monografii [1/4], gdzie wir magnetyczny i jego następstwa zostały dokładnie opisane.

Wygląd jaki przyjmuje stojący na ziemi magnokraft typu K3 po otoczeniu się wirem magnetycznym, pokazany został na rysunku **R\_1\_B1.3.**

Własności UFO lecącego w trybie "wiru magnetycznego" ponownie różnią się drastycznie od własności UFO lecącego w trybie "soczewki magnetycznej" albo w trybie "bijącym". Wir magnetyczny powoduje bowiem, że załoga wehikułu UFO jaki zawarty jest w jego wnętrzu także nie jest w stanie obserwować wzrokowo swojego otoczenia. Załoga taka musi więc używać przyrządów pokładowych aby widzieć dokąd leci i co ją właśnie otacza. Jest to również ogromna niedogodność w stosunku do lotów UFO w trybie bijącym, kiedy to załoga doskonale widziała wzrokowo swoje otoczenie.

Wygląd pojedynczego UFO typu K3 sfotografowanego przy świetle dziennym, podczas gdy jego napęd pracuje w trybie wiru magnetycznego, pokazano na zdjęciu **Z\_1\_B1.3.** Zdjęcie Z\_1\_B1.3 zdołało uchwycić pojedyncze UFO typu K3 w momencie gdy zawisało ono nieruchomo na niebie w pozycji stojącej. To zaś powoduje, że wirująca chmura plazmy jaka otacza powłokę wehikułu nie jest deformowana (rozdmuchana) naciskiem powietrza spowodowanym lotem statku, i stąd chmura ta jest idealnie symetryczna. Wehikuł został ujęty od spodu z ukosa pod kątem jakichś 50° do jego osi centralnej.

Ciekawostką zdjęcia Z\_1\_B1.3 jest, że pokazuje ono wehikuł w krótką chwilę po tym jak włączył on swój wir magnetyczny, czyli faktycznie pokazuje ono to UFO pod koniec jego trybu przejściowego opisywanego wcześniej jako tryb (1-3) "bijąco-wirujący". Stąd otoczka wirującej plazmy jaka otacza ten wehikuł nie jest jeszcze zbyt gruba, i faktycznie to w



**Rys. R-1-B1.3. Wir jonowy magnokraftu typu K3.**  
(Źródło: monografia [1/4], rys. F27.)

górną część wehikułu możliwym jest aby poprzez nią dostrzec wnętrze kabiny załogi. Interesującym, że wnętrze tej kabiny jest niemal identycznym do tego jakie zobaczyć można na rysunku R\_1\_B1.1, tyle tylko że widoczne jest ono pod nieco innym kątem i z nieco innej strony. Nie tylko więc widać w owej górnej części wehikułu sufit kabiny załogi, ale także widać przezroczystą kolumnę centralną w jakiej zawarty jest pędnik główny, a nawet widać sam pędnik główny.

Warto też odnotować ze zdjęcia Z\_1\_B1.3, że od góry statku, na wylocie z pędnika głównego, zjonizowane powietrze świeci kolorem zielonym, czyli odmiennym niż powietrze zjonizowane u podstawy statku jego pędnikami bocznymi jakie powodują jakby czerwone świecenie powietrza. Powodem takiej odmienności kolorów świecenia wirującej chmury plazmy jest rodzaj bieguna pola magnetycznego powodującego jonizację powietrza. Z Teorii Magnokraftu wynika bowiem, że powietrze jonizowane przez północny biegun silnego pola magnetycznego

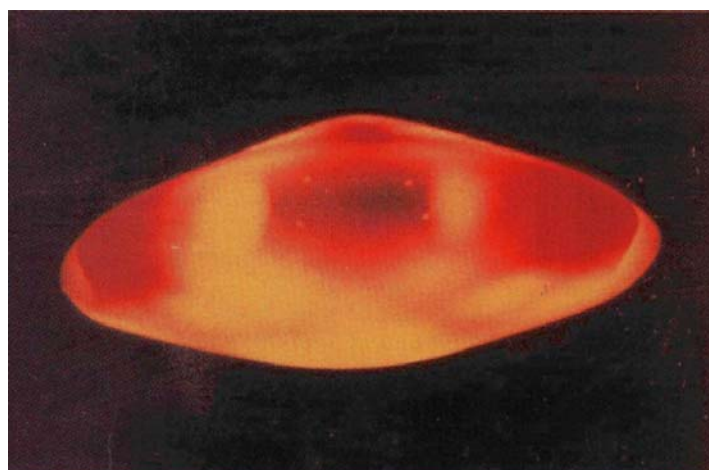
musi świecić odcieniami koloru czerwonego, natomiast powietrze zjonizowane przez południowy biegun silnego pola magnetycznego musi świecić odcieniami koloru zielonego - patrz rysunek P15 oraz opisy z podrozdziału P2.11 monografii [1/4]. To właśnie z tego powodu zorza polarna na biegunie północnym Ziemi świeci głównie odcieniami czerwieni, podczas gdy zorza polarna na biegunie południowym Ziemi świeci głównie odcieniami zieleni (odnotuj przy tym że Teoria Magnokraftu używa notacji kartograficznej oznaczania biegunowości pola magnetycznego, jaka jest odwrotna do notacji oznaczania tej biegunowości używanej przez fizyków). Kolejnym szczegółem wartym zwrócenia uwagi są owe dwa jakby ciemniejsze pasy powietrza rozchodzące się od podstawy statku w dół pod kątami około 45 stopni. Pasy te to granice stożka wirującego pola magnetycznego jakie wytwarzane jest przez pędnik główny statku i jakie odpycha się od pola Ziemi. Należy odnotować, że w wirującej chmurze plazmowej u podstawy statku, w miejscu gdzie owe ciemne smugi wnikają w ową chmurę, tworzy się załamanie (czyli rodzaj nieciągłości) w płazmie wirującej wokół tego UFO. Zdjęcie Z\_1\_B1.3 zaczerpnięte zostało z Internetu, gdzie w październiku 2000 roku wystawione ono było pod adresem <<http://www.ids.net.pl/~nole/pictures.html>>. Niestety do tej pory autorom tego traktatu nie udało się znaleźć żadnych innych danych na jego temat.

Dalsze informacje na temat wyglądu magnokraftów i UFO latających w trybie wiru magnetycznego zawarte zostały w podrozdziałach P2.7, P2.14.2, i F7.3 monografii [1/4]. Natomiast więcej dziennych zdjęć UFO lecących w trybie wiru magnetycznego pokazano na rysunkach P21 i P7 monografii [1/4].

Odmienne wygląd przyjmują wehikuły UFO sfotografowane w nocy w tym samym trybie wiru magnetycznego. Oczywiście w



Fot. Z-1-B1.3: UFO K3 dniem od spodu z wirem. (Źródło: <http://www.ids.net.pl/~nole/pictures.html> .)



Fot. Z-2-B1.3: UFO K4 nocą oddolnie w trybie wiru. (Z: <http://www.anomalous-images.com/images/ufo4.html>.)

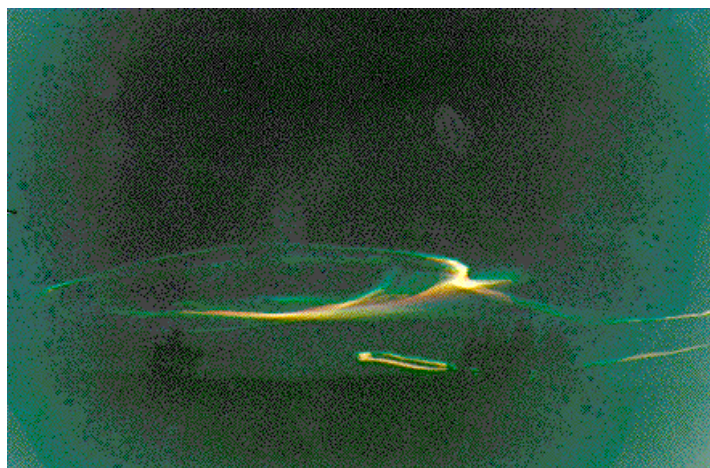


warunkach panującej ciemności, oraz z uwagi na silne jarzenie się chmury plazmowej formowanej przez wir magnetyczny, taki nocny wehikuł UFO zaczyna być widoczny jako jarząca się ognistocie wirująca chmura.

Przykład nocnego wyglądu pojedynczego dyskoidalnego UFO sfotografowanego w trybie wiru magnetycznego pokazano na zdjęciu **Z\_2\_B1.3**. Zdjęcie to ujmuje pojedyncze UFO typu K4 uchwycone w pozycji stojącej w widoku od dołu (ale ujęte z ukosa). Wirująca chmura plazmowa tego wehikułu nie uległa rozwianiu, ani asymetrycznemu zdeformowaniu, co oznacza że w chwili fotografowania wehikuł ten zawisał nieruchomo w powietrzu. Zdjęcie to zaczerpnięte zostało z Internetu, gdzie w październiku 2000 roku wystawione ono było pod adresem <<http://www.anomalous-images.com/images/ufo4.html>>. Niestety, również i w jego przypadku, do tej pory autorom tego traktatu nie udało się znaleźć żadnych innych danych na jego temat.

Kilka innych nocnych zdjęć wehikułów UFO lecących lub zawisających w trybie wiru magnetycznego pokazano na rysunkach P20, P23, i P27 monografii [1/4]. Najbardziej spektakularne z nich jest nocne zdjęcie z rysunku P20 jakie pokazuje UFO typu K4 otoczone wirem plazmowym niemal identycznym do tego jaki pokazany został na rysunku R\_1\_B1.3.

Niekiedy się zdarza, że ktoś wykonuje zdjęcia z bardzo długim czasem naświetlania, zaś z pola widzenia obiektywu aparatu wlatuje relatywnie szybko lecące UFO (wszakże zgodnie z "Teorią Magnokraftu", w trybie wiru magnetycznego UFO może poruszać się w atmosferze z szybkością do 70 000 kilometrów na godzinę, bez groźby spalania swej powłoki w wyniku tarcia o atmosferę - patrz opisy w podrozdziale F10.1 monografii [1/4]). Jeśli w obrębie czasu naświetlania danego zdjęcia



Fot. Z-3-B1.3: 2 UFO z wirem wieczorem, długi czas. (Źródło: <http://www.artbell.com.ufos2.html> .)

UFO to zdoła przelecieć znaczną drogę, wówczas po wywołaniu na zdjęciu ukazują się smugi świetlne które odpowiadają trajektoriom zakreślonym przez owo UFO. W przypadku wykonania kolorowych zdjęć, zależnie jakim biegunem magnetycznym UFO zwrócone jest do obserwatora, smugi te mogą przyjmować odcienie koloru czerwonego lub zielonego - jak to opisano przy okazji omawiania zdjęcia Z\_1\_B1.3. Zdjęcie to również pochodzi z Internetu, gdzie w październiku 2000 roku wystawione ono było pod adresem <<http://www.artbell.com.ufos2.html>>. Na zdjęciu **Z\_3\_B1.3** pokazano właśnie przykład takich kolorowych smug pozostawianych przez dwa różne wehikuły UFO lecące w trybie wiru magnetycznego jakie poruszały się w polu widzenia aparatu wykonującego zdjęcie o długim czasie naświetlania. Jednymi z istotnych cech charakterystycznych tych smug, na jakie należy tutaj zwrócić szczególną uwagę, jest grubość i kolor tych smug świetlnych jakie wyraźnie ulegają zmianie kiedy wehikuł zmienia kierunek lotu. Wynika to z faktu, że wehikuły UFO zawsze latają ustawione swoją podstawą mniej więcej prostopadłe do lokalnego przebiegu linii sił pola magnetycznego Ziemi. Z tego powodu, aby zmienić kierunek lotu muszą one zmienić w swoich pędnikach zorientowanie biegunów oraz wielkość wydatków. To z kolei zmienia kolor świecenia jaki dany biegun magnetyczny idukuje podczas jonizowania powietrza. Zależnie więc od kierunku w jakim UFO właśnie lecą, powierzchnia ich przekroju jakim właśnie przecinają one powietrze będzie się zmieniała, zmieniała się też będzie biegunowość pola jakie oddziałuje na powietrze jonizowane przez pędniki statku. W rezultacie wytwarzane smugi świetlne są różnej grubości i przemiennej koloru. Owe cechy smug formowanych przez prawdziwe UFO są jednym z kluczy pozwalających na odróżnianie prawdziwych zdjęć UFO, od zdjęć



falszowanych. Falszowane zdjęcia rzekomych UFO, jakich ogromna liczba wystawiana jest w Internecie i również pokazuje nierzadziej kolorowe smugi, formowana jest albo poprzez fotografowanie najróżniejszych podłużnych źródeł światła (np. powyginanych żarówek jarzeniowych), albo przez fotografowanie nieruchomych źródeł światła (np. lamp ulicznych) przez poruszający się aparat (np. z jadącego samochodu). Jednak w obu takich przypadkach grubość smug światła, a także ich kolory, wcale nie ulegają zmianie pomimo pozornej zmiany kierunku ich "lotu". Ciekawostką tego typu fałszerstw zdjęć UFO jest, że aby je zrealizować ich wykonawcy muszą włożyć w to sporą dozę trudu i zachodów. Stąd kiedy widzę ową mnogość takich fałszowanych zdjęć UFO, zwykle ogarniają mnie refleksje na temat bezzasadności krytyki moich twierdzeń że wykonawcy takich fałszerstw dopingowani są do swego czynu przez samych UFOonautów za pośrednictwem silnych nakazów hipnotycznych. Jeśli bowiem wyeliminować możliwość takiej manipulacji UFOonautów, jakież to jeszcze inny powód mógłby istnieć jaki potrafiłby zmusić typowych trzcieli telewizorów do podjęcia całego tego trudu i zachodu fałszowania kilku zdjęć, o których z góry wiadomo że nawet gdyby były autentycznymi, i tak nikt później nie zechce uwierzyć że przedstawiają sobą wehikuły UFO?

Oczywiście, takie relatywnie szybko lecące UFO w trybie wiru magnetycznego może także być uchwycone z wymaganiem krótkim czasem naświetlania. W takim przypadku uchwycony może zostać ogromnie interesujący obraz, jakiego przykład pokazano na kolorowym zdjęciu **Z\_4\_B1.3** (które to zdjęcie również zaczerpnięto z Internetu, gdzie w listopadzie 2000 roku wystawione ono było pod adresem [http://galactic-](http://galactic-server.com/torealf/ufo.html)



server.com/torealf/ufo.html). Zdjęcie **Z\_4\_B1.3** pokazuje bardzo szybko lecące UFO typu K3, jakie otoczone jest jarzącą się na czerwono chmurą zjonizowanego i wirującego powietrza. W chmurze tej wyróżnić się daje jakby warstwy, jakie wynikają z faktu że dwa wirujące obwody magnetyczne tego UFO zakreślają kręgi wokół statku formując jakby odrębne chmury jonowe jakie w wyniku ruchu nakładają się na siebie. W środku owej chmury widać wyraźnie zarysy pojedynczego UFO typu K3, jakie jarzą się kolorem złotym. Sam wehikuł uchwycony został z boku i lekko od spodu, jak nachylony pod kątem około 60 stopni do poziomu leci w kierunku dolnej ramki zdjęcia. Ponieważ wehikuł ten porusza się szybko do przodu, formowana przez niego chmura zjonizowanego powietrza ulega rozwianiu, zaś sam wehikuł UFO znajduje się u dolnego obrzeża owej chmury.

Fot. **Z-4-B1.3: Szybkie UFO K3 nocą w trybie wiru.**  
(Źródło: <http://galactic-server.com/torealf/ufo.html>.)

## B2. Pojedyncze dyskoidalne UFO drugiej generacji (wehikuły telekinetyczne)

Aczkolwiek dla ciągle prymitywnej techniki ziemskiej, nawet wehikuły UFO pierwszej generacji opisane w poprzednich podrozdziałach B1.1, B1.2, i B1.3 są wehikułami ogromnie zaawansowanymi, w sensie zasady użytej do swego napędzania, są one relatywnie proste. Wszakże ciągle latają one na zasadzie ruchów fizycznych, poprzez zwykłe odpychanie lub przyciąganie pola magnetycznego które wytwarzane jest przez ich pędniki, z polem magnetycznym Ziemi, Słońca, lub Galaktyki. Nieporównanie bardziej od nich zaawansowanymi wehikułami, są "UFO drugiej generacji", zwane tutaj także "wehikułami telekinetycznymi". Napęd UFO drugiej generacji działa już bowiem na zasadzie ruchu telekinetycznego (a nie ruchu fizycznego). Jak to powszechnie jest wiadomo,

manipulowana przez naszych kosmicznych okupantów nauka ziemską jak dotychczas uparcie odmawia oficjalnego uznania ruchu telekinetycznego. Niemniej kanałami pozanaukowymi i metodami empirycznymi dowiedziano się już relatywnie dużo na temat tego ruchu, np. poprzez badanie lewitacji, ludzkiej psychokinezy, psychokinetycznego uginania różdek radiestezyjnych, itp. Ponadto w sposób teoretyczny ruch telekinetyczny został już dobrze poznany i opisany z użyciem nowej teorii jaka w rozdziale H monografii [1/4] opisana jest pod nazwą "Konceptu Dipolarnej Grawitacji". Koncept ten definiuje ruch telekinetyczny jako "przemieszczanie obiektów materialnych poprzez manipulowanie przeciw-materialnymi duplikatami tych obiektów", oraz postuluje że w sensie użytej zasady działania ruch telekinetyczny jest odwrotnością zjawiska tarcia, bowiem powoduje on konwersję w ruch energii termicznej rozproszonej w otoczeniu telekinetycznie przemieszczanych obiektów. W sensie praktycznym ruch telekinetyczny uzyskuje się poprzez przyspieszanie (lub opóźnianie) pola magnetycznego, co z kolei powoduje telekinetyczne przemieszczenia obiektów objętych zasięgiem owego przyspieszanego pola.

Wehikuły telekinetyczne (t.j. UFO drugiej generacji) w sensie wyglądu zewnętrznego, wymiarów, i ogólnej budowy są nieodróżnialne od wehikułów czysto magnetycznych (t.j. od UFO pierwszej generacji). Podobnie też jak wehikuły czysto magnetyczne są one również uszeregowane w osiem zasadniczych typów nazywanych typem K3, K4, ..., K10 - patrz podrozdział B4. Praktycznie gdyby postawić na ziemi obok siebie dwa UFO tej samej wielkości (a ściślej tego samego typu, np. K3), z których jedno byłoby wehikułem telekinetycznym, drugie zaś wehikułem magnetycznym, typowy zjadacz chleba nie byłby w stanie odróżnić ich od siebie. Miałyby one bowiem dokładnie takie same wymiary, dokładnie taki sam kształt, i dokładnie tą samą konstrukcję. Jedyne różnice pomiędzy nimi sprowadzają się bowiem do drobnych szczegółów konstrukcyjnych jakie zwykle nie są rzucające się w oczy dla zewnętrznego obserwatora lub dla fotografującego. Szczegóły te to m.in.: (1) kształt komór oscylacyjnych w ich pędnikach (w dyskoidalnych UFO pierwszej generacji komory te mają kształt kostek sześciennych, zaś w dyskoidalnych UFO drugiej generacji mają one kształt brył ośmiobocznych), (2) rodzaj i kolor materiału użytego na ich powłokę (UFO pierwszej generacji używają na powłokę szklistego i metalicznego w dotyku materiału bazującego na tzw. "elektrodynamicznym modelu magnetorefleksyjności", zaś UFO drugiej generacji używają szarego i "tłustego" w dotyku materiału bazującego na tzw. "telekinetycznym modelu magnetorefleksyjności" - patrz opisy tych modeli w podrozdziałach F2.2.1 i F2.2.2 monografii [1/4]), oraz oczywiście (3) komputer sterujący lotem wehikułu i jego oprogramowanie. Aby dodatkowo pogłębić te podobieństwa, UFO drugiej generacji, oprócz lotów telekinetycznych (czyli oprócz telekinetycznej konwencji lotu) są w stanie wykonywać też loty czysto magnetyczne, identyczne do lotów UFO pierwszej generacji. Podczas takiego latania w konwencji czysto magnetycznej, UFO drugiej generacji również są w stanie włączać wszystkie trzy tryby pracy omówione poprzednio, a więc tryb bijący, tryb soczewki magnetycznej, i tryb wiru magnetycznego, indukując w każdym z tych trzech trybów dokładnie te same zjawiska jakie indukowane były przez UFO pierwszej generacji. Stąd niemal wszystko to co w poprzednich podrozdziałach opisane zostało dla UFO magnetycznych, ważne jest również do UFO telekinetycznych latających w magnetycznej konwencji lotu. Jednak na dodatek do lotów czysto magnetycznych, UFO drugiej generacji mają ową niezwykłą zdolność do latania w "konwencji telekinetycznej", czyli do realizowania "przemieszczeń telekinetycznych". Niniejszy podrozdział skupi się więc wyłącznie na tej ich zdolności, omawiając tylko telekinetyczne loty UFO drugiej generacji.

Realizowanie przez UFO drugiej generacji przemieszczeń telekinetycznych, drastycznie różni się od przemieszczeń fizycznych realizowanych przez UFO pierwszej generacji. Z pośród całej gamy zasadniczych różnic istniejących pomiędzy tymi dwoma odmiennymi zasadami poruszania się, dwie różnice posiadają zasadniczy wpływ na wygląd telekinetycznych UFO uchwyconych na fotografiach. Różnice te to dwa unikalne zjawiska telekinetyczne zwane: (1) "jarzeniem pochłaniania", oraz (2) "telekinetycznym migotaniem". "Jarzenie pochłaniania" jest to rodzaj kredowo-białego jarzenia lub światła, bardzo podobnego do białego światła księżyca, jakie pojawia się wzdłuż powierzchni obiektów

poruszanych na zasadzie telekinetycznej. Teoria stojąca za przyczynami pojawienia się tego jarzenia wyjaśniona została w podrozdziałach H6.1 i L1 monografii [1/4]. Jarzenie to pojawia się nie w każdym przypadku, a jedynie wówczas kiedy dany wehikuł UFO drugiej generacji wykonuje jakąś pracę telekinetyczną, np. przyspiesza, wznosi się w górę, hamuje (w przypadku hamowania "jarzenie pochłaniania" zastępowane jest jednak przez jego odmienną wersję zwaną "jarzeniem wydzielania" która ma nieco zielonkawy odcień), itp. Jeśli więc UFO drugiej generacji lecące w konwencji telekinetycznej zaczyna przyspieszać, lub wznosi się w górę, postronny obserwator łatwo rozpozna je właśnie po owym białym świetle "jarzenia pochłaniania" jakie otacza powłokę wehikułu - patrz zdjęcie Z\_3\_B2. Warto przy tym odnotować, że z powodu drugiego ze zjawisk wywoływanych podczas telekinetycznych lotów, mianowicie z powodu "telekinetycznego migotania", sam wehikuł UFO drugiej generacji najczęściej na zdjęciu nie zostaje wcale uchwycony. Bardzo więc często zdjęcia UFO drugiej generacji pokazują tylko ową cienką warstewkę "jarzenia pochłaniania", jaka ciasno otacza kształt wehikułu niewidocznego na danym zdjęciu.

"Telekinetyczne migotanie" jest drugim unikalnym zjawiskiem wzbudzonym przez napęd telekinetyczny. Polega ono na chwilowym znikaniu struktury fizycznej obiektu przemieszczającego się na zasadzie telekinetycznej, i czasowym zamienianiu się tej struktury w rodzaj wzoru energetycznego. Podczas więc telekinetycznego migotania, dany obiekt używający napędu telekinetycznego będzie dokonywał nieustannych "mignięć", alternatywnie w stan materialny oraz w stan wzoru energetycznego. To oznacza, że przez krótkie chwile czasu obiekt ten istniał będzie jako przedmiot materialny (czyli będzie posiadał kształt, wymiary, wagę, wygląd, kolor, itp.) zaś po owych krótkich chwilach następowały będą u niego "mignięcia" do stanu niematerialnego - kiedy to istniał będzie tylko jako obiekt czysto energetyczny (t.j. nie będzie widzialny, nie posiadał będzie kształtu, wymiarów, masy, itp.). Ponieważ napęd wehikułu UFO drugiej generacji jest w stanie sterować częstotliwością z jaką owe "mignięcia" ze stanu materialnego w stan niematerialny i z powrotem są realizowane, praktycznie wehikuł ten może też płynnie zwiększać tą szybkość migania poza graniczną częstość przy jakiej wehikuł przestaje być już widzialny dla ludzkich oczu (t.j. poza częstość z jaką migają obrazy w kinie, oraz z jaką miga nasz telewizor domowy). Praktyczną konsekwencją tej zdolności do płynnego zmieniania częstości swego migotania jest umiejętność wehikułów UFO drugiej generacji do dosłownego znikania z widoku na naszych oczach, poprzez stopniowe rozpyływanie się w mgłę i następne całkowite znikanie. Oczywiście, zależnie od tego czy w danym momencie UFO (jakie właśnie się rozpyływa w mgłę i znika z naszego widoku) wydzielano będzie jarzenie pochłaniania, owa mgła w jaką wehikuł się zamienia może mieć albo kolor biały (z powodu jarzenia pochłaniania) albo też szary (z powodu braku jarzenia pochłaniania). Jeśli więc ktoś fotografował będzie UFO drugiej generacji lecące w konwencji telekinetycznej, wówczas na zdjęciach uchwyconych może zostać cała gama najróżniejszych obiektów, począwszy od dobrze widocznych, szarych wehikułów UFO, poprzez wehikuły stopniowo zamieniające się w szarą lub w białą mgłę, a skończywszy na wehikułach których zupełnie nie widać ani na zdjęciach ani też wzrokowo.

Oczywiście stan telekinetycznego migotania nadaje wehikułom UFO drugiej generacji całego szeregu unikalnych własności, z których owa zdolność do całkowitego znikania z widoku (lub do częściowego zamieniania się w szarą mgłę) jest tylko pierwszą. Kolejną taką niezwykłą własnością tych wehikułów jest ich zdolność do przenikania przez objekty stałe, takie jak mury, okna, meble, kamienie, itp. Dlatego niewidzialne UFO drugiej generacji mogą wlatywać do naszych mieszkań, przenikając przez ściany lub okna naszych budynków, i nie czyniąc przy tym żadnej szkody ani tym ścianom czy oknom, ani też sobie samemu. Ponadto, kiedy takie wehikuły UFO drugiej generacji zawisną nisko nad ziemią, my możemy przez nie zwyczajnie przechodzić, przenikając naszym ciałem przez ich ścianki i urządzenia, i wcale tego nie odnotowując. Przykładowo można sobie łatwo wyobrazić, że wykonawcy omawianego dalej zdjęcia Z\_2\_B2 zapewne wielokrotnie przekraczali przez ścianki i materię wehikułu UFO jaki potem uchwycili na swoim zdjęciu.

Istnieje też jeszcze jedna niezwykła cecha wehikułów telekinetycznych jaka warta jest wspomnienia w tym miejscu. Jest nią ich zdolność do osiągnięcia nieskończenie dużych prędkości lotu, czyli do natychmiastowego osiągnięcia celu. Zdolność ta powoduje, że niemal natychmiast po tym jak wehikuły te wystartują z powierzchni Ziemi, osiągają one swój cel, niezależnie od tego jak odległy cel ten by nie był (t.j. mogą one niemal natychmiast osiągnąć przeciwstawne krańce wszechświata). Aby zrozumieć skąd ta możliwość się bierze, koniecznym jest poznanie cech przeciw-świata i atrybutów ruchów telekinetycznych (dokładniej opisanych w podrozdziałach H6 i L2 monografii [1/4]). Jeśli bowiem do ruchów telekinetycznych ktoś odniesie znane dzisiejszym naukowcom cechy i ograniczenia ruchu fizycznego, wówczas nie jest w stanie zrozumieć ani zaakceptować faktu istnienia natychmiastowych przemieszczeń o nieskończenie dużej szybkości (tak samo jak ograniczenia ruchu fizycznego fal świetlnych nie pozwalają zrozumieć i zaakceptować faktu że fale telepatyczne przemieszczają się z nieskończenie dużą szybkością, stąd osiągają one przeciwstawny kraniec wszechświata w tym samym momencie kiedy zostały wzbudzone).

Wygląd pojedynczego UFO typu K7 drugiej generacji sfotografowanego przy świetle dziennym, podczas gdy wehikuł ten wcale nie wydziela jarzenia pochłaniania, ale za to jego struktura niemal rozwiana jest już w szarą mgłę, pokazany został na zdjęciu **Z\_1\_B2**. Zdjęcie to uchwyciło UFO typu K7, czyli wehikuł bardzo podobny do tego pokazanego na rysunku R\_1\_B1.2. Fakt, że jest to UFO typu K7, tyle że niemal całkowicie już zamienione w mgłę i stąd bardzo niewyraźnie widoczne, odnotować można z liczby pędników bocznych jarzących się po widocznej stronie kołnierza bocznego (UFO typu K7 posiada w sumie 24 pędników bocznych - patrz podrozdział B4), a także z rzeźby boków kabiny załogi jaka posiada zarys typowy dla UFO typu K7. Zdjęcie to zaczerpnięte zostało z Internetu, gdzie w październiku 2000 roku wystawione ono było pod adresem <<http://www.geocities.com/Area51/Vault/8411/ufo.html>>. Powiększenie samego wehikułu UFO ujętego na zdjęciu Z\_1\_B2 pokazane zostało na powiększeniu P\_1\_B2.

Na stronie internetowej o adresie

<<http://www.geocities.com/Area51/Vault/8411/ufo.html>> podana była historia wykonania zdjęcia Z\_1\_B2. Dla naukowej rzetelności przytoczymy tutaj niektóre dane zaczerpnięte z tej historii, rekomendując jednocześnie aby

czytelnicy znający angielski zapoznali się z pełnym brzmieniem tej historii w jej źródłowym ujęciu (jest ona bowiem bardzo pouczająca i ogromnie zgodna z tym co napisano w traktatach [7/2] i [3b]). Zdjęcie to wykonane zostało przez anonimowego fotografującego, jaki na powyższej stronie nazywany jest "Photographer X". Kiedyś jechał on swoją ciężarówką do miasta, gdy na środku drogi zobaczył leżącego mężczyznę (jakiego nazywa "Witness R") który sparaliżowany był ze strachu. Gdy przeniósł tego mężczyznę na pobocze drogi, ten zeszytywniał ze strachu i wskazał na pole zboża rosnącego przy drodze. Na polu tym coś jarzyło się zielonkawym światłem. "Photographer X" przygotował do



Fot. Z-1-B2: Telekinetyczne UFO K7 z boku dniem. (Z: <http://www.geocities.com/Area51/Vault/8411/ufo.html> .)



Fot. P-1-B2: Powiększenie UFO z Z-1-B2.

pstryknięcia swój aparat fotograficzny zwisający mu z karku i zaczął się podkładać do zielonego światła. Raptownie "bang soniczny" wstrząsnął powietrzem, zaś silne uderzenie wiatru przelało się przez pole. Jednocześnie dysko-kształtny, szary wehikuł zawisnął na niebie. Kiedy "Witness R" osłaniając oczy wskazał palcem ten wehikuł, "Photographer X" szybko wznosił swój aparat i pstryknął fotografię która pokazana została tutaj jako zdjęcie Z\_1\_B2. W moment później wehikuł zniknął strzelając z ogromną szybkością ku wschodowi. Po wykonaniu tego zdjęcia UFO, "Photographer X" starał się je upowszechnić. Jednak upowszechnianie to zostało wstrzymane przez najróżniejsze niezwykle przeszkody. Jednocześnie sam fotografujący poddany został całemu szeregowi odmiennych form opresji i prześladowań o jakich już wiadomo że okupujący Ziemię UFO-nauci wywierają je na osoby reprezentujące tzw. "ruch oporu" przeciwko kosmicznemu pasożytowi (część z tych form opresji i prześladowań opisana jest w traktatach [7/2] i [3b]). Przykładowo jego listy były przechwytywane, konta bankowe unieważniane, dane historyczne zmieniane, zaś on sam był nachodzony, straszony, i prześladowany przez tzw. "man i black". Kontakt z "Photographer X" można uzyskać za pośrednictwem jego adresu internetowego, mianowicie <PhotographerX@bigfoot.com>.

Oto historia zdjęcia Z\_1\_B2 powtórzona w języku angielskim za stroną internetową <<http://www.geocities.com/Area51/Vault/8411/ufo.html>> na której została ona oryginalnie opublikowana, cytuję:

"Photographer X in his own words: As I sit here in the dark, writing this in the light of a lantern, shades drawn, and door triple latched, I find it difficult to believe that my life has not always been like this. Once I lived an almost normal life, with a house, a social security card and similar trivialities. Electricity! Ahh, what a luxury! I have been without it ever since the electric company disconnected me because I ran the alien meter "man" off when when I caught him trying to plant a bug on my house. I used to have money, security, and a scheduled life. Now, nothing is certain but a nomadic future and probable quick end. My bag is constantly kept packed, and the truck is always ready. Such is the cost of living in defiance to the alien power structure. My one hope is that by allowing this testimony to be published on the internet I can alert others to the grave danger to our planet, and together, we can reclaim Earth for our own.

It was early spring, and I was driving my truck to town in a rainstorm when I saw a man lying in the middle of the road. Slamming on the brakes, I jumped out of the truck and ran over to him. Checking him quickly for injuries, I realized that he had none, but was instead in shock. Delirious with fear, he clutched my sleeve and pleaded "Save me!". Then, obviously crazed with stress, he began talking nonsensically about vegetables. Fearful he would be hit by oncoming traffic, I effortlessly picked him up and moved him to the side of the road. Suddenly, I saw him stiffen with horror and point to the wheat field beside the road. Scanning it intently, I saw an eerie green glow among the stalks. I checked the camera hanging about my neck, and moved closer to investigate. Immediately the man, who I will refer to as Witness R, jumped up and ran into the field. Suddenly, a sonic boom split the air, and a hard wind blasted across the field, and I saw something moving in the sky! As the wind ceased, a sinister silence covered the field, and I plainly saw a disk-shaped gray craft hovering in the sky. As Witness R shielded his eyes and pointed at the craft, I quickly raised my camera and snapped the photo. An instant later it disappeared with incredible speed to the west.

Then I noticed that the green glow had not disappeared, but was instead coming from a point ten yards ahead of us. Quickly, I ran up to it, and held up a bizarre glowing rutabaga for Witness R to see. Since he claimed it as his own, I shrugged my shoulders and gave it to him- gladly, because I suspected it was highly radioactive. Disregarding my warnings about the glowing vegetable, he wanted me to photograph it, but, unfortunately, my camera was already out of film. We talked and agreed to meet the next night at my house. In a high state of excitement, I drove home and ran into my basement darkroom.

I developed the roll of film, and began to print photos from the negative. Working all night, I made fifty large prints. I enclosed each one in an envelope with a summary of the

events of the sighting, and addressed the envelopes to every major news network and newspaper in America. By now it was the afternoon of the next day. Jumping in my truck, I drove to the grim Post Office. I gave the envelopes to the employee for weighing and stamping, and I noticed that he peered oddly at all the addresses. After stamping them, he assured me they would be immediately sent. He then put a "line closed" sign on the window, and, strangely, instead of putting them in the pile with the other mail, he carried them to the manager's office! Watching suspiciously, I could hear the manager raise his voice in anger. Suddenly, the door opened and the employee returned to the window, without my letters and he avoided my eyes. My mind in turmoil, I drove home. It was getting dark.

Once in my basement darkroom, I was beginning to prepare to make more prints when the doorbell rang. Nervously, I peered out the grimy window set high in the wall, and I could see a large black Cadillac with jet black windows and French plates in the driveway. The bell rang again. Thinking quickly, I inserted the photo negative in my wallet for safekeeping. Slipping my Smith & Wesson in its ankle holster, I went up to meet my "guests." Opening the door, I was confronted by three men, all wearing black suits, hats and sunglasses. One flashed some sort of badge and politely stated "We heard you witnessed some sort of unusual meteoric activity, and we would like to get your account." Suspiciously, I let them in. They sat on the sofa like three rocks. Eyes narrowed, I began to tell them my story. Halfway through, one of the men interrupted me with a sneer and said, "Did you realize how often that the planet Venus is mistaken for a UFO?" Another one of the men added "What you saw was a meteor, no more." I said nothing. Then, the man in the middle said "Show us this photograph, and we shall see for ourselves." I told them I no longer had any copies of the photo. One of the men smiled, and pulled out an envelope, one of those I had mailed out, or tried to mail out, earlier in the day. "Did the meteor look anything like this?" he asked gloatingly, pulling out the photograph. "You can see the meteor quite distinctly," he said. He crushed the photo in his hand, and put it in his pocket. "Now where is the negative? You must have a negative," he said. I refused to speak. "Very well, I can tell you need persuasion," he chuckled. He reached into his coat and pulled out a syringe, full of pale yellow liquid. His two companions started to rise. Terrified, I pulled my handgun from the ankle holster and opened fire! The bullets struck two, but, horribly, they only staggered back, seemingly unharmed, and reached into their coats! Firing off the rest of the cylinder in their direction, I fled the house, jumped into my truck, and drove into the dark night. Accelerating quickly, I heard sirens in the distance. I turned down Witness R's street, but was horrified to see his house in flames! Gunning the engine, I drove away quickly. The next morning, after a sleepless night of driving, I stopped at a bank to withdraw my money. I was shocked to discover that the bank had no record of my account. None of my credit cards worked, my social security number was registered to man who died in 1973, and my birth certificate and other records of my existence disappeared that night. I started to run that night, and I have been running ever since. I have made more prints from the negative. They are the only evidence I have that my story is true. -Photographer X; email PhotographerX@bigfoot.com".

Dalsze informacje na temat wyglądu magnokraftów i UFO drugiej generacji latających w konwencji telekinetycznej zawarte zostały w podrozdziałach L1, S6, i T2 monografii [1/4] oraz w rozdziale N monografii [1/5]. Natomiast więcej zdjęć UFO które lecą w konwencji telekinetycznej pokazano na rysunkach S8, i T1 monografii [1/4], oraz na rysunku D2 traktatu [4b].

Dysponenci UFO którzy aktualnie działają na Ziemi i pokazują się ludziom, wykorzystują w swoich lotach ponad Ziemią głównie właśnie owe wzrokowo nieodnotowywalne wehikuły UFO drugiej generacji. Z powodu zdolności tych wehikułów do lotów w niewidocznym dla ludzkich oczu stanie telekinetycznego migotania, nieustanna obecność tych pasożytów kosmicznych na Ziemi nie była dotychczas odnotowywana. Dopiero zupełnie niedawno udało nam się dowiedzieć o istnieniu stanu telekinetycznego migotania, oraz nauczyć odróżniania niewidzialnych dla oczu wehikułów UFO jakie urywają



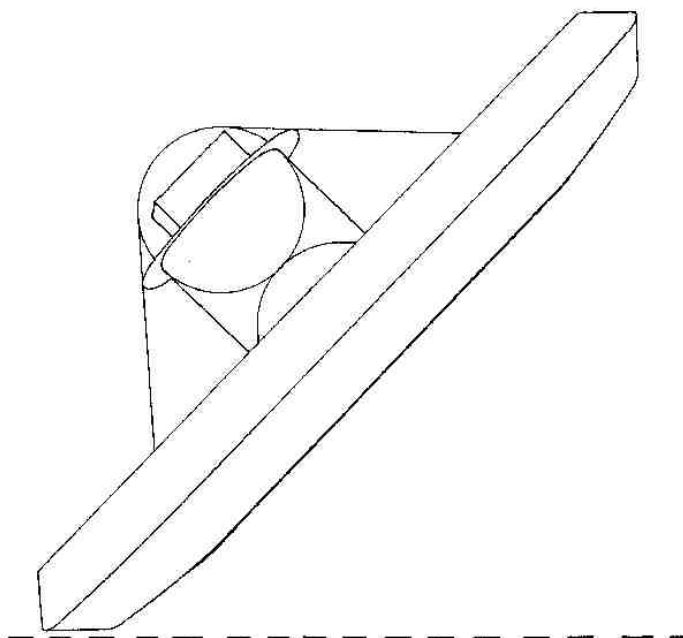
się przed ludźmi poza zasłoną z tego stanu. Okazało się przy tym, że aby dokonywać działań jakich ślady widzimy wśród ludzi, na naszej planecie musiałyby stacjonować ogromne siły kosmiczne. Przykładowo jeden niewidzialny dla oczu wehikuł UFO musiałyby przypadać na każdych 400 mieszkańców Ziemi - patrz obliczenia liczebności UFOonautów przytoczone z podrozdziału U3.1.1 monografii [1/4].

Nic dziwnego, że jak się okazuje, niewidzialne wehikuły UFO ukryte przed nami w stanie telekinetycznego migotania uchwytujemy bez przerwy na naszych fotografiach, tyle tylko że dotychczas nie wiedzieliśmy co fotografie te przedstawiają. Fotografie te utrwalają bowiem jakby zarysy czy smugi wykonane z lekkiej, białej mgły - która to mgła jest faktycznie słabym jarzeniem pochłaniania. Oczywiście, w przypadku ich uchwycenia na swoich zdjęciach, owe zarysy i smugi zwykle wyjaśniamy sobie racjonalnie stwierdzając że nasze zdjęcie "zabrudzone zostało jakoś światłem", poczym szybko wyrzucamy to zdjęcie do kosza jako zupełnie bezwartościowe. Tymczasem "zabrudzone światłem" zdjęcia to cenne dowody obecności kosmicznych UFOonautów na Ziemi, ponieważ utrwalają one niewidzialne dla ludzkich oczu wehikuły UFO.

Jeden z licznych przykładów takiego właśnie niewidzialnego dla ludzkich oczu wehikułu UFO drugiej generacji, utrwalonego w świetle dziennym, pokazany został na zdjęciu **Z\_2\_B2**. Zdjęcie **Z\_2\_B2** pokazuje telekinetyczne UFO typu K3, bardzo podobne do wehikułu zilustrowanego na rysunku **R\_1\_B1.1**. UFO to na zdjęciu **Z\_2\_B2** uchwycone zostało dokładnie z boku, jak zawisa w powietrzu pod kątem 45 do poziomu, dotykając ziemi obwodem swego kołnierza bocznego. Oczywiście sama powłoka tego UFO nie została ujęta na zdjęciu. Zdjęcie pokazuje więc jedynie słabe jarzenie pochłaniania jakie ściśle przylegało do tej powłoki i jakie uformowało widoczne na tej fotografii "zabrudzenie smugami światła". Istotnym dowodem potwierdzającym że zdjęcie to faktycznie pokazuje niewidzialny wehikuł UFO, jest widoczność fragmentu wylotu ośmiobocznej komory oscylacyjnej pędnika głównego tego UFO. Wylot ten można odnotować w formie pozornego obrazu fragmentu ośmiobocznej komory oscylacyjnej, jaki przyjmuje postać szarego pięcioboku widocznego na tle zboża tuż przy prawym marginesie



**Fot. Z-2-B2: Telekinetyczne UFO K3 z boku dniem.** Ponieważ UFO to znajduje się w tzw. "stanie telekinetycznego migotania" jest ono przezroczyste, zaś na zdjęciu utrwalone zostało jedynie białe tzw. „jarzenie pochłaniania” wydzielane przez powłokę tego UFO. (Źródło: udostępnione bezpośrednio przez wykonawcę.)



**Rys. R-2-B2. Lądujący pod kątem 45 stopni magnokraft typu K3 widziany z boku.** Magnokraft ten ilustruje co dokładnie zostało uchwycone na zdjęciu **Z\_2\_B2**. (Źródło: totalizyczna strona "explain\_pl.htm".)

Wylot ten można odnotować w formie pozornego obrazu fragmentu ośmiobocznej komory oscylacyjnej, jaki przyjmuje postać szarego pięcioboku widocznego na tle zboża tuż przy prawym marginesie

zdjęcia, w odległości jakieś 1/4 wysokości od górnej krawędzi zdjęcia. Jak powstaje ów pozorny obraz wylotu komory oscylacyjnej UFO oraz co on sobą przedstawia, wyjaśniono to relatywnie dokładnie w podrozdziale D2 traktatu [4b] i pokazano tam na rysunku D2, a także wyjaśniono w podrozdziale S6 monografii [1/4] i pokazano tam na rysunku S8.

Wyjaśnienie jak właściwie wygląda wehikuł ze zdjęcia Z\_2\_B2 zilustrowano na rysunku R\_2\_B2 (zauważ, że przebieg powierzchni ziemi na rysunku R\_2\_B2 pokazano za pomocą linii przerywanej). Wehikuł ten jest typu K3, oraz zawisa on w powietrzu pod kątem, tak że jego kołnierz boczny w jednym miejscu dotyka ziemi. Fotografujący był ustawiony dokładnie na przedłużeniu płaszczyzny jego podłogi. Osoba utrwalona na tym zdjęciu posiada głowę dokładnie po przeciwnej stronie pędnika głównego tego UFO, natomiast jej lewe przedramię przebiega dokładnie poza zaostrzoną krawędzią kołnierza bocznego tego UFO.

Historia zdjęcia pokazanego na Z\_2\_B2 jest dokładnie znana piszącemu ten traktat, i z tego powodu może on ją tutaj przytoczyć. Niestety, dotychczasowe badania opisane w podrozdziale VB4.1.3 monografii [1/4] ujawniają, że jeśli w opisie tym podane zostanie wystarczająco dużo szczegółów aby UFO-nauci zdołali odkryć kto, kiedy, i gdzie dokładnie, wykonał to zdjęcie, wówczas dla zatarcia dowodów swojej okupacji Ziemi UFO-nauci ci cofną czas do tyłu, polecą na miejsce gdzie zdjęcie to zostało wykonane, poczym uniemożliwią jego wykonanie. Stąd publikując w tym rozdziale historię tego zdjęcia piszący musi zadbać aby nie przytoczyć żadnych danych jakie pozwoliłyby UFO-nautom na cofnięcie czasu do tyłu i następną uniemożliwienie wykonania tego zdjęcia, tak że w nowym przebiegu czasu zdjęcie to nie byłoby nam już dostępne. Oczywiście okupujący Ziemię UFO-nauci zawsze mogą zahipnotyzować piszącego ten traktat i spróbować od niego wydobyć dokładne dane na temat zdjęcia Z\_2\_B2. Jednak aby to uniemożliwić, piszący celowo nie stara się pamiętać danych o tym zdjęciu, zaś w czasach kiedy traktat ten zostanie opublikowany samo zdjęcie oraz jego opis przechowywał będzie w sposób utrudniający jego odnalezienie po zahipnotyzowaniu, t.j. spakowane wśród dziesiątków kopert z inną korespondencją i zdeponowane w lokalizacji jaka leży daleko od jego normalnego miejsca zamieszkania.

Oto więc ta historia pozbawiona szczegółów identyfikacyjnych (szczegóły te znane są jednak piszącemu ten traktat, stąd piszący gwarantuje że zdjęcie to jest jak najbardziej autentyczne, zaś opisana tutaj jego historia poprawną). Małżeństwo z Polski (do którego, ze względów omówionych we wstępie tego traktatu, będziemy referowali jedynie z użyciem pseudonimu, powiedzmy "Fafikowie") oglądało sobie jeden z licznych tzw. "kręgów zbożowych", czyli lądowisk w zbożu wykonanych przez niewidzialne UFO, jakie w sezonie dojrzewania zbóż 2000 roku pojawiły się w kilku różnych miejscach Polski. Podczas oglądania jednego z takich lądowisk UFO, małżeństwo to postanowiło wykonać sobie zdjęcie. Mąż przykucnął więc na ziemi w obrębie lądowiska UFO, tak aby na zdjęciu uchwycić ową niepowtarzalną strukturę wyłożonego zboża, natomiast żona wykonała fotografię. O czym para ta nie wiedziała, to że na lądowisku owym ciągle znajdował się niewidoczny dla ich oczu wehikuł UFO drugiej generacji, typu K3. Ponieważ wehikuł ten znajdował się w stanie migotania telekinetycznego, jego załoga nie obawiała się że zostanie odnotowana. Jednakże pechowo dla UFO-nauców, w momencie kiedy naciśnięty został spust migawki, napęd ich wehikułu właśnie dokonał kolejnego "mignięcia" telekinetycznego, na ułamek sekundy ujawniając swój zarys poprzez wytworzenie białawego jarzenia pochłaniania. Chociaż więc wykonawcy zdjęcia wzrokowo nie odnotowali tego niezwykle krótkiego i słabego zajarzenia się powietrza, jarzenie to uchwycone zostało na zdjęciu. Jak jego fotografia ujawniła, wytwarzający je wehikuł UFO typu K3 znajdował się dokładnie pomiędzy aparatem i fotografowaną osobą, zwrócony swym bokiem do ich obu, tak że głowa tej osoby widoczna jest po przeciwnej stronie pędnika głównego UFO, zaś jej lewa ręka pokrywa się z przebiegiem zaostrej krawędzi kołnierza bocznego UFO. Po wykonaniu zdjęcia, jego posiadacze udostępnili je piszącemu ten traktat do zinterpretowania. Niniejsze opisy są więc rezultatem tego udostępnienia.



Odmienny wygląd przyjmują wehikuly UFO drugiej generacji sfotografowane w nocy podczas lotów w tej samej konwencji telekinetycznej. Wszakże jeśli wykonują one jakąś pracę telekinetyczną, wówczas wydzielane przez nie jarzenie pochłaniania jest bardzo rzucające się w oczy. Przyjmuje ono bowiem postać cienkiej warstewki bardzo białego światła, podobnego do światła księżycowego, jaka ciasno przylega do powłoki tych wehikulów. Warto przy tym odnotować, że księżycowo-białe jarzenie pochłaniania wyraźnie różni się od barwnych efektów świetlnych, jakie wyzwalane są przez UFO pierwszej generacji, i jakie prezentowane już były w podrozdziałach B1.1 i B1.3.

Przykład nocnego wyglądu pojedynczego dyskoidalnego UFO sfotografowanego podczas telekinetycznego lotu który powodował wydzielanie silnego jarzenia pochłaniania pokazano na zdjęciu **Z\_3\_B2**. Zdjęcie to ujmuje pojedyncze UFO typu K6 uchwycone w pozycji stojącej w widoku od dołu (ale ujęte z ukosa). Ponieważ UFO to najprawdopodobniej w chwili sfotografowania dokonywało wznoszenia, jego powłoka otoczona jest silnym białym światłem jarzenia pochłaniania. Z powodu inercji jarzenia pochłaniania, utrwalone ono zostało na owym zdjęciu, chociaż sama powłoka wehikulu, który wywołał to jarzenie, faktycznie w chwili wykonywania fotografii była już niematerialna i stąd nie jest widoczna na zdjęciu. Ciekawostką omawianego zdjęcia jest, że być może utrwaliło ono także jednego z UFOautów (patrz kształt sylwetki na dachu, jaki szczególnie dobrze widoczny jest na jego powiększeniu **P\_3\_B2**). Zdjęcie to także zaczerpnięte zostało z Internetu, gdzie w październiku 2000 roku wystawione ono było pod adresem <<http://www.artbell.com/ufos4.html>>. Niestety, również i w jego przypadku, do tej pory autorom tego traktatu nie udało się znaleźć żadnych innych danych na jego temat. Powiększenie samego wehikulu UFO ujętego na zdjęciu **Z\_3\_B2** pokazane zostało na powiększeniu **P\_3\_B2**.

Fakt że okupujący Ziemię UFOanci dysponują urządzeniami napędowymi jakie czynią ich niewidzialnymi poprzez zjawisko telekinetycznego migotania, w połączeniu z ogromną liczbą kosmitów obecnych na Ziemi (jeden kosmita na każdym około 100 ludzi), posiada dla nas jedno ogromnie ważne następstwo. Następstwem tym jest, że dosłownie niemal na każdym zdjęciu jakie ktoś pstryknie, uchwycony może być fragment niewidzialnego wehikulu UFO lub niewidzialnego UFOauty. Faktycznie też, jeśli ktoś wie na co zwracać uwagę, okazuje się że na naszych fotografiach uchwytywane zostają niezliczone przypadki takich niewidzialnych UFO lub



**Fot. Z-3-B2: Telekinetyczne UFO typu K6 fotografowane od dołu nocą.** (Źródło: <http://www.artbell.com/ufos4.html> .)



**Fot. P-3-B2: Powiększenie telekinetycznego UFO K6 oddolnie nocą.** (Z: <http://www.artbell.com/ufos4.html> .)

niewidzialnych UFOonautów. Oczywiście ogromna większość owych niewidzialnych UFO lub UFOonautów jest ignorowana. Wszakże zwykle ich obrazy są bardzo niewyraźne, mają biały kolor jarzenia pochłaniania (co sprzyja uznawaniu owych niewidzialnych UFO lub UFOonautów za "zabrudzenia światłem"), oraz w większości przypadków są niekompletne - pokazują bowiem jedynie niewielki fragment wehikułu lub UFOauty (np. jedynie rodzaj białego pięcioboku jaki reprezentuje wylot z komory oscylacyjnej niewidzialnego UFO - patrz podrozdział D2 w traktacie [4b] oraz podrozdział S6 w monografii [1/4]). Nawet zaś kiedy widać dosyć wyraźnie na zdjęciu białą figurę ludzką, z powodu niezwykłego ubioru UFOonautów oraz ich nieodnotowalności wzrokowej, zwykle brani są oni za duchy, a nie za UFOonautów. Jedynie w bardzo nielicznych przypadkach przypadkowo uchwycony na zdjęciu niewidzialny wehikuł UFO lub UFOauta posiada na tyle konkretny kształt i wygląd, że uznany zostaje za zdjęcie tego czym faktycznie jest - t.j. niewidzialnego UFOauty lub wehikułu UFO.

Przykład czarno-białej fotografii na jakiej został właśnie uchwycony taki niewidzialny dla ludzkich oczu UFOauta (zdradzony jedynie przez wydzielające się z niego światło pochłaniania) jakiego kosmiczne pochodzenie jednoznacznie zdradza ubierany przez niego kosmiczny kombinezon, pokazany został na zdjęciu **Z\_4\_B2**. Zdjęcie Z\_4\_B2 oryginalnie opublikowane zostało na stronie 51 książki **[1B2]** pióra Jenny Randles, "Alien Contact - The First Fifty Years", Collins Brown (London House, Great Eastern Wharf, Rarkgate Road, London SW11 4NQ), 1997, ISBN 1-85585-454-6, 144 pages, pb. Zdjęcie to przedstawia dziewczynkę, Elizabeth Templon. Nad jej głową widoczna jest połowa figurki niewidzialnego UFOauty w hełmie kosmicznym unoszącego się w powietrzu. Zdjęcie to wykonane zostało w niedzielę, 24 maja 1964 roku, przez ojca Elizabeth, strażaka, jakieś 5 mil od ich domu w Carsle, USA, na brzegu rzeki Solway Firth. Fotografujący raportował, że w chwili wykonywania tego zdjęcia panowała dziwna "naelektryzowana" atmosfera, a także miejscowe krowy zachowywały się bardzo dziwnie, chociaż oprócz rodziny dziewczynki, nie było tam wówczas nikogo.



Fot. Z-4-B2: Jarzący się telekinetyczny UFOauta. (Z: [1B2].)

### B3. Pojedyncze dyskoidalne UFO trzeciej generacji (wehikuły czasu)

Już wehikuły telekinetyczne opisane w poprzednim podrozdziale pomalą przestają mieścić się w naszym rozumieniu rzeczywistości. Jakże bowiem zrozumieć wehikuł, który może przemieszczać się z nieskończenie dużą prędkością, tak że ląduje on na odległych systemach gwiazdnych niemal natychmiast po tym jak wystartował z powierzchni Ziemi, a także który może zawisać niemal nieruchomo tuż nad powierzchnią stołu w naszym mieszkaniu, jaki może stawać się na życzenie niewidzialny dla oczu lub zamieniać się na naszych oczach z formy solidnego obiektu w rodzaj przeźroczystej mgły, oraz przez jakiego materię jesteśmy w stanie zwyczajnie sobie przemaszerować zupełnie nie odnotowując jej istnienia w danym miejscu. Jeśli jednak możliwości wehikułów telekinetycznych wzbudzały nasze oszołomienie, to wehikuły czasu zupełnie nas już zamurują.

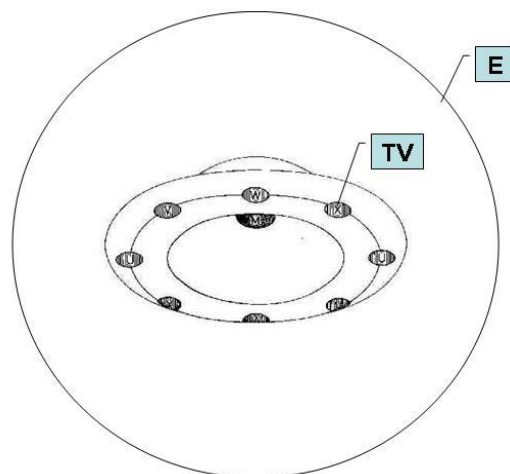
"UFO trzeciej generacji" zwane tutaj także "wehikułami czasu", są to najbardziej zaawansowane statki magnokrafto-podobne, jakie posiadają zdolność do podróżowania w czasie. Teoria napędu i zasady działania tych niezwykłych statków opisana została

skrótowo w podrozdziałach M1 i H12 monografii [1/4]. Natomiast pełny ich opis, wraz z materiałem ilustracyjnym, zawiera rozdział N i rysunek N1 z tomu 11 monografii [1/5].

Wehikuły czasu (t.j. UFO trzeciej generacji) w sensie wyglądu zewnętrznego (np. po wylądowaniu), wymiarów, oraz ogólnej budowy, są niemal nieodróżnialne od wehikułów czysto magnetycznych (t.j. od UFO pierwszej generacji), jak i niemal nieodróżnialne od wehikułów telekinetycznych (t.j. od UFO drugiej generacji). Wszelkie różnice pomiędzy tymi trzema odmiennymi generacjami wehikułów UFO stają się oczywiste dopiero kiedy ktoś obserwuje je w locie. Podczas bowiem lotu każda z tych generacji indukuje odmienne zjawiska, które nadają jej wygląd odróżniający ją od pozostałych dwóch generacji.

Najważniejszą cechą pozwalającą odróżnić UFO trzeciej generacji (t.j. "wehikuł czasu") dokonujące właśnie lotu w konwencji podróży w czasie, od UFO drugiej i pierwszej generacji, zilustrowana została na rysunku **R\_1\_B3**. Jak czytelnik może to tam odnotować, cechą tą jest uformowanie wokół UFO trzeciej generacji dokładnie okrągłej kuli z kolorowo jarzacej się przestrzeni, jaka pobudzana jest do jarzenia przez energię wibracji magnetycznych emitowaną z pędników tego wehikułu. (Owa energia wibracji magnetycznych zachowuje się bowiem jak energia cieplna – na poziomie atomowym ciepło zresztą też jest wibracją). Aby zrozumieć skąd owa jarząca się kula przestrzeni się bierze, należy zapoznać się z opisami zasady działania wehikułów czasu zaprezentowanej w podrozdziale N3.2 z tomu 11 monografii [1/4], a także powtórzonymi na totalizacyjnej stronie internetowej o nazwie "immortality\_pl.htm".

UFO trzeciej generacji, podobnie jak UFO pierwszej generacji i UFO drugiej generacji, uszeregowane one zostały w osiem głównych typów, oznaczanych symbolami K3, K4, K5, ..., K10. Praktycznie gdyby postawić na ziemi obok siebie trzy wehikuły UFO tej samej wielkości (a ściślej tego samego typu, np. K4), z których jeden byłby wehikułem czasu, drugi wehikułem telekinetycznym, trzeci zaś zwykłym wehikułem magnetycznym, typowy zjadacz chleba nie byłby w stanie odróżnić ich od siebie. Miałyby one bowiem dokładnie takie same wymiary, dokładnie taki sam kształt, i dokładnie taką samą konstrukcję. Jedyne różnice pomiędzy nimi sprowadzałyby się bowiem do drobnych szczegółów konstrukcyjnych jakie zwykle nie są rzucające się w oczy dla zewnętrznego obserwatora lub dla fotografującego. Szczegóły te to m.in.: (1) kształty komór oscylacyjnych w ich pędnikach (w dyskoidalnych UFO pierwszej generacji komory te mają kształt kostek sześciennych, w dyskoidalnych UFO drugiej generacji mają one kształt kolumn ośmiobocznych, zaś w dyskoidalnych UFO trzeciej generacji mają one kształt kolumn szesnastobocznych), (2) rodzaj i kolor materiału użytego na ich powłokę (UFO pierwszej generacji używają na powłokę szklistego i metalicznego w dotyku materiału bazującego na tzw. "elektrodynamycznym modelu magnetorefleksyjności", UFO drugiej generacji używają szarego i "tłustego" w dotyku materiału bazującego na tzw. "telekinetycznym modelu magnetorefleksyjności" - patrz opisy tych modeli w podrozdziałach F2.2.1 i F2.2.2 monografii [1/4], zaś UFO trzeciej generacji używa materiału jaki przy dotyku sprawia

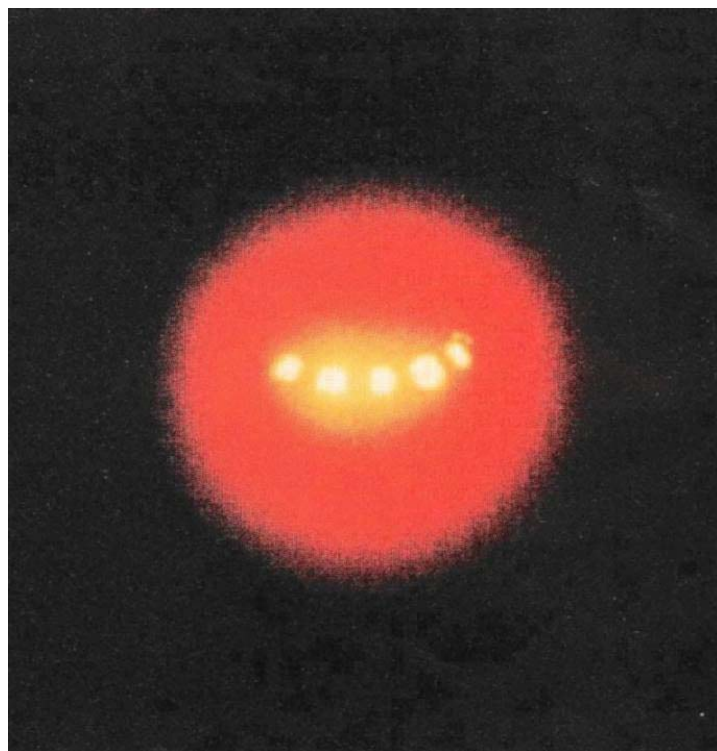


**Rys. R-1-B3. Ogólny wygląd wehikułu czasu (t.j. UFO i magnokraftu 3-ciej generacji) oglądanego w chwili kiedy dokonuje on przeskoku do innego punktu czasowego. W chwili takiego przeskoku czasowego wehikuł czasu (powyżej oznaczony symbolem TV od angielskiego "Time Vehicle") otoczony jest kulą przestrzeni zajarzonej kolorowo energią wibracji magnetycznych - powyżej oznaczonej symbolem E. (Źródło: rysunek N1(a) z tomu 11 monografii [1/5].)**



wrażenie niezwykle cienkiego), oraz oczywiście (3) komputery sterujące lotami tych wehikułów i ich oprogramowanie. Aby dodatkowo pogłębić te podobieństwa, UFO trzeciej generacji, oprócz przemieszczania się w czasie (t.j. latania w konwencji wehikułów czasu), są w stanie wykonywać też loty telekinetyczne (czyli latania w konwencji telekinetycznej), oraz loty czysto magnetyczne - identyczne do lotów UFO pierwszej generacji. Podczas latania w konwencji telekinetycznej, wehikule czasu formują wszystkie zjawiska już opisane w poprzednim podrozdziale B2. Natomiast podczas latania w konwencji czysto magnetycznej, UFO trzeciej generacji również są w stanie włączać wszystkie trzy tryby pracy omówione w podrozdziale B1, a więc tryb bijący, tryb soczewki magnetycznej, i tryb wiru magnetycznego, w każdym z tych trzech trybów indukując dokładnie te same zjawiska jakie indukowane były przez UFO pierwszej generacji. Stąd niemal wszystko to co w poprzednich podrozdziałach opisane zostało dla UFO telekinetycznych i magnetycznych, ważne jest również dla wehikułów czasu latających w telekinetycznej lub magnetycznej konwencji lotu. Jednak na dodatek do lotów telekinetycznych i czysto magnetycznych, UFO trzeciej generacji mają ową niezwykle zdolność latania w "konwencji czasu", czyli do realizowania "przemieszczeń do innego czasu". Niniejszy podrozdział skupi się więc wyłącznie na tej ich zdolności, omawiając tylko przemieszczanie się w czasie przez UFO trzeciej generacji.

Następstwa realizowania przez UFO trzeciej generacji przemieszczeń w czasie, drastycznie różnią się od następstw przemieszczeń telekinetycznych realizowanych przez UFO drugiej generacji, oraz przemieszczeń fizycznych realizowanych przez UFO pierwszej generacji. Z pośród całej gamy zasadniczych różnic istniejących pomiędzy tymi trzema odmiennymi zasadami poruszania się, dwa zjawiska posiadają zasadniczy wpływ na wygląd wehikułów czasu uchwyconych na fotografiach. Zjawiska te to: (1) "czasowe wzbudzenie przestrzeni", oraz (2) "czasowe przesunięcie fali świetlnej". "Czasowe wzbudzenie przestrzeni" to po prostu obszar przestrzeni wokół wehikułu czasu w jakim to obszarze zachodzą zjawiska czasowe. Ponieważ taka wzbudzona



Fot. Z-1-B3: Wehikuł czasu typu K4 z boku w nocy. (Z: <http://www.anomalous-images.com/images/ufos4.html> .)

przeźren emituje silne światło, czasami zostaje ona uchwycona na zdjęciach. Przestrzeń ta ma zawsze kształt idealnie okrągłej kuli, w centrum której zawisa wehikuł czasu. Zasadniczo się więc ona różni od odzwierciedlającego kształt UFO wiru plazmowego formowanego przez UFO pierwszej generacji, oraz od podobnie ukształtowanego jarzenia pochłaniania wydzielanego przez wehikule telekinetyczne. Jednak z powodu jej wyglądu wiele osób bierze kulistą przestrzeń wzbudzoną przez wehikule czasu za "pioruny kuliste". Przestrzeń tą można zobaczyć na zdjęciu Z\_1\_B3 obok, a także na zdjęciach Z\_1\_C9 (gdzie wehikuł UFO jest jeszcze lepiej widoczny) oraz Z\_2\_C9 z podrozdziału C9. Średnica przestrzeni wzbudzonej czasowo zwykle wynosi około dwóch średnic zawartego w jej środku wehikułu czasu jaki wywołuje owo wzbudzenie.

"Czasowe przesunięcie fali świetlnej" jest czasowym odpowiednikiem dla tzw. "Efektu Dopplera" (efekt ten nazwany został nazwiskiem swego odkrywcy z 1842 roku, austriackiego fizyka Christiana J. Dopplera żyjącego w latach 1803 do 1853). Jednak w

przypadku wehikułu czasu, przesunięcie to jest powodowane zmianami w szybkości upływu czasu, a nie szybkim ruchem obiektu wydzielającego światło w odniesieniu do obserwatora. Podobnie też jak w przypadku Efektu Dopplera obiekty oddalające się od nas powodują przesunięcie światła w kierunku czerwieni (co jest powodem dla którego uciekające od nas galaktyki świecą na czerwono), również w przypadku manipulacji czasem, fakt spowolnienia upływu czasu powoduje przesunięcie koloru świecenia w kierunku czerwieni. Z kolei podobnie jak w Efekte Dopplera obiekty jakie lecą w naszym kierunku powodują przesuwanie koloru światła w kierunku fioletu, również w przypadku manipulowania upływem czasu, spowodowanie przyspieszenia czasu wywołuje przesunięcie świecenia w kierunku kolorów fioletu. Z tego też powodu, okrągłutka kula czasowo wzbudzonej przestrzeni w której wehikuły czasu właśnie powodowały spowalnianie czasu świeciła będzie czerwonym światłem (patrz zdjęcie Z\_1\_B3). Z kolei podobna okrągłutka kula, w której wehikuł czasu powoduje przyspieszenie czasu (np. w celu przeniesienia się do przyszłości), świeciła będzie kolorem niebieskim.

Oczywiście zdolność do zmieniania naturalnego upływu czasu nadaje wehikułom UFO trzeciej generacji całego szeregu unikalnych własności, z których większość opisana już została zgrubie w podrozdziałach M1 i H9.1 monografii [1/4], zaś dokładnie w rozdziale N monografii [1/5]. Aby wskazać i nazwać tutaj choćby niektóre z tych własności, to należą do nich "podróż w jedną stronę", "efekt zdublowania czasu", "zafalowanie przestrzeni czasowej", itp.

Wehikuły czasu są urządzeniami technicznymi jakie okupujący Ziemię UFOanci efektywnie wykorzystują na swoją korzyść w większości używanych przez nich metod utrzymywania ludzkości w poddaństwie. Praktycznie większa część zabiegów zniewalania ludzi przez UFOautów realizowana jest właśnie za pośrednictwem wehikułów czasu. Z tych powodów należy zwielokrotnić i nasilać nasze wysiłki aby lepiej poznać te ogromnie ważne wehikuły. Wszakże są one najlepszą z broni będących w dyspozycji kosmicznego najeźdźcy ludzkości. Miejmy nadzieję że zainspirowane przez ten podrozdział nauczanie się rozpoznawania i interpretowania zdjęć tych wehikułów zwiększy nasz stopień ich poznania oraz zainicjuje akumulację wiedzy na ich temat.

Przykład nocnego wyglądu pojedynczego dyskoidalnego UFO trzeciej generacji, sfotografowanego w trakcie opóźniania czasu, pokazano na zdjęciu Z\_1\_B3. Zdjęcie to ujmuje pojedyncze UFO typu K4 uchwycone w pozycji stojącej w widoku z boku (ale ujęte lekko jakby od górnej strony). Widoczne są silnie jarzące się wyloty z sześciu pędników bocznych tego wehikułu zwróconych ku fotografującemu (z dwunastu pędników bocznych jakie posiadają dyskoidalne wehikuły UFO typu K4). Kulista przestrzeń wzbudzonej czasowo przestrzeni otacza ten wehikuł, emitując światło o odcieniu czerwieni. Zdjęcie to zaczerpnięte zostało z Internetu, gdzie w październiku 2000 roku wystawione ono było pod adresem <<http://www.anomalous-images.com/images/ufos4.html>>. Niestety, również i w jego przypadku, do tej pory autorom tego traktatu nie udało się znaleźć żadnych innych danych na jego temat. Powiększenie samego wehikułu UFO ujętego na zdjęciu Z\_1\_B3 pokazane zostało na powiększeniu P\_1\_B3.

#### B4. Osiem typów dyskoidalnych UFO

W dotychczasowych prezentacjach przez cały czas używane było pojęcie "typu UFO". Czas więc teraz aby zdefiniować co dokładnie pojęcie to oznacza, oraz aby podać jakie typy UFO operują na naszej planecie. Z uwagi na fakt że posiadamy bardzo dobrze już rozpracowaną Teorię Magnokraftu, a także ponieważ udowodnione zostało że "UFO to magnokrafty" tyle że już zbudowane przez okupującą Ziemię cywilizację kosmiczną" wyjaśnienie czym właściwie są typy UFO jest relatywnie łatwym zadaniem na bazie naszej znajomości magnokraftu. Wyjaśnijmy więc teraz sobie czym jest "typ magnokraftu", a następnie obejmijmy tym wyjaśnieniem również i wehikuły UFO.

Teoria Magnokraftu wyjaśnia, że przez pojęcie "typu" tego statku należy rozumieć "grupę niemal identycznych wehikułów jakie zbudowano dla dokładnie takich samych wartości ich wymiarów, liczby pędników, współczynnika K, parametrów konstrukcyjnych definiujących ich kształt zewnętrzny, oraz różnorodnych wielkości standardowych stanowiących przedmiot umów międzynarodowych lub międzycywilizacyjnych (np. systemu SUB)". Stąd dowolna grupa magnokraftów lub wehikułów magnokrafto-podobnych należących do tego samego typu jest w stanie sprzęgać się ze sobą w homogeniczne konfiguracje latające, niezależnie kto i kiedy wyprodukował te wehikuły, jakie jest ich przeznaczenie, itp. Wszystkie magnokrafty należące do tego samego typu będą również od zewnątrz wyglądały identycznie, a także posiadały będą tą samą liczbę "n" pędników bocznych. Jednak w środku mogą one używać nieco odmiennego napędu i komputera sterującego, być poprzedzielane na odmiennie rodzaje pomieszczeń i kabin, mogą być wykonane z innych materiałów, być wytwarzane przez odmiennie przedsiębiorstwa, kraje, lub cywilizacje, wykonane w odmiennych rocznikach, służyć różniącym się przeznaczeniom, itp.

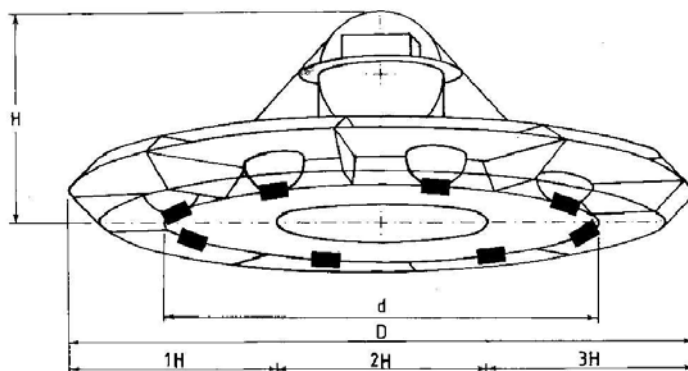
Teoria Magnokraftu informuje także, że istnieje 8 zasadniczych typów magnokraftu (a więc również i 8 typów UFO), jakie oznaczane są symbolami od K3 (K3 jest symbolem najmniejszego z tych typów), poprzez K4, K5, ..., K9, a kończąc na K10 (symbol K10 przyporządkowany jest największemu z magnokraftów i UFO). W symbolach tych "K" oznacza tzw. "współczynnik krotności" czyli stosunek średnicy gabarytowej D danego wehikułu, do jego wysokości gabarytowej H, t.j.:  $K=D/H$ . Dla magnokraftów i UFO typu K3 współczynnik ten przyjmuje wartość  $K=3$ , dla magnokraftów i UFO typu K4 - wartość  $K=4$ , zaś dla magnokraftów i UFO typu K10 - wartość  $K=10$ . Poszczególne typy UFO i magnokraftów uszeregowane są w ciąg binarny, czyli w taki sposób że każdy z typów tych wehikułów posiada dwa razy większą średnicę niż typ go poprzedzający. Przykładowo magnokraft i UFO typu K3 posiada średnicę gabarytową D (czyli największą średnicę swego kołnierza bocznego) wynoszącą  $D = 4.39$  metrów, magnokraft i UFO typu K4 posiada tą średnicę już dwa razy większą, bo równą  $D = 8.78$  metrów, zaś magnokraft i UFO typu K5 posiada tą średnicę ponownie dwa razy większą, bo równą  $D = 17.56$  metrów, itp. Oczywiście nie tylko średnice gabarytowe tych wehikułów uszeregowane są w ciągu binarnym i dają się wyrazić równaniem  $D = 0.5486 \cdot 2^K$  metrów (tj. "D" wyrażone w metrach jest równe "kubitowi kosmicznemu" o wartości 0.5486 metra pomnożonemu przez dwa do potęgi "K"), ale również wszystkie inne parametry konstrukcyjne UFO i magnokraftów podlegają bardzo ścisłym prawom matematyki i fizyki. Przykładowo średnice nominalne "d" na jakich rozmieszczane są pędniki boczne tych wehikułów wypełniają równanie:  $d = D/\sqrt{2} = (0.5486/\sqrt{2}) \cdot 2^K$  metrów, liczba pędników bocznych tych statków wynosi  $n=4(K-1)$ , zaś liczba stałych członków załogi w tych statkach wynosi  $załoga=K$ .

Oczywiście przeglądając całą tą matematykę czytelnik zapewne zaczyna już zadawać sobie pytanie: po co nam wiedza na temat typów UFO i magnokraftów. Odpowiedź na to pytanie jest bardzo prosta: jeśli ktoś zdoła ustalić jaki jest typ danego UFO, wówczas praktycznie wiedział będzie niemal wszystko na temat danego wehikułu, a więc wiedział będzie jakie są jego dokładne wymiary, jakie jest jego precyzyjny kształt, jakie jest jego zagospodarowanie wnętrza, ile ma pędników, ile członków załogi on posiada, itp. Nauczmy się więc rozpoznawać typ UFO, bo od tego rozpoznania zależał będzie dostęp do ogromnej wiedzy na temat każdego zidentyfikowanego wehikułu.

Ponieważ w konstrukcji UFO i magnokraftów wszystko jest zdefiniowane w precyzyjny i matematyczny sposób, istnieje więc możliwość łatwego i szybkiego rozpoznania z jakim typem tego wehikułu mamy w danym momencie do czynienia. Rozpoznanie to jest przy tym na tyle łatwe i automatyczne, że praktycznie może być dokonywane przez program komputerowy. Oczywiście, ponieważ niemal wszystkie szczegóły konstrukcyjne UFO i magnokraftów uzależnione są od typu tych statków, rozpoznanie tego typu można dokonywać na wiele odmiennych sposobów i wieloma różniącymi się metodami. Wyliczmy więc teraz wynikające z Teorii Magnokraftu najważniejsze z metod rozpoznawania typu UFO, oraz krótko opiszmy na czym każda z

nich polega. Graficzna ilustracja każdej z tych metod pokazana została na rysunku **R\_1\_B4**.

#1. Wyznaczenie współczynnika  $K$  poprzez pomiar stosunku wymiarów gabarytowych  $K=D/H$ . W tym celu wystarczy aby na pozornych zarysach danego wehikułu odłożyć kawałek nici, źdźbła trawy, linijkę, lub jakikolwiek inny wiotki przedmiot liniowy, a następnie zmierzyć jego pozorne wymiary "D" i "H". Znając te wymiary, ich stosunek  $D/H$  może być ustalony niemal natychmiast, poprzez prosty podział wiotkich odcinków odpowiadających "D" i "H". Z kolei stosunek ten, zgodnie z równaniem  $K=D/H$ , wyznacza wartość współczynnika "krotności". Po poznaniu współczynnika  $K$ , niemal wszystkie pozostałe parametry obserwowanego wehikułu mogą zostać albo znalezione w tablicy F1 z tomu 3 monografii [1/4] lub [1/5], albo też wyliczone z podanych wcześniej równań matematycznych na wartości  $D$ ,  $H$ ,  $n$ , itp.



Rys. R-1-B4. Metody wyznaczania typu magnokraftu. (Źródło: monografia [1/4], rys. F20.)

Przykładami zdjęć UFO, z jakich typ wehikułu daje się łatwo wyznaczyć właśnie używając metody dzielenia średnicy UFO przez jego wysokość, są zdjęcia pokazane na powiększeniach P\_1\_B1.1, P\_1\_B1.3, i P\_1\_B1.1.

Warto jednak odnotować, że ta metoda identyfikacyjna staje się zawodna w przypadku kiedy wygląd wehikułu UFO zdeformowany zostaje działaniem soczewki magnetycznej, co szczególnie rzuca się w oczy na zdjęciach Z\_1\_B1.2 i Z\_1\_B5.1.2. Jej użycie jest też utrudnione jeśli dane UFO leci w trybie wiru magnetycznego (np. patrz fotografie Z\_2\_B1.3 i Z\_1\_B5.1.1), lub jeśli leci cała konfiguracja UFO a nie jedynie pojedynczy wehikuł (np. patrz fotografie Z\_1\_B5.1.1, Z\_2\_B5.2, i Z\_1\_B7.6).

#2. Policzenie ilości "n" pędników bocznych. Współczynnik "K" jest bowiem związany z tą ilością "n" i może być wyznaczony z następującej zależności:  $K=1+n/4$  jaka wynika z przekształcenia poprzednio przytoczonego wzoru:  $n = 4(K - 1)$  - patrz równania (F2), (F6) i (F9) w monografii [1/4]. Warto tutaj dodać, że tzw. "czarne belki" (patrz ich opis z podrozdziału F10.4 monografii [1/4] oraz w podrozdziale B7.3 niniejszego traktatu) występujące w niektórych typach połączeń magnokraftów wprowadzają duże ułatwienie w znajdowaniu liczby tych pędników - np. patrz rysunek F28b w monografii [1/4]. Również obszary powietrza zjonizowanego na wylotach z pędników bocznych mogą służyć jako wskazówki do wyznaczania liczby "n".

Przykładami zdjęć UFO, z jakich typ wehikułu daje się łatwo wyznaczyć właśnie używając metody liczenia pędników bocznych, są zdjęcia pokazane na powiększeniach P\_1\_B2 i P\_1\_B3 (odnotuj z owych zdjęć, że podczas oglądania UFO z boku, widocznych jest jedynie około połowy liczby istniejących w danym wehikule pędników bocznych).

Warto jednak odnotować, że i ta metoda identyfikacyjna staje się zawodna w każdym przypadku kiedy zdjęcie danego UFO nie ujawnia przynajmniej dwóch pędników bocznych. Jej użycie jest też utrudnione jeśli dane zdjęcie UFO uchwyciło lampy tzw. "systemu SUB", których jest dokładnie o połowę mniej niż pędników bocznych (np. patrz fotografia Z\_1\_B7.5).

#3. Policzenie liczby "SUB" lamp pozycyjnych wbudowanych w konstrukcję danego UFO. Lampa pozycyjna jest to wyraźnie widoczne źródło światła jakie tak umieszczone jest na kołnierzu UFO, aby było dobrze widoczne z możliwie największej liczby stron. Ilość lamp pozycyjnych systemu SUB w UFO każdego typu jest równa połowie liczby pędników bocznych w tym UFO, i wyraża się wzorem:  $SUB = n/2 = 2(K - 1)$  lamp.

Przykładem zdjęcia UFO, na jakim typ tego wehikułu daje się łatwo wyznaczyć właśnie używając metody liczenia lamp systemu SUB, jest fotografia pokazana na

powiększeniach P\_1\_B7.5 (odnotuj jednak, że podczas oglądania UFO z boku, widocznych jest jedynie około połowy liczby istniejących w danym wehikule lamp systemu SUB).

#4. Policzenie liczby "f" fal magnetycznych obiegających statek naokoło. Fala magnetyczna jest to wyraźnie odróżnialna koncentracja (pęk) linii sił pola magnetycznego biegnących z pędnika głównego do pędników bocznych - patrz jej objaśnienie w podrozdziale F7.2 i na rysunku F26 monografii [1/4]. Przykładowo właśnie na podstawie owej liczby fal magnetycznych ustalone zostało, że wehikuł pokazany na zdjęciu z rysunku P19D monografii [1/4] jest typu K6, zaś wehikuły ze zdjęcia na rysunku P29 monografii [1/4] są typu K5 i K3. Współczynnik "K" jest potem wyznaczany z następującej zależności:  $K=1+f$  (gdzie  $f=n/4$  - patrz podrozdział F7.2 monografii [1/4]).

#5. Policzenie liczby członków załogi. W UFO i magnokraftach wszystkich typów współczynnik "K" jest równy liczbie stałych członków załogi, t.j.:  $K=załoga$  (patrz tablica F1 w tomie 3 monografii [1/4]).

Problem z tą metodą jest jednak iż: po pierwsze to bardzo rzadko mamy możliwość policzenia członków załogi UFO, a po drugie to niezależnie od załogi, w niektórych przypadkach dany wehikuł UFO może przenosić również pasażerów lub gości pokładowych, którzy przez nie obeznanego obserwatora mogą zostać pomyleni ze załogą i stąd prowadzić będą do błędnych ustaleń.

#6. Pomiarzenie nominalnej średnicy "d" okręgu na jakim porozkładane są wypalone w glebie ślady pozostawiane przez pędniki boczne danego wehikułu podczas jego lądowania. Zależność pomiędzy tą średnicą "d" oraz współczynnikiem "K" wyraża się równaniem:  $d=(0.5486/\sqrt{2})2^K$  [metrów] - patrz równania (F34) oraz (F16) i (F12) z monografii [1/4]. Stąd znając "d" możliwe jest albo obliczenie wartości "K", albo też jego znalezienie z kolumn "K" i "d" z tablicy F1 w tomach 3 monografii [1/4] lub [1/5].

#7. Pomiarzenie wymiarów pojedynczego śladu wypalonego na trawie przez wylot pędnika głównego UFO. Jeśli kompleks kulisty UFO, lub pojedynczy wehikuł UFO lecący w pozycji wiszącej, wylądowuje na łące, jego kopuła górna w jakiej mieści się pędnik główny zazwyczaj osadzana jest na powierzchni łąki (że zetknięcie tej kopuły z ziemią faktycznie miało miejsce, można się przekonać poprzez odszukanie w obrębie owego wypalenia małych fragmentów "węgla warstwowego" jakie zazwyczaj odpadają z tej kopuły w efekcie docisku kopuły do ziemi - patrz opisy tego węgla w podrozdziale O5.4 monografii [1/4]). W takim przypadku, w wehikułach drugiej generacji, zależnie od wysterowania pędników, podczas dłuższego lądowania pole magnetyczne opuszczające ów pędnik główny wypali na trawie albo kształt pełnego ośmioboku (wszakże w wehikułach drugiej generacji wylot z komory oscylacyjnej ma kształt ośmioboku), albo też kształt fragmentu ośmioboku, np. kształt jednego prostego boku oraz fragmentów dwóch boków do niego przylegających. Jeśli więc ktoś pomierzy wymiary tego wypalonego śladu, wówczas relatywnie łatwo może z nich wyliczyć średnicę DM pędnika głównego wehikułu który dokonał owego wypalenia. Znając zaś tą średnicę DM pędnika głównego, może ją porównać do wartości średnic DM jakie dla poszczególnych typów UFO podane są w podrozdziałach B4.1 do B4.8 tego traktatu, i w ten sposób bez większych trudów wyznaczyć jakie UFO wypaliło dany ślad. Zgodnie bowiem z wynikami badań wykonanych przez piszącego ten traktat na lądowiskach UFO w Nowej Zelandii, istnieje liniowa zależność pomiędzy wymiarami wypalenia pozostawionego na trawie podczas takiego dotykowego lądowania, a średnicą DM pędnika głównego UFO. I tak w przypadku gdy UFO drugiej generacji lądowuje z pędnikiem głównym pracującym w trybie dominacji strumienia wewnętrznego, wówczas wewnętrzna komora oscylacyjna z pędnika głównego tego wehikułu pozostawia w trawie ośmiobok o równomiernie wypalonym wnętrzu, którego największa przekątna wynosi "p". Przekątna ta związana jest ze średnicą "DM" następującym przybliżonym równaniem empirycznym (1B4"):  $DM = 4.3p$ . Przykładowo, jeśli ktoś znajdzie na łące wypalony ośmiobok, jakiego przekątna (lub średnica okręgu opisanego na tym ośmioboku) wynosi około  $p=0.8$  metra, wówczas średnica DM pędnika statku jaki dokonał tego wypalenia wynosiła około  $DM = 4.3p = 4.3(0.8) = 3.43$  metrów. To zaś oznacza, że ów ośmiobok wypalony został przez UFO typu K6. Z kolei w przypadku gdy UFO drugiej generacji



wyląduje z pędnikiem głównym pracującym w trybie dominacji strumienia zewnętrznego, wówczas zewnętrzna komora oscylacyjna z pędnika głównego tego wehikułu pozostawia w trawie tylko fragment wypalonego ośmioboku. Zwykle jest to jeden cały bok ośmioboku z ostro zaznaczającą się zewnętrzną krawędzią, oraz fragmenty dwóch sąsiadujących z nim boków. W takim wypadku zmierzyć należy zewnętrzną długość boku "a" (t.j. długość jednego z ośmiu boków ośmioboku po jego zewnętrznym obwodzie). Długość ta związana jest bowiem ze średnicą "DM" następującym przybliżonym równaniem (2B4"):  $DM = 3.3a$ . Przykładowo, jeśli ktoś znajdzie na łące dobrze wypalony zarys jednego z boków ośmioboku, jakiego długość wynosi około  $a=1.78$  metra, wówczas średnica DM pędnika statku jaki dokonał tego wypalenia wynosiła około  $DM = 3.3a = 3.3(1.78) = 5.88$  metrów. To zaś oznacza, że ów fragment ośmioboku wypalony został przez UFO drugiej generacji typu K7. Należy tutaj jednak dodać, że wzory (1B4") i (2B4") wyznaczone zostały empirycznie w Nowej Zelandii na lądowiskach UFO drugiej generacji jakie niekoniecznie reprezentować muszą parametry techniczne wehikułów wszystkich okupujących Ziemię cywilizacji. Stąd obarczone one mogą być błędem o na razie nieznaną wartość. Już zresztą piszący ten traktat zdołał ustalić, że wzory (1B4") i (2B4") nie są ważne dla nowozelandzkich lądowisk UFO pierwszej ani trzeciej generacji. Przykładowo dla lądowisk UFO pierwszej generacji badanych dotychczas przez piszącego ten traktat, dotykowe wypalenie gleby przez wydatek komory wewnętrznej pędnika głównego wehikułu lądującego w pozycji wiszącej z dominacją strumienia wewnętrznego ma kształt pełnego kwadratu lub pełnego rombu (zależnie od tego czy podczas danego lądowania owo UFO było pochylone, czy też jego oś centralna była ustawiona pionowo). Przekątna "p" tego kwadratu lub rombu w przybliżeniu spełnia empiryczny wzór (1B4'):  $DM = 5.3p$ . Natomiast UFO pierwszej generacji które wylądowało w pozycji wiszącej z dominacją strumienia zewnętrznego zwykle wypala jedynie fragment obwodu, czy obrysu, albo rombu albo kwadratu. W lądowiskach znajdujących w Nowej Zelandii fragment tego wypalonego obrysu rombu zazwyczaj obejmuje jedynie trzy dobrze widoczne naroża i dwie dobrze widoczne ścianki boczne (z czterech ścianek i z czterech naroży składających się na pełny romb lub kwadrat). We wnętrzu tego wypalonego obwodu wyraźnie widać następny romb lub kwadrat, złożony z trawy lub gleby jaka pozostała niedotknięta przez pole magnetyczne lądującego UFO. Dla UFO typów K6 i K7 ścianki wypalonego obwodu rombu lub kwadratu zwykle mają grubość około  $g=30$  cm, zaś ich zewnętrzny obrys jest znacznie bardziej ostry i wyraźny niż obrys wewnętrzny. Jeśli ktoś ponownie zmierzy przekątną "P" tego rombu lub kwadratu, to wypełnia ona w przybliżeniu następujące równanie empiryczne: (2B4'):  $DM = 2P$ . Przy używaniu podanych tutaj wzorów empirycznych należy pamiętać, że ich wyniki dają jedynie wartości szacunkowe. Ponadto należy również pamiętać, że używane w tych wzorach wymiary komór oscylacyjnych UFO oznaczone tutaj jako a, p, P, zostają wiernie odwzorowane na glebie jedynie w przypadku kiedy podczas lądowania dany wehikuł dotyka swą kopułą gleby. W przypadku zaś gdy dany wehikuł zawisa nad ziemią na jakiejś wysokości, wówczas ponierzone na glebie wartości a, p, P będą wyższe od odpowiadających im wymiarów komór oscylacyjnych UFO, bowiem obwody magnetyczne statku rozbiegają się zawsze odśrodkowo w kierunku pędników bocznych. Z kolei dokładnych wzorów na omawiane tutaj zależności nie da się teoretycznie wyprowadzić, bowiem dla ich znalezienia należałoby precyzyjnie wiedzieć ile wynoszą grubości ścianek komór oscylacyjnych oraz grubości ścianek kulistych obudów pędników UFO (w chwili obecnej grubości te znane są nam jedynie w sposób przybliżony: np dla UFO typów K6 i K7 wynoszą one około 20 cm), oraz według jakiej krzywej zginają się obwody magnetyczne UFO.

#8. Zidentyfikowanie zarysów danego UFO poprzez porównanie jego kształtu do zarysów wszystkich ośmiu głównych typów tych wehikułów, jakie to typy zestawione są na rysunku F19 monografii [1/4] oraz powtórzone na pierwszym rysunku każdego z podrzdziałów B4.1 do B4.8 jakie teraz nastąpią (współczynnik "K" jest następnie określany w rezultacie tej identyfikacji). Bardzo pomocną w tej metodzie jest znajomość unikalnych cech charakteryzujących każdy z 8 typów UFO.

#9. Zidentyfikowanie typu danego UFO poprzez rozpoznanie charakterystycznych cech wnętrza danego statku, a ściślej poprzez rozpoznanie ilości, wzajemnego usytuowania, oraz przeznaczenia jego poziomów, pomieszczeń, hermetycznych przegród, oraz bram prowadzących przez te przegrody. Zasada takiego rozpoznawania wynika z faktu, że każdy typ magnokraftu posiada unikalne dla siebie zagospodarowanie wnętrza wynikające z jego kształtu, wymiarów, kryteriów konstrukcyjnych (np. potrzeby osiągnięcia najwyższej wytrzymałości mechanicznej jego powłoki), wymogów ergonomicznych, bezpieczeństwa, itp. Dane wymagane dla tego sposobu identyfikowania zestawione zostały w podrozdziale F2.5, zaś opis przykładu takiej identyfikacji zaprezentowano w podrozdziale P6.1 i zilustrowano na rysunkach P30 i F39 monografii [1/4]. Jego wymogiem jest aby identyfikująca osoba fizycznie znalazła się na pokładzie tego wehikułu i dokonała wymaganych obserwacji.

Do powyższego warto dodać, że dotychczasowe badania lądowisk UFO skompletowane w Nowej Zelandii wykazują, iż kosmici okupujący Ziemię zorganizowani są w latające jednostki, nazywane "flotyllami", zaś każda z takich jednostek zawiera następującą liczbę wehikułów UFO: 1 wehikuł flagowy typu K10 (z 10 stałymi członkami załogi), 2 wehikuły UFO typu K9 (z 9 członkami załogi każdy), 4 wehikuły typu K8 (z 8 stałymi członkami załogi), 8 wehikułów typu K7 (z 7 członkami załogi każdy), 16 wehikułów typu K6 (z 6 stałymi członkami załogi), 32 wehikułów typu K5 (z 5 członkami załogi każdy), 64 wehikułów typu K4 (z 4 stałymi członkami załogi), oraz 128 wehikułów typu K3 (z 3 stałymi członkami załogi). Stąd w sumie każda flotylla UFO składa się z 255 wehikułów, jakie obsługiwane są przez 1012 stałych członków załogi rezydujących na ich pokładach. Ponieważ każdy kosmita jaki przylatuje na Ziemię jest stałym członkiem załogi jakiegoś wehikułu UFO, powyższe oznacza że średnio jeden wehikuł UFO przypada na niemal 4 kosmitów okupujących Ziemię. Z kolei z oszacowań zawartych w podrozdziale B3 traktatu [7/2] wiadomo, że jeden kosmita przypada na około 100 ludzi. To zaś oznacza, że jeden niewidzialny wehikuł UFO zawieszony gdzieś na naszym niebie lub ukryty w podziemnych jaskiniach przypada na każde około 400 mieszkańców Ziemi.

Liczebność niektórych typów wehikułów UFO składających się na pojedynczą flotyllę doskonale została zilustrowana na zdjęciu **Z\_1\_B4**. Zdjęcie to pokazuje bowiem jeden z owych skomplikowanych tzw. "kręgów zbożowych", czyli lądowisk UFO w zbożach Anglii. Lądowiska te obecnie wykonywane są przez UFO celowo w tak skomplikowanych kształtach. Ostatnio celowo też nazywane są one "piktogramy" i wyjaśniane "naturalnie" - dla zwykłego



Fot. Z-1-B4: Lądowisko 255 UFO -całej jednej flotylli. (Źródło: [1B4] str. 67.)

wywieczenia w pole społeczeństwa i co naiwniejszych "badaczy" - patrz opisy z podrozdziału B5.6. Aby lądowisko pokazane na zdjęciu Z\_1\_B4 wyglądało jeszcze bardziej spektakularnie, UFOnauci zaangażowali w jego wykonywanie wszystkie 255 wehikułów UFO wchodzących w skład pojedynczej flotylli. Stąd lądowisko UFO w zbożu pokazane na rysunku Z\_1\_B4 stanowi rodzaj ilustracyjnego dowodu na poprawność naszych oszacowań liczebności poszczególnych typów wehikułów UFO wchodzących w skład pojedynczej flotylli naszych okupantów. Oczywiście, ze zwykłej ostrożności, nie każdy z wehikułów UFO wchodzących w skład tej flotylli pozostawił po sobie oczywisty ślad w zbożu. Faktycznie to tylko wszystkie 128 UFO typu K3, oraz wszystkie 16 wehikułów typu K6, pozostawiły bezpośrednio ślady w zbożu widoczne na fotografii Z\_1\_B4 (plus kilka wehikułów typów K4 i K5). Przykładowo jeśli ktoś policzy wehikuły UFO typu K3, jakie na fotografii Z\_1\_B4

reprezentowane są przez owe wyłożenia zboża o najmniejszych średnicach do 3.1 metrów (rozmiary kręgów daje się szacować po wysokości osób sfotografowanych na dwóch z tych kręgów, oraz po rozstawie kół maszyny rolniczej jaka uprawiała dane pole), wówczas okazuje się że na zdjęciu jest ich dokładnie 128. Podobnie zdjęcie to posiada 16 kręgów uformowanych przez wehikuły typu K6 (są to następujące kręgi: centralny - do którego zbiegają się wszystkie trzy spirale, oraz 3ci, 4ty, 5ty, 6ty i 7my krąg każdej gałęzi spirali - licząc od pierwszego wehikułu danej gałęzi jaki dotyka kręgu centralnego). Jednak w sposób niebezpośredni, lądowisko UFO ze zdjęcia Z\_1\_B4 dowodzi zaangażowanie w jego wykonanie również i pozostałych wehikułów flotylli. Przykładowo, ujawnione tym zdjęciem trzy spirale powstały poprzez podwieszenie wszystkich formujących je wehikułów UFO pod podłogą statku flagowego flotylli - t.j. pod podłogą UFO typu K10. Formacja więc UFO jaka uformowała to lądowisko przypominała trzyramienny żyrandol, jaki zamiast pod sufitem, podwieszony był pod pędnikiem główny i pod trzema pędnikami bocznymi największego statku flotylli, czyli UFO typu K10. To zaś oznacza, że każda z trzech spiral kończy się dokładnie w miejscu, gdzie musiałby się znajdować jeden z wylotów owych 36 pędników bocznych UFO typu K10 - jeśli pędnik główny owego UFO ustawiony został dokładnie w centrum tego lądowiska. To zaś oznacza że dla zwiększenia precyzji ogólnego obrazu, ramiona owych trzech spiral bazują na rozłożeniu pędników bocznych UFO typu K10, jakich całkowita liczba  $n=36$  jest właśnie podzielna przez trzy. Ponieważ w statku flagowym pracowały jedynie trzy pędniki, aby cała flotylla mogła precyzyjnie manewrować, jej dwa UFO typu K9, oraz jedno UFO typu K8 musiały wypełniać funkcję "holowników". Z kolei pozostałe trzy wehikuły K8 podwieszone pod podłogą statku flagowego stworzyły bazę zarysową według której owe trzy spirale zostały uformowane. Wszystkie 8 UFO typu K7, razem z szeregiem niewykorzystywanych do tworzenia śladów wehikułów typów K5 i K4 używane zostały do formowania pionowych wsporników jakie spowodowały ową płynną zmianę średnic kręgów wyłożonego zboża (średnica wyłożonego kręgu zależy bowiem od wysokości na jakiej dany wehikuł UFO zawisa nad tym zbożem).

Patrząc na lądowisko ze zdjęcia Z\_1\_B4 oczywistym się staje, że dla jego zrealizowania konieczne było zaangażowanie całej armii kosmitów. Wszakże poza pilotami całej jednej flotylli naszych okupantów, zaangażowani musieli w niego zostać artyści którzy zaprojektowali skomplikowany wzór tego lądowiska, eksperci sterowania którzy zaprojektowali sposób sprzęgania poszczególnych wehikułów (które w tym wypadku następowało za pośrednictwem pędników bocznych - podobnie jak to ma miejsce w latających systemach) jaki dał wymagany wzór, a także znawcy psychologii ludzkiej którzy aproksymowali wpływ tego lądowiska na otumanionych nim ludzi. Zaangażowanie tak ogromnych sił dla celowego wyprowadzania nas w pole demaskuje rodzaj kłopotów jakie nasz okupant kosmiczny jest gotowy wziąć na siebie aby utrzymać nas w zniewoleniu, a także powagi z jaką okupant ten traktuje rodzający się obecnie na Ziemi ruch wyzwolenczy (RO), którego działania stara się on neutralizować za pomocą tego typu wybiegów maskujących.

Zdjęcie Z\_1\_B4, jakiego naukowa analiza została tutaj zaprezentowana, oryginalnie opublikowane zostało na stronie 67 książki **[1B4]** pióra Paul'a Devereux and Peter'a Brookesmith, "UFOs and UFOlogy", Blandford (Cassell plc., Wellington House, 125 Strand, London WC2R OBB, UK) 1997, ISBN 0-7137-2657-1, HC, 129 pages. Pokazuje ono fotografię lądowiska UFO w zbożu, jaka wykonana została w 1996 roku koło Avebury, Wiltshire, południowa Anglia, i upowszechniana przez Frederic C. Taylor/Fordean Picture Library.

Kiedy więc wiemy już niemal wszystko na temat typów dyskooidalnych UFO, przejrzyjmy teraz przykłady zdjęć na jakich poszczególne typy zostały utrwalone. Przeglądając każde z owych zdjęć autorzy sugerują czytelnikowi aby ten sprawdzał czy również potrafi określić typ danego wehikułu, oraz czy jego określanie tego typu pokrywa się z wynikami otrzymanymi przez autorów.

### B4.1. Typ K3

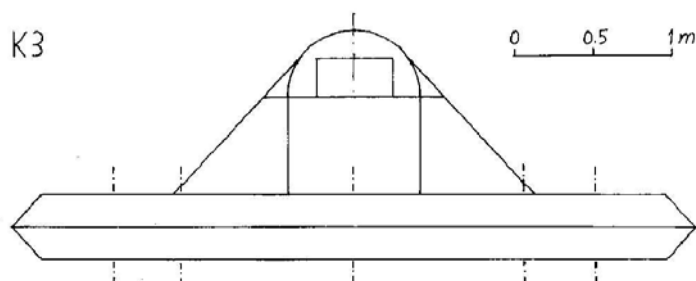
Typ K3 jest najmniejszym z typów dyskoidalnych UFO (i magnokraftów). Wygląd boczny magnokraftu typu K3 zilustrowany został na rysunku **R\_1\_B4.1**. Wielkość tego wehikulu może być porównana do wielkości typowego dzisiejszego samochodu osobowego. Średnica gabarytowa UFO typu K3 (a także i magnokraftu typu K3) wynosi  $D = 0.5486 \cdot 2K = 4.39$  metrów. Z kolei wysokość gabarytowa UFO typu K3 (a także i magnokraftu typu K3) wnosi  $H = D/K = 1.46$  metrów. Jego stała załoga składa się z 3 istot (osób). Z dotychczasowego rozeznania wynika że UFO typu K3 używane są jako "statki na posyłki" (skauty), t.j. które sprawdzają, patrolują, dowożą, itp. Wyliczenia dokonane zgodnie z Teorią Magnokraftu stwierdzają, że ten typ statku posiada  $n = 4(K - 1) = 8$  pędników bocznych, jakich centra rozstawione są w równych od siebie odległościach na obwodzie okręgu o średnicy nominalnej  $d = D/2 = (0.5486/2) \cdot 2K = 3.10$  metrów (owa średnica nominalna  $d = 3.10$  metrów reprezentuje więc średnicę okręgu przebiegającego przez środki wypaleń jakie pędniki tego wehikulu pozostawiają na trawie w przypadku kiedy podczas lądowania UFO dotknie swą podłogą powierzchni ziemi). Rozstaw co drugiego z pędników bocznych w tym typie odpowiada rozstawowi 4 pędników w wehikule czteropędnikowym typu T3. Średnica zewnętrzna kulistej obudowy pędnika głównego UFO (i magnokraftu) typu K3 wynosi  $DM = 0.86$  metrów. Natomiast średnica zewnętrzna kulistej obudowy każdego z jego  $n = 8$  pędników bocznych wynosi  $DS = 0.43$  metrów. Statek ten posiada 4 teleskopowe nogi. Stosunek  $K = D/H$  jego (największej) średnicy gabarytowej  $D$  do (najwyższej) wysokości gabarytowej  $H$  wynosi  $K = 3$ . Cechą unikalną dla UFO (i magnokraftu) typu K3 jest, że jest on jedynym typem dyskoidalnego statku jaki nie posiada kołnierza uzupełniającego (czyli jakby garbu czy dodatkowego kołnierza przebiegającego pomiędzy kołnierzem bocznym i kabiną załogi tego wehikulu - porównaj rysunek R\_1\_B4.1 i np. rysunek R\_1\_B4.2).

Przykłady fotografii UFO typu K3 działających w najróżniejszych trybach pracy i nawet reprezentujących odmienne generacje tych wehikulów prezentowane też już były w poprzednich częściach niniejszego traktatu. Można je zobaczyć na zdjęciach numer Z\_1\_B1.1, Z\_1\_B1.3, czy Z\_2\_B2, a także na powiększeniach wykonanych ze zdjęć o owych numerach (powiększenia te również oznaczane są takim samym symbolem P\_numer\_podrozdział).

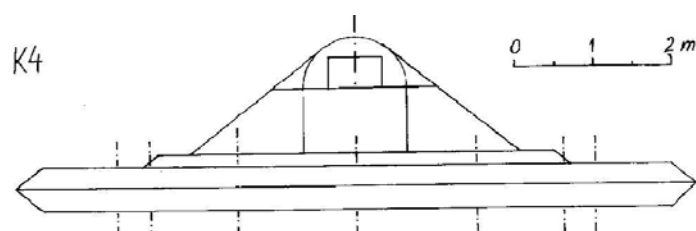
UFO typu K3 pokazywane są również na zdjęciach opublikowanych w monografii [1/4]. Ich najdoskonalszy przykład zawiera tam rysunek P1. Dalsze ich przykłady pokazane są w monografii [1/4] na fotografiach z rysunków P14, P15, P17, P23, P24a, P25 i P29.

### B4.2. Typ K4

Typ K4 jest drugim co do wielkości z typów dyskoidalnych UFO (i magnokraftów). Wygląd boczny magnokraftu typu K4 zilustrowany został na rysunku **R\_1\_B4.2**. Średnica gabarytowa UFO i magnokraftów typu K4 wynosi  $D = 8.78$  metrów. Z kolei wysokość



**Rys. R-1-B4.1: Wygląd boczny magnokraftu typu K3.**  
(Źródło: monografia [1/4], rys. F19a.)



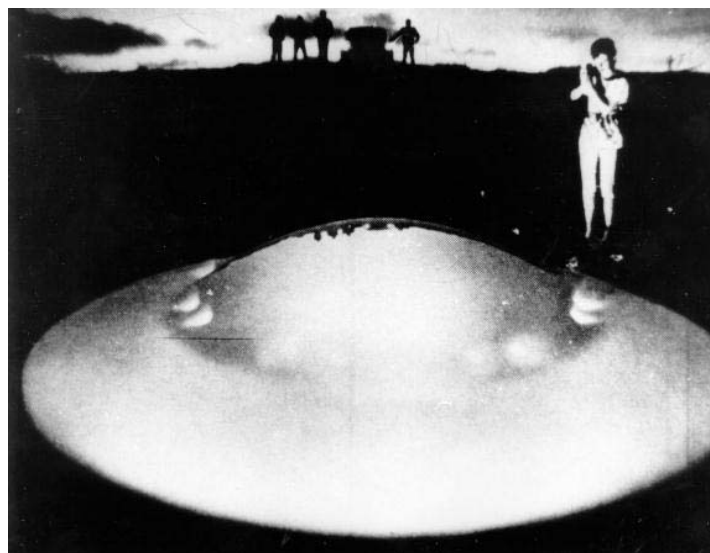
**Rys. R-1-B4.2: Wygląd boczny magnokraftu typu K4.**  
(Źródło: monografia [1/4], rys. F19a\_K4.)

gabarytowa UFO typu K4 wnosi  $H = D/K = 2.19$  metrów. Stała załoga tego wehikułu składa się z 4 istot. Z dotychczasowego rozeznania zdaje się wynikać, że pobór spermy i owule dokonywany we własnych domach uprowadzanych osób zwykle dokonywany jest właśnie przez załogi UFO typu K4. Być więc może, że UFO typu K4 specjalizują się w zadaniach medycznych. Wyliczenia dokonane zgodnie z Teorią Magnokraftu stwierdzają, że ten typ statku posiada  $n = 4(K - 1) = 12$  pędników bocznych, jakich centra rozstawione są w równych od siebie odległościach na obwodzie okręgu o średnicy nominalnej  $d = 6.20$  metrów (owa średnica nominalna  $d = 6.20$  metrów jest więc średnicą okręgu przebiegającego przez środki wypaleń jakie pędniki tego wehikułu pozostawiają na trawie w przypadku kiedy podczas lądowania dotknie on powierzchni ziemi swą podłogą). Rozstaw co trzeciego z pędników bocznych w tym typie odpowiada rozstawowi 4 pędników w wehikule czteropędnikowym typu T4. Średnica zewnętrzna kulistej obudowy pędnika głównego UFO (i magnokraftu) typu K4 wynosi  $DM = 1.28$  metrów. Natomiast średnica zewnętrzna kulistej obudowy każdego z jego  $n = 12$  pędników bocznych wynosi  $DS = 0.56$  metrów. Statek ten posiada 3 teleskopowe nogi. Stosunek  $K = D/H$  jego (największej) średnicy gabarytowej  $D$  do (najwyższej) wysokości gabarytowej  $H$  wynosi  $K = 4$ . Cechą unikalną dla UFO (i magnokraftu) typu K4 jest, że jest on jedynym wehikułem o soczewkowształtnym kołnierzu bocznym jaki posiada trzy nogi (wszystkie pozostałe wehikuły o takim kołnierzu, t.j. wehikuły typu K3, K5 i K6, używają czterech nóg). Ponadto jest on jedynym statkiem o soczewkowształtnym kołnierzu bocznym jakiego konstrukcja i sterowanie umożliwiają formowanie konfiguracji o kształcie trójkąta równobocznego (przykładowo formowanie lądowisk w zbożu o precyzyjnym kształcie trójkąta równobocznego).

Przykłady fotografii UFO typu K4 działających w najróżniejszych trybach pracy i nawet reprezentujących odmienne generacje tych wehikułów prezentowane są w innych częściach niniejszego traktatu. Można je zobaczyć na zdjęciach numer Z\_2\_B1.1, Z\_2\_B1.3, czy Z\_1\_B3, a także na powiększeniach wykonanych ze zdjęć o owych numerach (powiększenia te również oznaczane są takim samym symbolem P\_ numer\_ podrozdział).

UFO typu K4 pokazywane są również na zdjęciach opublikowanych w monografii [1/4]. Ich najdoskonalszy przykład zawiera tam rysunek P4. Dalsze ich przykłady pokazane są w monografii [1/4] na fotografiach z rysunków P2b i P20.

Podczas pisania niniejszego traktatu przyjąłem zasadę, że nie pokazuję w nim zdjęć UFO jakie w świetle mojej znajomości przedmiotu reprezentują pomyłki lub najróżniejsze formy fałszerstwa. Kiedy jednak zobaczyłem zdjęcie Z\_1\_B4.2 postanowiłem uczynić wyjątek od tej zasady, i je pokazać tutaj na przekór że jestem pewien iż nie przedstawia ono autentycznego zdjęcia UFO. Powodem jest, że zdjęcie Z\_1\_B4.2 pokazuje niemal doskonałą rekonstrukcję UFO typu K4. Ktokolwiek się dopuścił jego fabrykacji, musiał osobiście widzieć UFO typu K4 z pokazanego na tym zdjęciu kąta, musiał wykazać



Fot. Z-1-B4.2: Rekonstrukcja wyglądu UFO typu K4.  
(Źródło: <http://www.anomalous-images/images/ufos3.html>.)

doskonałą bystrość i spostrzegawczość aby odnotować niemal wszystkie szczegóły, oraz musiał doskonale je zreprodukować w celu późniejszego odtworzenia na owej fabrykacji Z\_1\_B4.2. Ktokolwiek to uczynił otrzymuje moje wyrazy uznania za doskonałą robotę. Jego sfabrykowane UFO typu K4 wygląda niemal jak prawdziwe i posiada nawet takie szczegóły jak kołnierz uzupełniający (patrz owo poziome zafałdowanie u podstawy kabiny załogi) oraz



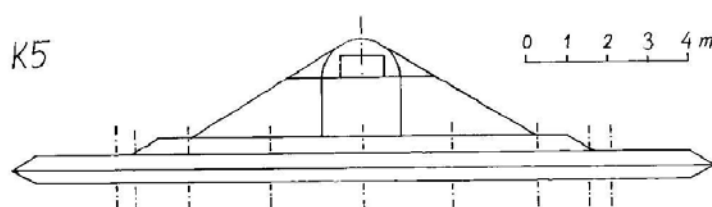
węgiel warstwowy oblepiający okolice wylotu z pędnika głównego. Jedyne szczegóły jakie zdradzają, że jest to fabrykacja - bowiem trochę się różnią od faktycznych parametrów UFO typu K4, to: (1) zbyt małe wymiary (gdyby faktycznie było to UFO typu K4, wówczas stojąca tuż za nim dorosła osoba musiałaby być o około połowę mniejsza niż to pokazano na Z\_1\_B4.2), (2) nieco zbyt duża średnica pędnika głównego - co powoduje zawyżony w stosunku do rzeczywistego promień krzywizny kopuły górnej tego UFO, oraz (3) brak górnej powierzchni płaskiej na kołnierzu bocznym (t.j. na Z\_1\_B4.2 klinowate zwężanie się kołnierza bocznego zaczyna się tuż za kołnierzem uzupełniającym, podczas gdy w rzeczywistości u UFO typu K4 istnieje szeroka powierzchnia płaska zanim kołnierz boczny zaczyna klinowato zaginać się ku dołowi). Zdjęcie Z\_1\_B4.2 zaczerpnięte zostało z internetu, gdzie w listopadzie 2000 roku wystawione było pod adresem <<http://www.anomalous-images/images/ufos3.html>>, występując tam pod nazwą UFO099.jpg. Nie przytoczono tam jednak jego historii, a szkoda, bo zapewne historia ta okazałaby się wysoce interesująca.

### B4.3. Typ K5

Typ K5 jest średniej wielkości dyskoidalnym UFO. Średnica gabarytowa UFO typu K5 wynosi  $D = 17.56$  metrów. Z kolei wysokość gabarytowa UFO typu K5 wnosi  $H = 3.51$  metrów. Jego załoga składa się z 5 istot. Specjalizacja zawodowa i przeznaczenie UFO typu K5 nie są jeszcze dokładnie nam znane - prawdopodobnie są one statkami zwiadowczymi i rozpoznającymi, być może też że zajmują się badaniami morza lub górnej atmosfery.

Wyliczenia dokonane zgodnie z Teorią Magnokraftu stwierdzają, że ten typ statku posiada  $n = 4(K - 1) = 16$  pędników bocznych, jakich centra rozstawione są w równych od siebie odległościach na obwodzie okręgu o średnicy nominalnej  $d = 12.41$  metrów (owa średnica nominalna  $d = 12.41$  metrów jest więc średnicą okręgu przebiegającego przez środki wypaleń jakie pędniki tego wehikulu pozostawiają na trawie w przypadku kiedy podczas lądowania dotknie on powierzchni ziemi swą podłogą). Rozstaw co czwartego z pędników bocznych w tym typie odpowiada rozstawowi 4 pędników w wehikule czteropędnikowym typu T5. Średnica kulistej obudowy pędnika głównego UFO (i magnokraftu) typu K5 wynosi  $DM = 1.88$  metrów, natomiast średnica kulistej obudowy każdego z jego  $n = 16$  pędników bocznych wynosi  $DS = 0.75$  metrów. Statek ten posiada 4 teleskopowe nogi. Stosunek  $K = D/H$  jego (największej) średnicy gabarytowej  $D$  do (najwyższej) wysokości gabarytowej  $H$  wynosi  $K = 5$ . Cechą UFO typu K5 jest, że niezwykle rzadko on ląduje na Ziemi, ogromnie trudno też znaleźć zdjęcia tego wehikulu. Wygląd boczny magnokraftu typu K5 zilustrowany został na rysunku **R\_1\_B4.3**.

Wygląd pojedynczego UFO typu K5 sfotografowanego w świetle dziennym pokazany został na zdjęciu **Z\_1\_B4.3**. Zdjęcie to zdołało oddać dosyć charakterystyczny wygląd UFO



Rys. R-1-B4.3: Wygląd boczny magnokraftu typu K5. (Źródło: monografia [1/4], rys. F19a\_K5.)



Fot. Z-1-B4.3: Zdjęcie UFO typu K5 od spodu dniem. (Źródło: [1B4.3] str. 122.)

typu K5. Jak z niego widać wehikuł ten jest bardzo podobny do magnokraftu typu K5 pokazanego na rysunku R\_1\_B4.3. Zostało ono wykonane 8 października 1981 roku przez niejaką Hannah McRoberts, w British Columbia, Kanada. Fotografująca, jej mąż i 19-miesięczna córka, zatrzymali się niedaleko od Eve River, na północ od Kelsey Bay, w drodze do Holberg. Żartując, że chce wykonać zdjęcie UFO sfotografowała widok zalesionej góry - po wywołaniu faktycznie znajdując na tym jedynym zdjęciu wehikuł UFO. Zdjęcie Z\_1\_B4.3 oryginalnie opublikowane jest na stronie 122 książki [1B4.3] pióra Peter'a Brookesmith, "UFO", Blandford (Wellington House, 125 Strand, London WC2R 0BB), London 1995, ISBN 1-7137-2583-4. Czarno-biała reprodukcja tego zdjęcia zawarta jest też na stronie 85 książki [2B4.3] pióra Peter'a Brookesmith, "UFO, the Government Files", Blandford (Cassell plc., Wellington House, 125 Strand, London WC2R 0BB, UK) 1996, ISBN 0-7137-2635-0, HC, 176 pages.

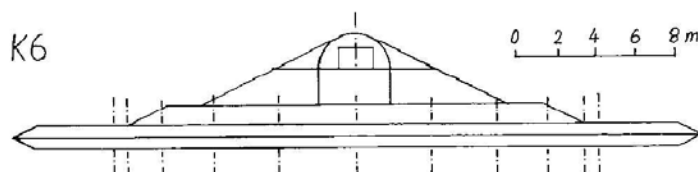
Przykłady fotografii UFO typu K5 działających w najróżniejszych trybach pracy i nawet reprezentujących odmienne generacje tych wehikułów prezentowane też są w innych częściach niniejszego traktatu. Można je zobaczyć na zdjęciach numer Z\_1\_B5.1.1, czy Z\_1\_B5.2, a także na powiększeniach wykonanych ze zdjęć o owych numerach (powiększenia te również oznaczane są takim samym symbolem P\_numer\_podrozdział).

UFO typu K5 pokazywane są również na zdjęciach opublikowanych w monografii [1/4]. Ich najdoskonalszy przykład zawierają tam rysunki P2a i P29. Dalsze ich przykłady w monografii [1/4] pokazane są na fotografiach z: rys. P14, P16 i P24b.

#### B4.4. Typ K6

Typ K6 jest największym z typów dyskooidalnych UFO jakie ciągle posiadają soczewkowształtne (t.j. zaokrąglony klinowato) kołnierz boczny. Średnica gabarytowa UFO typu K6 wynosi  $D = 35.11$  metrów. Z kolei wysokość gabarytowa UFO typu K6 wnosi  $H = 5.85$  metrów. Jego stała załoga składa się z 6 istot. Z dotychczasowego rozeznania wynika że UFO typu K6 używane są jako statki badawcze o specjalizacji geologicznej i środowiskowej. Stąd statki tego typu patrolują nasze pola i lasy, pobierają próbki gleby, analizują naszą wodę, itp.

Wyliczenia dokonane zgodnie z Teorią Magnokraftu stwierdzają, że ten typ statku posiada  $n = 4(K\ 1) = 20$  pędników bocznych, jakich centra rozstawione są w równych od siebie odległościach na obwodzie okręgu o średnicy nominalnej  $d = 24.82$  metrów (owa średnica nominalna  $d = 24.82$  metrów jest więc średnicą okręgu przebiegającego przez środki wypaleń jakie pędniki tego wehikułu pozostawią na trawie w przypadku kiedy podczas lądowania dotknie on powierzchni ziemi swą podłogą). Rozstaw co piątego z pędników



Rys. R-1-B4.4: Wygląd boczny magnokraftu typu K6. (Źródło: monografia [1/4], rys. F19a\_K6.)



Fot. Z-1-B4.4: Zdjęcie UFO typu K6 z boku dniem. (Źródło: <http://www.ids.net.pl/~nole/pictures.html>.)

bocznych w tym typie odpowiada rozstawowi 4 pędników w wehikule czteropędnikowym typu T6. Średnica kulistej obudowy pędnika głównego UFO (i magnokraftu) typu K6 wynosi  $DM = 3.43$  metrów, natomiast średnica kulistej obudowy każdego z jego  $n = 20$  pędników bocznych wynosi  $DS = 1.26$  metrów. Statek ten posiada 4 teleskopowe nogi. Stosunek  $K =$

D/H jego (największej) średnicy gabarytowej D do (najwyższej) wysokości gabarytowej H wynosi  $K = 6$ . Cechą unikalną dla UFO (i magnokraftu) typu K6 jest, że jest on jedynym typem dyskoidalnego UFO o soczewkowatym kołnierzu, na jakiego pokładzie wyodrębnione zostały aż dwa poziomy kabin załogi (t.j. dwa piętra), tak że sufit dolnego poziomu kabin jest jednocześnie podłogą górnego poziomu. Wygląd boczny magnokraftu typu K6 zilustrowany został na rysunku **R\_1\_B4.4**.

Wygląd pojedynczego UFO typu K6 sfotografowanego w świetle dziennym pokazany został na zdjęciu **Z\_1\_B4.4**. Zdjęcie to zdołało uchwycić wygląd UFO typu K6 w widoku z boku. Jak z niego widać wehikuł ten jest bardzo podobny do magnokraftu typu K6 pokazanego na rysunku R\_1\_B4.4. Zdjęcie to zaczerpnięte zostało z Internetu, gdzie w październiku 2000 roku wystawione ono było pod adresem <http://www.ids.net.pl/~nole/pictures.html>, nosząc tam symbol 137.jpg. Ponadto jego inna reprodukcja pokazana też była na stronie internetowej o adresie <http://galactic-server.com/torealf/ufo.html>, gdzie nosiło ono nazwę "ufo\_961.jpg".

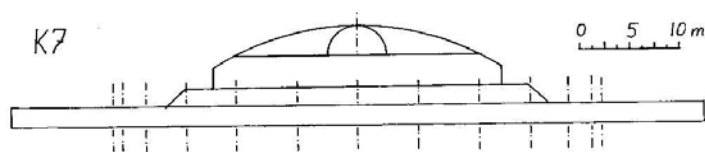
Przykłady fotografii UFO typu K6 działających w najróżniejszych trybach pracy i nawet reprezentujących odmienne generacje tych wehikułów prezentowane też są w innych częściach niniejszego traktatu. Można je zobaczyć na zdjęciach numer Z\_3\_B2, Z\_1\_B7.4, czy Z\_1\_B7.5, a także na powiększeniach wykonanych ze zdjęć o owych numerach (powiększenia te również oznaczane są takim samym symbolem P\_ numer\_ podrozdział).

UFO typu K6 pokazywane są również na zdjęciach opublikowanych w monografii [1/4]. Ich najdoskonalszy przykład zawiera tam rysunek P9. Dalsze ich przykłady w monografii [1/4] pokazane są na fotografiach z: rys. P13, i rys. P19.

Warto odnotować, że każdy typ UFO ma określoną specjalizację. Z moich badań lądowisk UFO w Nowej Zelandii wynika, że UFO typu K6 mają specjalizację geologiczną. Ich lądowiska bowiem typowo znajdują się w co ciekawszych geologicznie miejscach, przykładowo w pobliżu interesujących kamieni, uskoków gleby, co ciekawszych gór, wejść do jaskiń itp. Wehikuły UFO typu K6 często też dokonują uprowadzeń ludzi. W trakcie moich badań uprowadzeń wielokrotnie znajdowałem lądowiska typu K6 wehikułów UFO przed oknami ludzi systematycznie uprowadzanych do UFO.

#### B4.5. Typ K7

Typ K7 jest najmniejszym typem dyskoidalnych UFO jakich obrzeże kołnierza bocznego ukształtowane jest w formę jakby metalowej obręczy cylindrycznej. Wygląd boczny magnokraftu typu K7 zilustrowany został na rysunku **R\_1\_B4.5**. (Na rysunku R\_1\_B4.5 warto zwrócić uwagę co należy rozumieć przez stwierdzenie, że obrzeże kołnierza bocznego tego wehikułu ma kształt jakby obręczy koła u dawnego wozu konnego, i porównać to obrzeże z kształtem soczewkowatym obrzeża pokazanym np. na rysunku R\_1\_B4.4.) Średnica gabarytowa UFO (i magnokraftu) typu K7 wynosi  $D = 70.22$  metrów. Z kolei wysokość gabarytowa UFO (i magnokraftu) typu K7 wnosi  $H = 10.03$  metrów. Jego stała załoga składa się z 7 istot. Z dotychczasowego rozeznania wynika że UFO typu K7 używane są jako statki uprowadzające ze specjalistyczną aparaturą do pozyskiwania spermy i owule. Wyliczenia dokonane zgodnie z Teorią Magnokraftu stwierdzają, że ten typ statku posiada  $n = 4(K - 1) = 24$  pędników bocznych, jakich centra rozstawione są w równych od siebie odległościach na obwodzie okręgu o średnicy nominalnej  $d = 49.65$  metrów (owa średnica nominalna  $d = 49.65$  metrów jest więc średnicą okręgu przebiegającego przez środki wypaleń jakie pędniki tego wehikułu pozostawiają na trawie w przypadku kiedy podczas lądowania dotknie on powierzchni ziemi swą podłogą). Rozstaw co szóstego z pędników bocznych w tym typie odpowiada



Rys. R-1-B4.5: Wygląd boczny magnokraftu typu K7. (Źródło: monografia [1/4], rys. F19b\_K7.)

**R\_1\_B4.5**. (Na rysunku R\_1\_B4.5 warto zwrócić uwagę co należy rozumieć przez stwierdzenie, że obrzeże kołnierza bocznego tego wehikułu ma kształt jakby obręczy koła u dawnego wozu konnego, i porównać to obrzeże z kształtem soczewkowatym obrzeża pokazanym np. na rysunku R\_1\_B4.4.) Średnica gabarytowa UFO (i magnokraftu) typu K7 wynosi  $D = 70.22$  metrów. Z kolei wysokość gabarytowa UFO (i magnokraftu) typu K7 wnosi  $H = 10.03$  metrów. Jego stała załoga składa się z 7 istot. Z dotychczasowego rozeznania wynika że UFO typu K7 używane są jako statki uprowadzające ze specjalistyczną aparaturą do pozyskiwania spermy i owule. Wyliczenia dokonane zgodnie z Teorią Magnokraftu stwierdzają, że ten typ statku posiada  $n = 4(K - 1) = 24$  pędników bocznych, jakich centra rozstawione są w równych od siebie odległościach na obwodzie okręgu o średnicy nominalnej  $d = 49.65$  metrów (owa średnica nominalna  $d = 49.65$  metrów jest więc średnicą okręgu przebiegającego przez środki wypaleń jakie pędniki tego wehikułu pozostawiają na trawie w przypadku kiedy podczas lądowania dotknie on powierzchni ziemi swą podłogą). Rozstaw co szóstego z pędników bocznych w tym typie odpowiada



rozstawowi 4 pędników w wehikule czteropędnikowym typu T7. Średnica zewnętrzna kulistej obudowy pędnika głównego UFO (i magnokraftu) typu K7 wynosi  $DM = 5.88$  metrów. Natomiast średnica zewnętrzna kulistej obudowy każdego z jego  $n = 24$  pędników bocznych wynosi  $DS = 2.04$  metrów. Statek ten posiada 3 teleskopowe nogi. Stosunek  $K = D/H$  jego (największej) średnicy gabarytowej  $D$  do (najwyższej) wysokości gabarytowej  $H$  wynosi  $K = 7$ . Cechą charakterystyczną dla UFO (i magnokraftu) typu K7 jest, że jest on jedynym ciągle lądującym wehikułem o obręczowym kołnierzu bocznym jaki posiada trzy nogi (wszystkie pozostałe wehikuly o takim kołnierzu, t.j. wehikuly typów K8 i K9 używają czterech nóg, natomiast UFO typu K10 niemal nigdy nie ląduje na Ziemi). Ponadto jest on najmniejszym statkiem o obręczowym kołnierzu bocznym jakiego konstrukcja i sterowanie umożliwiają formowanie konfiguracji w kształcie trójkątów równobocznych (przykładowo formowanie lądowisk w zbożu o precyzyjnym kształcie trójkąta równobocznego, czy rozstawianie mniejszych magnokraftów podczepionych pod jego podłogą na kształt trójkąta równobocznego - patrz zdjęcie Z\_2\_B5.4). Następnym statkiem o obręczowym kołnierzu, który również jest w stanie uformować trójkąty równoboczne, to największe UFO typu K10 o ponad półkilometrowej średnicy.

Najlepsze ujęcie wyglądu wehikułu UFO typu K7 ma miejsce na serii zdjęć w niniejszym traktacie pokazanych jako zdjęcia Z\_1a\_B7.3 do Z\_1f\_B7.3. Czytelnikowi rekomendowane jest aby przeglądał owe zdjęcia i porównał je z wyglądem wehikułów typu K7 pokazanym na rysunkach R\_1\_B4.5 i R\_1\_B1.2.

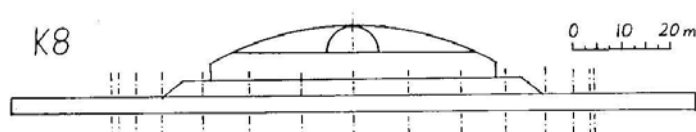
Przykłady dalszych fotografii UFO typu K7 działających w najróżniejszych trybach pracy i nawet reprezentujących odmienne generacje tych wehikułów prezentowane też już były w poprzednich częściach niniejszego traktatu. Można je zobaczyć na zdjęciach numer Z\_1\_B1.2, czy Z\_1\_B2, a także na powiększeniach wykonanych ze zdjęć o owych numerach (powiększenia te również oznaczane są takim samym symbolem P\_ numer\_ podrozdział).

UFO typu K7 pokazywane są również na zdjęciach opublikowanych w monografii [1/4]. Ich najdoskonalszy przykład zawiera tam rysunek S1c. Dalsze ich przykłady pokazane są w monografii [1/4] na fotografiach z rysunków P21a, P27, P28, i T1.

#### B4.6. Typ K8

Typ K8 jest kolejnym typem dyskoidalnych UFO o obrzeżu kołnierza bocznego w kształcie metalowej obręczy cylindrycznej. Średnica gabarytowa UFO (i magnokraftu) typu K8 wynosi  $D = 140.44$  metrów. Z kolei wysokość

gabarytowa UFO (i magnokraftu) typu K8 wnosi  $H = 17.56$  metrów. Jego stała załoga składa się z 8 istot. Dokładna specjalizacja UFO typu K8 nie została jeszcze poznana. Wyliczenia dokonane zgodnie z Teorią Magnokraftu stwierdzają, że ten typ statku posiada  $n = 4(K - 1) = 28$  pędników bocznych, jakich centra rozstawione są w równych od siebie odległościach na obwodzie okręgu o średnicy nominalnej  $d = 99.30$  metrów (owa średnica nominalna  $d = 99.30$  metrów jest więc średnicą okręgu przebiegającego przez środki wypaleń jakie pędniki tego wehikułu pozostawiają na trawie w przypadku kiedy podczas lądowania dotknie on powierzchni ziemi swą podłogą). Rozstaw co siódmego z pędników bocznych w tym typie odpowiada rozstawowi 4 pędników w wehikule czteropędnikowym typu T8. Średnica zewnętrzna kulistej obudowy pędnika głównego UFO (i magnokraftu) typu K8 wynosi  $DM = 10.11$  metrów. Natomiast średnica zewnętrzna kulistej obudowy każdego z jego  $n = 28$  pędników bocznych wynosi  $DS = 3.33$  metrów. Statek ten posiada 4 teleskopowe nogi. Stosunek  $K = D/H$  jego (największej) średnicy gabarytowej  $D$  do (najwyższej) wysokości gabarytowej  $H$  wynosi  $K = 8$ . Cechą unikalną dla UFO (i



Rys. R-1-B4.6: Wygląd boczny magnokraftu typu K8. (Źródło: monografia [1/4], rys. F19b\_K8.)

magnokraftu) typu K8 jest, że spora część powłoki kopuły górnej stanowi jednocześnie sufit kabiny załogi (a ściślej mostka kapitańskiego). Dlatego jeśli obserwuje się lub fotografuje UFO typu K8 od góry, wówczas widzi się bardzo charakterystycznie wyglądający dach kopuły załogi, jaki przy odrobinie wprawy daje się rozpoznać już przy pierwszym rzucie oka. Dach ten wygląda bowiem mniej więcej jakby spłaszczona kopuła kościoła z wystającą w jej środku mniejszą kopułką kulistego pędnika głównego. Wygląd boczny magnokraftu typu K8 zilustrowany został na rysunku **R\_1\_B4.6**.

Wygląd pojedynczego UFO typu K8 sfotografowanego w świetle dziennym pokazany został na zdjęciu **Z\_1\_B4.6**. Zdjęcie to udało się uchwycić relatywnie dobrze wygląd UFO typu K8. Jak z niego widać wehikuł ten jest bardzo podobny do magnokraftu typu K8 pokazanego na rysunku **R\_1\_B4.6**. Zdjęcie **Z\_1\_B4.6** zaczerpnięte zostało z Internetu, gdzie w listopadzie 2000 roku wystawione było pod adresem <http://www.anomalous-images/images/russufo4.html>, nosząc tam symbol **Ufo33.jpg**. Wywodzi się ono ze zbiorów Nikolay Subbotin'a, RUFORS (Russian UFO Research Station), Box 6303, Perm, Russia 614010, <norsa@psu.ac.ru> zaś wykonane ono zostało w obszarze rosyjskiego obszaru anomalnego, nazywanego Moljebka (na przecięciu się regionów Permu i Świerdłowska). Pokazuje ono bardzo wyraźnie charakterystyczne elementy kształtu UFO typu K8, włączając w to obręczokształtny kołnierz jaki obiega wehikuły tego typu wzdłuż obwodu ich podłogi, oraz charakterystyczny kształt kulistego pędnika głównego widocznego przez przezroczystą kopułę górną. Powiększenie samego wehikułu UFO ujętego na zdjęciu **Z\_1\_B4.6** pokazane zostało na powiększeniu **P\_1\_B4.6**.

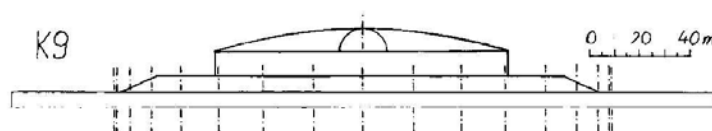


Fot. **Z-1-B4.6**: Zdjęcie UFO typu K8 z ukosa dniem. (Z: <http://www.anomalous-images/images/russufo4.html>.)

UFO typu K8 pokazywane są również na zdjęciach opublikowanych w monografii [1/4]. Ich najdoskonalszy przykład zawiera tam rysunek **P5**. Dalsze ich przykłady w monografii [1/4] pokazane są na fotografiach z rysunków **P21b** i **P21\_2**. Wehikuł UFO typu K8 prawdopodobnie był też użyty do uprowadzeń opisanych w traktacie [3b], gdzie pokazany jest nawet jego odręczny rysunek.

#### B4.7. Typ K9

Typ K9 jest przedostatnim z typów dyskoidalnych UFO o cylindrycznym obrzeżu kołnierza bocznego. Średnica gabarytowa UFO (i magnokraftu) typu K9 wynosi  $D = 280.88$  metrów. Z kolei wysokość gabarytowa UFO (i magnokraftu) typu K9 wnosi  $H = 31.21$  metrów. Jego stała załoga składa się z 9 istot. Dokładna specjalizacja UFO typu K9 również nie została jeszcze poznana. Wyliczenia dokonane zgodnie z Teorią Magnokraftu stwierdzają, że ten typ statku posiada  $n = 4(K - 1) = 32$  pędników bocznych, jakich centra rozstawione są w równych od siebie odległościach na obwodzie okręgu o średnicy nominalnej  $d = 198.61$  metrów (owa średnica nominalna  $d = 198.61$  metrów jest więc średnicą okręgu przebiegającego przez środki wypaleń jakie pędniki tego wehikułu pozostawiają na trawie w przypadku kiedy podczas lądowania dotknie



Rys. **R-1-B4.7**: Wygląd boczny magnokraftu typu K9. (Źródło: monografia [1/4], rys. **F19b\_K9**.)

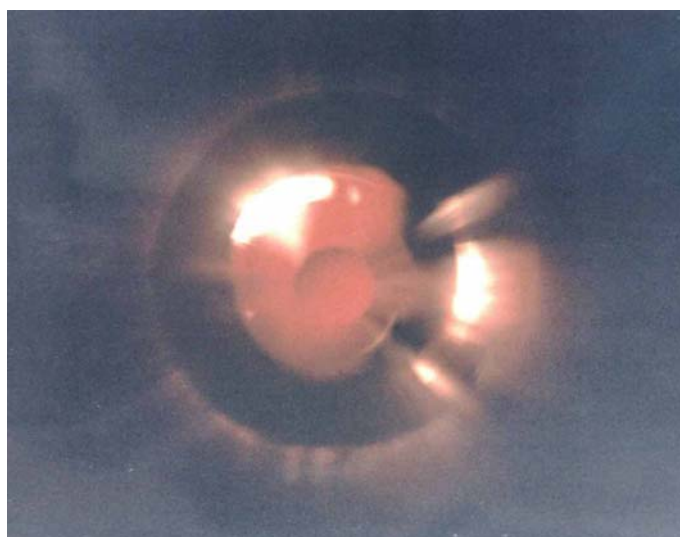
on powierzchni ziemi swą podłogą; niestety aby dostrzec lądowiska UFO typu K9 patrzeć trzeba na ziemię z samolotu). Rozstaw co ósmego z pędników bocznych w tym typie odpowiada rozstawowi 4 pędników w wehikule czteropędnikowym typu T9. Średnica kulistej obudowy pędnika głównego UFO (i magnokraftu) typu K9 wynosi  $DM = 18.28$  metrów, natomiast średnica kulistej obudowy każdego z jego  $n = 32$  pędników bocznych wynosi  $DS = 5.76$  metrów. Statek ten posiada 4 masywne nogi opuszczane w dół za pośrednictwem mechanizmu podobnego do naszych dźwigów. Stosunek  $K = D/H$  jego (największej) średnicy gabarytowej  $D$  do (najwyższej) wysokości gabarytowej  $H$  wynosi  $K = 9$ . Cechą unikalną dla UFO (i magnokraftu) typu K9 jest, że około połowy jego kopuły górnej jest jakby odcięte zabudowaną nad kabinami załogi przestrzenią napędową. Wygląd boczny magnokraftu typu K9 zilustrowany został na rysunku **R\_1\_B4.7**.

Czarno-biała fotografia pojedynczego UFO typu K9 sfotografowanego z boku w świetle dziennym, pokazana została na zdjęciu **Z\_1\_B4.7**. Zdjęcie to udało się uchwycić zwykle charakterystyczny dla UFO tego typu, jakby "płaski" dach kabiny załogi w centrum którego wystaje półkulista (srebrzysta) obudowa pędnika głównego. Płaskość tego dachu wynika z faktu, że w silnym polu magnetycznym tego statku osłaniająca ten dach przezroczysta kopuła niemal zupełnie znika z widoku. Relatywnie dobrze widoczny jest też wydłużony kształt boczny wehikułu UFO typu K9. Jak z niego widać wehikuł ten jest bardzo podobny do magnokraftu typu K9 pokazanego na rysunku **R\_1\_B4.7**. Zdjęcie to zaczerpnięte zostało z Internetu, gdzie w listopadzie 2000 roku wystawione ono było pod adresem <http://galactic-server.com/torealf/ufo.html>, gdzie nosiło ono nazwę "ufo\_1011.jpg".

Ogromnie interesującą, kolorową fotografię UFO typu K9 lecącego w trybie bijącym swego pola magnetycznego, pokazano na zdjęciu **Z\_2\_B4.7**. Fotografia ta udało się uchwycić wehikuł UFO typu K9 lecący nocą w pozycji wiszącej, czyli w pozycji w jakiej płaska podstawa wehikułu skierowana jest w górę, natomiast kopuła górna z widocznym pędnikiem głównym skierowana jest w dół ku fotografującemu. Z dotychczasowych badań już nam jest dobrze wiadomo, że nocami UFO typowo lata w pozycji wiszącej, ponieważ wówczas kabina załogi skierowana jest ku ziemi, co załogę UFO umożliwia znacznie lepsze warunki obserwacji otoczenia przez przezroczyste ścianki wehikułu. Dzięki lotowi w owej pozycji wiszącej z polem bijącym a nie wirującym, a także dzięki uchwyceniu UFO ze zdjęcia z kierunku prostopadłego do jego największej średnicy, doskonale widoczne stały się proporcje wymiarowe wszelkich istotnych szczegółów zarysu powierzchni górnej owego UFO. I tak w centrum UFO dokładnie widoczna jest kulista obudowa pędnika głównego. Wymiary owego pędnika można więc dokładnie określić z jego



Fot. **Z-1-B4.7**: Zdjęcie UFO typu K9 z boku dniem.  
(Źródło: <http://galactic-server.com/torealf/ufo.html>.)



Fot. **Z-2-B4.7**: Wiszące UFO K9 od dołu nocą (bijący).

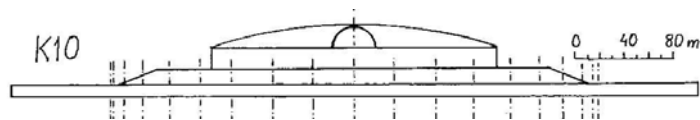
proporcji wymiarowych w stosunku do całego tego UFO (odnotuj, że UFO typu K9 posiada następujące wymiary gabarytowe: średnica gabarytowa  $D = 280.88$  metrów, oraz wysokość gabarytowa  $H = 31.21$  metrów; omawiane zdjęcie zdołało więc uchwycić wehikuł UFO o aż tak ogromnych wymiarach). W kierunku na godzinę 4 zdjęcie ukazuje też krawędź kopuły górnej tego UFO, zaś w kierunku na godzinę 12 widoczna jest krawędź kołnierza uzupełniającego. Poszczególne elementy owego korpusu UFO są dlatego tak doskonale widoczne, że napęd tego UFO działa w trybie bijącym (t.j. w trybie w jakim jego pulsujące pole magnetyczne pozostaje nieruchome, czyli wcale nie wiruje, a stąd jakie nie formuje ani wiru plazmowego, ani zjawiska soczewki magnetycznej które utrudniałyby i wypaczały widoczność szczegółów tego wehikułu). Pomiędzy godzinami 3 i 6, zdjęcie ujawnia dosyć wyraźnie widoczne smugi powietrza zjonizowanego wzdłuż stacjonarnych obwodów magnetycznych od poszczególnych pędników bocznych tego wehikułu. Jak się okazuje, pomiędzy godzinami 3 i 6 naliczyć się daje aż 8 takich wyraźnych smug, oddalonych nawzajem od siebie w równych odstępach. Na przekór więc, że na pozostałym obwodzie tego UFO, owe smugi od pędników bocznych nie są już tak dobrze widoczne, wiedząc że wehikuł ten ujawnił posiadanie 8 pędników na ćwiartce swego obwodu, wyliczyć się łatwo daje, że całkowita liczba pędników bocznych owego UFO jest równa  $n=32$ . To zaś zdecydowanie potwierdza, że owo UFO było typu K9. Zdjęcie ujawnia także, że nie wszystkie pędniki boczne tego UFO produkują taki sam wydatek magnetyczny, a że na kierunku wokół godziny 3 znajdują się dwa pędniki boczne, jakie produkują znacznie wyższy wydatek od innych. Owe dwa pędniki boczne, w tym UFO najwidoczniej wypełniają więc funkcję stabilizatorów momentu obrotowego i momentu wychyłowego, czyli taką samą funkcję jak ta wypełniana przez śmigiełko na ogonie helikoptera. To właśnie takie stabilizacyjne pędniki boczne o większym wydatku od innych produkują owe charakterystyczne "ogonki", jakie odchodzą od kręgów zbożowych ukazanych na zdjęciach Z\_1\_B5.6 oraz Z\_4\_B5.6.

Fotografie wehikułu UFO typu K9 (a także typu K10) są wykonywane dosyć rzadko. Wygląda więc na to że owe ogromne UFO w swych lotach ponad ziemią niemal zawsze używają jakiegoś sposobu ukrywania się przed ludźmi - np. poprzez otaczanie się tzw. "soczewką magnetyczną".

#### B4.8. Typ K10

Typ K10 jest największym z typów dyskoidalnych UFO (i magnokraftów) jakie wchodzą w skład standardowego wyposażenia sił okupacyjnych Ziemi. Aby dać jakieś pojęcie o jego ogromie, to posiada on

tak dużą średnicę (ponad pół kilometra), że jest w stanie całkowicie przykryć sporą wieś czy nawet mniejsze miasteczko. Dokładna średnica gabarytowa UFO (i magnokraftu) typu K10 wynosi  $D = 561.76$  metrów. Z kolei wysokość gabarytowa UFO (i magnokraftu) typu K10 wnosi  $H = 56.18$  metrów. Jego stała załoga składa się z 10 istot. Z dotychczasowego rozeznania wynika że UFO typu K10 używane jest jako statek flagowy każdej flotyli UFO, na którym rezyduje przywódca danej flotyli. Prawdopodobnie pełni on również funkcję jakby magazynu czy przetwórci materiałów genetycznych (spermy i owule) zrabowanych przez UFOautów od ludzi. Na wehikułach tego typu znajdują się bowiem ogromne hale całe wypełnione regałami z próbkami zawierające ludzkie płody w różnych stadiach rozwoju. Wyliczenia dokonane zgodnie z Teorią Magnokraftu stwierdzają, że ten typ statku posiada  $n = 4(K - 1) = 36$  pędników bocznych, jakich centra rozstawione są w równych od siebie odległościach na obwodzie okręgu o średnicy nominalnej  $d = 397.22$  metrów (owa średnica nominalna  $d = 397.22$  metrów jest więc średnicą okręgu przebiegającego przez środki wypaleń jakie pędniki tego wehikułu pozostawiają na ziemi w przypadku kiedy podczas



Rys. R-1-B4.8: Wygląd boczny magnokraftu typu K10.  
(Źródło: monografia [1/4], rys. F19b\_K10.)

lądowania niemal dotknie on powierzchni ziemi swą podłogą; niestety z powodu ogromu tych lądowisk, aby je wypatrzyć konieczne jest oglądanie ziemi z pokładu samolotu). Rozstaw co dziewiątego z pędników bocznych w tym typie odpowiada rozstawowi 4 pędników w wehikule czteropędnikowym typu T10. Średnica pędnika głównego UFO (i magnokraftu) typu K10 wynosi  $D_M = 32.91$  metrów, natomiast średnica każdego z jego  $n = 36$  pędników bocznych wynosi  $D_S = 9.97$  metrów. Statek ten posiada 3 nogi. Jednak na ziemi niemal nigdy on nie ląduje, chociaż może zawisać nisko nad powierzchnią gruntu. Stosunek  $K = D/H$  jego (największej) średnicy gabarytowej  $D$  do (najwyższej) wysokości gabarytowej  $H$  wynosi  $K = 10$ . Cechą unikalną dla UFO (i magnokraftu) typu K10 jest, że pole magnetyczne wytwarzane przez jego pędnik główny posiada tak ogromną koncentrację, że formuje ono efekt soczewki magnetycznej w niemal każdym trybie pracy. Dlatego też UFO typu K10 niemal nigdy nie ukazują swojej kopuły górnej, bowiem kopuła ta rozplywa się z widoku pod działaniem owej soczewki magnetycznej. Dlatego wehikuł taki oglądany od góry ujawnia w swym centrum jakby rodzaj płaskiej tarczy w środku której widoczna jest półkulista kopułka jego pędnika głównego. Wygląd boczny magnokraftu typu K10 zilustrowany został na rysunku **R\_1\_B4.8**.

UFO typu K10 pokazywane są również na zdjęciach opublikowanych w monografii [1/4]. Ich najdoskonalszy przykład zawiera tam rysunek P6.

#### B5. Latające konfiguracje sprzęgnięte z dyskoidalnych UFO

Jak to wyjaśnia Teoria Magnokraftu, jednym z najważniejszych atrybutów pędników magnetycznych (t.j. pędników które używane są dla napędu UFO i magnokraftów), jest że pozwalają one na łatwe i całkowite sterowanie wytwarzanym przez nie wydatkiem magnetycznym, zorientowaniem biegunów magnetycznych, oraz kierunkiem w jaki wydatek ten jest odprowadzany. Stąd, niezależnie od ich funkcji napędowych, pędniki te mogą także być użyte jako urządzenia sprzęgające, umożliwiając w ten sposób na łatwe dołączanie jednego wehikułu do innego bez widocznego zakłócania możliwości lotnych któregośkolwiek z nich. Siły jakie łączą razem sprzęgane magnokrafty formowane są poprzez magnetyczne oddziaływania ich pędników zbliżonych do siebie w efekcie łączenia. Taki łatwy sposób łączenia ze sobą kilku UFO (lub magnokraftów) w latające konfiguracje, w powiązaniu z licznymi zaletami jakich łączenie to jest źródłem, powoduje że sprzęganie tych wehikułów razem musi być powszechnie praktykowane. Stąd obserwatorzy tych statków przy jednej okazji będą mogli zobaczyć je jako pojedyncze wehikuły o kształcie odwróconego spodka, podczas gdy przy innej okazji mogą odnotować je jako kule, cygara, platformy, krzyże, oraz setki innych możliwych kształtów które mogą zostać stworzone z kilku UFO lub magnokraftów sprzężonych ze sobą razem.

Zestawienie najważniejszych korzyści wynikających ze sprzęgania ze sobą wehikułów magnokrafto-podobnych (np. UFO) opisane jest w podrozdziale F3 monografii [1/4]. Ów podrozdział F3 dostarcza również dalszych precyzyjnych opisów poszczególnych konfiguracji, jakie z braku miejsca nie objęte są treścią tego traktatu (włączając to zaprezentowane w podrozdziale F3.2 monografii [1/4] opisy jakie dokładnie wyjaśniają sposób i procedurę z użyciem której magnokrafty lub UFO są w stanie delikatnie sprzęgać i rozłączać się w locie bez ulegnięcia wzajemnemu roztrzaskaniu się o siebie).

Istnieją trzy czynniki jakie wyznaczają kształt i własności wynikowej konfiguracji latającej UFO (lub magnokraftów) otrzymanej w wyniku sprzęgnięcia ze sobą kilku pojedynczych takich statków. Są to:

(a) Rodzaj pędników w łączonych statkach jakie konfrontują się wzajemnie lub oddziałują ze sobą. Wyróżnić tutaj możemy trzy odmienne kombinacje, t.j.: (1) pędnik główny jednego wehikułu konfrontuje pędnik główny innego wehikułu, (2) pędnik główny konfrontuje pędnik boczny, oraz (3) pędnik boczny konfrontuje pędnik boczny.

(b) Rodzaj magnetycznych oddziaływań jaki występuje pomiędzy każdą parą konfrontujących się pędników z obu wehikułów, t.j. może to być: (1) przyciąganie magnetyczne, lub (2) odpychanie magnetyczne.

(c) Rodzaj kontaktu jaki następuje pomiędzy powłokami obu łączonych ze sobą wehikułów. Kontakt ten może być jednym z następujących: (1) trwały (np. wypukłość jednego statku wnika we wklęsłość innego, lub płaska powierzchnia (podłoga) jednego statku styka się z płaską powierzchnią innego), (2) chwiejny (np. dwie wypukłe półkule stykają się ze sobą w jednym punkcie), oraz (3) bezkontaktowy (t.j. nie występuje wcale fizyczne dotykanie jednego statku przez drugi/następny statek).

Sposób w jaki powyższe trzy czynniki zestawione są ze sobą kategoryzuje daną konfigurację latającą do odpowiedniej klasy. Wyróżnić się daje aż sześć podstawowych klas odmiennych połączeń magnokraftów otrzymywanych poprzez różne sposoby na jakie wehikuły te sprzęgane są ze sobą. Opisy każdej z tych klas zaprezentowane zostaną w odrębnym podrozdziale, począwszy od fizycznych kompleksów latających jakie omówione zostaną jako następne.

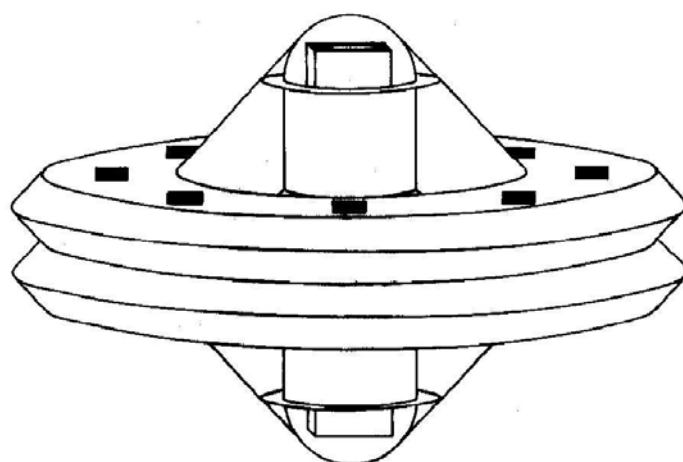
### B5.1. Fizyczne kompleksy latające

Fizyczne kompleksy latające są to najprostsze fizyczne (stykowe) połączenia magnokraftów i UFO umożliwiające ich załogom bezpośrednio przechodzenie z pokładu jednego statku na drugi. Stąd w praktyce stosowane one będą i widywane najczęściej. Otrzymywane są one gdy w łączonych wehikułach: (a) pędnik główny zawsze konfrontuje inny pędnik główny, zaś pędniki boczne zawsze konfrontują inne pędniki boczne, (b) wszystkie pędniki formują wyłącznie oddziaływania przyciągające, oraz (c) sposób połączenia zapewnia kontakt trwały.

Praktycznie, w zależności od tego jakimi powierzchniami przylegają do siebie łączone wehikuły, oraz jakiego są one typu, istnieje możliwość formowania niezliczonej liczby najróżniejszych kompleksów fizycznych. Trzy najbardziej powszechne z nich obejmują "kuliste kompleksy latające", "latające cygara", oraz "latające choinki". Omówmy teraz każdy z nich w odrębnym podrozdziale.

#### B5.1.1. Kulisty kompleks latający

Kulisty kompleks latający jest otrzymywany kiedy dwa UFO lub magnokrafty tego samego typu łączą się ze sobą za pośrednictwem swoich podłóg. Nazwa tego kompleksu wywodzi się z jego kształtu który z grubsza przypomina kulę (kształt szczególnie odnotowywalny w trybie wiru magnetycznego - jak to pokazano na zdjęciu Z\_2\_B5.1.1). Dokładnie w połowie wysokości tej kuli wyróżnić się daje rodzaj podwójnego kołnierza jaki przepasuje poziomo wynikową konfigurację. Rysunek R\_1\_B5.1.1 pokazuje zewnętrzny widok boczny kompleksu kulistego magnetycznie sprzęgniętego z dwóch magnokraftów typu K3.



Rys. R-1-B5.1.1: **Kulisty kompleks sprzęgnięty z dwóch magnokraftów K3.** (Źródło: monografia [1/4], rys. F1b.)

Każdy kompleks kulisty zawiera galaretowatą substancję hydrauliczną (A) popularnie zwaną "anielskie włosy". Substancja ta wypełnia przestrzeń pomiędzy oboma wehikułami.



Neutralizuje ona napór przyciągający jaki działa na powłoki obu statków. Napór ten wywodzi się z magnetycznego przyciągania występującego pomiędzy pędnikami głównymi (M) obu wehikułów, zwróconymi do siebie przeciwstawnymi biegunami magnetycznymi (N do S i vice versa). Funkcja tej substancji jest podobna do działania białka w jajku które zabezpiecza cienką skorupkę przed zgnieceniem przez równomierny nacisk wywierany nawet przez najsilniejszego atletę (czytelnicy zapewne znają doświadczenie na temat niemożności zgniecenia jajka pomiędzy równomiernie naciskającymi je dłońmi). W momencie gdy kulisty kompleks latający UFO zostaje rozłączony, ogromne bryły anielskich włosów uwalniane są z utrzymujących je między sobą wehikułów, opadając na ziemię i pokrywając drzewa w sposób przypominający dekorację choinkową o tej samej nazwie. Zauważyć przy tym warto, że rozłączanie kompleksów uformowanych z kolejnych typów UFO i magnokraftów musi uwalniać narastającą kumulacyjnie objętość tej substancji. Objętość anielskich włosów uwalnianych przez każdy z kolejnych typów magnokraftów może zostać wyliczona na podstawie danych o poszczególnych typach zestawionych w podrozdziałach B4.1 do B4.8. Już dla kompleksu kulistego uformowanego z najmniejszych UFO i magnokraftów typu K3 objętość ta przekracza 1 m<sup>3</sup>.

Przykład wyglądu bocznego kulistego UFO sprzęgniętego z dwóch wehikułów typu K5, sfotografowanego we dzień w trybie bijącym pokazany został na kolorowym zdjęciu **Z\_1\_B5.1.1**. Zdjęcie to pokazuje niemal tak samo dokładnie wygląd górnego jak i dolnego wehikułu tego kompleksu. Na górnym wehikule daje się nawet odróżnić linia obrzeża kabiny załogi, oraz linia kołnierza uzupełniającego. Pobliski samolot odrzutowy daje bardzo dobre pojęcie o wymiarach tego UFO. Zdjęcie to zaczerpnięte zostało z Internetu, gdzie w listopadzie 2000 roku wystawione ono było pod adresem <http://galactic-server.com/torealf/ufo.html>, gdzie nosiło ono nazwę "ufo\_1191.jpg".



Fot. **Z-1-B5.1.1**: Kuliste UFO typu K5 z boku dniem.  
(Źródło: <http://galactic-server.com/torealf/ufo.html>.)

Przykład wyglądu kulistego UFO sprzęgniętego z dwóch wehikułów typu K4, sfotografowanego w nocy w trybie wiru magnetycznego pokazany został na zdjęciu **Z\_2\_B5.1.1**. Zdjęcie to udało się uchwycić relatywnie dobrze symetryczny wygląd kulistego kompleksu UFO, w którym kompleks taki posiada ten sam kształt zarówno od strony górnej jak i od dolnej. Jak ze zdjęcia tego widać, wir plazmowy owych wehikułów emituje silne jarzenie o odcieniu czerwonawym. Zdjęcie **Z\_2\_B5.1.1** zaczerpnięte zostało z Internetu, gdzie w październiku 2000 roku wystawione było pod adresem <http://www.ids.net.pl/~nole/pictures.html>, nosząc tam symbol 129.jpg, oraz pod adresem <http://www.artbell.com/ufos2.html>. Powiększenie samego wehikułu UFO ujętego na zdjęciu **Z\_2\_B5.1.1** pokazane zostało na powiększeniu **P\_2\_B5.1.1**.



Fot. **Z-2-B5.1.1**: Kuliste UFO typu K4 z boku nocą.  
(Źródło: <http://www.ids.net.pl/~nole/pictures.html>.)

Historia zdjęcia **Z\_2\_B5.1.1** opisana została pod adresem internetowym <http://www.artbell.com/ufos2.html>. Oto ona. Zdjęcie to wykonane zostało w 1994 roku przez

niejakiego Carlos'a Diaz, niedaleko jego domu w Tepetzlan, Meksyk. W opisie tym Carlos twierdzi że ma nieustanny kontakt z pozaziemską rasą przez ponad 17 lat, oraz powtarza propagandę jaką owa rasa go karmi. Oto co na temat jego kontaktów i powyższego zdjęcia napisane zostało po angielsku na owej stronie internetowej, cytuję: "This amazingly clear photo of a red and gold 'Plasma Craft' was taken by Carlos Diaz in 1994, near his home in Tepetzlan, Mexico. Carlos claims to have had contacts with this race of ETs for over 17 years. Carlos has never been told what they are called or where they are from, but on his contact trips he goes aboard the craft and they take him inside the Earth. Here hi claims to see great 'Halls of Remembrance' filled with flora, fauna, music, and samples of all life forms on the surface. These will be used to reproduce the world, as they fear, Mankind destroys the surface of the planet."

Taki sam kompleks kulisty dwóch UFO typu K4, tyle że tym razem sfotografowany we dnie i w trybie bijącym kiedy jego powierzchnia jest relatywnie dobrze widoczna, pokazany został na zdjęciu **Z\_3\_B5.1.1**. Zdjęcie to zdołało uchwycić kilka charakterystycznych szczegółów. Przykładowo ujawnia ono charakterystyczny dla wehikułów UFO typu K4 bardzo rozwarty kąt kabiny załogi. Ponadto pokazuje ono podwójny kołnierz boczny jaki zawsze otacza kompleks kulisty wehikułów tego typu, a jaki wynika ze złożenia razem dwóch soczewkowatych kołnierzy obu przywierających do siebie UFO. Od strony górnej wehikuł jest dobrze oświetlony, wyraźnie więc też widać srebrzyście błyszczącą powierzchnię kabiny załogi. Zdjęcie **Z\_3\_B5.1.1** zaczerpnięte zostało z Internetu, gdzie w listopadzie 2000 roku wystawione było pod adresem <http://galactic-server.com/torealf/ufo.html>. Powiększenie samego wehikułu UFO ujętego na zdjęciu **Z\_2\_B5.1.1** pokazane zostało na powiększeniu **P\_3\_B5.1.1**.



Fot. **Z-3-B5.1.1**: Kuliste UFO typu K4 dniem z boku. (Źródło: <http://galactic-server.com/torealf/ufo.html>.)

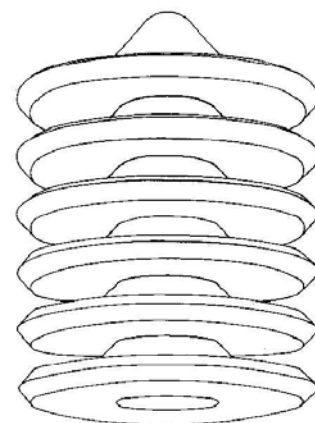
W szczególnych okolicznościach kompleksy kuliste formować również mogą warstwowe depozyty magnetycznie wypalanej suchej masy organicznej, jakie piszący ten traktat nazywa "węglem warstwowym" (przykłady depozytów tego "węgla warstwowego" pokazano w części (C) rysunku P9 z monografii [1/4], a także na totalizycznej stronie internetowej o nazwie "evidence\_pl.htm"). Taki węgiel warstwowy przywiera najsilniej do wylotu (N) z pędnika głównego (M) - do którego masa organizmowa jest zasysana przez cyrkulującą "przeciw-materię". (Jak owa "przeciw-materia" jest wprawiana w ruch przez pędniki UFO wyjaśnia to dokładnie podrozdział H5.2 z tomu 4 monografii [1/4], [1/5], lub [8/2].)

Dokładniejsze opisy kompleksów kulistych oraz substancji jakie z nimi się wiążą, t.j. "anielskich włosów" i "węgla warstwowego", przytoczono w podrozdziałach F3.1.1, F3.3, H9.1, oraz O5.4 z monografii [1/4].

Kuliste kompleksy latające UFO pokazywane są również na zdjęciach opublikowanych w monografii [1/4]. Ich najdoskonalszy przykład zawiera tam rysunek P9. Dalsze ich przykłady w monografii [1/4] pokazane są na fotografiach z rysunków P23, P26 i P28.

### B5.1.2. Cygaro

Cygaro posobne jest formowane poprzez nałożenie wklęsłej podstawy jednego UFO (lub magnokraftu) na wypukłą kopułę innego, itp. Wynikowy kompleks przypomina stos talerzy w kuchni, ułożonych jeden na wierzchołku drugiego. Wygląd boczny cygara posobnego sprzęgniętego z 6 magnokraftów typu K3 pokazano na rysunku **R\_1\_B5.1.2**. Konfrontujące się wyloty pędników bocznych w tym kompleksie muszą być połączone ze sobą przez kolumny wysoko-skocentrowanego pola magnetycznego które wyglądają jak czarne belki (opisy optycznych form pola magnetycznego nazywane przez piszącego ten traktat "czarnymi belkami" przytoczone są w podrozdziale F10.4 monografii [1/4] oraz w podrozdziale B7.3 niniejszego traktatu). Z tego powodu, kiedy powłoki takich latających cygar przesterowane są na całkowitą przezroczystość, oraz gdy kompleks taki leci w trybie bijącym (t.j. gdy jego pole magnetyczne "tętni" jak ludzkie serce), dla zewnętrznego obserwatora patrzącego na wehikuły z boku wyglądałyby one jak rodzaj lśniącej drabiny.



**Rys. R-1-B5.1.2:** Cygaro z 6 magnokraftów typu K3. (Źródło: monografia [1/4], rys. F1c.)

Niezależnie od "cygar posobnych", UFO i magnokrafty tych samych typów formować także mogą tzw. "cygara przeciwsobne". Cygara przeciwsobne zostają uformowane kiedy następne wehikuły dołączone zostają do obu końców kompleksu kulistego, albo kiedy dwa cygara posobne sprzęgają się ze sobą w rodzaj jakby kompleksu kulistego. Cygara przeciwsobne, podobnie jak kompleksy kuliste, także posiadają przestrzeń w środku jaka wypełniona musi zostać anielskimi włosami. W pozostałych szczegółach przypominają one cygara posobne.

Ilustracyjny wybór zdjęć cygaro-kształtnych kompleksów latających UFO pokazany jest na zdjęciach opublikowanych w rozdziale P z tomu 13 monografii [1/4]. Ich najdoskonalszy przykład zawiera tam rysunek P10.

Przykład wyglądu cygara posobnego UFO sprzęgniętego prawdopodobnie z trzech wehikułów typu K5 sfotografowanego w świetle dziennym pokazany został na zdjęciu **Z\_1\_B5.1.2**. Niestety wygląd wehikułów ujętych na tym zdjęciu został znacząco zdeformowany działaniem silnej "soczewki magnetycznej". Jak więc można odnotować pokazane na tym zdjęciu wehikuły UFO posiadają nieproporcjonalnie wyolbrzymioną kabinę załogi w stosunku do ich średnicy - a więc ujawniają działanie soczewki magnetycznej podobne do tego udokumentowane na zdjęciu Z\_1\_B1.1. Zdjęcie Z\_1\_B5.1.2 zaczerpnięte zostało z Internetu, gdzie w październiku 2000 roku wystawione było pod adresem <http://www.ids.net.pl/~nole/pictures.html>, nosząc tam symbol 114.jpg. Powiększenie samego wehikułu UFO ujętego na zdjęciu Z\_1\_B5.1.2 pokazane zostało na powiększeniu P\_1\_B5.1.2.



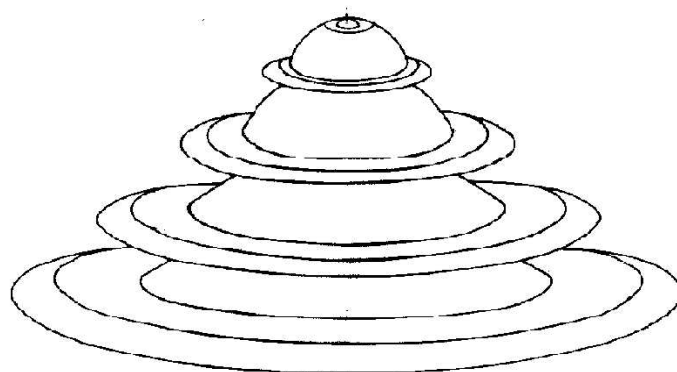
**Fot. Z-1-B5.1.2:** Cygarowate UFO z boku dniem. (Źródło: <http://www.ids.net.pl/~nole/pictures.html> .)

gdzie w październiku 2000 roku wystawione było pod adresem <http://www.ids.net.pl/~nole/pictures.html>, nosząc tam symbol 114.jpg. Powiększenie samego wehikułu UFO ujętego na zdjęciu Z\_1\_B5.1.2 pokazane zostało na powiększeniu P\_1\_B5.1.2.



### B5.1.3. Jodelka

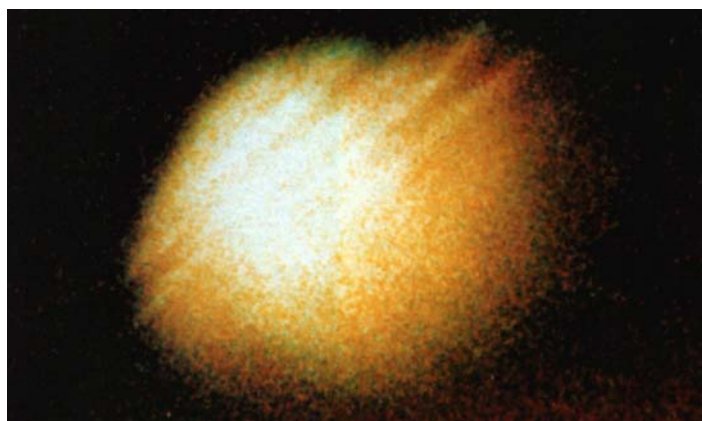
Wszystkie trzy opisane powyżej regularne kompleksy latające (t.j. kompleks kulisty, cygaro posobne i cygaro przeciwsobne) są homogeniczne, t.j. są one uformowane tylko z UFO lub magnokraftów dokładnie tego samego typu (np. albo K3, albo K4, albo ... K10). Istnieje jednakże możliwość aby w taki sam sposób sprzęgać ze sobą szereg magnokraftów należących do odmiennych typów. Jednym z najbardziej reprezentacyjnych kompleksów otrzymywanych w taki właśnie sposób jest kompleks jodełkowy. Nazwa dla tego kompleksu wywodzi się z wzrokowego wrażenia jakie czyni on na obserwatorze zewnętrznym, t.j. obserwator taki widzi je jako kształt który z grubsza przypomina zarys drzewka jodełkowego (patrz rysunek **R\_1\_B5.1.3**).



**Rys. R-1-B5.1.3: Formacja magnokraftów zwana "jodelka".** (Źródło: monografia [1/4], rys. F8.)

Generalnie rzecz biorąc formować można niemal niezliczoną liczbę kompleksów jodełkowych. Przykładowo mogą one być sprzęgane na zasadzie posobnej lub przeciwsobnej (patrz opisy dla odpowiadających im cygar). Jodełki posobne są otrzymywane kiedy szereg UFO lub magnokraftów należących do odmiennych typów łączonych jest ze sobą poprzez nałożenie ich na siebie, t.j. mniejszy wehikuł na grzbiecie większego. Wzajemne położenie wehikułów jest przy tym bardzo podobne do tego położenia w cygarach posobnych - porównaj rysunki R\_1\_B5.1.2 i R\_1\_B5.1.3. Z kolei przeciwsobny kompleks choinkowy otrzymuje się gdy dwie takie choinki posobne łączą się ze sobą swymi podłogami. Wynikowy kompleks jest nieco podobny do cygara przeciwsobnego.

Przykład wyglądu "jodełki" UFO sprzęgniętej z trzech wehikułów (mianowicie jednego UFO typu K4, i dwóch UFO typu K5) sfotografowanej nocą w trybie wiru magnetycznego pokazany został na zdjęciu **Z\_1\_B5.1.3**. Niestety wygląd wehikułów ujętych na tym zdjęciu został przesłonięty wirującą chmurą zjonizowanego powietrza jaka je otacza. Zdjęcie Z\_1\_B5.1.3 oryginalnie opublikowane jest na stronie 155 książki **[1B5.1.3]** pióra John'a and Anne Spencer, "Fifty years of UFOs", Bantam (25 Eccleston Place, London SW1W 9NF), London 1997, ISBN 1-85283-924-4. Wykonane ono zostało w 1991 roku przez niejakiego Art'a Hufford'a nad zatoką Gulf Breeze koło miasteczka Pensacola w północno-zachodniej Florydzie, USA.



**Fot. Z-1-B5.1.3: Jodelka w wirze z UFO K4, K5 i K5.** (Źródło: książka [1B5.1.3], str. 155.)

Liczne inne przykłady konfiguracji jodełkowych wehikułów UFO pokazane zostały w monografii [1/4] - np. patrz tam "rys. P11a" oraz "rys. P11b". Z kolei zdjęcie takiej "jodełki" otoczonej wytworzoną przez siebie chmurą dla zamaskowania swojej obecności pokazana została na totaliztycznej stronie internetowej "cloud\_ufo\_pl.htm".

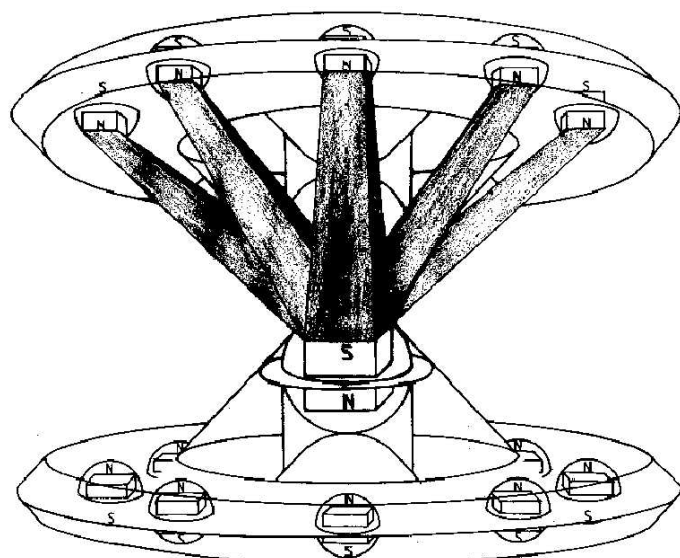
## B5.2. Zestawy semizespolone

Zestawy semizespolone, razem z konfiguracjami niezespolonymi omówionymi w następnym podrozdziale, są to najłatwiejsze do uzyskania i najszybsze do przeprowadzenia połączenia UFO i magnokraftów. Stąd stosowane będą często do prowizorycznego łączenia uprzednio rozdzielonych wehikułów. Przykład zestawu semizespolonego dwóch magnokraftów typu K3 pokazuje rysunek **R\_1\_B5.2**. W tych połączeniach: (a) konfrontowanie pędników jest takie same jak w latających kompleksach (t.j. główny do głównego, boczne do bocznych), (b) oddziaływania przyciągające formowane są jedynie przez pędniki główne, podczas gdy pędniki boczne obu łączonych wehikułów odpychają się od siebie, oraz (c) kontakt pomiędzy wehikułami jest chwiejny (t.j. następuje w punkcie zetknięcia się dwóch wypukłych czaszy kulistych). Na przekór takiemu chwiejnemu kontaktowi, konfiguracja jest trwała i sztywna ponieważ zestawienie ze sobą magnetycznych oddziaływań przyciągających oraz odpychających dostarcza wymaganej stabilności.

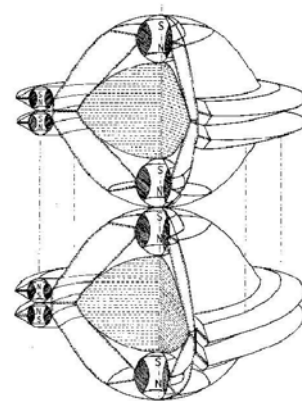
Doskonałym przykładem zestawu semizespolonego są tzw. "koraliki" pokazane na rysunku **R\_2\_B5.2** (zauważ, że rysunek **R\_2\_B5.2** jest znacznie dokładniej objaśniony w monografii [1/4], gdzie oryginalnie był on publikowany jako rysunek F9b). W zestawie tym, zamiast sprzęgać pojedyncze wehikuły, sprzęgane są ze sobą całe kompleksy kuliste. Warto przy tym odnotować, że niemal nie istnieje ograniczenie co do liczby takich sprzęgniętych ze sobą kompleksów kulistych. Stąd tego typu "koraliki" mogą zawierać praktycznie dowolną liczbę odrębnych "paciorków".

Przykład bocznego wyglądu zestawu niezespolonego UFO sprzęgniętego z dwóch kompleksów kulistych UFO, z których górny kompleks kulisty sprzęgnięty jest z UFO typu K5, zaś dolny kompleks kulisty z UFO typu K6, sfotografowanego w świetle dziennym w trybie wiru magnetycznego, pokazany został na zdjęciu **Z\_2\_B5.2**. Zdjęcie to ukazuje rodzaj zestawu semizespolonego jaki można by nazwać "koralikami", ponieważ składa się on z szeregu (w tym przypadku z dwóch) kompleksów kulistych UFO, stykających się ze sobą swoimi wypukłymi kopułami. Przykład podobnego zestawu uformowanego z magnokraftów, tyle że tego samego typu K3 zamiast jak na powyższym zdjęciu dwóch odmiennych typów K5 i K6, pokazano właśnie na rysunku **R\_2\_B5.2**. Zdjęcie **Z\_2\_B5.2** zaczerpnięte zostało z Internetu, gdzie w październiku 2000 roku wystawione było pod adresem <http://galactic-server.com/torealf/ufo.html>, nosząc tam symbol `ufo_mair.jpg`. Powiększenie samego wehikułu UFO ujętego na zdjęciu **Z\_2\_B5.2** pokazane zostało na powiększeniu **P\_2\_B5.2**.

Jeszcze ciekawszy jest wygląd zestawu semizespolonego pokazanego na zdjęciu **Z\_3\_B5.2**. Pokazuje on zestaw jaki również możnaby nazwać "koraliki", ponieważ sprzężony on został aż z pięciu kompleksów kulistych połączonych ze sobą w sposób zilustrowany na rysunku **Z\_2\_B5.2**.



Rys. R-1-B5.2: Zestaw semizespolony dwóch magnokraftów typu K3. (Źródło: monografia [1/4], rys. F6/2 i F9a.)



Rys. R-2-B5.2: "Koraliki" - wycięto ćwiartkę ich objętości aby pokazać ich wnętrze. (Źródło: monografia [1/4], rys. F9b.)

Zawisający na samej górze owego zestawu z rysunku Z\_3\_B5.2, jest kompleks kulisty sprzężony z dwóch UFO typu K6 przylegających do siebie podstawami. Faktyczny wygląd tego kompleksu najlepiej oddany jest na rysunku P9 w monografii [1/4]. Jak wiadomo pojedyncze UFO typu K6 ma średnicę gabarytową  $D = 35.11$  metrów i wysokość gabarytową  $H = 5.85$  metrów. Jego wymiary doskonale więc porównują się do wymiarów nieco bliższych fotografującego budynków jednorodzinnych, także widocznych na owym zdjęciu. Ponadto typ tego wehikułu daje się także sprawdzić poprzez przeanalizowanie jego stosunku  $D/H=6$  dosyć dobrze ujawnianego przez to zdjęcie. Ów duży kompleks kulisty typu K6 pracuje w początkowej fazie wiru magnetycznego, a ściślej na początku fazy przejściowej z soczewki magnetycznej na wir magnetyczny. Dlatego nad pędnikiem głównym górnego z jego wehikułów ciągle widoczne jest działanie soczewki magnetycznej. Działanie to jest bardzo podobne do tego opisanego w monografii [1/4] dla rysunku P26. Pod pędnikiem głównym dolnego z owych dwóch UFO typu K6 podwieszony jest zestaw semizespolony typu "paciorki" złożony z dalszych czterech kompleksów kulistych, tym razem jednak posprzęganych wzajemnie z wehikułów UFO typu K3. Jak wiadomo wymiary gabarytowe UFO typu K3 wynoszą  $D=4.39$  metrów,  $H=1.46$  metrów, co ponownie doskonale porównuje się zarówno do budynków, jak i do owego dużego kompleksu kulistego typu K6. Z owych czterech kompleksów kulistych formujących dolne koraliki, trzy górne kompleksy ciągle pracują w trybie soczewki magnetycznej, a jedynie najniższy pracuje w trybie wiru magnetycznego - czyli tak jak najwyższy kompleks typu K6. Ponieważ trzy górne kompleksy kuliste typu K3 otoczone są soczewką magnetyczną, kiszkowaty wir magnetyczny jaki formowany jest przez najwyższy kompleks kulisty typu K6, oraz przez najniższy kompleks typu K3, obiega ową soczewkę magnetyczną po jej zewnętrznych obwodach. Stąd właśnie bierze się owa stożkowa kolumna ciemnych wirujących obwodów magnetycznych, jakie rozciągają się pomiędzy pędnikiem głównym niższego wehikułu UFO w kompleksie kulistym typu K6, oraz pędnikiem głównym górnego UFO z najniższego kompleksu kulistego typu K3. O fakcie, że we wnętrzu owej kolumny kryją się paciorki uformowane z trzech kompleksów kulistych UFO typu K3, a nie np. cygaro posobne złożone z 18 UFO typu K3, świadczą owe rzadziny i przerwania ciemnego wiru magnetycznego, jakie obiega obrzeża owych paciorków. W wirze tym bowiem wyraźnie widoczne są okresowe niejednorodności, przerwania i rzadziny, jakie świadczą, że od wewnątrz działa na niego pole magnetyczne z poszczególnych składowych owych paciorków.

Powyższe należy uzupełnić informacją, że pomimo niskiej jakości owego zdjęcia, jaka zapewne wynika z jego wykonania poprzez niezbyt czyste okno, zdjęcie to jest definitywnie autentycznym zdjęciem UFO. Jego autentyczność potwierdzają bowiem nie tylko wymiary i proporcje wymiarowe, jakie dokładnie odpowiadają UFO opisanych tutaj typów i konfiguracji, ale także zjawiska jakie są unikalne dla UFO, jakie daje się wyraźnie odnotować na tym zdjęciu, a o jakich istnieniu fałszerze zwykle nie mają



Fot. Z-2-B5.2: Koraliki z UFO K5 i K6 z boku dniem.



Fot. Z-3-B5.2: Koraliki z kulistych UFO: 1xK6 i 4xK3.



pojęcia. Najważniejsze z owych zjawisk, to soczewka magnetyczna wyraźnie widoczna ponad pędnikiem głównym górnego UFO typu K6, oraz wokół obrzeża tego UFO, wir magnetyczny jaki daje się odnotować przy pędnikach bocznych kompleksu typu K6, oraz ów kiskowaty przebieg wirujących obwodów magnetycznych ślizgających się po zewnętrznym obwodzie soczewki magnetycznej trzech centralnych kompleksów kulistych typu K3.>>

Semizespalone zestawy UFO pokazywane są również na zdjęciach opublikowanych w monografii [1/4]. Ich najdoskonalszy przykład zawiera tam fotografia z rysunku P13, która również pokazuje zestaw rodzaju "koraliki" jaki uformowany został z dwóch kompleksów kulistych UFO typu K6.

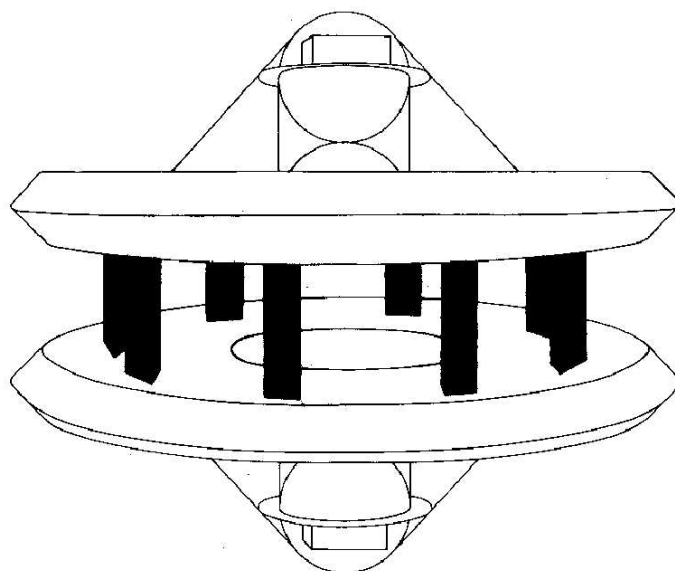
### B5.3. Zestawy niezespalone

Zestawy niezespalone formowane są w następujących warunkach: (a) pędniki sprzęganych wehikułów są konfrontowane w taki sam sposób jak w kompleksach fizycznych i konfiguracjach semizespionych, (b) charakter oddziaływań pomiędzy pędnikami jest odwróceniem oddziaływań w konfiguracjach semizespionych, t.j. pędniki główne obu wehikułów odpychają się wzajemnie od siebie, natomiast pędniki boczne przyciągają się wzajemnie, oraz (c) nie istnieje fizyczny kontakt pomiędzy sprzęganymi wehikułami, tak że utrzymują się one oddzielnie w odpowiedniej odległości od siebie. Jednak oddziaływania magnetyczne pomiędzy wehikułami są tak silne i stabilne, że wehikuły utrzymują stabilną i trwałą konfigurację. Zauważ, że w konfiguracjach tych dysze wylotowe z pędników bocznych obu wehikułów muszą być połączone ze sobą przez kolumny wysoko skoncentrowanego pola magnetycznego jakie przechwytuje światło i stąd wygląda jak prostokątne "czarne belki" (patrz podrozdział B7.3).

Przykład zestawu niezespalonego uformowanego z dwóch magnokraftów typu K3 pokazano na rysunku **R\_1\_B5.3**. Owe czarne formy łączące pędniki boczne obu statków to właśnie "czarne belki". Belki te to po prostu słupy niezwykle skoncentrowanego pola magnetycznego jakie przechwytuje padające na nie światło.

Jeden z przykładów zestawu niezespalonego UFO prezentowany już był na zdjęciu Z\_1\_B1.2. Zestaw ten uformowany był z dwóch wehikułów UFO typu K7 - dokładnie jak to wyjaśnione zostało na rysunku objaśniającym R\_1\_B1.2. Niestety soczewka magnetyczna uformowana przez dolne UFO uniemożliwiła tam zobaczenie obu wehikułów. Niemal identyczny zestaw niezespalonego uformowany z dwóch UFO typu K7 pokazany jest na serii zdjęć Paul'a Villa w traktacie tym pokazanych i omówionych w tym traktacie jako zdjęcia Z\_1a\_B7.3 do Z\_1f\_B7.3.

Zestawy niezespalone UFO pokazywane są również na zdjęciach opublikowanych w monografii [1/4]. Ich najdoskonalszy przykład zawiera tam fotografia z rysunku S1, która również pokazuje taki zestaw z UFO typu K7, niemal identyczny do tego pokazanego na fotografiach Z\_1\_B1.2 oraz Z\_1a\_B7.3 do Z\_1f\_B7.3.



**Rys. R-1-B5.3: Zestaw niezespalone uformowany z dwóch magnokraftów typu K3.** (Źródło: monografia [1/4], rys. F28.)

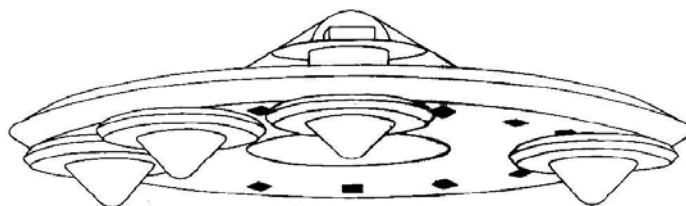
#### B5.4. Układy podwieszono

Układy podwieszono otrzymane są gdy: (a) pędnik główny jednego wehikułu konfrontuje pędnik boczny innego wehikułu, (b) wszystkie oddziaływania międzypędnikowe są przyciąganiem, oraz (c) kontakt jest trwały. Konfiguracje takie są najkorzystniejsze kiedy szereg małych magnokraftów ma zostać uniesionych przez większy statek matkę (patrz rysunek **R\_1\_B5.4**). Jednak użyte też mogą zostać dla połączenia z sobą dwóch wehikułów tego samego typu. W przypadku takiego sprzęgania ze sobą dwóch wehikułów tego samego typu formowany jest układ podwieszono nazywany "zygzakiem" (bardziej szczegółowe wyjaśnienia na temat konfiguracji zwanej "zygzakiem" zawarte są w podrozdziale F3.1.4 monografii [1/4], natomiast ilustracja tej konfiguracji przytoczona jest tam jako rysunek F11b). Układ ten m.in. widoczny jest na zdjęciu Z\_1\_B6 - patrz tam największa i najwyższa konfiguracja wehikułów uformowana z dwóch UFO typu K4 sprzężonych ze sobą właśnie w ową konfigurację zwaną "zygzakiem".

Przykład oddolnego wyglądu układu podwieszono UFO, składającego się ze statku matki typu K7, pod której podstawą podwieszono są trzy wehikuły UFO typu K4, sfotografowanego w nocy w trybie wiru magnetycznego, pokazany został na zdjęciu **Z\_2\_B5.4**. Zdjęcie to potwierdza zasadę wymiarowania UFO, w której każdy wehikuł następnego typu jest 2 razy większy od wehikułu poprzedniego typu. Dlatego też statek matka typu K7 (t.j. ten pod którego podłogą podwieszono zostały owe trzy wehikuły UFO typu K4) posiada 8 razy większą średnicę niż wehikuły typu K4. Zasadę podwieszono takich wehikułów, tyle że zilustrowaną na przykładzie odmiennych typów magnokraftu, pokazano na rysunku R\_1\_B5.4. Zdjęcie Z\_2\_B5.4 zaczerpnięte zostało z Internetu, gdzie w październiku 2000 roku wystawione było pod adresem <http://galactic-server.com/torealf/ufo.html>, nosząc tam symbol belgufo.jpg. Ponadto jego nawet bardziej ostra reprodukcja pokazana też była na stronie internetowej o adresie <http://www.anomalous-images.com/images/RECHAIN.GIF>. Podpis pod tym zdjęciem zawarty na stronie <http://galactic-server.com/torealf/ufo.html> stwierdzał, cytując: prześwietlona odbitka przezrocza z Petit-Rechain, Belgia, kwiecień 1990, copyrights Guy Mossay/Sofarn. Powiększenie samego wehikułu UFO ujętego na zdjęciu Z\_2\_B5.4 pokazane zostało na powiększeniu P\_2\_B5.4.

Układ podwieszono UFO pokazywany jest również na zdjęciu opublikowanym w monografii [1/4]. Jego przykład zawiera tam fotografia z rysunku P14, która pokazuje układ podwieszono ze statkiem matką typu K5, która unosi sześć małych UFO typu K3 podwieszonych pod jej podłogą na wylotach z pędników bocznych.

Układy podwieszono podczas lądowań w zbożu są w stanie "malować" prawdziwe "obrazy". Przykładowo przednia część (czy też „głowa”) "obrazu" ze zdjęcia Z\_4\_B5.6 tego traktatu najwyraźniej została "namalowana" przez właśnie taki układ podwieszono.



Rys. R-1-B5.4: Układ podwieszono magnokraftów ze "statkiem matką" typu K5 oraz trzema "dziećmi" typu K3. (Źródło: monografia [1/4], rys. F6/4 i F11a.)

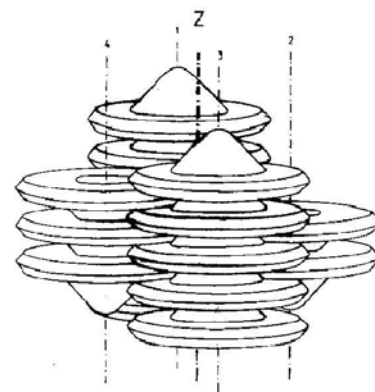


Fot. Z-2-B5.4: Układ 3xK4 podwieszono pod UFO K7.

### B5.5. Latające systemy UFO

Latające systemy umożliwiają łączenie ze sobą ogromnej liczby wehikułów tego samego typu (w niektórych okolicznościach setek czy nawet tysięcy wehikułów). Dla tych: (a) pędnik boczny jednego UFO czy magnokraftu konfrontuje pędnik boczny innego, podczas gdy ich pędniki główne wcale się nie konfrontują, (b) wszystkie oddziaływania międzypędnikowe są przyciągające, oraz (c) kontakt jest trwały. W latających systemach, nie tylko że pojedyncze wehikuły, ale całe latające cygara mogą być sprzęgane ze sobą. W ten sposób całe latające miasteczka mogą być formowane na czas podróży międzygwiazdnych. Latające systemy są konfiguracjami najwyższej rangi dla UFO lub magnokraftów tego samego typu.

Przykład pojedynczej celi latającego systemu uformowanego z 16 magnokraftów typu K3 pokazano na rysunku **R\_1\_B5.5**. Oczywiście owa pojedyncza celi latającego systemu może następnie być połączona z innymi podobnymi celami, formując w ten sposób ogromną latającą strukturę. Przykłady kilku odmiennych jakby całych "latających miasteczek" w jakie formować się mogą latające systemy pokazano na rysunkach F12 i P2 monografii [1/4].

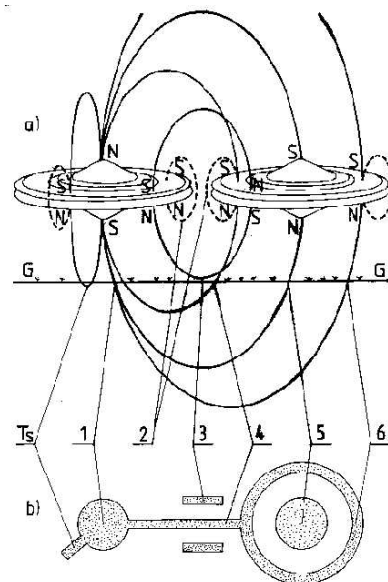


**Rys. R-1-B5.5: Latający system 16 magnokraftów typu K3.** (Źródło: monografia [1/4], rys. F6/5 i F12a.)

### B5.6. Latające klustery UFO

Latające klustery są to po prostu jakby rodzaje całych latających pociągów otrzymanych poprzez bezdotykowe połączenie ze sobą bokami kilku jednostek UFO (przez pojęcie "jednostka UFO" należy rozumieć dowolne wehikuły UFO, t.j. zarówno konfiguracje posprzęganych ze sobą UFO, jak też i pojedyncze wehikuły UFO). W latających klastkach: (a) żadne z pędników którejs jednostki nie konfrontują bezpośrednio pędników innej klastkowanej jednostki (t.j. we wszystkich jednostkach klastkowanych ze sobą, osie magnetyczne ich pędników pozostają równoległe do siebie i pozostają w znacznej wzajemnej odległości), (b) wyrażając to w uproszczeniu, dwie kolejne jednostki które należą do danego klastka przyciągają się do siebie swymi pędnikami głównymi zaś odpychają od siebie swymi pędnikami bocznymi (w praktyce zasady tego przyciągania i odpychania są nieco bardziej złożone - patrz opisy z podrozdziału F3.1.6 monografii [1/4]), oraz (c) nie występuje fizyczny kontakt pomiędzy indywidualnymi jednostkami formującymi dany klastek.

Dosyć złożona zasada na jakiej następuje sprzęganie wehikułów magnokrafto-podobnych w latające klustery opisana jest w podrozdziale F11.3.2 monografii [1/4]. Zasada ta zilustrowana też została na rysunku **R\_1\_B5.6** jaki pokazuje przykład liniowego klastka magnokraftów uformowanego poprzez boczne sprzężenie dwóch kulistych kompleksów latających typu K6 (t.j. dwóch identycznych "jednostek" jakimi są dwa kuliste kompleksy latające typu K6). Istotą tej zasady sprzęgania jest, że dwie sąsiadujące ze sobą jednostki tak przeorientowują swoje obwody magnetyczne, że odpychają się one od siebie

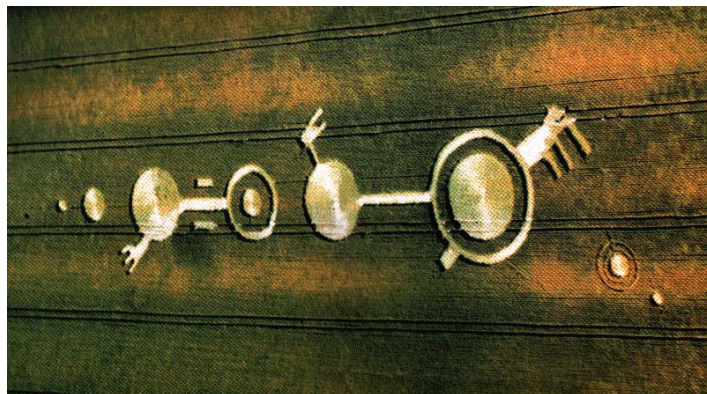


**Rys. R-1-B5.6: Latający klastek - dolna część pokazuje wygląd typowego lądowiska w zbożu.** (Źródło: monografia [1/4], rys. F13.)



obwodami bocznymi, jednak równocześnie przyciągają się one do siebie swoimi obwodami głównymi. Podobnie więc jak w zestawach niezespoleonych, trwałość bezdotykowego połączenia latających klusterów polega na precyzyjnym balansowaniu ze sobą przyciągania się i odpychania ich pędników. Oprócz zasady samego połączenia odrębnych jednostek latających w latające klustery, rysunek R\_1\_B5.6 ilustruje również interesujący kształt śladów jakie w przypadku obniżenia się nad powierzchnię Ziemi taki latający kluster pozostawi po sobie. Podczas ilustrowania tych śladów rysunek R\_1\_B5.6 bardzo dokładnie pokazuje który obwód magnetyczny której jednostki wykonuje jakie ślady.

Jedną z najbardziej interesujących aspektów latających klusterów są ich lądowiska wykonane w zbożu. Złożony układ obwodów magnetycznych tych klusterów, jakie to obwody znajdują się w stanie ruchu wirującego, jednak równocześnie są precyzyjnie sterowane przez komputer pokładowy tych wehikułów, po wylądowaniu w zbożu formuje bardzo obrazkowe lądowiska popularnie zwane "kręgami zbożowymi". Jedną z wielu możliwych form takich lądowisk



Fot. Z-1-B5.6: Krąg zbożowy Alton Barnes, UK, 1990. (Źródło: [1B5.6], str. 154.)

pokazana została na zdjęciu Z\_1\_B5.6. Wartościową cechą lądowiska z tego zdjęcia jest to, że dokładnie ilustruje ono wszelkie elementy obwodów magnetycznych jednej z najprostrzych form latającego klastera, jaka pokazana została już uprzednio na rysunku R\_1\_B5.6 i szczegółowo objaśnione w podrozdziałach F11.3.2 i P2.1 monografii [1/4]. Krąg zbożowy ze zdjęcia Z\_1\_B5.6 oryginalnie opublikowany został na stronie 154 książki [1B5.6] pióra Janet and Colin Bord, "The World of the Unexplained", Blandford A Cassell Imprint (Wellington House, 125 Strand, London WC2R 0BB), London 1998, ISBN 0-7137-2746-2. Pojawił on się w lipcu 1990 roku na Alton Barnes in Wiltschire, UK. Ponadto publikowany on był także na stronie 68 książki [2B5.6] pióra Paul'a Devereux and Peter'a Brookesmith, "UFOs and UFOlogy", Blandford (Cassell plc., Wellington House, 125 Strand, London WC2R 0BB, UK) 1997, ISBN 0-7137-2657-1, HC, 129 pages.

Z uwagi na możliwość formowania latających klusterów o praktycznie dowolnych kształtach i złożoności, a także z powodu możliwości precyzyjnego sterowania przez komputery pokładowe UFO zachowaniem się ich pola magnetycznego, owe lądowiska klusterów UFO w zbożu mogą niekiedy przyjmować ogromnie kompleksowe kształty i reprezentować niemal rodzaje "obrazów namalowanych w zbożu". Złożoność owych obrazów okupujący Ziemi UFOanci ostatnio wykorzystują nawet aby za



Fot. Z-2a-B5.6: Krąg lodu, Północna Szwecja, 1987. (Źródło: książka [1B5.6], str. 158.)

pośrednictwem manipulowanych przez siebie sprzedawczyków wmawiać ludzkości że "kręgi zbożowe" to wcale nie lądowiska UFO, a jakieś inne formy naturalne. Najbardziej bzdurne stwierdzenie jakie dotychczas piszący ten traktat słyszał na temat owych kręgów zbożowych, to że są one "piktogramami" rzekomo formowanymi w "naturalny" sposób przez pole morfogenetyczne kosmicznej siły twórczej (przez które to pojęcie propagujący tą pro-



okupacyjną propagandę zwykle rozumieją rodzaj bezrozumnego boga wypełniającego definicję "subtelного ateizmu" omówionego w podrozdziałach B4 i B5 traktatu [7/2]) która poza czasem i przestrzenią steruje też przybieraniem kształtów przez organizmy, oraz zachowaniem organizmów. Pomijając już sprawę terminologii tego stwierdzenia, jaka reprezentuje tzw. "pseudonaukowy bełkot" za którym ukrywa się najzwyczajniejsza pustota samej idei, rozsiewanie tego typu poglądów jest kolaborantstwem w stosunku do naszego kosmicznego okupanta. Na obecnym etapie zgromadzone już bowiem zostały całe góry dowodów że owe lądowiska UFO nazywane "piktogramami" wcale nie powstają w sposób "naturalny", a są formowane przez klustery UFO lądujące w zbożu. Aczkolwiek formalny (naukowy) dowód że "kręgi zbożowe to lądowiska niewidzialnych UFO w zbożu" zostanie systematycznie zaprezentowany w zaplanowanej do napisania monografii [4] "Lądowiska UFO w Nowej Zelandii", przejrzyjmy tutaj pokrótce jakie klasy dowodów potwierdzają, że ci wszyscy którzy twierdzą inaczej są nie tylko w błędzie, ale wręcz swoją kolaborancką propagandą popierają interesy naszych okupantów z UFO:

1. Sam proces formowania kręgów zbożowych przez UFO został już kilkakrotnie zaobserwowany przez wiarygodnych i rzetelnych świadków naocznych, a także uchwycony na filmie i utrwalony na zdjęciach. Przykładowo opis naocznego świadka, który zaobserwował formowanie takiego kręgu przez niewidzialne UFO, przytoczony został w podrozdziale O5.1 monografii [1/4], zaś jednym z fotograficznych dowodów na wywodzenie się tych kręgów od UFO jest zdjęcie **Z\_2\_B2** które zdołało uchwycić niewidzialny wehikuł UFO jaki prawdopodobnie wykonał pokazany tam "krąg zbożowy".

2. Kręgi zbożowe pojawiają się nie tylko w zbożu, ale także w lodzie pokrywającym wartko płynące rzeki. Przykładowo na zdjęciu **Z\_2a\_B5.6** pokazany został klasyczny "krąg zbożowy" wykonany przez UFO na rzece w Północnej Szwecji w styczniu 1987 roku. Natomiast na zdjęciu **Z\_2b\_B5.6** pokazano "krąg zbożowy" o średnicy 8.5 metrów wykonany w wartko płynącej rzece o nazwie Cranberry Creek, z Tennessville, Pennsylvania, USA, w styczniu 1993 roku (oba zdjęcia, t.j. **Z\_2a\_B5.6** oraz **Z\_2b\_B5.6**, pochodzą ze strony 158 książki [1B5.6]). Warto tutaj nadmienić, że z definicji owo "pole morfogenetyczne" nie byłoby w stanie sterować kształtem przybieranym przez wartki przepływ wody w rzece.

3. Oprócz zboża i lodu, kręgi zbożowe pojawiają się także w ziemi. Przyjmują one wówczas kształt wyrwisk ziemi dokładnie odzwierciedlający przebieg obwodów magnetycznych wehikułów UFO jakich raptowny odlot porwał za sobą glebę formując dane



Fot. **Z-2b-B5.6**: Krąg lodu, Pensylwania, USA, 1993.  
(Źródło: książka [1B5.6], str. 158.)



Fot. **Z-3a-B5.6**: Krąg ziemi, N.Sarepta, Kanada, 1992.  
(Źródło: [1B5.6], str. 159.)



wyrwisko. Przykłady takich wyrwisk w glebie pokazano w częściach (a) i (b) na zdjęć Z\_3\_B5.6, jakie oryginalnie opublikowane były na stronie 159 książki [1B5.6]). Na fotografiach tych, krąg wyrwiskowy pokazany na zdjęciu **Z\_3a\_B5.6** pojawił się na pastwisku koło miejscowości New Sarepta, Alberta, Canada, w 1992 roku, natomiast ukształtowany jak kieliszek do wina krąg wyrwiskowy pokazany na zdjęciu **Z\_3b\_B5.6** pojawił się w maju 1990 roku w Kemerovo, Rosja.

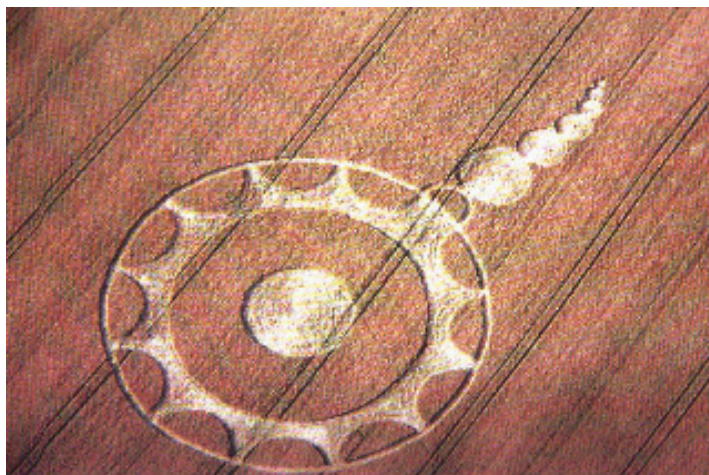
4. Kręgi zbożowe formowane są także w chaszczach. Na zdjęciu "o autorze" pokazanym w ilustracjach do monografii [5/4] na drugim planie widoczny jest "krąg zbożowy" wykonany przez wehikuł UFO typu K8 w chaszczach porastających zbocze góry "Coromandel Peak" koło Wanaka w Nowej Zelandii. Kiedy piszący ten traktat mierzył ów krąg, niektóre z chaszczy (o bardzo twardym drewnie) w jakich był on wypalony, przewyższały jego wzrost, a mimo to napęd wehikułu UFO spopielił je do gołej ziemi. Nie można zaś posądzać pola jakie jakoby m.in. steruje zachowaniem się organizmów, aby spopielało ono na proszek organizmy z jakimi się zetknęło.

5. Wszystkie parametry kręgów zbożowych precyzyjnie zgadzają się z parametrami wehikułów UFO jakie kręgi te uformowały - tyle tylko że nieco zmodyfikowanymi przez szczególne warunki wykonywania danych kręgów. To zaś oznacza, że bez względu na to jak wymyślne ślady nasi okupanci celowo by nie produkowali w naszych zbożach dla zmylenia co przygłupawszych ludzi, ciągle w owych kręgach zbożowych daje się wyróżnić parametry (np. wymiary, liczby pędników, kierunki ruchu wiru magnetycznego) i związki matematyczne jakie bezbłędnie zdradzają że kręgi te uformowane zostały przez UFO. Na czym polegają owe parametry i związki matematyczne, częściowo ujawnione to już było na omawianym już poprzednio zdjęciu Z\_1\_B4. Kolejną doskonałą ilustracją owych parametrów i związków jest zdjęcie **Z\_4\_B5.6**, jakie pochodzi ze strony internetowej <<http://www.anomalous-images/images/UFOS5.JPG>> gdzie w listopadzie 2000 roku wystawione było pod nazwą "sperm".

Przykładowo, po porównaniu średnic poszczególnych kręgów zbożowych ze zdjęcia Z\_4\_B5.6 do rozstawu kół maszyny rozliczej jaka uprawiała pole z tym kręgiem, okazuje się że największy krąg z tego zdjęcia wyłożony został przez wirujące obwody magnetyczne UFO typu K7. (Dane z podrozdziału B4.5 ujawniają, że średnica nominalna UFO typu K7 wynosi  $d = 49.65$  metrów, oraz posiada ono  $n=24$  pędników bocznych.) Wirujący obwód magnetyczny z owych 24 pędników bocznych uformował więc ów największy okrąg z fotografii Z\_4\_B5.6, jakiego średnica zapewne wynosiła około  $d = 49.65$  metrów (niestety, na stronie



Fot. Z-3b-B5.6: Krąg ziemi, Kemerowo, Rosja, 1990. (Źródło: [1B5.6], str. 159.)



Fot. Z-4-B5.6: Krąg zbożowy klasteru z UFO K7. (Źródło: <http://www.anomalous-images/images/UFOS5.JPG>.)



internetowej jaka pokazywała ów krąg zbożowy brakowało jego opisu). Pod co drugim z pędników bocznych owego UFO typu K7 podwieszono było czterokrotnie mniejsze od niego UFO typu K5 - jakiego pole tworzyło odpychającą barierę która uniemożliwiała wykładanie zboża tuż pod owym podwieszonym wehikułem typu K5. W ten sposób uformowane zostało owych 12 półksiężyców niewyłożonego zboża wzdłuż obwodu największego okręgu. Jeden niewielki kompleks kulisty UFO typu K4, tym razem jednak przyciągający pole obwodów bocznych z UFO K7, podwieszony został również pod pędnikiem do którego przyłączony był "ogonek" całego klustera. W końcu sam "ogonek" uformowany został (licząc w kierunku od UFO typu K7) z owego jednego kompleksu kulistego UFO typu K4, jednego UFO typu K5, trzech UFO typu K4, i dwóch UFO typu K3 wykładających zboże pod sobą z odmiennych wysokości zawisania. Aczkolwiek więc wielu sprzedawczyków, ulegając telepatycznym manipulacjom UFOautów, stara się wmówić ludziom, że owe kunsztownie zaprojektowane lądowiska UFO w zbożu to "piktogramy"; faktycznie to kręgi te ciągle zawierają wpisane w siebie parametry i dane techniczne UFO. Stąd przed znawcami przedmiotu nie są one w stanie ukryć, że ciągle pozostają one tylko malowanymi celowo przez UFOautów "obrazami" w zbożu.

Aby dokładniej wyjaśnić na przykładzie ilustracyjnym co piszący ma tutaj na myśli twierdząc, że w kręgi zbożowe wpisane są parametry techniczne wykonywujących je wehikułów UFO, rozważmy hipotetycznie jakąś szatańską cywilizację jaka okupowałaby ludzi i używała dla celów tej okupacji powiedzmy samochodów (samochody te byłyby tak wysoko zaawansowane technicznie, że pozostawałyby niewidzialne dla oczu, jednak pozostawiałyby - jak owe UFO w zbożach - ślady kół po swoim przejeździe). Oczywiście, aby ukrywać przed nami swoją niewidzialną obecność, z chwilą gdy owa hipotetyczna cywilizacja zorientowałaby się, że dokładnie wiemy co ślady ich kół oznaczają, natychmiast zaczęłaby stosować najróżniejsze wybiegi aby nas utrzymać w omamie nieco dłużej. I tak zapewne początkowo hipnotyzowałaby niektórych ludzi aby fałszowali owe ślady i twierdzili, że to oni wyprodukowali wszystkie ślady kół na naszej planecie. Oczywiście po pewnym czasie owe twierdzenia o fałszowaniu śladów przestałyby być skuteczne. W kolejnym wybiegu owa szatańska cywilizacja zapewne zaczęłaby więc celowo wykonywać "skomplikowane malunki" kołami swoich samochodów. W tym celu zaczęłaby zapewne jeździć swoimi samochodami po określonych trajektoriach, formując ze śladów ich kół najróżniejsze "piktogramy", wyglądające jak kwiaty, wzory matematyczne, systemy planetarne, itp. Jednocześnie zaś za pośrednictwem hipnotyzowanych przez siebie sprzedawczyków wmawiałaby pozostałym ludziom, że owe malunki wcale nie są formowane przez zwykłe koła niewidzialnych samochodów, a są "piktogramami" przenoszącymi ważne wiadomości od samego Boga. Oczywiście takie wybiegi i "piktogramy" ponownie zwiodłyby wielu naiwnych, aczkolwiek co racjonalniej myślący badacze szybko mogliby już rozszyfrować, że są one zwyczajną "grą w kulki". Wszakże wszystkie parametry owych "piktogramów" dokładnie zgadzałyby się ze śladami kół pozostawianymi przez owe hipotetyczne niewidzialne samochody, i jedynie czysto powierzchownie różniłyby się one od śladów kół jakie oryginalnie zostałyby już dowiedzione, że pochodzą od owych niewidzialnych pojazdów szatańskiego okupanta.

Jeśli więc z powyższego przykładu czytelnik zrozumiał na czym polega owa szatańska gra naszych kosmicznych okupantów, i dlaczego mozolnie malują oni "piktogramy" w zbożach Anglii, warto teraz przyglądnąć się dokładniej jak wiele zachodu UFOle biorą na siebie aby ciągle utrzymywać nas w ciemności i poddaństwie. Dla uświadomienia sobie ogromu owego zachodu, warto oglądnąć najnowsze "piktogramy", jakie wystawione są po adresie internetowym <<http://www.cropcircleconnector.com>>, a jakie UFO "wymalowały" w zbożach Anglii w 2000 roku. Owe złożone lądowiska UFO w zbożu uświadamiają, że szatański pasożyt kosmiczny nie waha się przed niczym aby utrzymać ludzkość w zniewoleniu. Nic dziwnego że przez całe te tysiąclecia zamęczał on naszą cywilizację i nikt nie był w stanie przejrzeć na oczy aby odkryć co naprawdę jest grane.

Oczywiście nasi pasożyci kosmiczni zwalczają postęp wiedzy o swojej działalności na Ziemi także i na wielu innych frontach. Jednym z takich frontów jest przykładowo, że pasożyci ci ponakładali najróżniejsze legalne ograniczenia "copyright" na zdjęcia najnowszych kręgów zbożowych, oraz upewnili się że istnieje organizacja jaka rezerwuje sobie prawo wyłączności do pokazywania "piktogramów" i energicznie niszczy każdego kto wyłączności tej nie przestrzega. Z tego powodu najnowsze zdjęcia angielskich kręgów zbożowych nie mogą być już upowszechniane tak samo swobodnie jak działo się to dawniej. Z tego też powodu w niniejszym traktacie piszący nie jest w stanie pokazać i dokładnie zinterpretować większej liczby przykładów owych co bardziej złożonych "piktogramów" - wszakże nasi pasożyci nie życzą sobie aby ktoś zdemaskował te "piktogramy" jako lądowiska UFO w zbożu i wytłumaczył na wymownym przykładzie jak dokładnie należy interpretować to co "piktogramy" owe ukrywają.

\* \* \*

W każdej z opisanych powyższej klas sprzęganych ze sobą UFO (i magnokraftów) wyróżnić się dalej daje szczegółowe połączenia jakie różnią się od siebie kształtem, liczbą sprzęgniętych ze sobą statków, ich wzajemnym zorientowaniem, itp. Faktycznie to UFO i magnokrafty mogą formować setki najróżnorodniejszych konfiguracji latających, każda z których jest unikalna i każda będzie wyglądała zupełnie odmiennie niż inne. Ograniczona objętość tego traktatu nie pozwala na zaprezentowanie ich wszystkich. Jednak z kilku przykładów jakie traktat ten prezentuje czytelnik powinien uzyskać dosyć dobry obraz co do niemal nieskończoności zróżnicowania kształtów jakie mogą być formowane poprzez zwykłe łączenie ze sobą szeregu spodko-kształtnych UFO lub magnokraftów. Nic więc dziwnego, że bez znajomości Teorii Magnokraftu dotychczasowi badacze UFO nie mogli się połączyć w owej niezliczonej mnogości kształtów UFO. Wszakże statki te mogą się łączyć w taką liczbę odmiennych konfiguracji, z których na dodatek każda może latać w odmiennym trybie, warunkach, pozycji, itp., że praktycznie trudno byłoby wykonać dwie fotografie UFO na jakich uchwycone zostałyby dokładnie te same kształty.

#### B6. Sfory niezależnych od siebie wehikułów UFO

Z wielu różnych powodów wehikuły UFO nigdy nie latają samotnie. Wszakże jeśli jednemu z nich przytrafi się jakiś wypadek, wówczas inny musi być w pobliżu aby udzielić mu pomocy. Ponadto wehikuły te posiadają bardzo specjalistyczne wyposażenie badawcze i przetwórcze, stąd większość zadań wykonywać muszą w zespołach jakie przenoszą wszelką wymaganą aparaturę. Dlatego nawet jeśli nam się zdaje, że widzimy czy fotografujemy pojedynczy wehikuł UFO lecący w samotności, faktycznie wehikuł ten jest tylko jednym z kilku UFO należących do tej samej sfory, jakie pozostają ze sobą w nieustannej łączności. Na wielu zresztą fotografiach UFO, niezależnie od wehikułu widocznego na pierwszym planie, po uważnym przyglądnięciu się odnotować też można dalsze mniejsze wehikuły utrwalone jako małe kropki. W wielu też przypadkach całe takie sfory UFO raportowane są przez świadków, a nawet utrwalane na zdjęciach lub filmach (np. rozważ scenę przelotu sfory UFO pokazaną na filmie "Bliskie spotkania trzeciego stopnia").

Sfor wehikułów UFO nie należy mylić z konfiguracjami sprzęgniętych wehikułów. Wszakże sprzęgnięte UFO są wzajemnie ze sobą więzami magnetycznymi jakie zapewniają sprzężenie siłowe poszczególnych wehikułów składowych. Natomiast sfory są to grupy wehikułów UFO lecących całkowicie niezależnie od siebie, tyle że pozostających w łączności telepatycznej a często i wizualnej. Sfory wehikułów UFO należy też odróżniać od "flotyli UFO". Flotyle UFO są to jednostki organizacyjne w jakie zestawione są siły okupacyjne operujące na Ziemi. Każda flotylla UFO odpowiada jakby pułkowi wojska, t.j. posiada swojego dowódcę, sprzęt, terytorium działania, oraz prowadzi eksploatację podległych jej ludzi w sposób niezależny od innych flotylli.

Przykład wyglądu sfory składającej się z około 6 wehikułów UFO typów K3 i K4 sfotografowanej w świetle dziennym w trybie wiru magnetycznego pokazany został na zdjęciu **Z\_1\_B6**. Zdjęcie to udało się uchwycić kolory emitowane przez chmury plazmy jakie otaczają te wehikuły w trybie wiru magnetycznego. Zdjęcie Z\_1\_B6 zaczerpnięte zostało z Internetu, gdzie w październiku 2000 roku wystawione było pod adresem <http://www.ids.net.pl/~nole/pictures.html>, nosząc tam symbol UFO30.jpg. Powiększenie samego wehikułu UFO ujętego na zdjęciu Z\_1\_B6 pokazane zostało na powiększeniu P\_1\_B6.



Fot. Z-1-B6: Sfora UFO K3 i K4 dniem. (Źródło: <http://www.ids.net.pl/~nole/pictures.html> .)

Przykład kolorowej fotografii innej sfory złożonej z trzech wehikułów UFO, tym razem sfotografowanych w przyciemnionym świetle, pokazany jest na zdjęciu zdjęciu **Z\_2\_B6** które również zaczerpnięte zostało z Internetu, gdzie wystawione było pod adresem <http://galactic-server.com/torealf/ufo.html>,

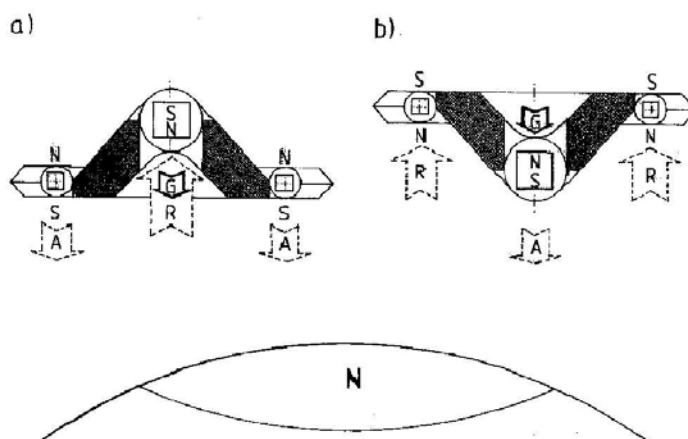
nosząc tam symbol ufo\_591.jpg. Zdjęcie to uchwyciło trzy wehikuły UFO niewielkiego typu (najprawdopodobniej K3), jakie lecą w trybie wiru magnetycznego dającego bardzo silną jonizację powietrza emitującego kolor złotawy.



Fot. Z-2-B6: Sfora trzech UFO w niepełnym świetle. (Źródło: <http://galactic-server.com/torealf/ufo.html> .)

## B7. Czynniki zmieniające wygląd dyskoidalnych UFO

Niezależnie od omawianych już poprzednio czynników jakie powodują zmianę wyglądu sfotografowanego UFO, takich jak typ tych wehikułów, czy latające konfiguracje w jakie cały szereg tych wehikułów może się ze sobą połączyć magnetycznie, istnieje cały zespół cech jakie dodatkowo wypaczają nasze zrozumienie co dokładnie na danym zdjęciu zostało uchwycone. Poszczególne dalsze podrozdziały niniejszego podrozdziału B7 służyły będą systematycznemu omówieniu najważniejszych z tych cech i czynników. Oto one.



Rys. R-1-B7.1: Dwie galternatywne pozycje zajmowane przez magnokrafty podczas lotów: (a) stojąca, (b) wisząca. (Źródło: monografia [1/4], rys. F4.)

### B7.1. Pozycja stojąca i pozycja wisząca

Wehikuły UFO są w stanie latać w dwóch odrębnych pozycjach, nazywanych pozycją wiszącą i pozycją stojącą. Przykłady obu tych pozycji pokazano na rysunku **R\_1\_B7.1**. W pozycji stojącej podłoga wehikułu UFO zwrócona jest ku Ziemi, zaś kopuła górna z pędnikiem głównym i kabiną załogi zwrócona jest ku górze. Natomiast w pozycji wiszącej podłoga wehikułu zwrócona jest ku górze, natomiast ku Ziemi skierowana jest kabina załogi statku oraz jego pędnik główny. Aczkolwiek wehikuły UFO są tak budowane, że ich sufity są przygotowane aby jednocześnie też służyć jako podłogi, zaś podłogi - jako sufity, ciągle pozycja wisząca jest pod kilkoma względami niewygodna dla załogi. Stąd używana jest ona głównie nocami, zaś we dzień tylko w uzasadnionych przypadkach (np. kiedy załoga chce dokładniej przyglądać się jakiemuś obiektowi leżącemu pod statkiem). Dlatego przeważająca większość zdjęć UFO wykonanych w świetle dziennym ukazuje te statki lecące w pozycji stojącej. Natomiast na zdjęciach nocnych przeważająca większość pojedynczych UFO utrwalana zostaje w pozycji wiszącej.

Przykład czarno-białej, dziennej fotografii UFO które leci właśnie w pozycji wiszącej, pokazany został na zdjęciu **Z\_1\_B7.1**. Zaczerpnięte ono zostało z Internetu, gdzie w listopadzie 2000 roku wystawione było pod adresem <http://galactic-server.com/torealf/ufo.html>. Wehikuł UFO ze zdjęcia **Z\_1\_B7.1** jest typu K3. Wehikuł ujęty na owym zdjęciu ukazuje na swoim kołnierzu bocznym dwa relatywnie dobrze widoczne światła systemu SUB opisanego w podrozdziale B7.5. Przy podłodze wehikułu, odchodzący od statku w górę, widoczny jest też zawężający się stożek powietrza zjonizowanego przez wydatek pędnika głównego tego wehikułu. Stożek ten świadczy o dwóch faktach, mianowicie po pierwsze że pole magnetyczne tego UFO lekko wirowało, a po drugie zaś że komora pędnika głównego tego statku pracowała w nasterowaniu z dominacją strumienia wewnętrznego - patrz opis w podrozdziale B7.7.

Na przekór iż pozycja stojąca przeważa w fotografiach UFO, ciągle kilka innych zdjęć z tego traktatu pokazuje te wehikuły w pozycji wiszącej. Przykładem takich dalszych zdjęć z wiszącym UFO jest **Z\_2\_B1.1**.

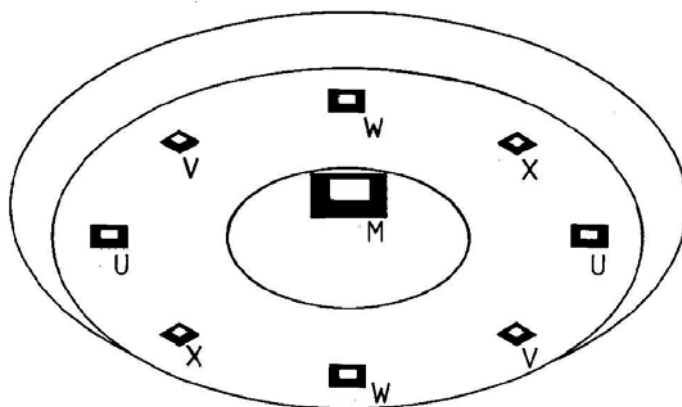


**Fot. Z-1-B7.1: Wiszące UFO typu K3 z światłami SUB.**  
(Źródło: <http://galactic-server.com/torealf/ufo.html>.)

### B7.2. Widzialność pędników UFO

Przemieszczanie się UFO w przestrzeni lub w czasie następuje dzięki ich pędnikom. Pędniki są to urządzenia magnetyczne zamknięte w kulistych obudowach, jakie dostarczają UFO wymaganej mocy napędowej.

Podstawowym urządzeniem z jakiego pędniki te są uformowane jest tzw. "komora oscylacyjna" czyli źródło ogromnie potężnego, pulsującego pola magnetycznego. Każdy z pędników UFO zawiera co najmniej dwie takie



**Rys. R-1-B7.2: Oddolny wygląd magnokraftu typu K3 pokazujący wygląd i rozmieszczenie jego pędników.**  
(Źródło: monografia [1/4], rys. F28a.)

komory oscylacyjne zestawione razem w tzw. "kapsułę dwukomorową" i utrzymywane w kulistej obudowie. Więcej danych na temat pędników magnokraftu (a więc również i pędników UFO) zawarte jest w podrozdziałach F1 i F7 oraz w rozdziale C monografii [1/4].

Przykład wyglądu oddolnego magnokraftu typu K3 jaki pokazuje rozmieszczenie i wygląd pędników tego wehikułu pokazano na rysunku **R\_1\_B7.2**.

Jedno z lepszych ujęć nocnych wehikułu UFO typu K9, jaki ujawnia znaczną większość ze swoich  $n=32$  pędników bocznych, pokazano na zdjęciu **Z\_1\_B7.2**. Zdjęcie to wykonane zostało dnia 26 maja 1988 roku, około godziny 9:30 wieczorem, w Hudson Valley, pomiędzy Southbury i Waterbury, Connecticut, USA. Zdjęcie Z\_1\_B7.2 oryginalnie opublikowane zostało na stronie 114 książki **[1B7.2]** pióra Peter'a Brookesmith, "UFO, the Government Files", Blandford (Cassell plc., Wellington House, 125 Strand, London WC2R OBB, UK) 1996, ISBN 0-7137-2635-0, HC, 176 pages. Agencja rządowa, nazywająca się Federal Aviation Agency,



Fot. Z-1-B7.2: Pędniki UFO typu K9 widzione nocą. (Źródło: [1B7.2] str. 114.)

wyjaśniła owo zdjęcie jako nisko lecący "ultra-lekki" samolot. Faktycznie jednak zdjęcie to ukazuje większość z 32 pędników bocznych istniejących w UFO typu K9. (Aby dokładnie policzyć ile pędników owo UFO posiada, koniecznym jest: podzielenie wehikułu dokładnie na dwie równiutkie połówki, z których jedna połówka musi być wydzielona w obrębie gdzie wszystkie pędniki są dobrze widoczne; policzenie ilości pędników bocznych widocznych w owej pełnej połowie wehikułu wyodrębnionej po dobrze widocznej stronie - co daje wynik 16, a następnie pomnożenie otrzymanej liczby przez 2 aby otrzymać liczbę pędników istniejących w całym owym UFO.) Następnie z podrozdziału B4.7 po owej liczbie pędników poznajemy że na fotografii uchwycone zostało UFO typu K9, którego średnica zewnętrzna wynosi  $D = 280.88$  metrów. Można więc sobie wyobrazić frustrację naocznych widzów którzy na własne oczy widzieli ów kolosalny wehikuł, jednak którym agencja rządowa wmawiała że to co widzieli wcale nie było latającym kolosem, a "ultra-lekkim" samolotem. Czasami w takich przypadkach korci aby zadać pytanie, dlaczego zawsze pozbawieni wzroku czują się najbardziej kompetentni aby instruować widzących co zobaczyli?

Kolejny przykład czarno-białej, nocnej fotografii (niestety bardzo słabej jakości) telekinetycznego UFO typu K3 jakiego konstrukcja w rezultacie telekinetycznego migotania niemal rozplynęła się już w mgłę, jednak jakie ciągle demonstruje jarzące się wyloty czterech pędników bocznych, pokazano na zdjęciu **Z\_2\_B7.2**. Zdjęcie Z\_2\_B7.2 zaczerpnięto z Internetu, gdzie w listopadzie 2000 roku wystawione było pod adresem <http://galactic-server.com/torealf/ufo.html>, nosząc tam symbol ufo\_1101.jpg. Fotografia ta pokazuje UFO w widoku z boku i nieco od góry, dzięki czemu widoczny jest fragment kołnierza bocznego jaki nie kryje się poza kopułą kabiny załogi i w jakim zamontowane są cztery, z ośmiu istniejących, pędniki boczne tego UFO.



Niektóre zdjęcia dyskutowane w innych podrozdziałach niniejszego traktatu również m.in. pokazują pędniki UFO. Do zdjęć takich należą Z\_1\_B2 i Z\_1\_B3.

Fot. Z-2-B7.2: Pędniki telekinetycznego UFO typu K3. (Źródło: <http://galactic-server.com/torealf/ufo.html>.)



Doskonale fotografie UFO ukazujące pędniki tych wehikułów publikowane są także w monografii [1/4]. Ich najlepszy przykład zawiera tam fotografia z rysunku P15, która pokazuje niemal wszystkie pędniki w UFO typu K3. Dalsze przykłady takich fotografii w monografii [1/4] pokazane są na rysunkach P16 i P24b.

### B7.3. "Czarne belki"

Pod często wspomnianą w tym traktacie nazwą "czarnych belek" należy rozumieć rodzaj niezwyklej formy optycznych uformowanych z szybko-pulsującego pola magnetycznego jakie przechwytuje i więzi światło. Pole to zachowuje się dokładnie tak jak znane nam z podręczników optyki formy optyczne nazywane "czarnymi dziurami" (przykładem takiej optycznej czarnej dziury jest dziura w pustej beczce). Czarne belki wyglądają jakby były czarnymi słupami lub kolumnami wykonanymi z jakiegoś twardego materiału i przytwierdzonymi do korpusu UFO w miejscach gdzie wehikuły te posiadają swoje pędniki. Jako takie są one ogromnie mylące dla naziemnych obserwatorów, którzy niemal zawsze biorą je jako takie solidne obiekty wystające z UFO, zasiewając potem konfuzję swoimi stwierdzeniami że widzieli UFO z jakich wystawały jakieś czarne belki lub kolumny, lub twierdząc że widzieli dwa wehikuły pomiędzy którymi znajdowały się "czarne okna" z jakich biło jasne światło. Czarne belki pojawiają się głównie podczas bijącego trybu pracy. Ich wygląd oraz umiejscowienie najlepiej ukazują rysunki R\_1\_B5.2 i R\_1\_B5.3. Dokładniejsze opisy "czarnych belek" zaprezentowano w podrozdziale F10.4 monografii [1/4].

Najlepszym ujęciem wehikułu UFO na jakim relatywnie wyraźnie widoczne są owe "czarne belki" jest zdjęcie **Z\_1a\_B7.3** wykonane przez niejakiego Paul'a Villa. Pochodzi ono z Internetu, gdzie w listopadzie 2000 roku wystawione było pod adresem <http://galactic-server.com/torealf/ufo.html>, nosząc tam symbol ufo\_1231.jpg. Zdjęcie to, razem z pozostałymi zdjęciami Paula Villa pokazanymi w tym traktacie, zreprodukowane jest też m.in. w książce **[1B7.3]** pióra Timothy Good, "Alien Base", Century (Random House UK Limited, 20 Vauxhall Bridge Road, London SW1V 2SA), London 1998, ISBN 07126-7922-7. Powiększenie samego wehikułu UFO ujętego na zdjęciu **Z\_1a\_B7.3** pokazane zostało na powiększeniu **P\_1\_B7.3**.

Zdjęcie **Z\_1a\_B7.3** wykonane zostało jako jedno z serii kilku kolorowych fotografii (autorowi wiadomym jest o istnieniu 6 fotografii z tej serii, które wszystkie przytoczone są w tym traktacie na końcu niniejszego rozdziału B jako zdjęcia **Z\_1a\_B7.3** do **Z\_1f\_B7.3**).



Fot. **Z-1a-B7.3**: UFO K7 z czarnymi belkami (P. Villa).  
(Źródło: <http://galactic-server.com/torealf/ufo.html>.)



Fot. **P-1a-B7.3**: Powiększenie zdjęcia UFO K7 przez P. Villa – ukazujące "czarne belki" łączące wyloty pędników bocznych obu UFO. (Źródło: "Rys. S1(d)" w [1/4].)



Wykonane one zostały przez Paul'a Villa, dnia 16 czerwca 1963 roku, niedaleko miasteczka Peralta, jakieś 15 mil na południe od Albuquerque, New Mexico. Zgodnie z tym co napisane na stronie 242 książki [1B7.3], do miejsca wykonania owych fotografii Paul Villa został telepatycznie "zaproszony" przez samych kosmitów, którzy nakazali mu aby wyjechał swoją ciężarówką w znane mu odludne miejsce. Tam, o godzinie 14:00, Villa zobaczył latający spodek, jakiego średnica oszacowana została przez niego na jakieś 160-170 stóp (1 stopa = około 0.3 metra). Wehikuł celowo "pozował" do zdjęć, zawisając nisko pomiędzy drzewami na różnych odległościach od Paul'a Villa. Zdjęcia wykonane zostały japońskim aparatem Apus, z Rokuoh-sha f4.675 mm obiektywem, na Kodakcolor filmie formatu 120. Dwa ze zdjęć (patrz zdjęcia Z\_1e\_B7.3 i Z\_1f\_B7.3.) pokazują wehikuł UFO jak pochylił się pokazując swoją kopułę górną, co umożliwia nam dokładne oglądnięcie jak właściwie UFO typu K7 wygląda w widoku od góry, oraz przekonanie się, że na zarysie owego wehikułu wyraźnie widać kopułę górną i kołnierz uzupełniający pokazane na rysunku R\_1\_B5.3. Natomiast 4 pokazują wehikuł w widoku bocznym. W 1967 roku, prawa copyright dla zdjęć Paul'a Villa zaczęły być zgłaszane przez UFO International, P.O. Box 552, Detroit, Michigan 48232.

Oczywiście, w tym miejscu czytelnik zapewne zadaje sobie pytanie, jak powyższe "zaproszenie" Paula Villi do wykonania fotografii UFO ma się do opisanego we wstępie niniejszego traktatu brzydkiego zwyczaju UFOautów aby uniemożliwiać ludziom fotografowanie ich wehikułów. Odpowiedź na to pytanie kryje się w wyglądzie wehikułów UFO na zdjęciach Z\_1a\_B7.3 do Z\_1f\_B7.3. Jeśli bowiem ktoś dokładniej przeanalizuje ten wygląd i porówna go z faktycznym wyglądem pojedynczych wehikułów UFO, wówczas okazuje się że zdjęcia Paul'a Villa wprowadzają więcej konfuzji do naszego zrozumienia jak UFO wyglądają, niż pomocy w naszym zrozumieniu tego wyglądu. Do powyższego trzeba dodać, że zdjęcia Paul'a Villa wprowadziły też znaczny rozłam wśród zainteresowanych sprawami UFO, ponieważ wiele z nich okrzykiwanych było przez najróżniejszych sceptyków, a także dowodzonych było przez naukowe autorytety, jako fabrykacje i fotomontaż. Ze zdjęć Paula Villa publikowanych w tym traktacie, najwięcej kontrowersji budzi fotografia oznaczona symbolem Z\_1e\_B7.3. Kontrowersje te wynikają z faktu, że fotografia Z\_1e\_B7.3 uchwyciła gałęzie drzewa najbliższego do UFO, jakie to gałęzie znikają z widoku po wniknięciu w obręb pola magnetycznego UFO. Owo zniknięcie uważane było za dowód fabrykacji tych zdjęć. Jednak w podrozdziale B1.2 niniejszego traktatu znikanie takie zostało wyjaśnione jako efekt działania tzw. "soczewki magnetycznej" formowanej z pola magnetycznego dolnego z obu wehikułów UFO ujętych na tych fotografiach i formujących konfigurację nazywaną zestawem niezespolonym. Sam Paul Villa zniknięcie tych gałęzi tłumaczył jako wynik gwałtownych wibracji w jakie UFO w jakiś nieznany mu sposób wprowadzało gałęzie i liście sąsiadujących z wehikułem drzew.

Warto tu dodać, że istnieją również dalsze serie zdjęć UFO wykonanych przez Paul'a Villa w innych latach, jakich przykład pokazany jest w punkcie (g) z "Fot. Z-1-B7.3". Jednak te inne zdjęcia faktycznie były już fabrykacjami. Ich reprodukcje też zawarte są m.in. we wspomnianej powyżej książce [1B7.3]. Powody upowszechniania tych fabrykacji wyjaśniam m.in. na totaliztycznej stronie internetowej o nazwie "memorial\_pl.htm".

Z punktu widzenia niniejszego podrozdziału, zdjęcia Paul'a Villa są doskonałą ilustracją widzialności "czarnych belek". Belki te najwyraźniej widać na zdjęciu Z\_1a\_B7.3, które jest prawdopodobnie jednym z najsłynniejszych zdjęć Paul'a Villa, ale jednocześnie które z powodu owych czarnych belek wprowadza najwięcej konfuzji do naszej znajomości prawdziwego wyglądu UFO. Na owej fotografii Z\_1a\_B7.3, wyraźnie widocznych jest 11 czarnych belek, czyli niemal połowa z 24 słupów pola magnetycznego jakie muszą przebiegać pomiędzy pędnikami bocznymi każdego zestawu niezespalonego uformowanego z UFO typu K7 (wszakże konstrukcja każdego UFO typu K7 zawiera po 24 pędników bocznych - patrz opisy z podrozdziału B4.5). Zdjęcie Z\_1a\_B7.3 wykonane było kiedy wehikuł UFO znajdował się zaledwie kilkaset jardów (yards) od Paul'a Villa. W momencie wykonania tego zdjęcia dolny wehikuł (osłonięty soczewką magnetyczną) zaczynał przesterowywać swoje pole magnetyczne na tryb wiru magnetycznego. Na

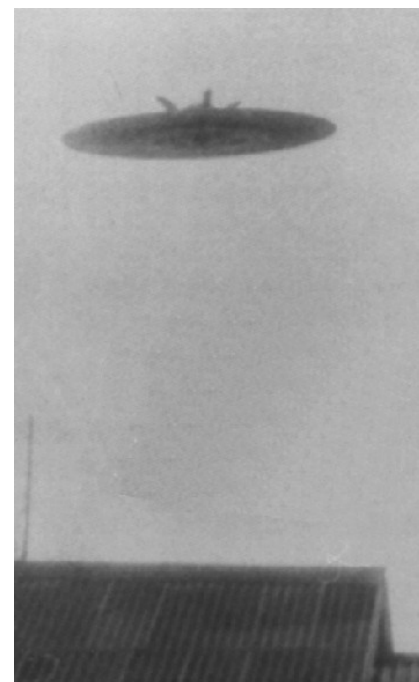
fotografującym wywołało to wrażenie że dolny wehikuł wirował. Czarne belki widoczne są również na co lepszej jakości reprodukcjach zdjęć pokazanych w tym traktacie pod symbolami Z\_1b\_B7.3 (jako wykonane zostało gdy wehikuł był w odległości około ćwierć mili od fotografującego), Z\_1c\_B7.3 (jako wykonane zostało gdy wehikuł był w jeszcze dalszej odległości od fotografującego), oraz Z\_1d\_B7.3 (jako pokazuje wehikuł UFO zawisający ponad ciężarówką Paul'a Villa).

#### B7.4. Widzialność teleskopowych nóg UFO

Podobnie jak nasze samoloty, również wehikuły UFO w typowych przypadkach wcale nie lądują na swoim brzuchu, a na teleskopowych nogach jakie wysuwane są z ich korpusu w momencie lądowania. (Powiniennem jednak tutaj dodać, że powłoka UFO jest aż tak silna i wytrzymała, że jeśli sytuacja tego wymaga, UFO są również w stanie lądować na brzuchu. Faktycznie to w Nowej Zelandii odnotowałem sporo lądowisk UFO, których unikalna konfiguracja udokumentowana w monografii [1/4] na rysunkach F33c i O1c, dowodzi iż lądowały one właśnie na brzuchu. Analizy sytuacji kiedy takie lądowania UFO na brzuchu miały miejsce, sugerują że UFO lądują bezpośrednio na brzuchu zawsze kiedy ich załogi z jakichś powodów wprowadzają owce lub bydło na pokład tych wehikułów.)

Sposób umieszczenia nóg w magnokrafcie typu K3 pokazany jest na rysunku R\_1\_B. Rysunek R\_1\_B pokazuje wykrój w powłoce magnokraftu jaki ujawnia budowę wewnętrzną tego wehikułu, włączając w to sposób zabudowania i rozmieszczenie jego teleskopowych nóg. Jak tam wyraźnie to widać, konstrukcja tych wehikułów powoduje że ich **nogi wysuwają się pod kątem** z ich powłok. (Tj. nogi UFO wcale nie są prostopadłe do podłogi tych wehikułów - tak jak np. nogi w ziemskich samolotach.)

Przykład wyglądu pojedynczego UFO typu K6 sfotografowanego w świetle dziennym w pozycji stojącej pokazany został na zdjęciu Z\_1\_B7.4. Zdjęcie to zdołało uchwycić trzy z czterech teleskopowych nóg jakie wehikuł ten wystawia w momencie lądowania. W przypadku UFO pokazanego na tym zdjęciu, teleskopowe nogi wystawione zostały w kierunku kopuły górnej, co oznacza że lądował on (lub zamierzał wylądować) w pozycji wiszącej. Zdjęcie Z\_1\_B7.4 zaczerpnięte zostało z Internetu, gdzie w październiku 2000 roku wystawione było pod adresem <http://www.anomalous->



Fot. Z-1-B7.4: UFO K6 z teleskopowymi nogami.



Fot. Z-2-B7.4: Kuliste UFO K6 z 2-ma nogami. (Źródło: [1B7.4] str. 142.)

images.com/images/ufos4.html, nosząc tam symbol UFOHOUSE.jpg. Powiększenie samego wehikułu UFO ujętego na zdjęciu Z\_1\_B7.4 pokazane zostało na powiększeniu P\_1\_B7.4.

Z kolei kompleks kulisty dwóch UFO typu K6 drugiej generacji sfotografowanych w świetle dziennym w trakcie rozplywania się w mgłę, pokazany został na zdjęciu Z\_2\_B7.4. Zdjęcie to zostało wykonane około 14:00 dnia 4 lutego 1990 roku przez Dima Girenko, koło Solnechnoye, Ukraina. Dobrze widoczne są na nim dwie nogi tego UFO. Z kolei ustawienie tych nóg wzdłuż przedłużenia ścianek bocznych górnego UFO daje wiele do myślenia o technologii używanej przez UFOautów. Zdjęcie Z\_2\_B7.4 oryginalnie opublikowane jest na stronie 142 książki [1B7.4] pióra Peter'a Brookesmith, "UFO", Blandford (Wellington House, 125 Strand, London WC2R 0BB), London 1995, ISBN 1-7137-2583-4.

Fotografie wehikułów UFO ukazujących swe nogi publikowane są również w monografii [1/4]. Ich najdoskonalszym przykładem jest fotografia UFO typu K3 w trybie wiru magnetycznego pokazana tam na rysunku P7.

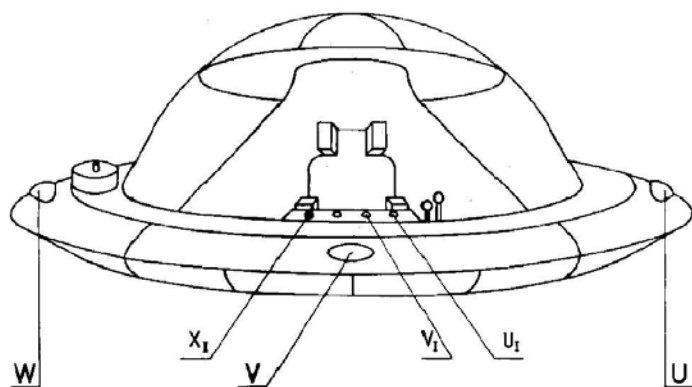
### B7.5. Widzialność systemu SUB u UFO

Podobnie jak nasze dzisiejsze samoloty, również UFO i magnokrafty posiadają swój system lamp pozycyjnych. System ten nazywany jest "System SUB" od słów "System Sygnalizowania Układami Barwnymi". Jego bardzo dokładny opis zawarty został w podrozdziale F8.2 monografii [1/4]. System taki składa się ze ściśle zdefiniowanej liczby silnych lamp wydzielających barwne światło, jakie porozmieszczane są w równych odstępach od siebie na (największym) obwodzie wehikułu w jego kołnierzu bocznym. Przykład rozmieszczenia poszczególnych lamp systemu SUB na kołnierzu magnokraftu typu K3 pokazano na rysunku R\_1\_B7.5.

Warto tutaj odnotować, że liczba lamp pozycyjnych "SUB" w danym typie UFO jest zawsze równa połowie liczby "n" pędników bocznych w tym UFO i opisana może być wzorem:  $SUB = n/2 = 2(K - 1)$  lamp pozycyjnych. Przykładowo dla UFO typu K6 liczba ta wynosi  $SUB=10$  lamp (warto przy tym pamiętać, że podczas patrzenia na UFO z boku, widać zawsze jedynie połowę lamp pozycyjnych wbudowanych w konstrukcję tego wehikułu).

Przykład wyglądu pojedynczego UFO typu K6 sfotografowanego w świetle

dziennym w trybie pulsującym pokazany został na zdjęciu Z\_1\_B7.5. Zdjęcie to udało się uchwycić 5 wyraźnie widocznych lamp systemu SUB, jakie emitują w kierunku fotografującego równoczesny pulsujący sygnał świetlny. Lamy te umieszczone są ona obwodzie kołnierza bocznego statku. Zdjęcie Z\_1\_B7.5 zaczerpnięte zostało z Internetu,



Rys. R-1-B7.5: Rozmieszczenie lamp systemu SUB. (Źródło: monografia [1/4], rys. F30.)



Fot. Z-1-B7.5: UFO K6 dniem z systemem SUB.



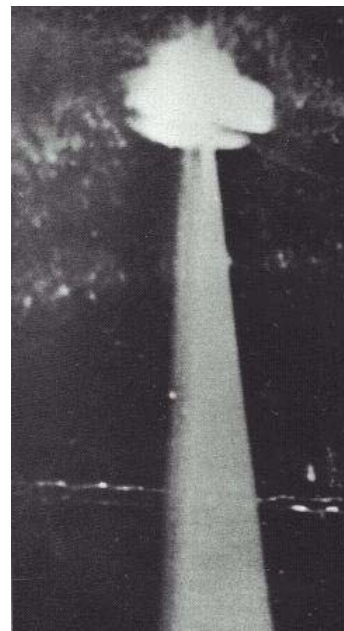
gdzie w październiku 2000 roku wystawione było pod adresem <http://www.artbell.com/ufos2.html>, nosząc tam symbol sau2.jpg. To samo zdjęcie pokazane też było na innej stronie internetowej, która w listopadzie 2000 roku miała adres <http://galactic-server.com/toreal/f/ufo.html>, nosząc tam symbol Ufo\_mexic1.jpg. Powiększenie samego wehikułu UFO ujętego na zdjęciu Z\_1\_B7.5 pokazane zostało na powiększeniu P\_1\_B7.5.

### B7.6. Smugi światła rzucane przez pędniki UFO

Pędniki UFO (i magnokraftów) są niezwykle uniwersalnymi urządzeniami. Oprócz napędzania tych statków, służą one jako akumulatory energii magnetycznej (t.j. pełnią funkcje "zbiorników paliwa" z naszych dzisiejszych samolotów i samochodów), jako generatory energii elektrycznej zasilającej w energię pomieszczenia statku, jako nadajniki i odbiorniki telepatyczne, jako teleskopy telepatyczne, a nawet jako potężne reflektory. W swoim użyciu jako reflektory pędniki te wytwarzają potężną smugę światła która jest tak silna i tak skoncentrowana że może ona oświetlić wybrany obszar powierzchni Ziemi nawet z wysokości kilkudziesięciu kilometrów. Interesujące przy tym, że każdy z pędników zawartych w danym UFO (lub magnokrafcie) może zostać użyty jako odrębny reflektor, rzucając słup światła jaki może być kierowany niezależnie od słupów światła rzucanych przez pozostałe pędniki tego samego statku. Dokładniejsze opisy użycia pędników magnokraftu jako silnych reflektorów zawarte zostały w podrozdziale F1.3 monografii [1/4].

Przykład wyglądu kompleksu kulistego UFO sprzęgniętego z dwóch wehikułów typu K3 sfotografowanego w nocy w trybie wiru magnetycznego pokazany został na zdjęciu **Z\_1\_B7.6**. Pędnik główny jednego z tych wehikułów rzuca w kierunku Ziemi wiązkę silnego światła, jakie tuż przy statku wykazuje jakby rurkowatą formę spowodowaną faktem że komory oscylacyjne w pędniku dolnego UFO najwidoczniej pracują w trybie dominacji strumienia zewnętrznego. Zdjęcie Z\_1\_B7.6 zaczerpnięte zostało z Internetu, gdzie w październiku 2000 roku wystawione było pod adresem <http://www.ids.net.pl/~nole/pictures.html>, nosząc tam symbol 142.jpg. Powiększenie samego wehikułu UFO ujętego na zdjęciu Z\_1\_B7.6 pokazane zostało na powiększeniu P\_1\_B7.6.

Kolejny przykład fotografii smug światła rzucanych na ziemię przez pędnik główny pojedynczego wehikułu UFO zawisającego w pozycji stojącej, pokazany został na zdjęciu **Z\_2\_B7.6**. Zdjęcie Z\_2\_B7.6 zaczerpnięte zostało z Internetu, gdzie w listopadzie 2000 roku wystawione było pod adresem <http://www.anomalous-images/images/russufo.html>, nosząc tam symbol AZ\_005.jpg. Wywodzi się ono ze zbiorów Nikolay Subbotin'a, RUFORS (Russian UFO Research Station), Box 6303, Perm, Russia 614010, <norsa@psu.ac.ru> zaś wykonane ono zostało w obszarze rosyjskiego obszaru anomalnego, nazywanego Moljebka (na przecięciu się regionów Permu i Świerdłowska). Pokazuje ono smugi światła buchające z centrum podstawy wehikułu UFO jaki niestety na zdjęciu został uchwycony tylko w



Fot. Z-1-B7.6: Pędnik UFO K3 nocą jako reflektor. (Źródło: [www.ids.net.pl/~nole/pictures.html](http://www.ids.net.pl/~nole/pictures.html) .)



Fot. Z-2-B7.6: Słup światła z pędnika UFO dniem. (Źródło: <http://www.anomalous-images/images/russufos.html> .)

niewielkim fragmencie jego podstawy. Bardzo wyraźnie widoczne są na nim charakterystyczne rozwarstwienia stożka światła, spowodowane przez linie sił pola magnetycznego wzdłuż którego światło to musi się przemieszczać. Ciekawostką tego zdjęcia jest, że wykonane ono zostało dnem. To zaś uświadamia ostrość światła rzuconego przez UFO, które jest tak silne że przyćmiewa ono nawet światło dnia.

Spektakularna fotografia UFO typu K3 rzucającego na ziemię cały szereg smug światła ze wszystkich swoich pędników równocześnie opublikowana jest również w monografii [1/4]. Pokazana ona tam została na rysunku P17.

### B7.7. Wysterowanie pędników na dominację strumienia wewnętrznego lub zewnętrznego

Jak to opisano w podrozdziale C7.1 monografii [1/4], kapsuły dwukomorowe jakie stanowią serce pędników u większości dyskoidalnych UFO, mogą pracować w dwóch odmiennych wysterowaniach, t.j. mogą albo wykazywać dominację strumienia wewnętrznego, albo też dominację strumienia zewnętrznego. Aczkolwiek samo pole magnetyczne jakie opuszcza te kapsuły jest niewidzialne, i stąd nie ujawnia ono które z tych dwóch wysterowań w danym momencie zostało włączone, pole to wzbudza najróżniejsze zjawiska jonowe i optyczne, jakie są już odnotowywalne dla postronnego obserwatora. W zależności też od przebiegu tych zjawisk jonowych lub optycznych, w niektórych wypadkach wygląd otoczenia UFO uchwyconego na danym zdjęciu zależał będzie właśnie od wysterowania jego pędników, w szczególności zaś od tego jakie wysterowanie posiada pędnik główny danego wehikułu. Z kolei wysterowanie pędnika głównego rzutuje na wysterowanie pędników bocznych statku (z dotychczasowych badań UFO zdaje się bowiem wynikać, że pędniki boczne danego wehikułu zawsze posiadają to samo wysterowanie co pędnik główny).

Aczkolwiek dla większości zdjęć UFO wysterowania pędników danego statku nie daje się określić, istnieje kilka nielicznych przypadków kiedy wysterowanie to zaczyna być oczywiste właśnie z owych efektów jonowych lub optycznych jakie ono wzbudza. W niniejszym podrozdziale skupimy się na objaśnieniu tych rzadkich przypadków.

Jeden z lepszych przykładów zdjęć jakie ilustrują działanie komory oscylacyjnej pędnika głównego UFO w trybie dominacji strumienia wewnętrznego, jest zdjęcie Z\_1\_B7.1. Na zdjęciu tym, tuż przy podłodze UFO, widoczny jest jaśniejszy stożek zjonizowanego powietrza odchodzącego od podłogi statku i zbiegający się dośrodkowo. Stożek ten świadczy właśnie o fakcie że komora oscylacyjna pędnika głównego owego UFO pracowała z dominacją strumienia wewnętrznego.

Z kolei doskonały przykład zdjęcia jakie ilustruje działanie komory oscylacyjnej pędnika głównego UFO w trybie dominacji strumienia zewnętrznego, jest zdjęcie Z\_1\_B1.3. Na zdjęciu tym, od podłogi UFO odchodzą w dół ku ziemi dwa rozbiegające się od siebie pasma jakby bardziej zagęszczonej przestrzeni. Pasma te świadczą właśnie o fakcie że komora oscylacyjna pędnika głównego pracowała z dominacją strumienia zewnętrznego.

Zdjęcie Z\_1\_B1.3 uchwycone zostało w sytuacji kiedy fotografujący znajdował się poza obrębem słupa pola magnetycznego formowanego przez pędnik główny danego UFO,



Fot. Z-1-B7.7: Wnętrze światłowodu pędnika UFO.  
(Źródło: <http://www.anomalous-images/images/ufos3.html> .)

oraz gdy samo UFO nie emitowało silnego światła. Jeśli jednak fotografujący znajdzie się nocą w obrębie tego słupa, zaś pędnik wehikułu UFO emitował będzie silne jonowe jarzenie, wówczas obraz jaki zostanie uchwycony pokazany został na zdjęciu **Z\_1\_B7.7**.

Zdjęcie **Z\_1\_B7.7** pokazuje silnie jarzący się pędnik główny UFO sfotografowany z wnętrza jakby "światłowodu" jaki uformowany został przez wirujące linie sił pola magnetycznego pędnika głównego UFO, podobnego do światłowodu pokazanego na rysunku **R\_2\_B1.2**. Jeśli zdjęciu temu dokładnie się przyjrzeć, wówczas relatywnie wyraźnie widać, że wylot owego wydzielającego silne światło pędnika głównego na zarys kwadratu. Aczkolwiek "światłowód" wzdłuż którego przemieszcza się światło z tego pędnika uformowany został z pola magnetycznego a nie np. ze szkła, ciągle jego powierzchnie zewnętrzne odbijają od siebie światło, podobnie jak to czyni powierzchnia telefonicznego włókna fibrooptycznego. Owe odbijające światło powierzchnie magnetycznego światłowodu uchwycone właśnie zostały na zdjęciu **Z\_1\_B7.7**, formując doskonale tam widoczną jakby aureolkę. Aureolka taka występuje na niemal każdym zdjęciu silnie jarzącego się UFO pierwszej generacji, jakie wykonane zostało przez fotografującego znajdującego się w obrębie owego magnetycznego światłowodu. Różni się ona jednak wyglądem od podobnej aureolki formowanej przez wehikuły czasu w momencie znikania, ponieważ będąc "światłowodem" nie rozmieszczona jest ona symetrycznie w stosunku do formującego go wehikułu (natomiast aureola wehikułów czasu jest kulą jaka otacza symetrycznie znajdujący się dokładnie w jej środku wehikuł UFO trzeciej generacji). W przypadku wehikułu UFO ze zdjęcia **Z\_1\_B7.7**, w centrum światłowodu widoczny jest jeszcze jeden jakby mniejszy światłowód. To zaś oznacza, że uchwycone na nim UFO pracowało z dominacją strumienia zewnętrznego. Zdjęcie **Z\_1\_B7.7** zaczerpnięte zostało z Internetu, gdzie w listopadzie 2000 roku udostępniane ono było pod adresem <<http://www.anomalous-images/images/ufos3.html>> nosząc tam symbol UFO095.JPG.

W przypadku gdy taki sam pędnik UFO emitujący bardzo silny strumień światła sfotografowany zostanie z boku nocą (t.j. przez fotografa jaki wcale nie znajduje się w obrębie owego światłowodu), wówczas uchwycony obraz wygląda jak ten pokazany na zdjęciu **Z\_2a\_B7.7** (góra). Zdjęcie **Z\_2b\_B7.7** również pochodzi z internetu, gdzie w listopadzie 2000 roku wystawione było pod adresem <<http://www.anomalous-images/images/ufos3.html>> gdzie występowało pod numerem UFO093.jpg. Egzaminując zdjęcie

**Z\_2a\_B7.7**, czytelnik powinien odnotować jakby zarys rombu z którego wydobywa się silny strumień światła. Romb ten to widziany z boku fragment kwadratowego wylotu z komory oscylacyjnej pierwszej generacji (w rzeczywistości wylot ten powinien wyglądać jak pełny romb, jednak wydobywający się z jego wnętrza strumień światła uniemożliwia zobaczenie jego pozostałych dwóch ścianek. Z kolei omawiany powyżej magnetyczny światłowód rozszerzający się na kształt stożka, formuje owe trzy charakterystyczne promienie świetlne, z których promień środkowy jest po prostu powierzchnią mniejszego,



**Fot. Z-2a-B7.7: Światłowód pędnika UFO z zewnątrz.** (Źródło: [www.anomalous-images/images/ufos3.htm](http://www.anomalous-images/images/ufos3.htm) .)



**Fot. Z-2b-B7.7: Światłowód pędnika UFO z daleka.** (Z: <http://www.anomalous-images/images/russufo5.html> .)



wewnętrznego światłowodu formowanego ponieważ pędnik tego UFO pracuje z dominacją strumienia zewnętrznego.

Obraz pokazany na zdjęciu Z\_2a\_B7.7 jest bardzo typowym ujęciem słupa światła emitowanego z wnętrza pędnika UFO pierwszej generacji pracującego w trybie dominacji strumienia zewnętrznego. Przykładowo dokładnie taki sam obraz, tyle że pokazany ze znacznie większej odległości, ujęty został także na zdjęciu Z\_2b\_B7.7. Zdjęcie Z\_2b\_B7.7 również pochodzi z internetu, gdzie w listopadzie 2000 roku wystawione było pod adresem <<http://www.anomalous-images/images/russufo5.html>> gdzie występowało pod numerem ufo47.jpg.

#### B7.8. Dyskokształtne chmury jakimi wehikuły UFO celowo się przysłaniają

Jednym ze zjawisk maskujących jakie UFO wytwarzają technicznie w każdym przypadku, kiedy zamierzają skutecznie ukrywać się przed ludźmi, a jednocześnie działać zupełnie otwarcie, jest gęsta jak mleko mgła. Ponieważ mgła ta wygląda identycznie do mgieł naturalnych, większość ludzi nie jest świadoma, że jej uformowanie nastąpiło w celu zrealizowania jakiegoś niecnego zamiaru naszych kosmicznych pasożytów. Jeśli jednak ktoś przeanalizuje fakty na temat zbiorowych uprowadzeń do UFO czy wypadków powodowanych przez UFO, zawsze się okazuje że towarzyszyła im gęsta jak mleko mgła.

Mgłę ową wehikuły UFO wykorzystują też w celu skutecznego ukrywania się podczas zawisania na niebie, przy jednoczesnym locie w którymś z dobrze widocznych trybów pracy. Mgła ta formuje bowiem wokół powłoki UFO rodzaj białej chmury, jakiej typowy zjadacz chleba nie jest w stanie odróżnić od chmur o pochodzeniu naturalnym. Zwykle chmura taka posiada kształt zdefiniowany przez przebieg obwodów magnetycznych ukrywającego się w jej wnętrzu wehikułu UFO i z grubsza przypomina ona jonowy obraz wiru



**Fot. Z-1-B7.8: Chmury ukrywające UFO, Ticino, Szwajcaria.** (Źródło: totalizty. strona "cloud\_ufo\_pl.htm".)

magnetycznego pokazany na rysunku R\_2\_1.3 lub na zdjęciu Z\_1\_C3. Dlatego jest symetryczna, dyskokształtna, i posiada typowe elementy obwodów magnetycznych UFO, takie jak np. kołnierz boczny. Często też obserwatorzy jacy przyglądają się takiej doskonale ukształtowanej chmurze, ze zdumieniem dostrzegają przebijający z jej środka wehikuł UFO, lub dostrzegają opuszczający ją lub wlatujący do niej wehikuł UFO mniejszego typu. Jeden z bardziej słynnych przypadków odsłonięcia wehikułu UFO ukrywającego się w takiej chmurze miał miejsce dnia 13 października 1917 roku, koło wioski Fatima, około 129 kilometrów na północ od Lisbony, Portugalia. Wszystkie fakty na to wskazują, że okupujący Ziemię UFOanci fabrykowali tam wówczas "nadprzyrodzone" pojawianie się istoty branej za Matkę Boską, za jakiej pośrednictwem zamierzali przekazać ludziom następną porcję swojej propagandy. Jak bowiem opisano to na stronach 110 do 111 książki [1B7.8] pióra Stephen'a Skinner, "Millennium Prophecies" (Carlton Books Limited, 1994, ISBN 1-85868-034-4, 160 stron, HC), w trakcie pojawienia się fatimowskiej istoty w dniu 13 października 1917 roku, srebrzysty dysk (czyli wehikuł UFO jaki ukrywał się przed ludźmi w owej chmurze) został przez chwilę odsłonięty oczom 70-tysięcznego tłumu poprzez przypadkowe otwarcie się chmury i na przekór wysiłków UFOautów aby utrzymać statek niewidzialnym dla ludzi (wszechświatowy intelekt najwidoczniej życzył sobie aby owe machinacje UFOautów któregoś dnia zostały zdemaskowane).

Chmury ukrywające w swym wnętrzu UFO są dosyć często fotografowane. Istnieje więc dosyć sporo zdjęć tego typu chmur. Niestety, piszący ten traktat nie spotkał jeszcze zdjęcia na którym udałoby się uchwycić choćby fragment ukrywającego się w niej UFO, chociaż spotkał już wiele osób które odnotowały takie UFO wzrokowo.

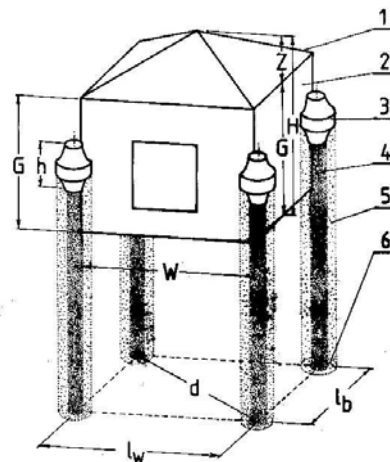
Przykład typowego wyglądu chmur jakie w swoim wnętrzu ukrywają wehikuly UFO, pokazano na zdjęciu **Z\_1\_B7.8**. Zdjęcie to wchodzi w skład zbiorów najróżniejszych fotografii związanych z badaniami UFO, jakie piszący ten traktat otrzymał od zwolenników swoich teorii. W przypadku zdjęcia Z\_1\_B7.8, około 1989 roku przekazała mu je niejaka Helen Loepfe, w owym czasie mieszkająca w Waikuiti, Nowa Zelandia, która z kolei uzyskała je od jednego ze swoich znajomych. Wykonane ono było w miejscowości Ticino, Szwajcaria. Wiąże się z nim dosyć interesujący przypadek dotyczący wprowadzenia do ogromnego wehikulu UFO ukrywającego się we wnętrzu jednej z tych chmur. Niestety, piszący ten traktat nie może odnaleźć swoich ówczesnych notatek z opisem owego przypadku, zaś z powodu upływu wielu lat od czasu kiedy był z nim zaznajamiany, niezbyt dokładnie pamięta już jego szczegóły. Boi się więc, że jeśli przypadek ten opiszemy wyłącznie z pamięci, wówczas być może wkradną się do niego jakieś nieścisłości, lub że szczegóły tego przypadku mogą ulec pomieszaniu ze szczegółami innych przypadków jakie również badał w tym samym okresie czasu. Zdjęcie Z\_1\_B7.8 jest opisane dokładnie i uzupełnione przykładami dalszych podobnych zdjęć "chmur-UFO" na totaliztycznej stronie o nazwie "cloud\_ufo\_pl.htm".

## B8. Pojedyncze czteropędnikowe UFO

Wehikuly czteropędnikowe posiadają zupełnie odmienną konstrukcję od omawianych w poprzednich podrozdziałach dyskooidalnych wehikulów. W przybliżeniu wyglądają one jak barakowóz lub domek kempingowy z piramidkowym dachem, do którego czterech naroży doczepione są beczułkowate pędniki - patrz ich opis zawarty w rozdziale D monografii [1/4]. Wygląd pojedynczego wehikulu czteropędnikowego pokazany został na rysunku **R\_1\_B8**.

Wehikuly czteropędnikowe, podobnie jak dyskooidalne wehikuly, również budowane są w ośmiu zasadniczych typach, oznaczanych jako typy T3 do T10. Typy te są tak zwymiarowane, że wyloty pędników z czteropędnikowych wehikulów danego typu znajdują się dokładnie na wprost czterech z pędników dyskooidalnego wehikulu odpowiadającego im typu. Przykładowo wehikul czteropędnikowy typu T3 posiada takie wymiary, że osie geometryczne jego czterech pędników pokrywają się precyzyjnie z osiami czterech pędników dyskooidalnego wehikulu typu K3. W ten sposób oba te wehikuly mogą magnetycznie sprzęgać się razem w latające konfiguracje podobne do konfiguracji omawianych w podrozdziałach B6.1 do B6.6. Oczywiście, niezależnie od możliwości sprzęgania się z dyskooidalnymi wehikulami, czteropędnikowe wehikuly mają też możliwość sprzęgania się nawzajem ze sobą w cały szereg najróżniejszych konfiguracji latających.

Pojedyncze czteropędnikowe UFO fotografowane są niezwykle rzadko. Powodem jest że używane są one jedynie do podróży krótkodystansowych takich jak do/z orbity, lub do/z bazy na jednej z bliższych Ziemi planet. Jak dotychczas, piszący ten traktat napotkał tylko jedno zdjęcie tego typu UFO jakie jednoznacznie ujawniało, że przedstawia ono właśnie UFO czteropędnikowe.



Rys. R-1-B8: Czteropędnikowy magnokraft (i UFO). (Źródło: monografia [1/4], rys. D1.)

Owym jedynym jednoznacznym ujęciem czteropędnikowego wehikułu UFO, na jakim relatywnie wyraźnie widoczne są cztery kolumny wirującego pola magnetycznego wytwarzane przez owe cztery pędniki, jest zdjęcie **Z\_1\_B8**. Pochodzi ono z książki **[1B8]** pióra Timothy Good, "Alien Base", Century (Random House UK Limited, 20 Vauxhall Bridge Road, London SW1V 2SA), London 1998, ISBN 07126-7922-7. Zdjęcie to opublikowane jest też na rysunku Q3 monografii [1/4].

Pokazaną na zdjęciu Z\_1\_B8 nocną fotografię czteropędnikowego UFO wykonał anonimowy lekarz dnia 23 marca 1974 roku, niedaleko Tavernes, Var, we Francji. Wehikuł ten leci w trybie wiru magnetycznego, co powoduje że wir silnie zjonizowanego powietrza ukrywa powierzchnię wehikułu. Pomimo jednak że kształt tego UFO został ukryty przez ów wir, ciągle z jego wyglądu daje się odnotować że wehikuł ten ma kształt prostokątnej kostki z piramidkowym dachem.



Fot. Z-1-B8: Czteropędnikowe UFO. (Źródło: "Rys. Q3" w monografii [1/4].)

### B9. Latające konfiguracje sprzęgnięte z czteropędnikowych UFO

Już pojedyncze zdjęcia czteropędnikowych UFO są ogromnie rzadkie. Jeszcze rzadziej widziane są latające konfiguracje sprzężone z czteropędnikowych UFO. Rysunek jednej z takich bardzo rzadkich konfiguracji, mającej formę czteropędnikowego odpowiednika dla latającego cygara dyskoidalnych UFO, pokazywany był w książce [1B9] pióra Adolfa Schneider i Huberta Malthaner, "Das Geheimnis der unbeakanteten Flugobjekte" (means: "The secret of the unidentified flying objects", znaczy "Sekret niezidentyfikowanych obiektów latających"), Hermann Bauer Verlag KG - Freiburg im Breisgau, West Germany, 1976, ISBN 3-7626-0197-6.

### B10. Na zakończenie rozdziału B

Napisanie niniejszego traktatu (i rozdziału) stało się możliwe tylko ponieważ w 1982 roku został opracowany i opublikowany formalny dowód naukowy stwierdzający że "UFO to już zbudowane magnokrafty które zostały urzeczywistnione przez kogoś technicznie bardziej zaawansowanego niż ludzkość". Najnowsza prezentacja owego dowodu zawarta jest w podrozdziale P2 monografii [1/4]. Ponieważ, na przekór licznym prób i usiłowań, nikt nie zdołał obalić owego dowodu, przez cały czas pozostaje on w mocy obowiązującej, razem z wynikającym z niego "postulatem zamienności UFO i magnokraftów", dostarczając racjonalnym badaczom UFO potężnego narzędzia poznawczego, które umożliwia stopniowe rozwikływanie wszystkich tajemnic UFO. Z uwagi na przełomowe znaczenie owego dowodu dla badań UFO, czas jaki poprzedzał jego opracowanie i upowszechnienie można by nazywać "czasem błędów i wypaczeń", ponieważ na tematy UFO pojawiały się wówczas najbardziej nieprawdopodobne i całkowicie błędne spekulacje. Natomiast czas jaki otwarło upowszechnienie się tego dowodu możnaby nazwać czasem "racjonalnego budowania wiedzy o UFO", bowiem ci z badaczy, którzy oparli swoje dociekania na jego

stwierdzeniach, stopniowo zaczęli odkrywać tajemnice UFO oraz budować prawdziwy obraz owych wehikułów naszych kosmicznych okupantów.

Nie daje się ukryć, że spora część tzw. "badaczy UFO", którzy pozwolili aby ich umysły zmanipulowane zostały przez okupujących Ziemię UFOautów, odrzuca Teorię Magnokraftu, a także krytykuje wszystko co z magnokraftem się wiąże, włączając i w to również formalny dowód "że UFO to już zbudowane magnokrafty". Ponieważ owi badacze są bardzo krzykliwi, jak dotychczas dominują oni zarówno większość opracowań na tematy UFOlogiczne, jak i dominują wszelką inną publicystykę jaka zostaje upowszechniona o UFO. Jednak w tym miejscu wyraźnie należy to sobie uświadomić, że poprzez negowanie drogi która prowadzi ludzkość do poznania prawdy, posiadają oni bardzo negatywny wpływ na naszą cywilizację, praktycznie wysługując się kosmicznym okupantom Ziemi w utrzymywaniu ludzkości w zniewoleniu. Najwyższy więc już czas abyśmy przeglądnęli na oczy i zaczęli takich ludzi identyfikować i nazywać w sposób jaki ujawnia czym oni są faktycznie, t.j. kolaborantami naszego kosmicznego okupanta i sprzedawczykami ludzkości. Jeśli więc otworzymy jakąś książkę lub czasopismo UFOlogiczne, i znajdziemy w nich wypowiedzi osób które na przekór dostępnego już obecnie, doskonale udokumentowanego materiału dowodowego i opisowego, ciągle uparcie odrzucają prawdę i albo twierdzą że UFO w ogóle nie istnieją, albo też rozsiewają niewiedzę i konfuzję twierdząc przykładowo że UFO nie są obiektami materialnymi, a przybywają z innych wymiarów, że UFO używają napędu antygravitacyjnego, czy też że tzw. "kręgi zbożowe" to wcale nie lądowiska UFO, a naturalne "piktogramy", zapamiętajmy nazwiska tych ludzi. Są oni bowiem owymi sprzedawczykami wysługującymi się naszemu kosmicznemu okupantowi. Jeśli zaś w przyszłości spotkamy jakieś następne opracowanie opatrzone tymi samymi nazwiskami, zaoszczędźmy sobie straty cennego czasu na ich czytanie. Sprzedawczyk jest bowiem sprzedawczykiem wcale nie chwilowo, i nie jedynie przez pomyłkę, a wysługuje się on/ona kosmitom przez całe swe życie ponieważ posiada cechy charakteru jakie umożliwiają UFOautom łatwe manipulowanie jego/jej umysłem - patrz rozdział VB4.3 monografii [1/4]. To zaś oznacza, że wszystko co sprzedawczyk taki pisze lub czyni służy tylko jednemu celowi - upowszechniania pro-okupacyjnej propagandy naszych kosmicznych pasożytów. Podobnie więc jak w czasach okupacji hitlerowskiej szanujący się Polak nie czytałby gadzinówki, również w obecnych czasach należy zacząć zdecydowanie odrzucać wszystko to co napisane przez sprzedawczyków. Tylko bowiem w ten sposób wyślemy sprzedawczykom wyraźną wiadomość że nie aprobujemy ich działalności i pro-okupacyjnej propagandy.

Jednym z argumentów najczęściej używanych przez najróżniejszej maści niedouczonej sceptyków i zmanipulowanych sprzedawczyków, jaki ma jakoby dowodzić nieistnienia UFO, to że niemal każde zdjęcie tych obiektów pokazuje coś innego. Jednak niniejszy rozdział udowodnił że argument ten jest całkowicie bezzasadny. Chociaż bowiem niemal każde ze zdjęć UFO faktycznie pokazuje inny kształt i zjawiska, w rzeczywistości to wszystkie one pokazują te same wehikuły, tyle że uchwycone w odmiennych trybach i konwencjach pracy, w różniących się od siebie warunkach otoczenia, oraz przy odmiennych parametrach fotografowania. Ponadto rozdział ten wykazał, że wszystkie zdjęcia UFO są całkowicie objaśnialne już na dzisiejszym poziomie naszej wiedzy, zaś jedynym powodem dla jakiego nawet dzisiaj naukowcy nie są w stanie zdjęć tych zrozumieć, jest najzwyczajsze nieuctwo, a ściślej fakt iż naukowcy ci nie zadali sobie trudu aby zapoznać się z Teorią Magnokraftu.





Fot. Z-1-B7.3(b-f): **Seria kolorowych zdjęć zestawu niezespalonego UFO typu K7 wykonanych przez Paul'a Villa**, dnia 16 czerwca 1963 roku, niedaleko miasteczka Peralta, jakieś 15 mil na południe od Albuquerque, New Mexico. Zdjęcie (a) pokazano w tekście podręcznika B7.3. Zgodnie z tym co napisane na stronie 242 książki [1B7.3], do miejsca wykonania owych fotografii Paul Villa został telepatycznie "zaproszony" przez samych kosmitów, którzy nakazali mu aby wyjechał swoją ciężarówką w znane mu odludne miejsce. Tam, o godzinie 14:00, Villa zobaczył latający spodek, którego średnica oszacowana została przez niego na jakieś 160-170 stóp (1 stopa = około 0.3 metra). Wehikuł celowo "pozował" do zdjęć, zawisając nisko pomiędzy drzewami na różnych odległościach od Paul'a Villa. Zdjęcia wykonane zostały japońskim aparatem Apus, z Rokuoh-sha f4.675 mm obiektywem, na Kodakcolor filmie formatu 120. Dwa ze zdjęć (patrz zdjęcia Z\_1e\_B7.3 i Z\_1f\_B7.3.) pokazują wehikuł UFO jak pochylał się pokazując swoją kopułę górną, co umożliwia nam dokładne oglądnięcie jak właściwie UFO typu K7 wygląda w widoku od góry, oraz przekonanie się, że na zarysie owego wehikułu wyraźnie widać kopułę górną i kołnierz uzupełniający pokazane na rysunku R\_1\_B5.3.

Zdjęcie (g) pokazuje UFO sfabrykowane przez P. Villa w 1963 roku - szczegóły i powody owej fabrykacji wyjaśnione zostały na totaliztycznej stronie "memorial\_pl.htm".



## ALBUM ZDJĘĆ UFO WRAZ Z ICH INTERPRETACJAMI

Motto tego rozdziału: "Wszystko co widzisz więcej niż raz w życiu uznawaj za znak od Boga że powinieneś temu lepiej się przyglądać"

Poprzedni rozdział B został przygotowany w taki sposób aby systematycznie, krok po kroku, uczyć czytelnika najważniejszych informacji wymaganych dla rozpoznawania i interpretowania zdjęć UFO. Informacje te uszeregowane zostały tak, że każda z omawianych poprzednio fotografii UFO służyła jako możliwie najlepszy przykład na podstawie którego omówiona została tylko jedna z cech charakteryzujących UFO w danym momencie lotu tego wehikułu. Niestety, w rzeczywistości, każdy wehikuł UFO charakteryzowany jest nie jedną cechą, a całą ich kombinacją definiującą wszystkie aspekty zdjęcia na jakim UFO to zostało uchwycone. Niniejszy rozdział ma właśnie na celu pokazanie bogactwa cech jakie współwystępują ze sobą na poszczególnych fotografiach UFO. Ponadto rozdział ten ilustruje ogromną mnogość istniejących fotografii UFO, a także interpretuje każdą z zaprezentowanych w nim fotografii pod kątem co ona przedstawia.

Aby wprowadzić jakąś systematykę do prezentacji fotografii UFO zestawionych w tym rozdziale, fotografie te podzielono na kilka kategorii w zależności od tego która z cech danego wehikułu była na danym zdjęciu cechą dominującą. Każdą z tych kategorii fotografii zgrupowano i opisano w oddzielnym podrozdziale. Niemniej dla każdego zdjęcia przy jego opisie podano także cechy dodatkowe danego wehikułu UFO, jakie pozwalają czytelnikowi na pełne zorientowanie się co dany wehikuł reprezentuje i przedstawia.

Z pośród licznych cech charakteryzujących wehikuły UFO i systematycznie wyjaśnionych w rozdziale B, w odniesieniu do każdego z omawianych w niniejszym rozdziale zdjęć starano się zdefiniować następujące cechy (oczywiście jedynie w przypadkach kiedy owe cechy dawały się zdefiniować na podstawie danego zdjęcia lub na podstawie opisu tego zdjęcia):

1. Generacja wehikułu: t.j. czy jest to (1) UFO pierwszej generacji (t.j. wehikuł UFO o napędzie czysto magnetycznym, z komorami oscylacyjnymi o przekroju kwadratowym, który ma zdolność do latania wyłącznie w tzw. "konwencji magnetycznej"), (2) UFO drugiej generacji (t.j. wehikuł UFO o napędzie telekinetycznym, z komorami oscylacyjnymi o przekroju ośmiobocznym, który może latać w aż dwóch odmiennych konwencjach, tj. "konwencji telekinetycznej" lub "konwencji magnetycznej"), czy też (3) UFO trzeciej generacji (t.j. wehikuł czasu, z komorami oscylacyjnymi o przekroju szesnastobocznym, który jest w stanie latać w aż trzech konwencjach).

2. Konwencja lotu wehikułu: t.j. czy dane UFO właśnie leci w konwencji magnetycznej, w konwencji telekinetycznej, czy też w konwencji czasu. Posiada ona bezpośredni związek z generacją danego wehikułu. Konwencja lotu to "zasada na jakiej UFO danej generacji leci w danym momencie czasu". Istnieją aż trzy konwencje lotu, mianowicie (1) magnetyczna, (2) telekinetyczna, oraz (3) czasu. Przykładowo UFO najwyższej, trzeciej generacji, nie w każdej chwili swego lotu musi wykorzystywać swoją zdolność do zmiany upływu czasu, a zależnie od życzeń załogi, jest w stanie latać we wszystkich trzech konwencjach lotu. Natomiast UFO drugiej generacji jest w stanie latać w konwencji telekinetycznej i w konwencji magnetycznej. Jedynie UFO pierwszej generacji nie są w stanie latać w konwencji innej niż magnetyczna.

3. Odmiana wehikułu: t.j. czy jest to dyskooidalne UFO czy też czteropędnikowe UFO.

4. Typ wehikułu: t.j. czy na zdjęciu ujęte zostało UFO typu K3, K4, K5, ... czy też K10, a może konfiguracja sprzęgnięta z kilku wehikułów odmiennych typów.

5. Konfiguracja: t.j. czy jest to pojedyncze UFO, czy magnetyczne sprzężenie wielu pojedynczych wehikułów w którąś z całego szeregu możliwych konfiguracji latających (np.

w któryś z licznych kompleksów fizycznych, kompleksów semizespołonych, kompleksów niezespołonych, platform nośnych, latających systemów, czy latających klusterów), a może sfera odrębnych wehikułów lecących razem w pobliżu siebie.

6. Pozycja: t.j. czy dany wehikuł leci w pozycji wiszącej, w pozycji stojącej, czy też nachylony pod jakimś kątem do poziomu.

7. Tryb pracy, t.j. czy np. w przypadku lotu w konwencji magnetycznej, dany wehikuł leci w trybie bijącym, w trybie wiru magnetycznego, czy też w trybie soczewki magnetycznej.

8. Stan powłoki: t.j. czy powłoka jest przezroczysta czy też odbijająca światło.

9. Widoczne wyposażenie: t.j. czy przykładowo dany wehikuł UFO pokazuje też jakieś wystające z niego urządzenia typu nogi, płozy, drabinki, pomosty, itp.

10. Konfiguracja pędników wehikułu: t.j. czy komory oscylacyjne wykorzystywane w pędnikach tego wehikułu są dla przykładu zestawione w kapsuły dwukomorowe, czy też w konfiguracje krzyżowe, jeśli zaś w konfiguracje krzyżowe to jakiego typu (prototypowe, optymalne, itp.).

11. Wystawianie pędników wehikułu: t.j. czy np. kapsuły dwukomorowe użyte w pędnikach tego wehikułu pracują w trybie dominacji strumienia wewnętrznego czy też w trybie dominacji strumienia zewnętrznego.

12. Emisja światła: t.j. czy dany wehikuł UFO emituje światło jakie jest silniejsze od światła padającego na niego z zewnątrz (np. od światła słonecznego), czy też przychodzące od niego światło jest światłem odbitym z zewnątrz. Co jest źródłem tej emisji (np. pędniki wehikułu, ). Ponadto czy wehikuł ten posiada jakieś ujęte na zdjęciu urządzenia które emitują światło.

13. Animacja: t.j. czy w momencie gdy dane UFO było fotografowane stało ono w jednym punkcie (t.j. gdy w przedziale "czasu naświetlenia" danego zdjęcia, UFO nie wykonało żadnego ruchu), czy też utrwalone ono zostało w trakcie wykonywania ruchu falowego, lotu, lub manewrowania.

14. Parametry fotografowania lub obserwowania UFO: t.j. cały zestaw danych opisujących sposób na jaki dana fotografia została wykonana, a tym samym opisujących co właściwie, i jak, na fotografii tej mogło zostać ujęte. Do parametrów tych należą m.in.:

(a) Kąt patrzenia: t.j. czy dane UFO sfotografowane zostało w widoku z boku, w widoku od spodu, w widoku z góry, czy też w widoku kątowym (jeśli kątowno - to z jakiej strony i pod jakim kątem). Widok dla dyskoidalnych wehikułów najlepiej jest definiować jako odchylenie kąta patrzenia zdjęcia od osi centralnej wehikułu.

(b) Warunki oświetleniowe: t.j. czy dane UFO sfotografowane zostało w świetle dziennym, czy też jest to fotografia nocna, a może jest to zdjęcie w półmroku lub we mgle.

(c) Wykadrowanie: t.j. czy na zdjęciu uwidoczniony jest cały wehikuł, czy też jedynie jego fragment (np. tylko wylot jego centralnej komory oscylacyjnej).

(d) Czas naświetlania: t.j. czy w przedziale czasu w jakim dane zdjęcie ulegało naświetlaniu wehikuł UFO zdołał się przemieścić w swej drodze, czy też trwał w jednym punkcie, czy np. wir plazmowy lub obwody magnetyczne tego wehikułu uchwycone zostały jakby zamrożone w jednym punkcie, czy też zdołały się przemieścić, itp.

(e) Przeszkody: t.j. czy podczas fotografowania całe UFO było dobrze widoczne, czy też istniały jakieś przeszkody typu mgła, chmury, liście, przewody elektryczne, itd., które przesłaniały lub rozmywały widoczność jakichś fragmentów UFO; czy dostępna reprodukcja jest dobrej jakości i nie posiada na sobie odnotowywalnych uszkodzeń, plam, lub oznaczeń jakie utrudniałyby widoczność lub pomniejszały wiarygodność autentyczności oryginalnego zdjęcia, itp.

(f) Dane fotograficzne: t.j. wszystkie informacje o okolicznościach i parametrach fotografowania, jakie dotychczas udało się uzyskać na temat danego zdjęcia - np. kto, gdzie i kiedy wykonał daną fotografię, z jakim czasem naświetlania, przy jakiej przysłonie, na filmie jakiej czułości, itp.

## C1. Pojedyncze dyskoidalne UFO w trybie bijącym sfotografowane w świetle dziennym

W niniejszym podrozdziale zaprezentowane są zdjęcia wykonane w świetle dziennym których najbardziej rzucającym się w oczy atrybutem jest, że zdołały one uchwycić pojedyncze wehikuly UFO lecące w konwencji magnetycznej i w trybie bijącym. Oczywiście, niezależnie od owego najważniejszego atrybutu, pokazane na tych zdjęciach wehikuly UFO cechują się całym szeregiem dodatkowych atrybutów jakie stanowiły przedmiot obszernych objaśnień z rozdziału B, a jakie zostaną oddzielnie zdefiniowane w szczegółowych opisach każdego ze zdjęć przytoczonych w niniejszym podrozdziale.

Pojedyncze dyskoidalne UFO lecące w trybie bijącym i sfotografowane w świetle dziennym posiadają szczególne edukacyjne znaczenie dla UFOlogii. Jeśli bowiem uchwycone na nich wehikuly nie zostały zdeformowane działaniem soczewki magnetycznej, wówczas zdjęcia te reprezentują najwierniejsze odzwierciedlenie prawdziwych kształtów wehikulów UFO typu pokazanego na owych zdjęciach.

Poprzez zgrupowanie w jednym podrozdziale szeregu zdjęć pokazujących UFO w tej szczególnej konwencji i trybie lotu, piszący ten traktat starał się osiągnąć aż kilka celów. Po pierwsze starał się on utwierdzić u czytelnika znajomość dokładnego wyglądu poszczególnych typów UFO (jaki to wygląd uprzednio prezentowany był i objaśniany w podrozdziałach od B4.1 do B4.8). Po drugie starał się obrazowo uświadomić czytelnikowi, że wehikuly UFO są urządzeniami technicznymi równie realnymi i materialnymi jak nasze samochody czy pociągi, tyle tylko że okupujący Ziemię UFO-nauci za pośrednictwem manipulowanych przez siebie sprzedawczyków starają się wmówić ludziom swoją rzekomą niematerialność aby w ten sposób odwrócić naszą uwagę od możliwości że jesteśmy zwyczajnie okupowani i eksploatowani przez kosmicznych pasożytów. Następnie starał się udokumentować różnorodność pozycji lotu UFO oraz kątów z jakich wehikuly te mogą zostać uchwycone, ilustrując w ten sposób że te same wehikuly mogą przyjmować różnorodne kształty zależnie od tego z jakiej strony zostały one sfotografowane. W końcu starał się udokumentować, że fotograficzne dowody na nieustanne operowanie UFO na Ziemi są przytłaczające, tyle tylko że poprzez szatańskie manipulowanie opinią publiczną przez samych UFO-nauców, dowody te dotychczas były starannie ukrywane przed oglądnięciem przez większość społeczeństwa.

Przykład fotografii wehikulu UFO typu K3 lecącego w trybie bijącym, uchwyconego dniem z ukosa i od dołu, pokazany został na zdjęciu **Z\_1\_C1**. Zdjęcie Z\_1\_C1 zaczerpnięte zostało z Internetu, gdzie w październiku 2000 roku wystawione było pod adresem <http://www.ids.net.pl/~nole/pictures.html>, nosząc tam symbol 261.jpg. Powiększenie samego wehikulu UFO ujętego na zdjęciu Z\_1\_C1 pokazane zostało na powiększeniu P\_1\_C1.

Jeśli dla wehikulu ze zdjęcia Z\_1\_C1 zdefiniować wszystkie cechy wyszczególnione we wstępnej części rozdziału C, to cechy te przyjmą następujące wartości: (1) Generacja: UFO pierwszej generacji (t.j. wehikulu czysto magnetyczny), (2) Konwencja lotu: magnetyczna, (3) Odmiana wehikulu: dyskoidalne UFO, (4) Typ: K3, (5) Konfiguracja: pojedyncze UFO, (6) Pozycja: stojąca, (7) Tryb pracy: bijący, (8) Stan powłoki: odbijająca światło, (9) Widoczne wyposażenie: brak szczegółów, (10) Konfiguracja pędników: kapsuła dwukomorowa, (11) Występowanie pędników: z dominacją strumienia wewnętrznego, (12) Emisja światła: lekko widoczna na wylocie pędnika głównego, (13)



**Fot. Z-1-C1: UFO K3 w trybie bijącym od dołu.** (Źródło: [www.ids.net.pl/~nole/pictures.html](http://www.ids.net.pl/~nole/pictures.html) .)

Animacja: UFO utrwalone zostało w trakcie wykonywania lekkiego ruchu falowego, (14) Parametry fotografowania: (14a) Kąt patrzenia: widok z dołu i z lekko z boku, (14b) Warunki oświetleniowe: pełnia dnia, (14c) Wykadrowanie: widoczny cały wehikuł i znaczna część przestrzeni jaka go otacza, włącznie z budynkiem nad jakim on zawisa, (14d) Czas naświetlania: krótszy od pełnego cyklu ruchu falowego UFO, (14e) Przeszkody: dostępna reprodukcja tego zdjęcia jest kiepskiej jakości.

Kolejny przykład to czarno-biała fotografia wehikułu UFO typu K7 sfotografowanego w pośrednim trybie bijąco-soczewkowym, uchwyconego dniem w widoku z boku. Wehikuł ten pokazany został na zdjęciu **Z\_2\_C1**, jakie zaczerpnięte zostało z Internetu, gdzie w październiku 2000 roku wystawione było pod adresem <http://galactic-server.com/torealf/ufo.html>.



Fot. Z-2-C1: UFO K7 w trybie bicia-soczewki z boku.  
(Źródło: <http://galactic-server.com/torealf/ufo.html> .)

Powiększenie samego wehikułu UFO ujętego na zdjęciu **Z\_2\_C1** pokazane zostało na powiększeniu **P\_2\_C1**. Zdjęcie **Z\_2\_C1** jest nieco podobne

do fotografii Paul'a Villa pokazanych na zdjęciach **Z\_1\_B7.3**. Tyle jednak, że pokazuje ono pojedynczy wehikuł, a nie cały zestaw niezespólny. Ponieważ wehikuł uchwycony na zdjęciu **Z\_2\_C1** właśnie włącza swoją soczewkę magnetyczną, jego proporcje wymiarowe zostały zdeformowane. Niemniej ze szczegółów konstrukcyjnych jakie ten wehikuł ujawnia, szczególnie zaś z jego charakterystycznej czaszy kulistej, ciągle wyraźnie widać że reprezentuje on UFO typu K7.

Jeśli również i dla wehikułu ze zdjęcia **Z\_2\_C1** zdefiniować wszystkie cechy wyszczególnione we wstępnej części rozdziału C, to cechy te przyjmowałyby następujące wartości: (1) Generacja: UFO pierwszej generacji (t.j. wehikuł czysto magnetyczny), (2) Konwencja lotu: magnetyczna, (3) Odmiana wehikułu: dyskoidalne UFO, (4) Typ: K7, (5) Konfiguracja: pojedyncze UFO, (6) Pozycja: stojąca, (7) Tryb pracy: bijąco-soczewkowy, (8) Stan powłoki: odbijająca światło, (9) Widoczne wyposażenie: brak szczegółów, (10) Konfiguracja pędników: nie daje się określić, (11) Występowanie pędników: nie daje się określić, (12) Emisja światła: lekko widoczna u góry na czaszy kulistej u wylotu pędnika głównego, (13) Animacja: UFO utrwalone zostało w trakcie wykonywania lekkiego ruchu falowego, (14) Parametry fotografowania: (14a) Kąt patrzenia: widok z boku, (14b) Warunki oświetleniowe: pełnia dnia, (14c) Wykadrowanie: widoczny cały wehikuł i znaczna część przestrzeni jaka go otacza, włącznie z okolicznymi drzewami, (14d) Czas naświetlania: krótszy od pełnego cyklu ruchu falowego UFO, (14e) Przeszkody: zdjęcie jest czarno-białe, dostępna reprodukcja jest kiepskiej jakości.



Fot. Z-3-C1: K4 dniem w trybie bijącym, bok-spód.  
(Źródło: <http://anomalous-images/images/ufos3.html> .)

Z kolei UFO typu K4 sfotografowanego w trybie bijącym, uchwyconego dniem w widoku z boku i lekko od spodu, pokazane zostało na zdjęciu **Z\_3\_C1**. Zdjęcie to zaczerpnięte zostało z Internetu, gdzie w listopadzie 2000 roku wystawione było pod adresem <http://anomalous-images/images/ufos3.html>, gdzie występowało pod nazwą **2\_UFOS.JPG**. Powiększenie samego wehikułu UFO ujętego na zdjęciu **Z\_3\_C1** pokazane

zostało na powiększeniu P\_3\_C1. Zdjęcie Z\_3\_C1 dosuć dobrze pokazuje zarys wklęsłości jakie wehikuly UFO zawsze posiadają w centrum swojej podłogi.

### C2. Pojedyncze dyskoidalne UFO w trybie bijącym sfotografowane noca

Jego doskonałym przykładem są ilustracje zaprezentowane w polskojęzycznej monografii [1/4] oznaczone tam jako rysunki P16, P18 i P24. Ich dokładny opis przytoczono w rozdziale P owej monografii [1/4], zaś ich wygląd można oglądać w Internecie na stronach wyszczególnionych w części tytułowej tego traktatu.

### C3. Pojedyncze UFO w trybie wiru magnetycznego sfotografowane w świetle dziennym

Podrozdział C3 stara się grupować w sobie zdjęcia UFO wykonane w świetle dziennym, których najbardziej rzucającym się w oczy atrybutem jest, że zdołały one uchwycić pojedyncze wehikuly lecące w konwencji magnetycznej i w trybie wiru magnetycznego. Oczywiście, niezależnie od owego najważniejszego atrybutu, pokazane na tych zdjęciach wehikuly UFO cechują się całym szeregiem dodatkowych cech jakie stanowiły przedmiot obszernych objaśnień z rozdziału B, a jakie zostaną oddzielnie zdefiniowane w szczegółowych opisach każdego ze zdjęć przytoczonych w tym podrozdziale.

Pojedyncze dyskoidalne UFO lecące w trybie wiru magnetycznego i sfotografowane w świetle dziennym również posiadają edukacyjne znaczenie dla UFOlogii. Ujawniają one bowiem, że kształt tego co często brane jest za UFO, w wielu przypadkach jest tylko kształtem wirującej chmury plazmowej jaką wehikul ten formuje wokół swojej powłoki.

Poprzez zgrupowanie w jednym podrozdziale szeregu zdjęć pokazujących UFO w konwencji magnetycznej i trybie wiru, piszący ten traktat starał się osiągnąć aż kilka celów. Po pierwsze starał się on upowszechnić u czytelników wiedzę na temat trybu wiru magnetycznego i wyglądu wehikulu UFO w owym trybie. Po drugie starał się obrazowo uświadomić, że wehikuly UFO są urządzeniami technicznymi jak najbardziej realnymi, materialnymi, i poznawalnymi, tyle tylko że okupujący Ziemię UFOanci za pośrednictwem manipulowanych przez siebie sprzedawczyków starają się wmówić ludziom ich rzekomą niematerialność aby w ten sposób odwrócić naszą uwagę od możliwości że jesteśmy zwyczajnie okupowani i eksploatowani przez kosmicznych pasożytów. Następnie starał się udokumentować różnorodność wyglądów jakie te same UFO mogą przyjmować, ilustrując w ten sposób że aby rozumieć UFO konieczne jest gromadzenie wiedzy na ich temat. W końcu starał się udokumentować, że wszelkie dowody fotograficzne nieustannego operowania UFO na Ziemi mają to samo pochodzenie, t.j. wywodzą się z wehikulów UFO, natomiast różnice w wyglądzie tych dowodów wynikają z całej gamy zjawisk jakie wehikuly te są w stanie wokół siebie indukować.

### C4. Pojedyncze UFO w trybie wiru magnetycznego sfotografowane noca

Niniejszy podrozdział C4 stara się grupować w sobie zdjęcia UFO wykonane w nocy, których najważniejszym atrybutem jest, że zdołały one uchwycić pojedyncze wehikuly lecące w konwencji magnetycznej i w trybie wiru magnetycznego. Oczywiście, niezależnie od owego najważniejszego atrybutu, pokazane na tych zdjęciach wehikuly UFO cechują się całym szeregiem dodatkowych własności, jakie zostaną oddzielnie zdefiniowane w szczegółowych opisach każdego ze zdjęć przytoczonych w tym podrozdziale.

Pojedyncze dyskoidalne UFO lecące w trybie wiru magnetycznego i sfotografowane w nocy również posiadają znaczące miejsce w UFOlogii. Ujawniają one bowiem, że to co



kiedyś klasyfikowano jako zupełnie odrębna kategoria "nocnych świateł", faktycznie także reprezentuje pojazdy UFO tyle że ukryte we wnętrzu chmur z ostro jarzącego się zjonizowanego powietrza.

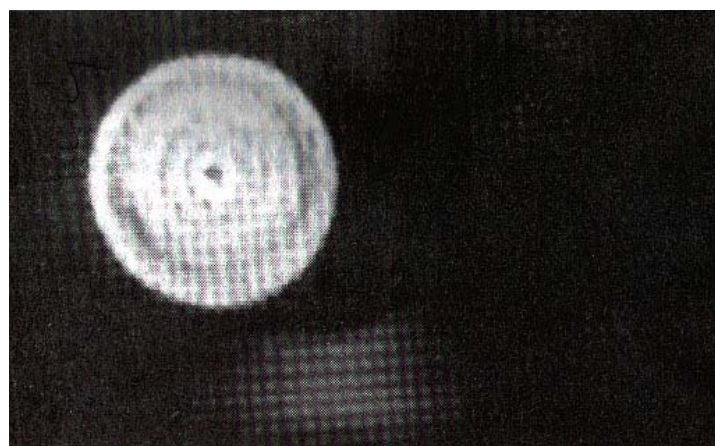
Poprzez zgrupowanie w jednym podrozdziale szeregu nocnych zdjęć pokazujących UFO w konwencji magnetycznej i trybie wiru magnetycznego, piszący ten traktat starał się osiągnąć kilka kolejnych celów. Przykładowo starał się on zilustrować własności UFO w trybie wiru magnetycznego i pokazać nocny wygląd tych pojazdów w owym trybie. Ponadto starał się obrazowo uświadomić, że owe "nocne światła" to także pojazdy UFO jakie są materialne i poznawalne, tyle tylko że manipulacje i propaganda okupujących Ziemię UFOautów uniemożliwiały nam dotychczas ich naukowe poznanie. Następnie starał się udokumentować że za światłami tymi kryją się pojazdy UFO. W końcu starał się pokazać, jak interpretować to co na owych zdjęciach zostało uchwycone.

Doskonały przykład czarno-białej fotografii pojazdu UFO typu K4 w trybie wiru magnetycznego, uchwyconego nocą z boku, pokazany został na zdjęciu **Z\_1\_C4**. Zdjęcie **Z\_1\_C4** opublikowane było w książce **[1C4]** pióra Timothy Good, "Alien Base", Century (Random House UK Limited, 20 Vauxhall Bridge Road, London SW1V 2SA), London 1998, ISBN 07126-7922-7. Opis jaki mu towarzyszył w owej książce stwierdza, że dnia 23 czerwca 1963 roku zostało ono anonimowo przesłane do włoskiego czasopisma "Domenica del Corriere". Pokazany na nim pojazd UFO wylądował na zalesionym wzgórzu w Genoa. Fotografujący stwierdził "Widziałem go razem z pracownikiem garażu kilka dni wcześniej. Nie mogę podać wam mojego nazwiska." Uchwycony na tym zdjęciu jarzący się wir plazmowy posiada wszystkie elementy składowe jakie są charakterystyczne dla wiru plazmowego UFO małego typu, zilustrowanego na rysunku **R\_1\_B1.3**.

Jeśli dla pojazdu ze zdjęcia **Z\_1\_C4** zdefiniować wszystkie cechy wyszczególnione we wstępnej części rozdziału C, to cechy te przyjmowałyby następujące wartości: (1) Generacja: UFO pierwszej generacji (t.j. pojazd czysto magnetyczny), (2) Konwencja lotu: magnetyczna, (3) Odmiana pojazdu: dyskooidalne UFO, (4) Typ: K4, (5) Konfiguracja: pojedyncze UFO, (6) Pozycja: stojąca, (7) Tryb pracy: wir magnetyczny, (8) Stan powłoki: nieznan, (9) Widoczne wyposażenie: trzy teleskopowe nogi na jakich UFO to stoi, drabinka umożliwiająca załozce zejście na ziemię, oraz dwa boczne i dwa dolne peryskopy do wzrokowego oglądania otoczenia poprzez przesłone z wiru magnetycznego, (10) Konfiguracja pędników: kapsuła dwukomorowa, (11) Wysterowanie pędników: z dominacją strumienia



**Fot. Z-1-C4: UFO K4 nocą w trybie wiru z boku.** (Źródło: [1C4], pierwsza (czarno-biała) plansza, photo 30.)



**Fot. Z-1-B7.7: Czarno-biała fotografia UFO sfotografowanego nocą ponad Rzeszowem (Polska) kiedy właśnie leciało w trybie wiru magnetycznego.**

wewnętrznego, (12) Emisja światła: wirująca chmura plazmowa emituje silne światło, (13) Animacja: nieruchome UFO utrwalone zostało podczas lądowania, (14) Parametry fotografowania: (14a) Kąt patrzenia: widok z boku, (14b) Warunki oświetleniowe: noc, (14c) Wykadrowanie: widoczny cały wehikuł i część przestrzeni jaka go otacza, włącznie z pobliskimi drzewami, (14d) Czas naświetlania: dłuższy od pełnego cyklu ruchu obrotowego wiru plazmowego UFO, (14e) Przeszkody: dostępna reprodukcja tego zdjęcia jest czarno-biała.

Inny przykład nocnej fotografii UFO działającego w trybie wiru magnetycznego dostał mi jeden z czytelników. Wykonana ona została w Polsce ponad Rzeszowem, w czasach kiedy ciągle używane były czarno-biała fotografie. Pokazuje ją rysunek Z\_2\_C4. Ukazuje ono wehikuł UFO uchwycony dokładnie od spodu. Wyraźnie widać na nim wylot pędnika głównego widoczny w samym centrum tego wehikułu, a także pierścioniowy zarys okręgu na obwodzie którego poumieszczane są pędniki boczne.

### C5. Konfiguracje posprzęganych UFO sfotografowane w świetle dziennym

Podrozdział C5 stara się grupować zdjęcia wykonane w świetle dziennym, których najważniejszym atrybutem jest że zdołały one uchwycić całe konfiguracje wehikułów UFO lecących w konwencji magnetycznej. Oczywiście, niezależnie od owego najważniejszego atrybutu, pokazane na tych zdjęciach wehikuły UFO cechować się też będą dodatkowymi atrybutami jakie zostaną oddzielnie zdefiniowane w szczegółowych opisach każdego ze zdjęć przytoczonych w tym podrozdziale.

Konfiguracje dyskoidalnych UFO sfotografowane w świetle dziennym także posiadają znaczące miejsce w UFOlogii. Ujawniają one bowiem, że wehikuły te są w stanie latać nie tylko jako pojedyncze wehikuły, ale również latać w konfiguracjach formowanych poprzez magnetyczne sprzęganie ze sobą szeregu takich wehikułów. To z kolei uświadamia wszystkim zainteresowanym, że wehikuły te posiadają napęd oraz cechy dokładnie takie jakie przyporządkowuje im Teoria Magnokraftu.

Poprzez zgrupowanie w tym podrozdziale zdjęć pokazujących latające konfiguracje UFO, piszący ten traktat także starał się osiągnąć kilka następujących celów. Po pierwsze starał się on ukazać czytelnikowi że wszystkie konfiguracje latające jakich istnienie przewiduje Teoria Magnokraftu, faktycznie formowane są przez UFO. Po drugie starał się zobrazować czytelnikowi jak wyglądają wehikuły UFO posprzęgane w takie konfiguracje. Następnie starał się uświadomić, że poprzez zwykłe sprzęganie się ze sobą, wehikuły UFO mogą formować niezliczoną liczbę najróżniejszych kształtów i wyglądków. W końcu starał się udokumentować, że pomimo niezliczonej owej różnorodności kształtów i wyglądków, wszystkie one formowane są poprzez magnetyczne sprzęganie tylko ośmiu podstawowych typów tych wehikułów.



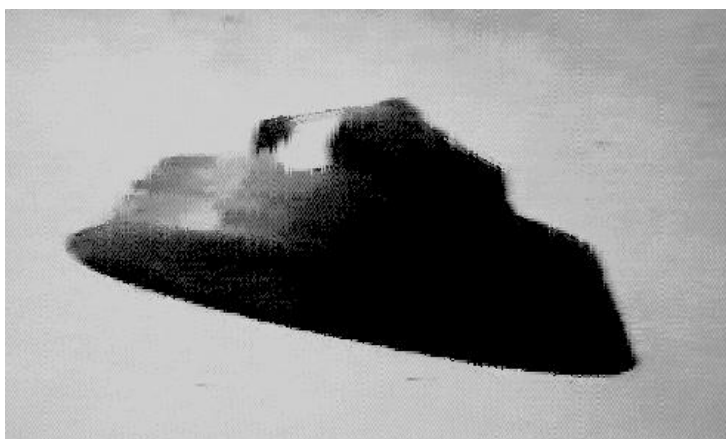
**Fot. Z-1-C5: Kuliste UFO K4 dniem w trybie bijącym.**  
(Źródło: <http://galactic-server.com/torealf/ufo.html> .)

Przykład kolorowej fotografii kompleksu kulistego dwóch UFO typu K4, sprzęgniętych ze sobą podstawami i lecących w trybie bijącym, uchwyconego dniem z boku i lekko od góry, pokazany został na zdjęciu Z\_1\_C5. Zdjęcie Z\_1\_C5 zaczerpnięte zostało z Internetu, gdzie w październiku 2000 roku wystawione było pod adresem <http://galactic->

server.com/torealf/ufo.html. Powiększenie samego wehikułu UFO ujętego na zdjęciu Z\_1\_C5 pokazane zostało na powiększeniu P\_1\_C5.

Jeśli dla wehikułu ze zdjęcia Z\_1\_C5 zdefiniować wszystkie cechy wyszczególnione we wstępnej części rozdziału C, to cechy te przyjmowałyby następujące wartości: (1) Generacja: UFO pierwszej generacji (t.j. wehikuł czysto magnetyczny), (2) Konwencja lotu: magnetyczna, (3) Odmiana wehikułu: dyskoidalne UFO, (4) Typ: K4, (5) Konfiguracja: kompleks kulisty UFO, (6) Pozycja: stojąco-wisząca, (7) Tryb pracy: bijący, (8) Stan powłoki: odbijająca światło, (9) Widoczne wyposażenie: brak szczegółów, (10) Konfiguracja pędników: kapsuła dwukomorowa, (11) Wysterowanie pędników: niemożliwe do zdefiniowania, (12) Emisja światła: brak, (13) Animacja: UFO zawisa bez ruchu, (14) Parametry fotografowania: (14a) Kąt patrzenia: widok z góry i lekko z boku, (14b) Warunki oświetleniowe: pełnia dnia, (14c) Wykadrowanie: widoczny cały wehikuł i otaczające go chmury, (14d) Czas naświetlania: krótki, (14e) Przeszkody: duża odległość do wehikułu.

Czarno-białe zdjęcie konfiguracji dwóch UFO zwanej "choinką", pracującej w trybie wiru magnetycznego, pokazany został na zdjęciu **Z\_4\_C5**. Zdjęcie Z\_4\_C5 zaczerpnięte zostało z Internetu, gdzie w listopadzie 2000 roku wystawione było pod adresem <http://www.anomalous-images/images/ufos3.html>, nosząc tam symbol SAUCER1.GIF. Brak o nim jakichkolwiek informacji, poza faktem że uchwycone ono zostało na czarno-białym filmie 120 mm. Jego analiza wykazuje, że ujęta na nim konfiguracja UFO obejmuje sobą dwa wehikuły, mianowicie typów K3 i K4. Mniejszy wehikuł K3 leci przy tym doczepiony do grzbietu większego UFO typu K4. Oba wehikuły osłonięte są wirującą chmurą plazmy, jaka formuje charakterystyczny jonowy obraz wiru magnetycznego. Faktycznie co zdjęcie pokazuje to właśnie ów jonowy obraz wiru magnetycznego.



Fot. Z-4-C5: **Choinka z UFO typu K3 i K4 w wirze.** (Źródło: <http://www.anomalous-images/images/ufos3.html> .)

#### C5.1. Konfiguracje UFO sfotografowane w świetle dziennym ale w trybie działania lub konwencji lotu które czynią UFO niewidzialne dla ludzkich oczu

Wysokie zaawansowanie techniczne UFO powoduje, że wehikuły te posiadają do swej dyspozycji aż cały szereg trybów działania i konwencji lotu które czynią te wehikuły niewidzialne dla ludzkich oczu. Niefortunnie dla UFOautów, niektóre z owych trybów i konwencji działania mogą zostać uchwycone na zdjęciach.

Przykładowo, telekinetyczna konwencja działania powoduje wydzielanie białego tzw. "jarzenia pochłaniania" które już może być uchwycone na fotografiach.

Kolejny przykład dziennej fotografii konfiguracji UFO lecącej w



Fot. Z-2-C5: **Koraliki z UFO typu K6 dniem.** (Źródło: <http://www.anomalous-images/images/russufo4.html> .)



telekinetycznej konwencji działania, jaka to konfiguracja w podrozdziale B5.2 nazywana była "koralikami", pokazany został na zdjęciu **Z\_2\_C5**. Zdjęcie Z\_2\_C5 zaczerpnięte zostało z Internetu, gdzie w listopadzie 2000 roku wystawione było pod adresem <http://www.anomalous-images/images/russufo4.html>, nosząc tam symbol Ufo34.jpg. Wywodzi się ono ze zbiorów Nikolay Subbotin'a, RUFORS (Russian UFO Research Station), Box 6303, Perm, Russia 614010, <norsa@psu.ac.ru> zaś wykonane ono zostało w obszarze rosyjskiego obszaru anomalnego, nazywanego Moljebka (na przecięciu się regionów Permu i Świerdłowska). Pokazuje ono dwa kompleksy kuliste UFO typu K6, sprzęgnięte razem swymi kopolami w konfigurację zwaną "koralikami".

Następną konfigurację latającą sfotografowaną w świetle dziennym jest kluster sprzęgnięty z dwóch UFO i pokazany na zdjęciu **Z\_3\_C5**. Zdjęcie to zdołało uchwycić zarysy dwóch wehikułów UFO trzeciej generacji sprzęgnięte ze sobą swymi bokami za pośrednictwem łączących je razem obwodów magnetycznych. Wehikuły te lecą w trybie migotania telekinetycznego, stąd widoczne jest jedynie słabe jarzenie pochłaniania jakie zdradza ich położenie. Dolny wehikuł z tego zdjęcia uchwyciony został z wieloma szczegółami, włączając w to wylot pędnika głównego, w jego centrum, oraz rozmazane wyloty z dwóch pędników bocznych położone przy dolnej krawędzi jego obrzeża w pozycji godziny 8. Natomiast górny wehikuł pokazuje jedynie zarys swojego obrzeża. Szacując po wzajemnym usytuowaniu obu uchwycionych pędników bocznych dolnego wehikuły, dolne UFO jest typu K8, natomiast górne UFO jest typu K9. Zdjęcie Z\_3\_C5 oryginalnie opublikowane zostało na stronie 136 książki **[1C5]** (patrz też [1B4]) pióra Paul'a Devereux and Peter'a Brookesmith, "UFOs and UFOlogy", Blandford (Cassell plc., Wellington House, 125 Strand, London WC2R 0BB, UK) 1997, ISBN 0-7137-2657-1, HC, 129 pages. Jak podaje zawarty przy nim opis wykonane ono zostało w styczniu 1996 roku w Nowym Meksyku, USA. W chwili gdy zdjęcie to zostało pstryknięte, fotografujący nic nie odnotował na niebie, co dodatkowo potwierdza że oba sfotografowane wehikuły tego klustera leciały w niewidzialnym dla ludzkich oczu trybie migotania telekinetycznego. Oficjalne wyjaśnienie dla tego zdjęcia jest, że wcale nie reprezentuje ono UFO a "odbicie światła w soczewce aparatu".

Do powyższego warto tutaj dodać, że sporo zdjęć wehikułów UFO które działają w trybie lub konwencji lotu jakie czynią je niewidzialne dla ludzkich oczu, pokazane zostało w innych podrozdziałach tego traktatu, jak również w monografii [1/5].



**Fot. Z-3-C5: Latający kluster z UFO 3-ciej generacji.** (Źródło: [1C5] str. 136.)

#### C6. Konfiguracje posprzęganych UFO sfotografowane nocą

Przykład nocnej fotografii konfiguracji UFO, jaka w podrozdziale B5.4 nazywana była "układem podwieszonym", pokazany został na zdjęciu **Z\_1\_C6**. Zdjęcie Z\_1\_C6 zaczerpnięte zostało z Internetu, gdzie w listopadzie 2000 roku wystawione było pod adresem <http://www.anomalous->



**Fot. Z-1-C6: Dwa UFO K3 podwieszane pod K4.** (Źródło: <http://www.anomalous-images/images/russufo6.html> .)

images/images/russufo6.html, nosząc tam symbol Ufo61.jpg. Wywodzi się ono ze zbiorów Nikolay Subbotin'a, RUFORS (Russian UFO Research Station), Box 6303, Perm, Russia 614010, <norsa@psu.ac.ru> zaś wykonane ono zostało w obszarze rosyjskiego obszaru anomalnego, nazywanego Moljebka (na przecięciu się regionów Permu i Świerdłowska). Pokazuje ono pojedynczy wehikuł UFO typu K4 lecący w pozycji wiszącej, u podłogi którego - pod jego pdnikami bocznymi doczepione są dwa UFO typu K3. Wszystkie wehikuły otoczone są silnie jarzącym się powietrzem, jakie rozmazuje ich kształty i uniemożliwia dokładne zdefiniowanie ich wyglądu.

### C7. Sfory niezależnych od siebie wehikułów UFO

Przykład czarno-białej fotografii sfory 11 pojedynczych UFO w szyku kluczowym, lecących w trybie wiru magnetycznego, uchwyconych nocą od spodu, pokazany został na zdjęciu **Z\_1\_C7**. Zdjęcie **Z\_1\_C7** oryginalnie opublikowane zostało na stronie 18 książki **[1C7]** pióra Jenny Randles, "Alien Contact - The First Fifty Years", Collins Brown (London House, Great Eastern Wharf, Rarkgate Road, London SW11 4NQ), 1997, ISBN 1-85585-454-6, 144 pages, pb. Zdjęcie to jest jednym z kilku zdjęć wykonanych tej samej nocy i w tej samej miejscowości. Wykonane ono zostało przez niejakiego Carl'a Hart nad Lubbock, Texas, USA, dnia 30 sierpnia 1951 roku. Ich przelot obserwowany był przez licznych obserwatorów. Oficjalne wyjaśnienie rządu USA było, że zdjęcie przedstawia kaczki z odbłyśkowymi brzuchami. Obserwatorzy tych UFO odrzucają owo wyjaśnienie jako nonsens. Dokładne objaśnienia jak formowany jest kształt owego jakby "buta" jaki uchwycony został na owym zdjęciu, a jaki powstaje poprzez rozwiewanie chmury jonowej formowanej w trybie wiru magnetycznego przez UFO lecące w kątowym zorientowaniu względem kierunku swego lotu, przytoczone zostały w podrozdziale P2.12 monografii [1/4].



Fot. Z-1-C7: Sfory 11 UFO w trybie bijącym nocą. (Źródło: [1C7] str. 18.)

Warto tutaj podkreślić, że jeśli wehikuły UFO dokonują "nalotu" na jakiś obszar Ziemi, wówczas typowo jest ich wiele. Choć więc zwykle porozpraszają się one po okolicy, ich dolot na miejsce, a także odlot, typowo odbywa się właśnie w "sforach".

### C8. Telekinetyczne wehikuły UFO

Niniejszy podrozdział prezentuje zdjęcia najważniejszej grupy wehikułów okupujących Ziemię pasożytów kosmicznych, mianowicie UFO telekinetycznych. Ich najistotniejszym atrybutem jest, że posiadają one zdolność do dosłownego rozplywania się w mgłę i znikania z widoku na oczach obserwujących je lub fotografujących świadków. Jako takie są one najgroźniejszą bronią naszych okupantów, oraz ich najbardziej efektywnym narzędziem opresji. Wszakże pozwalają one kosmicznemu pasożytowi aby nieustannie okupował on Ziemię, a jednocześnie aby skutecznie ukrywał przed wzrokiem ludzkim swoją obecność na naszej planecie. Aby wypuklić ową zdolność telekinetycznych UFO do znikania z widoku, niniejszy podrozdział pokazuje zdjęcia jakie zdołały uchwycić wehikuły UFO jakie albo: (1) są niewidzialne dla ludzkich oczu, albo (2) są właśnie w trakcie rozplywania się z widoku, albo (3) są w trakcie zamieniania się w mgłę. Oczywiście, niezależnie od owego najważniejszego atrybutu, pokazane na tych zdjęciach wehikuły UFO



cechują się całym szeregiem dodatkowych atrybutów jakie zostaną oddzielnie zdefiniowane w szczegółowych opisach każdego ze zdjęć przytoczonych w niniejszym podrozdziale.

Wehikuły UFO lecące w konwencji telekinetycznej i uchwycone już po zniknięciu, lub w trakcie znikania z widoku, posiadają ogromne znaczenie edukacyjne dla wszystkich mieszkańców Ziemi. Uświadamiają one nam bowiem, że prawdziwego zaangażowania sił kosmicznych w okupację i eksploatację Ziemi nie daje się objąć wzrokowo, a także że niezależnie od sporadycznie widzialnych gołym okiem wehikułów UFO, na Ziemi nieustannie operuje też ogromna armia kosmitów jaka dysponuje dosłownie milionami niewidzialnych wehikułów (zgodnie z obliczeniami zawartymi w podrozdziale B3 traktatu [7/2], jeden niewidzialny wehikuł UFO przypada na każde około 400 mieszkańców Ziemi).

Poprzez zgrupowanie w tym podrozdziale zdjęć pokazujących UFO w tej telekinetycznej konwencji lotu, piszący niniejszy traktat starał się osiągnąć cały szereg celów. Po pierwsze starał się on ujawnić czytelnikowi wygląd telekinetycznych UFO (jaki to wygląd niestety nie jest podobny do typowych wehikułów z twardej materii, a raczej przypomina zjawy z mgły lub ze światła - patrz też podrozdział B2). Po drugie starał się obrazowo uświadomić czytelnikowi, że wehikuły UFO są urządzeniami o ogromnym poziomie zaawansowania technicznego, jakie wykorzystują w swym działaniu zjawiska technicznej telekinezy dotychczas całkowicie nieznanie ziemskiej nauce (jakie dopiero ostatnio ujawniać zaczyna nowy Koncept Dipolarnej Grawitacji opisany w rozdziale H monografii [1/4], [1/5] i [8/2]). Następnie starał się udokumentować że poza odmienną zasadą napędzania, wehikuły telekinetyczne niemal zupełnie nie różnią się wyglądem i atrybutami od wehikułów czysto magnetycznych - przykładowo UFO telekinetyczne mają dokładnie te same kształty i wymiary co UFO magnetyczne, podzielone są na dokładnie takie same typy, formują dokładnie te same konfiguracje latające, itp. W końcu starał się udokumentować, że fotograficzne dowody na nieustanne ukrywanie się UFO przed ludźmi są przytłaczające, tyle tylko że poprzez szatańskie manipulowanie opinią publiczną przez samych UFOonautów, dowody te dotychczas były starannie ukrywane przed oglądnięciem przez większość społeczeństwa. Z kolei istnienie dowodów na celowe ukrywanie się UFO przed ludźmi jest jednocześnie dowodem na okupację Ziemi przez UFO - wszakże gdyby UFOnauci nie mieli przed nami nic do ukrycia, wówczas by się przed nami nie ukrywali!

Przykład fotografii kulistego kompleksu latającego UFO typu K4, uchwyconego dniem z boku w momencie kiedy wehikuły te dosłownie rozpływały się w mgłę na oczach wielu widzów, pokazany został na zdjęciu **Z\_1\_C8**. Zdjęcie Z\_1\_C8 zaczerpnięte zostało z Internetu, gdzie w październiku 2000 roku wystawione było pod adresem <http://galactic-server.com/torealf/ufo.html>, nosząc tam symbol ufo\_472.jpg.



Fot. Z-1-C8: **Kuliste telekinetyczne UFO K4, Trinidad.**  
(Źródło: <http://galactic-server.com/torealf/ufo.html> .)

Jeśli dla wehikułu ze zdjęcia Z\_1\_C8 zdefiniować wszystkie cechy wyszczególnione we wstępnej części rozdziału C, to cechy te przyjmowałyby następujące wartości: (1) Generacja: UFO drugiej generacji (t.j. wehikuł telekinetyczny), (2) Konwencja lotu: telekinetyczna, (3) Odmiana wehikułu: dyskooidalne UFO, (4) Typ: K4, (5) Konfiguracja: kulisty kompleks latający, (6) Pozycja: pochylone, (7) Tryb pracy: telekinetyczne migotanie, (8) Stan powłoki: zamieniająca się w mgłę, (9) Widoczne wyposażenie: brak szczegółów, (10) Konfiguracja pędników: niemożliwy do zdefiniowania, (11) Występowanie pędników: niemożliwe do zdefiniowania, (12) Emisja światła: nie występuje, (13) Animacja: UFO utrwalone zostało w trakcie lotu, (14) Parametry fotografowania: (14a) Kąt patrzenia: widok z boku, (14b) Warunki oświetleniowe: pełnia dnia, (14c) Wykadrowanie: widoczny cały wehikuł i znaczna część krajobrazu jaki go otacza, (14d) Czas naświetlania: dłuższy od

pełnego cyklu telekinetycznego migotania, (14e) Przeszkody: dostępna reprodukcja tego zdjęcia jest kiepskiej jakości i zawiera naniesione na nią oznaczenia, (14f) Dane: UFO sfotografowane w styczniu 1958 roku z brazylijskiego statku "Almirante Saldhana" koło Trinidadu na Oceanie Atlantyckim, fotografia czarno-biała.

Kolejny przykład fotografii również kulistego kompleksu latającego UFO drugiej generacji, tym razem sprzęgniętego z dwóch UFO typu K6, uchwyconego dniem z boku pokazany został na zdjęciu **Z\_2\_C8**. Zdjęcie Z\_2\_C8 zaczerpnięte zostało z Internetu, gdzie w listopadzie 2000 roku wystawione było pod adresem <http://www.anomalous-images/images/russufo2.html>, nosząc tam symbol Ufo03.jpg. Wywodzi się ono ze zbiorów Nikolay Subbotin'a, RUFORS (Russian UFO Research Station), Box 6303, Perm, Russia



**Fot. Z-2-C8: Niewidzialny kompleks kulisty UFO K6.** (Z: <http://www.anomalous-images/images/russufo2.html> .)

614010, <norsa@psu.ac.ru> zaś wykonane ono zostało w obszarze rosyjskiego obszaru anomalnego, nazywanego Moljebka (na przecięciu się regionów Permu i Świerdłowska). Pokazuje ono bardzo wyraźnie ponad połowę kompleksu kulistego złożonego z dwóch wehikułów UFO typu K6 drugiej generacji, sprzęgniętych ze sobą podstawami. Ujęty na tym zdjęciu kompleks ustawiony jest w pozycji niemal pionowej, zaś jego dolna połowa zniknęła pod ziemią. (Jak wiadomo, w stanie telekinetycznego migotania, wehikuły UFO posiadają zdolność do przenikania przez obiekty stałe. W wypadku uchwyconym na zdjęciu Z\_2\_C8 wehikuły UFO albo właśnie wnikają pod ziemię przelatując przez glebę, albo też wyłaniają się spod ziemi na powierzchnię. Ich zachowanie dokładnie ilustruje więc odwieczne twierdzenia ludowe że "diabły" są w stanie zarówno wlatywać pod ziemię jak i wyłaniać się spod ziemi.) Pomimo iż oba ujęte na zdjęciu wehikuły znajdują się w stanie telekinetycznego migotania, i stąd ich kształty odzwierciedlone są tam jedynie za pośrednictwem słabego jarzenia pochłaniania pojawiającego się wzdłuż ich powierzchni, na zdjęciu ciągle widać charakterystyczne elementy powłoki kulistego kompleksu UFO typu K6. Do elementów tych zaliczyć się daje dobrze na zdjęciu widoczny podwójny zaokrąglony kołnierz jaki obiega taki kompleks dookoła wzdłuż obwodu podłóg obu wehikułów, a także charakterystyczny kształt kabin załogi zawartych w dwóch rozwartokątnych stożkach z dwoma kulisto zakończonymi kopułami górnymi.

Jeśli dla wehikułu ze zdjęcia Z\_2\_C8 również zdefiniować wszystkie cechy wyszczególnione we wstępnej części rozdziału C, to cechy te przyjmowałyby następujące wartości: (1) Generacja: UFO drugiej generacji (t.j. wehikuł telekinetyczny), (2) Konwencja lotu: telekinetyczna, (3) Odmiana wehikułu: dyskoidalne UFO, (4) Typ: K6, (5) Konfiguracja: kulisty kompleks latający, (6) Pozycja: ustawione niemal pionowo, sfotografowane z boku, (7) Tryb pracy: telekinetyczne migotanie, (8) Stan powłoki: niewidoczna a zdradzona jedynie przez jarzenie pochłaniania, (9) Widoczne wyposażenie: brak szczegółów, (10) Konfiguracja pędników: niemożliwy do zdefiniowania, (11) Wystawienie pędników: niemożliwe do zdefiniowania, (12) Emisja światła: słabe jarzenie pochłaniania, (13) Animacja: UFO utrwalone zostało w trakcie wnikania pod ziemię, (14) Parametry fotografowania: (14a) Kąt patrzenia: widok z boku, (14b) Warunki oświetleniowe: pełnia dnia, (14c) Wykadrowanie: widoczna jedynie połowa wehikułów i znaczna część krajobrazu jaki je otacza, (14d) Czas naświetlania: dłuższy od pełnego cyklu telekinetycznego migotania, (14e) Przeszkody: dostępna reprodukcja tego zdjęcia jest czarno-biała, (14f) Dane: UFO sfotografowane w obszarze rosyjskiego obszaru anomalnego, nazywanego Moljebka (na przecięciu się regionów Permu i Świerdłowska).

Oczywiście, niezależnie od niewidzialnych wehikułów UFO ukrytych przed ludźmi w stanie migotania telekinetycznego, na zdjęciach czasami utrwalani zostają UFOanci jacy przylatują na Ziemię w takich niewidzialnych dla oczu wehikułach. Jeden z najlepszych przykładów fotografii takich niewidzialnych dla ludzkich oczu UFOautów pokazany był już w podrozdziale B2 jako zdjęcie Z\_4\_B2.



Fot. Z-3-C8: Czterech niewidzialnych UFOautów.  
(Źródło: [www.anomalous-images/images/russufo4.html](http://www.anomalous-images/images/russufo4.html) .)

Przykład następną fotografią ukazującej grupę aż czterech takich niewidzialnych dla oczu UFOautów, jakich położenie w danym miejscu zdradza jedynie uchwycone przez aparat fotograficzny subtelne jarzenie pochłaniania, pokazany jest na na zdjęciu Z\_3\_C8. Zdjęcie Z\_3\_C8 również zaczerpnięte zostało z Internetu, gdzie w listopadzie 2000 roku wystawione było pod adresem <http://www.anomalous-images/images/russufo4.html>, nosząc tam symbol Ufo35.jpg. Również wywodzi się ono ze zbiorów Nikolay Subbotin'a, RUFORS (Russian UFO Research Station), Box 6303, Perm, Russia 614010, <norsa@psu.ac.ru>. Pokazuje ono bardzo wyraźnie charakterystyczne pozycje i kombinezony kosmiczne UFOautów używających telekinetycznego napędu osobistego. Warto zwrócić uwagę, że istoty ujęte na tym zdjęciu są ubrane niemal identycznie do UFOauty uchwyconego na zdjęciu z rysunku R monografii [1/4].

### C9. Wehikuły czasu

W podrozdziale C9 zaprezentowane są zdjęcia których najbardziej rzucającym się w oczy atrybutem jest, że zdołały one uchwycić wehikuły UFO lecące w konwencji czasu. Oczywiście, niezależnie od owego najważniejszego atrybutu, pokazane na tych zdjęciach wehikuły UFO cechują się całym szeregiem dodatkowych atrybutów jakie stanowiły przedmiot obszernych objaśnień z rozdziału B, a jakie zostaną oddzielnie zdefiniowane w szczegółowych opisach każdego ze zdjęć przytoczonych w niniejszym podrozdziale.

Fotografie wehikułów czasu posiadają szczególne znaczenie dla UFOlogii. Są one bowiem naocznym dowodem na fakt, że okupujący Ziemię UFOanci posiadają zdolność do podróżowania w przyszłość i w przeszłość, a także do zmieniania zdarzeń jakie miały już miejsce. W ten sposób w ich mocy jest zdolność do niezwykle efektywnego manipulowania naszą cywilizacją, tak aby cywilizacja ta nie miała liczących się szans na wydobycie się ze zniewalającego ją poddaństwa.

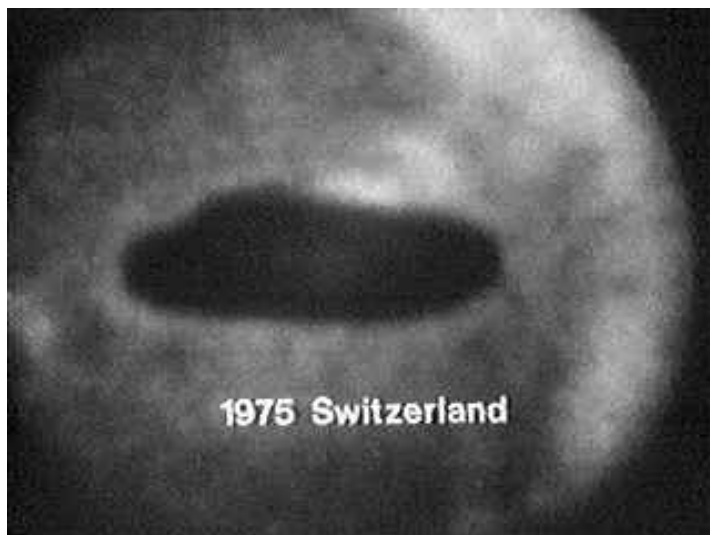
Poprzez zgrupowanie w jednym podrozdziale szeregu zdjęć pokazujących wehikuły czasu, piszący ten traktat starał się osiągnąć aż kilka celów. Po pierwsze starał się on uzupełnić objaśnienia z podrozdziału B3 o dalsze przykłady zdjęć jakie ilustrują czytelnikowi jak wehikuły czasu dokładnie wyglądają. Po drugie starał się obrazowo uświadomić czytelnikowi, że wszystkie owe bajki na temat "piorunów kulistych" jakie zmanipulowani przez UFOautów naukowcy upowszechniają w celu odwrócenia uwagi od wehikułów czasu, jest po prostu zwykłą zasłoną dymną. Aczkolwiek bowiem możliwe jest formowanie miniaturowych sfer elektrycznie naładowanego gazu, ciągle większość empirycznego materiału obserwacyjnego jaki naukowcy kwalifikują jako "pioruny kuliste" faktycznie są obserwacjami wehikułów czasu. W końcu piszący starał się udokumentować, że fotografie utrwalające wehikuły czasu, w dużej liczbie przypadków ujawniają również istnienie wehikułu UFO w centrum owej kuli wzbudzonej czasowo przestrzeni. Istnienie i widzialność owego wehikułu UFO obala więc owe twierdzenia naukowców, że jeśli coś jest kuliste i czasami znika z głośnym bangiem sonicznym, wówczas musi to być piorun kulisty.

Przykład czarno-białej fotografii wehikułu czasu typu K4, sfotografowanego w nocy, pokazany został na zdjęciu **Z\_1\_C9**. Zdjęcie Z\_1\_C9 zaczerpnięte zostało z Internetu, gdzie w październiku 2000 roku wystawione było pod adresem <http://www.ids.net.pl/~nole/pictures.html>, nosząc tam symbol 147.jpg. Powiększenie samego wehikułu UFO ujętego na zdjęciu Z\_1\_C9 pokazane zostało na powiększeniu P\_1\_C9.

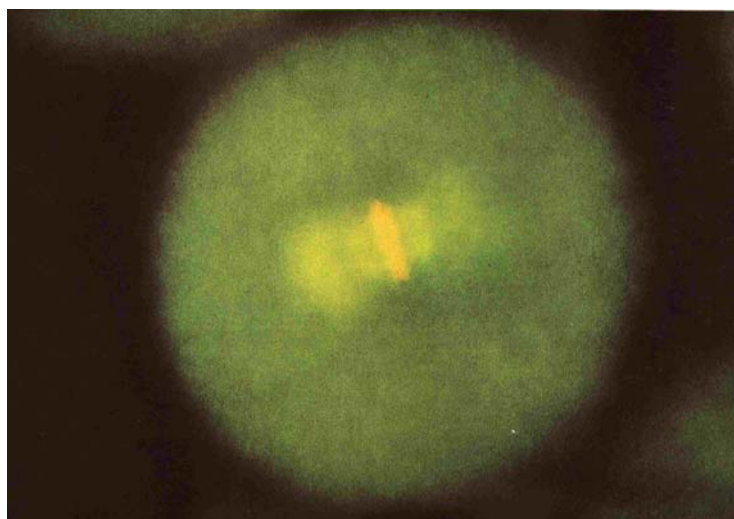
Jeśli dla wehikułu ze zdjęcia Z\_1\_C9 zdefiniować wszystkie cechy wyszczególnione we wstępnej części rozdziału C, to cechy te przyjmowałyby następujące wartości:

(1) Generacja: UFO trzeciej generacji (t.j. wehikuł czasu), (2) Konwencja lotu: zmiana upływu czasu, (3) Odmiana wehikułu: dyskoidalne UFO, (4) Typ: K4, (5) Konfiguracja: pojedyncze UFO, (6) Pozycja: stojąca, (7) Tryb pracy: zmiana upływu czasu (z powodu czarno-białego zdjęcia nie wiadomo czy typu przyspieszanie czy opóźnianie czasu), (8) Stan powłoki: odbijająca światło, (9) Widoczne wyposażenie: brak szczegółów, (10) Konfiguracja pędników: niemożliwa do określenia, (11) Występowanie pędników: niemożliwe do określenia, (12) Emisja światła: przestrzeń wzbudzona przez UFO emituje światło jakie jest silniejsze od światła padającego na niego z zewnątrz, (13) Animacja: UFO utrwalone zostało w trakcie wykonywania lekkiego ruchu falowego, (14) Parametry fotografowania: (14a) Kąt patrzenia: widok z boku i z lekka od dołu, (14b) Warunki oświetleniowe: noc, (14c) Wykadrowanie: widoczny cały wehikuł i znaczna część wzbudzonej czasowo przestrzeni jaka go otacza, (14d) Czas naświetlania: znacznie dłuższy od cyklu ruchu falowego UFO, (14e) Przeszkody: dostępna reprodukcja tego zdjęcia jest kiepskiej jakości.

Interesujący przykład kolorowej fotografii pokazany został na zdjęciu **Z\_2\_C9**. Zdjęcie Z\_2\_C9 oryginalnie opublikowane zostało na stronie 20 książki **[1C9]** "Marvels of the mind", The Book Company Ltd (9/9-13 Winbourne Road, Brookvale 20, Sydney NSW, Australia), Orbis Publishing 1996, ISBN 1863092641, 112 pages, pb. Przytoczone ono zostało w rozdziale poświęconym tajemniczemu zjawiskom zachodzącym w głębi mózgu ludzkiego. W książce tej nie podano jednak ani opisu, ani pochodzenia tego zdjęcia. W mojej opinii najprawdopodobniej przedstawia ono kulisty kompleks dwóch wehikułów czasu typu K6, sfotografowanego w nocy i jarzącego się zielonkawym światłem. Brak natomiast jego opisu w omawianej książce tłumaczyłbym początkową chęcią zakwalifikowania UFO do tajemniczych zjawisk typu obrazowego powstających właśnie w ludzkim mózgu - z którego to zamiaru następnie prawdopodobnie zrezygnowano po uświadomieniu sobie, że zjawisk w mózgu nie daje się fotografować.



Fot. Z-1-C9: Wehikuł czasu typu K4 nocą. (Źródło: <http://www.ids.net.pl/~nole/pictures.html> .)



Fot. Z-2-C9: Wehikuł czasu typu K4 nocą. (Źródło: str. 20 książki [1C9].)

Ciekawe, jakie zdanie (po przeczytaniu niniejszego traktatu), czytelnik będzie miał na temat co owo zdjęcie naprawdę sobą przedstawia.

#### C10. Na zakończenie rozdziału C

W ostatnich czasach pasożytujący na ludzkości UFOnauci coraz bardziej podkreślają posłusznych sobie sprzedawczyków aby ci z rosnącą hałaśliwością zaprzeczali istnieniu UFO. Duża też część społeczeństwa daje się zwieźć owej hałaśliwej propagandzie, zasiewając w swoich głowach coraz większy mętlik na temat wehikułów naszych kosmicznych pasożytów, oraz akceptując coraz bardziej nieprawdopodobne bajeczki wmawiające ludziom czym jakoby jest to co badacze nazywają UFO. Tymczasem jeśli ktoś zdobędzie się na wysiłek zgłębienia prawdy, rzeczywistość okazuje się bardzo prosta. UFO bowiem to nie jakieś tam zjawy z odmiennych wymiarów, ani nie kształty zrodzone przez naszą wyobraźnię, a solidne materialne wehikuly latające jakie naruszają naszą przestrzeń i jakie przywożą na Ziemię pasożytujących na ludzkości kosmitów. Wehikuly te dają się fotografować, a także wszelkie ich szczegóły są objaśnialne na bazie dzisiejszej nauki i techniki. Czas więc aby zbudzić się z omamu i zacząć dostrzegać rzeczywistość taką jaka naprawdę ona jest. Prawdę trzeba bowiem poznawać taką jaka ona jest, nawet jeśli nie bardzo jest ona nam na rękę.



Rozdział D:

## PRAWIDŁOWOŚCI RZUCAJĄCE SIĘ W OCZY

Motto tego rozdziału: "Wszystko co daje się fotografować, wykazuje wysoką konsystencję w budowie, zasadzie działania i indukowanych zjawiskach, musi obiektywnie istnieć."

Po przeglądnięciu ogromu istniejących fotografii UFO jakie zaprezentowane były w rozdziałach B i C niniejszego traktatu, czytelnik zgromadził już wystarczający zasób wiadomości, aby obecnie oddać się zajęciu wyciągania wniosków i ustalania generalnych prawidłowości. Wszakże materiał fotograficzny zgromadzony i zaprezentowany w niniejszym traktacie pozwala na uświadomienie sobie całego szeregu takich prawidłowości i wniosków. Niniejszy rozdział został właśnie poświęcony ich wyszczególnieniu i objaśnieniu. Oto one.

1. Prawidłowości "oczywiste". Pierwszą grupę wniosków i prawidłowości wynikających z fotograficznego materiału dowodowego zaprezentowanego w niniejszym traktacie można by nazwać "oczywistymi", jako że posiadają one oczywistą naturę, chociaż dla wielu czytelników mogą stanowić zaskoczenie. Przytoczmy tutaj kilka ich przykładów.

- Istnieje zatrzęsienia czytelnych fotografii UFO. Jednym z najlepszych przykładów takich oczywistych, aczkolwiek często zaskakujących dla ludzi prawidłowości, jest fakt że istnieje już ogromne zatrzęsienie czytelnych fotografii UFO. Pomijając wierzenia czy czyjaś celową propagandę, że brak jest wyraźnych fotografii UFO, kolejnym istotnym powodem dla którego ludzie zazwyczaj nie zdają sobie sprawy z istnienia tak ogromnej liczby czytelnych fotografii UFO, jest że fotografie te porozpraszane są one po świecie, rzadko kiedy występując w nieco większym zgrupowaniu. Wynika to głównie z faktu, że nie wiedząc dotychczas jak fotografie UFO należy interpretować naukowo, ludzie nie widzieli sensu w zadawaniu sobie trudu zgromadzenia w jednym opracowaniu większej ich liczby. Niniejsza prawidłowość dlatego nazywana jest "oczywistą", że wynika ona z prostej statystyki. Jak bowiem wykazują to zgrubne oszacowania, na Ziemi w działaniu są ogromne "liczby" wehikułów UFO. Nawet więc na przekór że wehikuly UFO starannie się ukrywają przed ludźmi, oraz że jak ognia unikają one zostania sfotografowanymi, ciągle przez przypadek UFO muszą być relatywnie często utrwalane na zdjęciach i to w znaczących liczbach.

- Ten sam rodzaj dyskoidalnych wehikułów UFO konsystentnie występuje na niemal wszystkich autentycznych fotografiach UFO. W ramach strategii szerzenia wśród ludzi konfuzji celowo upowszechniane jest wierzenie że jakoby każdy wehikuł UFO zbudowany został przez kogoś innego i rzekomo tylko sporadycznie "odwiedza" on Ziemię, a stąd każdy wehikuł UFO jakoby wygląda zupełnie inaczej. Dodatkowym utwierdzaczem tego wierzenia są liczne sfabrykowane "fotografie UFO", jakie pokazują najróżniejsze dziwne kształty, które danemu fabrykującemu wyglądały wystarczająco niezwykle aby użyć je do sfabrykowania rzekomych zdjęć UFO. Tymczasem autentyczne fotografie UFO zgromadzone w niniejszym traktacie obalają również i to fałszywe wierzenie. Jak bowiem zdjęcia te ujawniają, niemal wszystkie wehikuly UFO sfotografowane na Ziemi charakteryzują się dokładnie tym samym zbiorem parametrów technicznych, wymiarów, kształtów, oraz standardów budowy. To zaś oznacza, że wszystkie zdjęcia wehikułów UFO pokazują taki sam rodzaj statków latających, tyle że w każdym przypadku sfotografowanych w odmiennym trybie pracy, konwencji, warunkach, środowisku, oświetleniu, itp.

2. Użyteczne ustalenia. Kolejną grupę prawidłowości jakie wynikają z niniejszego traktatu można nazwać "użytecznymi ustaleniami". Powodem jest, że zarówno dla badaczy UFO, jak i dla zwykłych ludzi - którzy przecież zgodnie z najnowszymi ustaleniami są

nieustannie uprowadzanymi do wehikułów UFO, prawidłowości te posiadają liczne praktyczne zastosowania. Przytoczmy tutaj kilka ich przykładów.

- Najlepszym przykładem takiego użytecznego ustalenia, jest udokumentowana licznymi zdjęciami UFO prawidłowość, że dniami ogromna większość wehikułów UFO lata w pozycji stojącej, natomiast nocami przeważająca większość UFO lata w pozycji wiszącej.

- Innym przykładem użytecznego ustalenia może być wyjaśnione na początku podrozdziału B4 odkrycie, że wehikuły UFO lądujące w nocy w pozycji wiszącej, z reguły nie pozostawiają lądowiska w kształcie wypalonego pierścienia lub kręgu, a raczej lądowisko w kształcie pojedynczej plamy zwykle ciemniejszej trawy, jaka rośnie bujniej, i jaka tylko niekiedy jest magnetycznie spalona. Kształt tej plamy zawsze odpowiada najbliższemu gleby fragmentowi komory oscylacyjnej z pędnika głównego danego UFO. Zależnie też od wymiarów liniowych tej plamy, daje się ustalić średnica  $D_M$  pędnika który ją wypalił, a stąd też i ustalić jakiego typu było UFO które ją po sobie pozostawiło.

3. Sprawdzalne przeszkadzanie. Jest już tradycją, że kiedykolwiek przystępuję do pisania kolejnego opracowania na temat UFO, natychmiast ktoś rozpoczyna energiczną kampanię "przeszkadzania". Aczkolwiek kampanii tej zawsze poddawani są obaj autorzy danego traktatu, każdy w odmienny sposób i odmiennymi metodami, poniżej przytoczę tylko opisy jak ona wygląda obserwowana moimi oczami. W moim osobistym przypadku tradycyjnie używane są takie sprawdzone już w działaniu metody jak sprowadzanie najróżniejszych uciążliwych chorób, nasilanie się codziennej senności i "chronicznego" zmęczenia, spiętrzenie nagłych obowiązków życiowych, kłopoty z pracą, tzw. "wypadki losowe", oraz zamachy na życie. Oczywiście ja staram się ujawniać wszystko co mi się przytrafia, bowiem liczę że niektórzy z czytelników rozpoznają w tych perypetiach zdarzenia jakie niekiedy dotyczą i ich samych. Niestety, z reakcji czytelników na te opisy odnotowałem, że spora liczba czytających moje opracowania nie wierzy w rzeczywistość tego co opisuję, oraz uważa że wszystkie dotyczące mnie zdarzenia to po prostu szeregi zbiegów okoliczności jakie tylko przez przypadek zbiegają się z czasem pisania moich opracowań.

## KOMENTARZ DLA DOTYCHCZASOWYCH USTALEŃ

Motto tego rozdziału: "Zrozumienie zaczyna się od pytania dlaczego"

Skoro istnieją tak niepodważalne dowody na istnienie UFO jak owe jednoznacznie interpretowalne zdjęcia tych wehikułów zaprezentowane w rozdziałach B i C, pytanie jakie zapewne każdy sobie zadaje, to "dlaczego UFOanci nie ujawnią swej obecności na Ziemi, a ukrywają się przed ludźmi jak zbójcy?" Szokująca odpowiedź na to pytanie wynika z obszaru filozofii, a nie techniki. Dostarcza jej bowiem znajomość filozofii zwanej "pasożytnictwem" której wyznawanie demonstrują UFOanci, a która jest dokładnym przeciwieństwem filozofii zwanej "totalizmem" wyznawanej przez moralnie postępujące istoty. Wyjaśnijmy więc najpierw w skrócie różnice pomiędzy owymi dwoma podstawowymi, chociaż dokładnie przeciwstawnymi filozofiami inteligentnego wszechświata.

Pasożytnictwo jest filozofią bazującą na zasadzie czynienia w życiu absolutnego minimum, czyli czynienia tylko tego do czego nas zmuszono, oraz zmuszania innych aby wykonywali dla nas to czego nam samym nie chce się wykonywać. Stąd inna nazwa dla pasożytnictwa byłaby "podążanie po linii najmniejszego oporu". Dokładniejszy opis pasożytnictwa zawarty jest w monografii [8/2]. Istoty które wyznają filozofię pasożytnictwa mogą jedynie wtedy oddawać się leniuchowaniu a jednocześnie posiadać dostęp do potrzebnych im przyjemności życia, jeśli w swojej mocy posiadają one jakichś niewolników. Dlatego też osoby praktykujące pasożytnictwo, żyją z pracy innych, uprawiając najróżniejsze formy rozboju i prowadząc życie inteligentnych pasożytów. Aby swoje pasożytowanie uczynić skuteczniejszym, osoby te bez przerwy ukrywają swoje pasożytowanie przed innymi ludźmi.

Gdyby w punktach zdefiniować cechy charakterystyczne filozofii pasożytnictwa, to są one jak następuje:

- Istoty wyznające pasożytnictwo nie wypełniają praw moralnych w swoim postępowaniu, aczkolwiek wiedzą o istnieniu tych praw i stąd w swoich działaniach zawsze starają się obchodzić je ostrożnie naokoło, tak aby nie dosięgła ich kara za ich łamanie.

- Istoty wyznające pasożytnictwo są ateistami. Tylko bowiem NIE uznawanie istnienia wszechświatowego intelektu (Boga) umożliwia im życie bez wypełniania praw moralnych jakie intelekt ten ustanowił, a jakich wypełnianie przez każdego egzekwuje on z żelazną ręką.

Totalizm można by zdefiniować jako filozofię "wypełniania praw moralnych", albo całkowicie świecką "wiarę bez religii". Totalizm jest filozofią jaka stanowi dokładne przeciwieństwo pasożytnictwa. Z tego też powodu totalizm obecnie jest usilnie zwalczany przez moce jakie starają się upowszechnić wśród ludzi pasożytniczą filozofię. W przeciwieństwie do wszystkich innych filozofii dotychczas opracowanych na Ziemi, totalizm wcale nie został wymyślony jako kolejna filozofia, a zwyczajnie wyniknął on z nowej teorii naukowej która posiada wszelkie cechy od dawna poszukiwanej "Teorii Wszystkiego", a jaka nosi skromną nazwę "Konceptu Dipolarnej Grawitacji". (Koncept Dipolarnej Grawitacji jest dokładnie opisany w tomach 4 i 5 aż trzech odmiennych monografiich upowszechnianych darmowo za pośrednictwem internetu, mianowicie [1/4], [1/5] i [8/2], a także na totalizycznej stronie internetowej o nazwie "dipolar\_gravity\_pl.htm".) Aby w prosty sposób wytłumaczyć to wynikanie totalizmu z Konceptu Dipolarnej Grawitacji, to najpierw rozpracowana została i opublikowana owa nowa teoria naukowa nazywana Konceptem Dipolarnej Grawitacji. Między innymi ustaleniami i odkryciami, teoria ta wskazała też

istnienie zupełnie nowej grupy praw wszechświata, które to prawa nazywa ona "prawami moralnymi". Prawa moralne mają to do siebie, że muszą być wypełniane w życiu, w przeciwnym wypadku tych, którzy je łamią, spotykają bardzo surowe kary. Jako takie, prawa moralne jakby narzucają ludziom jak powinni prowadzić swoje życie (t.j. ujawniają one że jedynym poprawnym sposobem prowadzenia swojego życia jest sposób jaki polega na skrupulatnym wypełnianiu praw moralnych w swoim postępowaniu). Następstwem więc tego zmuszania ludzi do życia w określony sposób było, że powstała potrzeba stworzenia zbioru zasad jakie informują ludzi jak należy żyć aby nie łamać owych praw moralnych. Wszakże nie daje się wypełniać praw moralnych jeżeli ktoś nie wie co prawa te stwierdzają. Ten zbiór zasad postępowania to właśnie filozofia totalizmu. Oczywiście filozofia totalizmu ma znacznie więcej do siebie niż to może zostać wyrażone w tak krótkim paragrafie. Pełne sformułowanie tej filozofii, i to ciągle bez uwzględnienia Konceptu Dipolarnej Grawitacji z jakiego ona wynika, obejmuje aż cztery duże tomy monografii [1/4] (mianowicie tomy 6 do 9) jakich sumaryczna objętość przekracza 250 stron tekstu. Wraz z Konceptem Dipolarnej Grawitacji opisy totalizmu zajmują aż 8 tomów monografii [8/2]. Jeśli jednak ktoś zechce się zapoznać z podsumowaniem totalizmu wyrażonym na kilku stronach, powinien zapoznać się z totalizyczną stroną internetową o nazwie "totalizm\_pl.htm".

Gdyby w kilku zdaniach starać się podsumować podstawowe atrybuty filozofii totalizmu, to:

- Totalizm ma tylko jedną zasadę do przestrzegania która stwierdza że "we wszystkim co czynisz zawsze pedantycznie przestrzegaj praw moralnych".

- Praktykowanie totalizmu sprowadza się do stosowania w swym życiu zbioru rekomendacji (albo zaleceń) które dostarczają łatwych do zapamiętania i prostych do realizacji wytycznych jak praktycznie wypełniać owe "prawa moralne" we wszystkim co czynimy. Aby przytoczyć tutaj jeden przykład takiej rekomendacji, to może nim być zalecenie totalizmu aby "we wszelkich sprawach dotyczących innych ludzi zawsze wybierać działanie jakie jest odwrotne do kierunku wskazywanego przez linię najmniejszego oporu intelektualnego".

- Każda rekomendacja totalizmu bezpośrednio wynika z jakiegoś prawa moralnego, którego istnienie odkryte zostało dopiero przez nowy Koncept Dipolarnej Grawitacji. Przykładowo poprzednio przytoczona rekomendacja wynika z prawa nakazującego aby "zawsze wybierać takie kierunki postępowania jakie wnoszą nas w polu moralnym i stąd jakie zwiększają energię moralną u wszystkich zainteresowanych osób".

- Totalizm stwierdza, że wszelkie działania ludzkie mają miejsce w nieznanym dotychczas ziemskiej nauce rodzaju pola, jakie przez Koncept Dipolarnej Grawitacji nazywane jest "polem moralnym". Pole to jest bardzo podobne do pola grawitacyjnego, tyle że oddziałuje ono na intelekt zamiast na masy. Wobec istnienia tego pola, dokonywanie w życiu rzeczy moralnych upodobnić się daje do wspinania się pod górę pola grawitacyjnego - czego następstwem jest, że "wszystko co moralne jest także trudne i wymaga włożenia w to sporego wysiłku" (pomimo tego ciągle musimy podejmować wysiłek dokonywania rzeczy moralnych, bowiem tylko w ten sposób przestrzegamy praw moralnych).

- Totalizm daje się zdefiniować jako filozofia całkowicie świecka, aczkolwiek jest to filozofia jaka uznaje i wprowadza w życie formalny dowód że Bóg faktycznie istnieje - jaki to dowód opracowany został i zaprezentowany przez Koncept Dipolarnej Grawitacji z którego totalizm się wyłonił. (Totalizm jednak nazywa Boga z użyciem odmiennego terminu "wszechświatowy intelekt", jaki to termin ma podkreślać że intelekt ten oraz ustanowiony przez niego pojedynczy zbiór praw moralnych obejmują swą mocą wszystkie istoty rozumne zamieszkujące ogromny wszechświat.) Zgodnie bowiem z totalizmem, jedyną zalecaną manifestacją naszego podporządkowania się wszechświatowemu intelektowi (Bogu) jest wypełnianie ustanowionych przez niego praw moralnych. Natomiast to co dotychczasowe religie uważały za manifestacje podporządkowania się Bogu danej religii, a więc spektakularne gesty religijne, uczestniczenie w uroczystościach religijnych, itp.,

zgodnie z totalizmem jest jedynie nieistotną otoczką, która wcale nie musi być realizowana chociaż wolno ją wprowadzać w życie jeśli nasza tradycja, kultura, lub przyzwyczajenie nam to nakazuje.

- Totalizm stara się w naukowy sposób dociekać czystej prawdy na wszelkie tematy jakie dotychczas zarezerwowane były jako domena wyłącznie religii i jakie omijane były panicznie przez oficjalną naukę ziemską. Przykładowo totalizm bardzo dokładnie zdefiniował pojęcie "wszechświatowego intelektu" który jest totalistycznym odpowiednikiem dla religijnego pojęcia Boga. Zdefiniował także pojęcia "totalistycznego grzechu" i "totalistycznego dobrego uczynku" - które jednak wyraźnie się różnią od religijnych definicji "grzechu" czy "dobrego uczynku", ponieważ kryterium ich popełniania jest wyłącznie spadek lub wzrost czyjegoś zasobu wolnej woli (energii moralnej "zwow"). Jako taki totalizm można więc również nazywać "wiarą bez religii". Totalizm celowo nie wiąże się z żadną religią czy kultem, chociaż formalnie przyznaje on że np. Chrześcijaństwo zawiera w sobie wiele totalistycznych elementów. Wynika to ze świadomości faktu, że religie i kultury obejmują sobą również cele polityczne, jakich sam fakt istnienia wprowadza zagrożenie dla czystości szerzonej przez nie prawdy. Aby więc skupić się na docieczeniu absolutnie czystej prawdy, totalizm pozostaje filozofią całkowicie świecką, na przekór że uznaje on istnienie wszechświatowego intelektu, i na przekór że esencją totalizmu jest skrupulatne wypełnianie praw moralnych ustanowionych przez ten intelekt.



# Na zakończenie

Motto tego rozdziału: "Każda podróż przysparza wiedzy."

Na tym się kończy nasza podróż w poszukiwaniu prawdy o UFO. Prawda ta jest trudna do odkrycia, bowiem jest ona starannie ukrywana przed ludźmi. Niemniej, na przekór owego nieustannego ukrywania się UFO przed ludźmi, opracowania, jak niniejsze, pomału wydobywają na światło dzienne coraz dokładniejszy obraz tego co wokół nas naprawdę się dzieje. Oby niniejszy traktat przysłużył się dobrze temu zaszczytnemu zadaniu.

W tym miejscu chciałbym skorzystać z okazji i przekazać moje serdeczne podziękowania wszystkim tym którzy przyczynili się do powstania, upowszechnienia, i poznania wiedzy zakumulowanej w treści niniejszego traktatu. Najpierw chciałbym podziękować Panu Adamowi Wróblowi, za poświęcenie swojego osobistego czasu dla urzeczywistnienia i upowszechnienia tego traktatu, na wyszukanie i przetworzenie użytego tutaj materiału ilustrującego, oraz za nieustanne wsparcie moralne i pomoc fachową jakich mi udzielał podczas pisania. Chciałbym także podziękować serdecznie tym wszystkim często anonimowym ludziom którzy wykazali wyjątkowy refleks, fachowość i oddanie prawdzie, wykonując pokazywane w tym traktacie zdjęcia UFO, oraz konsekwentnie oddając je potem w służbę naszej cywilizacji poprzez umożliwienie innym ich bezinteresowne oglądnięcie. W końcu chciałbym też podziękować wszystkim tym licznym kobietom i mężczyznom z zasadami, często anonimowym wojownikom o prawdę i postęp, którzy zreprodukowali i upowszechnili pokazane w tym traktacie zdjęcia UFO, pokazując je w książkach, czasopismach, i gazetach, raportując o nich w Internecie, lub upowszechniając je w jakikolwiek inny sposób. Wszakże ich trud, oddanie prawdzie, oraz odwaga osobista, nawet jeśli nie zawsze uświadamiana przez innych, także dołożyła znaczący wkład w urzeczywistnienie się tego traktatu.

## WYKAZ PUBLIKACJI UZUPEŁNIAJĄCYCH I POSZERZAJĄCYCH TREŚĆ TEGO TRAKTATU

Aby zminimalizować objętość niniejszego traktatu z konieczności autorzy zmuszeni byli do dokonywania nieustannego wyboru co włączyć do jego treści, co zaś z niego wyeliminować. Stąd przedstawiony tu materiał ogranicza się tylko do rozważań bezpośrednio podpierających cele i tezę tego traktatu. Tym więc z czytelników których zainteresowały zaprezentowane tutaj rozważania, rekomendowane byłoby dodatkowe zapoznanie się ze wskazanymi poniżej innymi (polskojęzycznymi) opracowaniami które jeszcze szczegółowiej rozpracowują poszczególne tematy. Elektroniczna wersja każdej końcowej publikacji z danej serii dostępna jest też nieodpłatnie do załadowania z Internetu (tj. w internecie już są upowszechniane gratisowo publikacje poniżej oznaczane symbolami: [1e], [1/4], [1/4e], [1/5], [1/5e], [2], [2e], [3B], [4B], [4C], [5e/3], [5p/4], [7], [7e], [7w], [7/2], [7e/2], [8], [8e], [8/2], [8e/2]). Wszystkie też te publikacje są już dostępne w bezpiecznym i wygodnym formacie PDF z ilustracjami włączonymi w ich treść. Dane bibliograficzne tych dalszych monografii i traktatów są następujące (zauważ że np. /2 czy /4 oznacza drugie czy czwarte wydanie, zaś indeks "e" oznacza wersję angielskojęzyczną danego opracowania (od "English"), podczas gdy "w" oznacza wersję włoskojęzyczną):

[1] Pająk J.: "Teoria Magnokraftu - monografia o dyskoidalnym statku kosmicznym napędzanym pulsującym polem magnetycznym". Wydanie I, polskojęzyczne. Marzec 1986, Invercargill, Nowa Zelandia, ISBN 0-9597698-5-4; 136 stron, 58 rysunków. Była to pierwsza polskojęzyczna monografia opisująca magnokraft (obecnie już nieco przestarzała). Prezentuje ona fragment Teorii Magnokraftu z następujących monografii [1a] i [1/2]:

[1e] Pająk J.: "Advanced magnetic propulsion systems" (Monograph, Dunedin, New Zealand, 1990, ISBN 0-9597698-9-7, objętość 460 stron, w tym 163 rysunków i 7 tablic). Jest to najważniejsza angielskojęzyczna monografia prezentująca poruszane tu tematy (już piąte wydanie).

[1w] "I Sistemi Avanzati di Propulsione - il Magnocraft" (tj. "Magnokraft i zaawansowane napędy magnetyczne"), Associazione Culturale Aquarius, Palermo 1998, Volume I - 337 stron, Volume II (Tavole, disegni e fotografie) 118 stron - w tym około 120 ilustracji (jest to wersja książkowa monografii [1a] wydana w języku włoskim w Palermo na Sycylii), nakład 1606 egzemplarzy; konsultacje w sprawie nabycia lub dystrybucji: Mr. Antonio Giannone, Via S. Sonnino 13, I-90124 Palermo - Sicily, Italy; Tel: +39 (91) 447663.

[1/2] Pająk J.: "Zaawansowane napędy magnetyczne", Monografia, Dunedin, New Zealand, 1998, ISBN 0-9583380-2-7, około 1200 stron tekstu w tym 120 ilustracji i 7 tablic (w 7 tomach). M.in. prezentuje opisy wszystkich dyskutowanych tu pojęć i idei.

[1/3] Pająk J.: "Zaawansowane urządzenia magnetyczne", Monografia, Dunedin, New Zealand, 1998, ISBN 0-9583727-5-6, około 1400 stron tekstu w tym około 120 ilustracji i 7 tablic (w 9 tomach). Jest to poszerzona i uaktualizowana wersja monografii [1/2].

[1/4] Pająk J.: "Zaawansowane urządzenia magnetyczne", Monografia, Dunedin, Nowa Zelandia, 1998, ISBN 0-9583727-5-6, około 1800 stron - w tym około 120 ilustracji i 7 tablic, w 18 tomach.

[1/4e] Pająk J.: "Advanced Magnetic Devices", 4th edition, Monograph, Wellington New Zealand, 2003, ISBN 0-9583727-5-6, around 1800 pages, in this around 120 illustrations and 7 tables, in 18 volumes. (jest to angielskojęzyczna wersja monografii [1/4])

[1/5] Pająk J.: "Zaawansowane urządzenia magnetyczne", piąte wydanie, Monografia, Wellington, Nowa Zelandia, 2007, ISBN 978-1-877458-01-9, około 2000 stron - w tym około 130 ilustracji i 7 tablic, w 18 tomach. (Niniejsza monografia.)

[1/5e] Pająk J.: "Advanced Magnetic Devices", 5th edition, Monograph, Wellington New Zealand, 2007, ISBN 978-1-877458-81-1, around 2000 pages, in this around 130 illustrations and 7 tables, in 18 volumes (the English language version of this monograph [1/5]).

[2] Pająk J.: "Komora Oscylacyjna czyli magnes jaki wzniesie nas do gwiazd". Monografia, Dunedin, Nowa Zelandia, 1994, ISBN 0-9597946-2-X, 184 strony (w tym 4 tablice i 39 ilustracji).

[2e] Pająk J.: "The Oscillatory Chamber, arkway to the stars". Monograph, Dunedin, New Zealand, September 1994, ISBN 0-9583380-0-0, (objętość 365 stron tekstu plus 104 ilustracji i 7 tablic).

[3] Pająk J.: "Badania osób z nieświadomymi przeżyciami (UFO abductees)". Monografia, Dunedin, Nowa Zelandia, styczeń 1996, ISBN 0-9583380-9-4, 410 stron (w tym 56 rysunków i 5 tablic).

[3/2] Pająk J.: "Badania osób z nieświadomymi przeżyciami", 2-gie wyd., Dunedin 1998, ISBN 0-9583380-1-9, 550 s. (5 tab, 56 rys).

[3B] Domała A., Pająk J.: "Kosmiczna układanka", Traktat, Dunedin, Nowa Zelandia, 1998 rok, ISBN 0-9583727-6-4, około 100 stron.

[4] Pająk J.: "Kręgi zbożowe i inne lądowiska UFO z Nowej Zelandii", Monografia, Dunedin, N.Z., 2003\*, około 200 s. i 50 ilustracji.

[4B] Pająk J. i Pańszczyk K.: "Tunele NOL spod Babiej Góry", Traktat, Dunedin, Nowa Zelandia, 1998 rok, ISBN 0-9583380-7-8, około 100 stron tekstu i 13 rysunków.

[4C] Pająk J., Wróbel A.: "Interpretacje zdjęć UFO w świetle Teorii Magnokraftu", Traktat, Timaru 2001\*, ok. 150 stron i ok. 200 zdjęć UFO.

[5] Pająk J.: "Katakizm koło Tapanui 1178 AD - nowozelandzki odpowiednik eksplozji tunguskiej", Dunedin 1989, ISBN 0-9597698-8-9, 74s.

[5e] Pająk J.: "UFO explosion in New Zealand 1178 A.D. which tilted the Earth", Dunedin, New Zealand, 1992, ISBN 0-9597946-7-0, 78 stron, (włączając w to 31 ilustracji).

[5/2] Pająk J.: "Eksplozja UFO w Nowej Zelandii 1178 A.D. która pochyliła Ziemię", Dunedin 1993, ISBN 0-9597946-8-9, 148 stron ( w tym 37 rysunków). Prezentowała ona szczegółowe opisy wszystkich rodzajów śladów materialnych pozostawianych przez UFO na Ziemi, koncentrując się wszakże na badaniach dwóch miejsc eksplozji tych wehikułów (t.j. Tapanui w Nowej Zelandii i Tunguskiej na Syberii). Była ona drugim, uaktualnionym wydaniem polskojęzycznym angielskojęzycznej monografii [5a].

[5e/3] Pająk J.: "Eksplozja UFO w Nowej Zelandii 1178 A.D. która obróciła Ziemię", trzecie wydanie, Dunedin, Nowa Zelandia, 2 lipca 1996, ISBN 0-9583380-8-6, około 300 stron - w tym 38 ilustracji.

[5/4] Pająk J.: "Eksplozja UFO w Tapanui z roku 1178 A.D. która przemieściła kontynenty", czwarte wydanie, Dunedin, 2001\*, ISBN 0-9583380-6-X, około 400 stron plus 40 rysunków.

[6] Pająk J.: "Magnetyczne pozyskiwanie energii otoczenia"; Dunedin, Nowa Zelandia, 1990 rok, ISBN 0-9597946-0-3, 36 stron.

[6e] Pająk J.: "The magnetic extraction of energy from the environment" (Monograph, Dunedin, New Zealand 1990, ISBN 0-9597946-1-1, 20 stron plus 2 tablice i 14 rysunków).

[6/2] Pająk J.: "Telekinetyczne pozyskiwanie energii otoczenia", Monografia, Dunedin, New Zealand, maj 1992, ISBN 0-9597946-3-8, 68 stron (włączając w to 2 tablice i 22 rysunki). Prezentuje teorię efektu telekinetycznego, eksperymenty nad tym zjawiskiem, oraz już zbudowane urządzenia go wykorzystujące (włączając w to skrótkowe omówienie Thesta-Distatica). Jest ona drugim (poszerzonym i uaktualizowanym) wydaniem oryginalnie angielskojęzycznej monografii [6a].

[7] Giordano D. i Pająk J.: "Losy jednej piramidy". Traktat, Dunedin, Nowa Zelandia, 1995, ISBN 0-9583380-3-5, 52 str. (w tym 2 ilustracje).

[7e] Giordano D. i Pająk J.: "Story of one pyramid". Treatise, Dunedin, New Zealand, 1995, ISBN 0-9597946-5-4, 50 stron (w tym 2 ilustracje). Jest to angielskojęzyczne wydanie traktatu [7].

[7w] Giordano D. i Pająk J.: "Storia di una piramide". Trattato, Dunedin, Nuova Zelanda, 1996, ISBN 0-9597946-4-6, 53 strony (w tym 2 ilustracje). Jest to włoskojęzyczne wydanie traktatu [7].

[7/2] Giordano D. i Pająk J.: "Piramida myśli". Traktat, Timaru, New Zealand, 2000, ISBN 0-9583380-4-3, 200 stron (w tym 12 ilustracji).

[7/2e] Giordano D. & Pająk J.: "Pyramid of thoughts". Treatise, Timaru, New Zealand, 2000, ISBN 0-9583727-1-3, pp. 180 (12 Figures).

[7B] Pająk J., Szewczyk W.: "Urządzenie do ujawniania niewidzialnych obiektów ukrytych w stanie migotania telekinetycznego" (planowana w 2 tomach, dostępny tylko tom 1), Traktat, Dunedin, Nowa Zelandia, 1998 rok, ISBN 0-9583727-8-0, tom 1 około 70 stron (w tym 4 ilustracje).

[8] Pająk J.: "Totalizm", Monografia, Wellington, Nowa Zelandia, 2001, ISBN 0-9583727-3-X, w 8 tomach, około 1000 stron i 10 ilustracji.

[8e] Pająk J.: "Totalizm", Monograph, Wellington, New Zealand, 2001, ISBN 0-9583727-2-1, w 8 tomach, około 1000 stron i 10 ilustracji.

[8/2] Pająk J.: "Totalizm", drugie wydanie, Monografia, Wellington, Nowa Zelandia, 2009, ISBN 978-1-877458-00-2, w 8 tomach, około 600 stron i 10 ilustracji. (Jest to drugie wydanie monografii [8].)

[8e/2] Pająk J.: "Totalizm", second edition, Monograph, Wellington, New Zealand, 2009, ISBN 978-1-877458-80-4, in 8 volumes, around 600 pages and 10 illustrations. (Jest to angielskojęzyczna wersja drugiego wydania monografii [8a].)

[9] Pająk Cz. i Pająk J.: "Przysłowia wschodu oraz z innych stron świata - proverbs of the orient and from other corners of the world", wydawnictwo poznańskie (ul. Fredry 8, 61-701 Poznań, Polska), 2003 rok, ISBN 83-7177-273-4, 551 stron, zawiera ponad 2700 przysłów.

## O AUTORACH - Jan Pająk

Dr inż. Jan Pająk urodził się 25 maja 1946 roku we Wszewilkach koło Milicza, Polska. Pierwsze 36 lat swego życia spędził w Polsce, gdzie zdobył edukację i doświadczenie naukowe. W 1982 roku opuścił Polskę i przybył do Nowej Zelandii. Od 28 sierpnia 1985 roku posiada on obywatelstwo nowozelandzkie.

Dr Pająk rozpoczął swą edukację w Miliczu, gdzie uczęszczał do Liceum Ogólnokształcącego. Po zdaniu matury w 1964 roku rozpoczął studia na Wydziale Mechanicznym Politechniki Wrocławskiej. Studia te ukończył w 1970 roku, otrzymując tytuł "magistra inżyniera". Swą karierę zawodową rozpoczął wykładami na Politechnice Wrocławskiej. W 1974 roku obronił rozprawę doktorską ze wspomaganego komputerowo projektowania maszyn (CAD), otrzymując tytuł "doktora nauk technicznych". W tym samym roku został też awansowany z pozycji starszego asystenta na pozycję adiunkta. Równoległe z obowiązkami wykładowcy na Politechnice Wrocławskiej, dr Pająk zatrudniony był w latach 1975-1977 na półetatu jako doradca naukowy do spraw oprogramowania inżynierskiego w Zakładach Komputerowych MERA-ELWRO. Natomiast od 1978 roku aż do opuszczenia Polski pracował jako konsultant naukowy do spraw wspomaganego komputerowo projektowania i produkcji (CAD/CAM) w Jelczańskich Zakładach Samochodowych POLMO-JELCZ.



W 1982 roku dr Pająk podjął jednoroczne po-doktorskie stypendium naukowe na Wydziale Mechanicznym Uniwersytetu Canterbury w Christchurch, Nowa Zelandia. Po ukończeniu tego stypendium w 1983 roku rozpoczął on pracę wykładowcy z oprogramowania komputerów na Politechnice w Invercargill. Od lutego 1988 roku zrezygnował z tej posady i podjął pozycję starszego wykładowcy (Senior Lecturer) z oprogramowania inżynierskiego i inteligentnych systemów komputerowych (Software Engineering and Artificial Intelligence) na Wydziale Informatyki i Studiów Komputerowych w Otago University, Nowa Zelandia. Z pozycji tej złożył wypowiedzenie wchodzące w życie od 1 lutego 1992 roku. Dnia 1 września 1992 roku podjął on swoją pierwszą w życiu profesurę, zajmując stanowisko Associate Professora (t.j. odpowiednika profesora nadzwyczajnego w Polsce) w Studiach Komputerowych na Wydziale Matematyki z Eastern Mediterranean University (Famagusta, North Cyprus, Mersin 10, Turkey). Gdy we wrześniu 1993 roku ów kontrakt wygasł, rozpoczął swą drugą w życiu profesurę podejmując trzy-letni kontrakt jako Profesor Madya na Wydziale Mechanicznym Uniwersytetu Malaya (59100 Kuala Lumpur, Malaysia). Kiedy i ta profesura wygasła, począwszy od października 1996 roku podjął kolejną, trzecią w swym życiu profesurę, tym razem na dwu-letnim kontrakcie jako Associate Professor w inżynierii mechanicznej w Faculty of Engineering, Universiti Malaysia Sarawak, na tropikalnej wyspie Borneo. Kontrakt ten zakończył w październiku 1998 roku. Począwszy od 24 stycznia 1999 roku powrócił do Nowej Zelandii. W czasie pisania niniejszego traktatu zatrudniony był jako wykładowca na jednej z Politechnik w miejscowości Timaru, Nowa Zelandia.

W 1998 roku polskie czasopismo "Nieznany Świat" opublikowało recenzję jednej z jego publikacji, rankując Profesora Pająka jako czołowego (numer jeden) naukowca w świecie w zakresie badania technicznych aspektów UFO.



## H. O AUTORACH - Adam Wróbel

Mgr Adam Wróbel urodził się 24 grudnia 1973 roku w Gdyni. W 1980 roku rozpoczął edukację w Sportowej Szkole Podstawowej nr 35 w Gdańsku Oliwie. Szkołę tą ukończył w 1988 roku. Po ukończeniu szkoły podstawowej kontynuował edukację w Gdyńskim III Liceum Ogólnokształcącym w klasie o profilu matematyczno-fizycznym z wykładowym programem nauczania języka angielskiego. W 1992 roku otrzymał świadectwo maturalne i rozpoczął studia w kierunku Ekonomiki Transportu na Uniwersytecie Gdańskim w Sopocie. W 1997 roku obronił pracę magisterską na temat "Rola ogólnoswiatowej sieci komputerowej Internet w biznesie" i uzyskał tytuł magistra Międzynarodowych Stosunków Gospodarczych i Ekonomicznych.



Jego ojciec grał zawodowo w hokeja na lodzie w polskiej lidze hokeja (obecnie jest trenerem w klubie RKS Stoczniowiec Gdańsk). Nie powinno więc dziwić, że w wieku 8 lat, idąc śladami ojca, mgr Adam Wróbel również zaczął trenować grę w hokeja. Swoją karierę sportową kontynuował przez cały czas nauki, przechodząc przez wszystkie szczeble młodzieżowych Reprezentacji Polski hokeja na lodzie (grał w jednej drużynie między innymi z Krzysztofem Oliwą i Mariuszem Czerkawskim - obecnie występującymi w National Hockey League w USA i Kanadzie) rozgrywając 6 sezonów w Polskiej Ekstraklasie Hokeja na Lodzie w klubie RKS Stoczniowiec Gdańsk. Do swoich najważniejszych osiągnięć sportowych zalicza udział i zajęcie 7 miejsca w Mistrzostwach Europy Juniorów do lat 18 w 1991 roku, oraz dwukrotne zdobycie największej liczby bramek w drużynie seniorów Stoczniowca Gdańsk.

Swoje życie zawodowe rozpoczął w 1992 roku, kiedy to został zawodowym graczem hokeja na lodzie w klubie RKS Stoczniowiec Gdańsk. Niestety twarde realia dzisiejszego sportu zawodowego w Polsce zmusiły go w 1999 roku do zrezygnowania z zawodowej gry w hokeja. Wówczas to wraz z małżonką Ewą założył własną firmę "TOKO Studio reklamy" <<http://www.toko.ncom.pl>>. W chwili opracowywania niniejszego traktatu zawodowo zajmował się prowadzeniem tej firmy.

Zarówno zdobywane wykształcenie, jak i późniejsza praca zawodowa sprzyjały poznawaniu języków obcych. Obecnie zna bardzo dobrze język angielski oraz biernie język niemiecki. Ponadto już podczas studiów zaczął przejawiać duże zainteresowanie we wszystkim co wiązało się z komputerami. Eksperymentując ze swoim komputerem zdobył na tyle pokaźną ekspertyzę komputerową, że później okazała się ona wystarczająca do prowadzenia własnej firmy. Zdobyl też spore doświadczenie praktyczne w problematyce internetowej, w zakresie budowy komputerów, w architekturze zestawów komputerowych, w stopniu poznania systemów operacyjnych, a także w możliwościach i wykorzystaniu dostępnego w Polsce software do profesjonalnej grafiki komputerowej oraz do obsługi biura.

Zainteresowanie w UFO oraz w niewyjaśnionych zjawiskach zrodziło się kiedy mgr Adam Wróbel miał około 10 lat i wpadła mu do ręki książka na temat niewyjaśnionych zniknięć w rejonie Trójkąta Bermudzkiego. Od tego czasu jego zainteresowaniem cieszyło się wszystko czego oficjalna nauka nie była w stanie wyjaśnić. Interesowały go przede wszystkim takie zagadki jak: UFO, zjawiska paranormalne, katastrofa Tunguska, piramidy egipskie, tzw. zakazana archeologia, teorie Ericha Von Dänikena, itp. W związku z narastającą powszechnością dostępu do Internetu w Polsce, od kilku lat poszukiwał tam

różnych ciekawostek na te tematy, co zaowocowało natrafieniem na monografie naukowe prof. Jana Pajaka dotyczące bezpośrednio tematyki jaką najbardziej się interesuje.

Niezależnie od powyższych zainteresowań, dalsze Jego pasje obejmują muzykę, turystykę rowerową, oraz oczywiście sport. Jego ulubiony rodzaj muzyki to szeroko pojęty rock'n'roll, od ciężkiego heavy metalu do lekkiej muzyki zespołu Police. Przy letniej pogodzie lubi wybierać się na kilkudniowe wycieczki rowerowe. Natomiast w zakresie sportu, co najmniej raz w tygodniu stara się pograć albo w piłkę nożną, albo też w hokeja na rolkach lub hokeja na lodzie.

Załącznik Z1.**Zestawienie ilustracji użytych w traktacie [4c]**

"Interpretacja zdjęć UFO w świetle Teorii Magnokraftu", ISBN 0-9583380-5-1

Uwaga: zdjęcia i rysunki włączone w skład niniejszego traktatu [4c] pokazane tutaj zostały wyłącznie w celach naukowych, tj. jako baza ilustracyjna dla ich naukowego przeanalizowania i zinterpretowania, oraz jako platforma dla podnoszenia ogólnej wiedzy społeczeństwa w tematyce UFO. Stąd zdjęcia te i rysunki objęte są dokładnie tymi samymi prawami copyright jakie nałożone na nie zostały w oryginalnych opracowaniach źródłowych z jakich je zaczerpnięto w celu poddania ich tutaj owym naukowym analizom i interpretacjom. Przy braku zaś możliwości odnalezienia owych pracowań źródłowych - takimi samymi prawami copyright jakie nałożone zostały na pozostałe części niniejszego traktatu.

Objaśnienia. Niniejszy załącznik ma na celu zaprezentowanie zestawienia jakie obejmuje sobą podstawowe informacje o wszystkich ilustracjach użytych w niniejszym traktacie. I tak dla każdej ilustracji zestawia on cztery grupy informacji, mianowicie:

- Typ i numer kolejny danej ilustracji. Niniejszy traktat posiada trzy typy ilustracji, mianowicie "zdjęcia" (oznaczane literą "z\_") które są oryginalnymi zdjęciami UFO, powiększenia (oznaczane literą "p\_") które reprezentują powiększenia wehikułów UFO uchwyconych na oryginalnych zdjęciach, oraz rysunki (oznaczane literą "r\_") które reprezentują rysunkowe objaśnienie co dany obiekt uchwycony na jakimś zdjęciu faktycznie sobą przedstawia. Natomiast numer kolejny danej ilustracji (np. 1\_B1.1), zawsze składa się z dwóch członów mianowicie zaczyna się od liczby (np. 1\_) która oznacza numer kolejny tej ilustracji w danym podrozdziale, oraz symbolu podrozdziału (np. B1.1) w którym dany rysunek został opisany i zinterpretowany.

- Krótki opis danej ilustracji. Jest to kilka słów mających na celu wyjaśnienie co dana ilustracja przedstawia.

- Nazwę pliku komputerowego w którym dana ilustracja jest przechowywana. Jeśli ktoś zechce sobie ściągnąć ze strony internetowej komputerową wersję tego traktatu i jego ilustracji, wówczas poszczególne ilustracje zapakowane będą w odrębnych plikach. Kolumna "plik" w zestawieniu poniżej informuje o nazwie pliku komputerowego w jakim dana ilustracja jest przechowywana i udostępniana. Warto też zwrócić uwagę, że trzeci człon nazwy tego pliku, (t.j. człon \*.jpg lub \*.gif) informuje o formacie w jakim ilustracja ta została zapisana.

- Pochodzenie danej ilustracji. Informacja ta ma na celu wskazanie źródła z jakiego dana informacja oryginalnie się wywodzi, oraz uhonorowanie wkładu autorów owego źródła i wykonawcę danej ilustracji. Gdzie tylko był to w możliwościach autorów, W przypadku jeśli dane zdjęcie pochodzi z Internetu, wówczas we wszystkich przypadkach kiedy adres ten okazał się możliwy do ustalenia, w kolumnie "źródło" podany został internetowy adres pod którym zdjęcie to zostało wystawione. W przypadku jeśli jakiś rysunek wywodzi się z któregoś z opracowań zestawionych w rozdziale G niniejszego traktatu, np. z monografii [1/4], wówczas jego pochodzenie zaznaczone zostało skrótowo symbolem oznaczającym numer owego opracowania oraz numer rysunku w owym opracowaniu (np. symbolem: [1/4]-rys. F1b). Zauważ że wszystkie ilustracje do opracowań wyszczególnionych w rozdziale G dostępne są w Internecie pod adresami przytoczonymi na stronie tytułowej traktatu [4c].

W tym miejscu warto skorzystać z okazji i w imieniu całej ludzkości złożyć serdecznie podziękowa wszystkim tym odważnym ludziom, którzy wykonali i upowszechnili zdjęcia UFO, jakie obecnie zostały naukowo przeanalizowane i zinterpretowane w niniejszej monografii. Ich trud wykonania owych zdjęć, oraz późniejsza odwaga ich publicznego zaprezentowania, przyczyniły się niepomniernie do wzrostu naszej wiedzy i świadomości na

temat technicznych aspektów UFO. Z kolei owa wiedza jest ogromnie istotna dla przeżycia ludzkości jako cywilizacji która jest brutalnie eksploatowana przez owe pasożytnicze cywilizacje które posiadają wehikuly UFO w swojej dyspozycji, jednak które bez przerwy ukrywają przed ludźmi swoją nieustanną obecność na Ziemi. Ogromne podziękowania autorom owych zdjęć w imieniu nas wszystkich!

### Zestawienie. Oto kolejne ilustracje włączone w skład niniejszego traktatu [4c]:

| Typ_Nr_Ro. Opis danej ilustracji                | Plik w [4c]     | Źródło  |
|---|-----------------|---|
| R_1_B. Budowa i działanie magnokraftu typu K3   | r_1_b.4c.gif    | [1/4]-rys. F1a  |
| Z_1_B1.1. UFO K3 dniem z boku w trybie bijącym  | z_1_b11.4c.jpg  | <a href="http://free.eroskop.pl/accounts/freero47/ufo.htm">http://free.eroskop.pl/accounts/freero47/ufo.htm</a>         |
| P_1_B1.1. UFO K3 ze zdjęcia Z_1_B1.1            | p_1_b11.4c.jpg  | <a href="http://www.marcinex.kimip.pl/xfiles/zufo.htm">http://www.marcinex.kimip.pl/xfiles/zufo.htm</a>                 |
| R_1_B1.1. Wygląd boczny magnokraftu typu K3     | r_1_b11.4c.gif  | [1/4]-rys. F1b; [7/2]-rys. A1b;   |
| Z_2_B1.1. UFO K4 nocą oddolnie z polem bijącym  | z_2_b11.4c.jpg  | książka [1B1.1] Rene Coudris, "Przesłanie z Roswell"  |
| P_2_B1.1. UFO K4 ze zdjęcia Z_2_B1.1            | p_2_b11.4c.jpg  |   |
| R_2_B1.1. Wiszący magnokraft K6 oddolnie        | r_2_b11.4c.gif  | Adoptowane z [1/4]-rys. F13;  |
| Z_1_B1.2. UFO K7 dniem z boku z soczewką        | z_1_b12.4c.jpg  | <a href="http://www.anomalous-images.com/images/ufos4.html">http://www.anomalous-images.com/images/ufos4.html</a>       |
| P_1_B1.2. UFO K7 ze zdjęcia Z_1_B1.2            | p_1_b12.4c.jpg  |   |
| R_1_B1.2. Zestaw niezespólny magnokr. K7        | r_1_b12.4c.gif  | [1/4]-rys. S1a; [1/4]-rys. F10;   |
| Z_2a_B1.2. Kapsuła z domin. str. zewnętrznego   | z_2a_b12.4c.jpg | [1B1.2] strona 117;   |
| Z_2b_B1.2. Kapsuła z domin. str. wewnętrznego   | z_2b_b12.4c.jpg | [2B1.2] strona 315;   |
| R_2_B1.2. Wznoszący się magnokraft w soczewce   | r_2_b12.4c.gif  | [1/4]-rys. F32;   |
| Z_1_B1.3. UFO K3 dniem od spodu z wirem         | z_1_b13.4c.jpg  | <a href="http://www.ids.net.pl/~nole/pictures.html">http://www.ids.net.pl/~nole/pictures.html</a>                       |
| P_1_B1.3. UFO K3 ze zdjęcia Z_1_B1.3            | p_1_b13.4c.jpg  |   |
| R_1_B1.3. Wir jonowy magnokraftu K3             | r_1_b13.4c.gif  | [1/4]-rys. F27;   |
| Z_2_B1.3. UFO K4 nocą oddolnie w trybie wiru    | z_2_b13.4c.jpg  | <a href="http://www.anomalous-images.com/images/ufo4.html">http://www.anomalous-images.com/images/ufo4.html</a>         |
| P_2_B1.3. UFO K4 ze zdjęcia Z_2_B1.3            | p_2_b13.4c.jpg  |   |
| Z_3_B1.3. 2 UFO z wirem wieczorem, długi czas   | z_3_b13.4c.gif  | <a href="http://www.artbell.com.ufos2.html">http://www.artbell.com.ufos2.html</a>                                       |
| Z_4_B1.3. Szybkie UFO K3 nocą w trybie wiru     | z_4_b13.4c.jpg  | <a href="http://galactic-server.com/torealf/ufo.html">http://galactic-server.com/torealf/ufo.html</a>                   |
| Z_1_B2. Telekinetyczne UFO K7 z boku dniem      | z_1_b2.4c.jpg   | <a href="http://www.geocities.com/Area51/Vault/8411/ufo.html">http://www.geocities.com/Area51/Vault/8411/ufo.html</a>   |
| P_1_B2. UFO K7 ze zdjęcia Z_1_B2                | p_1_b2.4c.jpg   |   |
| Z_2_B2. Telekinetyczne UFO K3 z boku dniem      | z_2_b2.4c.jpg   | udostępnione bezpośrednio przez wykonawcę   |
| P_2_B2. UFO K3 ze zdjęcia Z_2_B2                | p_2_b2.4c.jpg   |   |
| R_2_B2. Ładujący pod 45 magnokr. K3 z boku      | r_2_b2.4c.gif   | Adoptowane z [1/4]-rys. F6_3;   |
| Z_3_B2. Telekinetyczne UFO K6 oddolnie nocą     | z_3_b2.4c.jpg   | <a href="http://www.artbell.com/ufos4.html">http://www.artbell.com/ufos4.html</a>                                       |
| P_3_B2. UFO ze zdjęcia Z_3_B2                   | p_3_b2.4c.jpg   |   |
| Z_4_B2. Jarzący się telekinetyczny UFO nauta    | z_4_b2.4c.jpg   | [1B2] str. 51;  |
| Z_1_B3. Wehikul czasu typu K4 z boku w nocy     | z_1_b3.4c.jpg   | <a href="http://www.anomalous-images.com/images/ufos4.html">http://www.anomalous-images.com/images/ufos4.html</a>       |
| P_1_B3. UFO K4 ze zdjęcia Z_1_B3                | p_1_b3.4c.jpg   |   |
| R_1_B4. Wyznaczanie typu magnokraftu            | r_1_b4.4c.gif   | [1/4]-rys. F20  |
| Z_1_B4. Ładowisko 255 UFO -całej jednej flotyli | z_1_b4.4c.gif   | [1B4] str. 67;  |
| R_1_B4.1. Wygląd boczny magnokraftu typu K3     | r_1_b41.4c.gif  | [1/4]-rys. F19a_K3  |
| R_1_B4.2. Wygląd boczny magnokraftu typu K4     | r_1_b42.4c.gif  | [1/4]-rys. F19a_K4  |
| Z_1_B4.2. Rekonstrukcja wyglądu UFO typu K4     | z_1_b42.4c.jpg  | <a href="http://www.anomalous-images.com/images/ufos3.html">http://www.anomalous-images.com/images/ufos3.html</a>       |
| R_1_B4.3. Wygląd boczny magnokraftu typu K5     | r_1_b43.4c.gif  | [1/4]-rys. F19a_K5  |
| Z_1_B4.3. Zdjęcie UFO typu K5 od spodu dniem    | z_1_b43.4c.jpg  | [1B4.3] str. 122  |
| P_1_B4.3. UFO K5 ze zdjęcia Z_1_B4.3            | p_1_b43.4c.jpg  |   |
| R_1_B4.4. Wygląd boczny magnokraftu typu K6     | r_1_b44.4c.gif  | [1/4]-rys. F19a_K6  |
| Z_1_B4.4. Zdjęcie UFO typu K6 z boku dniem      | z_1_b44.4c.jpg  | <a href="http://www.ids.net.pl/~nole/pictures.html">http://www.ids.net.pl/~nole/pictures.html</a>                       |
| P_1_B4.4. UFO K6 ze zdjęcia Z_1_B4.4            | p_1_b44.4c.jpg  |   |
| R_1_B4.5. Wygląd boczny magnokraftu typu K7     | r_1_b45.4c.gif  | [1/4]-rys. F19b_K7  |
| R_1_B4.6. Wygląd boczny magnokraftu typu K8     | r_1_b46.4c.gif  | [1/4]-rys. F19b_K8  |
| Z_1_B4.6. Zdjęcie UFO typu K8 z ukosa dniem     | z_1_b46.4c.jpg  | <a href="http://www.anomalous-images.com/images/russufo4.html">http://www.anomalous-images.com/images/russufo4.html</a> |
| P_1_B4.6. UFO K8 ze zdjęcia Z_1_B4.6            | p_1_b46.4c.jpg  |   |
| R_1_B4.7. Wygląd boczny magnokraftu typu K9     | r_1_b47.4c.gif  | [1/4]-rys. F19b_K9  |
| Z_1_B4.7. Zdjęcie UFO typu K9 z boku dniem      | z_1_b47.4c.jpg  | <a href="http://galactic-server.com/torealf/ufo.html">http://galactic-server.com/torealf/ufo.html</a>                   |
| P_1_B4.7. UFO K9 ze zdjęcia Z_1_B4.7            | p_1_b47.4c.jpg  |   |
| Z_2_B4.7. Wiszące UFO K9 od dołu nocą (bijący)  | z_2_b47.4c.jpg  | (Grangespi.jpg - dane pod zdjęciem)   |
| R_1_B4.8. Wygląd boczny magnokraftu typu K10    | r_1_b48.4c.gif  | [1/4]-rys. F19b_K10   |
| R_1_B5.1.1. Kulisty kompleks magnokraftów K3    | r_1_b511.4c.gif | [1/4]-rys. O9ab   |
| Z_1_B5.1.1. Kuliste UFO typu K5 z boku dniem    | z_1_b511.4c.jpg | <a href="http://galactic-server.com/torealf/ufo.html">http://galactic-server.com/torealf/ufo.html</a>                   |
| P_1_B5.1.1. UFO K5 ze zdjęcia Z_1_B5.1.1        | p_1_b511.4c.jpg |   |
| Z_2_B5.1.1. Kuliste UFO typu K4 z boku nocą     | z_2_b511.4c.jpg | <a href="http://www.ids.net.pl/~nole/pictures.html">http://www.ids.net.pl/~nole/pictures.html</a>                       |
| P_2_B5.1.1. UFO K4 ze zdjęcia Z_2_B5.1.1        | p_2_b511.4c.jpg |   |
| Z_3_B5.1.1. Kuliste UFO typu K4 dniem z boku    | z_3_b511.4c.jpg | <a href="http://galactic-server.com/torealf/ufo.html">http://galactic-server.com/torealf/ufo.html</a>                   |
| P_3_B5.1.1. K4 o polu bijącym z Z_3_B5.1.1      | p_3_b511.4c.jpg |   |
| R_1_B5.1.2. Cygaro z 6 magnokraftów typu K3     | r_1_b512.4c.gif | [1/4]-rys. F6_1   |
| Z_1_B5.1.2. Cygarowate UFO z boku dniem         | z_1_b512.4c.jpg | <a href="http://www.ids.net.pl/~nole/pictures.html">http://www.ids.net.pl/~nole/pictures.html</a>                       |
| P_1_B5.1.2. UFO ze zdjęcia Z_1_B5.1.2           | p_1_b512.4c.jpg |   |
| R_1_B5.1.3. Jodełka magnokraftów K3-K6          | r_1_b513.4c.gif | [1/4]-rys. F8_2b  |
| Z_1_B5.1.3. Jodełka w wirze z UFO K4, K5 i K5 z | z_1_b513.4c.jpg | [1B5.1.3], str. 155   |
| R_1_B5.2. Zestaw semieszpólny magnokra. K3      | r_1_b52.4c.gif  | [1/4]-rys. F6_2   |
| R_2_B5.2. Koraliki z magnokraftów K3            | r_2_b52.4c.gif  | [1/4]-rys. F9b  |
| Z_2_B5.2. Koraliki z UFO K5 i K6 z boku dniem   | z_2_b52.4c.jpg  | <<internet - adres nieznan?>>   |
| P_2_B5.2. UFO K5 i K6 ze zdjęcia Z_1_B5.2       | p_2_b52.4c.jpg  |   |
| Z_3_B5.2. Koraliki z kulistych UFO: 1xK6 i 4xK3 | z_3_b52.4c.jpg  |   |
| R_1_B5.3. Zestaw niezespólny magnokra. K3       | r_1_b53.4c.gif  | [1/4]-rys. F6_3   |

|   |                    |   |
|---|--------------------|---|
| R_1_B5.4. Układ podwieszony magnokr. K5 i K3    | r_1_b54.4c.gif     | [1/4]-rys. F6_4   |
| Z_2_B5.4. Układ 3xK4 podwieszony pod UFO K7     | z_2_b54.4c.jpg     | <<internet - adres nieznan?>>   |
| P_2_B5.4. UFO K7 i 3xK4 ze zdjęcia Z_2_B5.4     | p_2_b54.4c.jpg     |   |
| R_1_B5.5. Latający system magnokraftów K3       | r_1_b55.4c.gif     | [1/4]-rys. F6_5   |
| R_1_B5.6. Latający kluster magnokraftów K6      | r_1_b56.4c.gif     | [1/4]-rys. F13  |
| Z_1_B5.6. Krąg zbożowy Alton Barnes, UK, 1990   | z_1_b56.4c.jpg     | [1B5.6], str. 154   |
| Z_2a_B5.6. Krąg lodu, Północna Szwecja, 1987    | z_2a_b56.4c.jpg    | [1B5.6], str. 158   |
| Z_2b_B5.6. Krąg lodu, Pensylwania, USA, 1993    | z_2b_b56.4c.jpg    | [1B5.6], str. 158   |
| Z_3a_B5.6. Krąg ziemi, N.Sarepta, Canada, 1992  | z_3a_b56.4c.jpg    | [1B5.6], str. 159   |
| Z_3b_B5.6. Krąg ziemi, Kemerowo, Rosja, 1990    | z_3b_b56.4c.jpg    | [1B5.6], str. 159   |
| Z_4_B5.6. Krąg zbożowy klusteru z UFO K7        | z_4_b56.4c.jpg     | <a href="http://www.anomalous-images/images/UFO5.JPG">http://www.anomalous-images/images/UFO5.JPG</a>           |
| Z_1_B6. Sfora UFO K3 i K4 dniem                 | z_1_b6.4c.jpg      | <a href="http://www.ids.net.pl/~nole/pictures.html">http://www.ids.net.pl/~nole/pictures.html</a>               |
| P_1_B6. UFO K3 i K4 ze zdjęcia Z_1_B6           | p_1_b6.4c.jpg      |   |
| Z_2_B6. Sfora trzech UFO w niepełnym świetle    | z_2_b6.4c.jpg      | <a href="http://galactic-server.com/torealf/ufo.html">http://galactic-server.com/torealf/ufo.html</a>           |
| R_1_B7.1. Stojąca i wisząca pozycja magnokr.    | r_1_b71.4c.gif     | [1/4]-rys. F4   |
| Z_1_B7.3. Wiszące UFO typu K3 z światłami SUB   | z_1_b71.4c.jpg     | <a href="http://galactic-server.com/torealf/ufo.html">http://galactic-server.com/torealf/ufo.html</a>           |
| R_1_B7.2. Rozmieszczenie pędników magnokr.K3    | r_1_b72.4c.gif     | [1/4]-rys. F28a   |
| Z_1_B7.2. Pędniki UFO typu K9 widziane nocą     | z_1_b72.4c.gif     | [1B7.2] str. 114;   |
| Z_2_B7.2. Pędniki telekinetycznego UFO typu K3  | z_2_b72.4c.gif     | <a href="http://galactic-server.com/torealf/ufo.html">http://galactic-server.com/torealf/ufo.html</a>           |
| Z_1a_B7.3. UFO K7 z czarnymi belkami (P. Villa) | z_1a_b73.4c.gif    | <a href="http://galactic-server.com/torealf/ufo.html">http://galactic-server.com/torealf/ufo.html</a>           |
| Z_1b_B7.3. UFO K7 z czarnymi belkami (P. Villa) | z_1b_b73.4c.gif    | [1B7.3], druga (kolorowa) plansza, photo 5  |
| Z_1c_B7.3. UFO K7 z czarnymi belkami (P. Villa) | z_1c_b73.4c.gif    | [1B7.3], druga (kolorowa) plansza, photo 4  |
| Z_1d_B7.3. UFO K7 z czarnymi belkami (P. Villa) | z_1d_b73.4c.gif    | [1B7.3], druga (kolorowa) plansza, photo 1  |
| Z_1e_B7.3. Soczewka magn.UFO K7 (Villa,1963)    | z_1e_b73.4c.gif    | [1B7.3], druga (kolorowa) plansza, photo 3  |
| Z_1f_B7.3. Soczewka magn. UFO K7 (Villa,1963)   | z_1f_b73.4c.gif    | [1B7.3], druga (kolorowa) plansza, photo 2  |
| Z_1_B7.4. UFO K6 z teleskopowymi nogami         | z_1_b74.4c.gif     | <<internet - adres nieznan?>>   |
| P_1_B7.4. UFO K6 ze zdjęcia Z_1_B7.4            | p_1_b74.4c.gif     |   |
| Z_2_B7.4. Kuliste UFO K6 z 2-ma nogami          | z_2_b74.4c.gif     | [1B7.4] str. 142;   |
| R_1_B7.5. System SUB w magnokrafce K3           | r_1_b75.4c.gif     | [1/4]-rys. F30  |
| Z_1_B7.5. UFO K6 dniem z systemem SUB           | z_1_b75.4c.gif     | <<internet - adres nieznan?>>   |
| P_1_B7.5. UFO K6 ze zdjęcia Z_1_B7.5            | p_1_b75.4c.gif     |   |
| Z_1_B7.6. Pędnik UFO K3 nocą jako reflektor     | z_1_b76.4c.gif     | <a href="http://www.ids.net.pl/~nole/pictures.html">http://www.ids.net.pl/~nole/pictures.html</a>               |
| P_1_B7.6. UFO K3 ze zdjęcia Z_1_B7.6            | p_1_b76.4c.gif     |   |
| Z_2_B7.6. Słup światła z pędnika UFO dniem      | z_2_b76.4c.gif     | <a href="http://www.anomalous-images/images/russufos.html">http://www.anomalous-images/images/russufos.html</a> |
| Z_1_B7.7. Wnętrze światłowodu pędnika UFO       | z_1_b77.4c.jpg     | <a href="http://www.anomalous-images/images/ufos3.html">http://www.anomalous-images/images/ufos3.html</a>       |
| Z_2a_B7.7. Światłowód pędnika UFO z zewnątrz    | z_2a_b77.4c.jpg    | <a href="http://www.anomalous-images/images/ufos3.htm">http://www.anomalous-images/images/ufos3.htm</a>         |
| Z_2b_B7.7. Światłowód pędnika UFO z daleka      | z_2b_b77.4c.jpg    | <a href="http://www.anomalous-images/images/russufo5.html">http://www.anomalous-images/images/russufo5.html</a> |
| Z_1_B7.8. Chmury ukrywające UFO, Ticino, Szw.   | z_1_b78.4c.jpg     | Dar Helen Loepfe, Wakuaity, New Zealand.  |
| Z_1_B8. Czteropędnikowe UFO, Tavernes, Francja  | z_1_b8.4c.gif      | [1B8]   |
| Z_1_C1. UFO K3 w trybie bijącym od dołu         | z_1_c1.4c.jpg      | <a href="http://www.ids.net.pl/~nole/pictures.html">http://www.ids.net.pl/~nole/pictures.html</a>               |
| P_1_C1. UFO K3 ze zdjęcia Z_1_C1                | p_1_c1.4c.jpg      |   |
| Z_2_C1. UFO K7 w trybie bicia-soczewki z boku   | z_2_c1.4c.jpg      | <a href="http://galactic-server.com/torealf/ufo.html">http://galactic-server.com/torealf/ufo.html</a>           |
| P_2_C1. UFO K7 ze zdjęcia Z_2_C1                | p_2_c1.4c.jpg      |   |
| Z_3_C1. K4 dniem w trybie bijącym, bok-spód     | z_3_c1.4c.jpg      | <a href="http://anomalous-images/images/ufos3.html">http://anomalous-images/images/ufos3.html</a>               |
| P_3_C1. UFO K4 ze zdjęcia Z_3_C1                | p_3_c1.4c.jpg      |   |
| Z_1_C4. UFO K4 nocą w trybie wiru z boku        | z_1_c4.4c.jpg      | [1C4], pierwsza (czarno-biała) plansza, photo 30  |
| Z_1_C5. Kuliste UFO K4 dniem w trybie bijącym   | z_1_c5.4c.jpg      | <a href="http://galactic-server.com/torealf/ufo.html">http://galactic-server.com/torealf/ufo.html</a>           |
| Z_2_C5. Koraliki z UFO typu K6 dniem            | z_2_c5.4c.jpg      | <a href="http://www.anomalous-images/images/russufo4.html">http://www.anomalous-images/images/russufo4.html</a> |
| Z_3_C5. Latający kluster z UFO 3-ciej generacji | z_3_c5.4c.jpg      | [1C5] str. 136;   |
| Z_4_C5. Choinka z UFO typu K3 i K4 w wirze      | z_4_c5.4c.jpg      | <a href="http://www.anomalous-images/images/ufos3.html">http://www.anomalous-images/images/ufos3.html</a>       |
| Z_1_C6. Dwa UFO K3 podwieszane pod K4           | z_1_c6.4c.jpg      | <a href="http://www.anomalous-images/images/russufo6.html">http://www.anomalous-images/images/russufo6.html</a> |
| Z_1_C7. Sfora 11 UFO w trybie bijącym nocą      | z_1_c7.4c.jpg      | [1C7] str. 18;  |
| Z_1_C8. Kuliste telekinetyczne UFO K4, Trinidad | z_1_c8.4c.gif      | <a href="http://galactic-server.com/torealf/ufo.html">http://galactic-server.com/torealf/ufo.html</a>           |
| P_1_C8. UFO K4 ze zdjęcia Z_1_C8                | p_1_c8.4c.jpg      |   |
| Z_2_C8. Niewidzialny kompleks kulisty UFO K6    | z_2_c8.4c.jpg      | <a href="http://www.anomalous-images/images/russufo2.html">http://www.anomalous-images/images/russufo2.html</a> |
| Z_3_C8. Czterech niewidzialnych UFOonautów      | z_3_c8.4c.jpg      | <a href="http://www.anomalous-images/images/russufo4.html">http://www.anomalous-images/images/russufo4.html</a> |
| Z_1_C9. Wehikuł czasu typu K4 nocą              | z_1_c9.4c.jpg      | <a href="http://www.ids.net.pl/~nole/pictures.html">http://www.ids.net.pl/~nole/pictures.html</a>               |
| P_1_C9. Wehikuł czasu K4 ze zdjęcia Z_1_C9      | p_1_c9.4c.jpg      |   |
| Z_2_C9. Wehikuł czasu typu K4 nocą              | z_2_c9.4c.jpg      | [1C9] str. 20;  |
| Dr Jan Pająk                                    | jan_pajak.4c.jpg   | [7/2]-jan.7_2.jpg   |
| Mgr Adam Wróbel                                 | adam_wróbel.4c.jpg |   |